

საქართველოს ტექნიკური უნივერსიტეტი

GEORGIAN TECHNICAL UNIVERSITY

ГРУЗИНСКИЙ ТЕХНИЧЕСКИЙ УНИВЕРСИТЕТ

УМЗЕЛЖАРУФАЛУРი გამოცემა

QUARTERLY PUBLICATION

ЕЖЕКАРТАЛЬНОЕ ИЗДАНИЕ

ISSN 1512-0996

მუსიკი  
WORKS  
ТРУДЫ

N1(499)



თბილისი – TBILISI – ТБИЛИСИ

2016

გაარსებულია 1924 წელს.  
პერიოდულობა - 4 ნომერი წელიწადში.

საქართველოს ცეკვისა და უნივერსიტეტის სამეცნიერო შრომების კრებული ანის ყოველკვარცხადური რეფერინგებადი პერიოდული გამოცემა, რომელიც წევის-ცრინებულია რამდენიმე საერთაშორისო მონაცემთა ბაზაში.

ყველა უფლება დაცულია. ამ კრებულში გამოქვეყნებული ნებისმიერი სცადის (ცეკვის, ფოტო, იღუსტრაცია თუ სხვა) გამოყენება არც ერთი ფორმითა და საშუალებით (ელექტრონული თუ მექანიკური) არ შეიძლება გამომტემდის წერილობითი ნებართვის გარეშე.

საცენტრო უფლებების დანრიცვა ისჯება კანონით.

ავტორი (ავტორები) პასუხისმგებელია სცადის შინაარსზე და საავტორო უფლებებისა და სამეცნიერო ეთიკის საკონვენტაციო მიღებული სხვა ნორმების დაცვაზე.

სცადის ავტორის (ავტორების) პოზიცია შეიძლება არ ემთხვეოდეს საგამომცემლო სახლის პოზიციას.

საგამომცემლო სახლი „ცეკვისა და უნივერსიტეტი“ გულწრფელი მაღლიერებით მიიღებს ყველა კონსტრუქციულ შენიშვნას, ნინაღავებას და გამოიყენებს საქმიანობის შემდგომი სრულყოფისათვის.

მოგვწერთ:  
[sagamomcemlosakhli@yahoo.com](mailto:sagamomcemlosakhli@yahoo.com)

### მთავრობი რედაქტორი

ა. ფრანგიშვილი

### მთავრობი რედაქტორის მოადგილები:

გ. კლიმიაშვილი

ბ. გასიცაშვილი

### სარედაქტო პრლეზი:

- ა. აბრარავა, გ. აბრამიშვილი, ა. აბშილავა,
- თ. ამბროდაძე, ე. ბარათაშვილი, თ. ბატიკაძე,
- ჯ. ბერიძე, ს. ბიერევკი (პოლონეთი),
- პ. ბიერიკი (სლოვაკეთი), თ. გაბადაძე,
- ჯ. გაბოკიძე, თ. გეგაშვილი, ა. გიგინეიშვილი,
- ბ. გობში (გერმანია), აღ. გრიგორიშვილი,
- ელ. ელიბარაშვილი, ს. ესაძე, ვღ. ვარდოსანიძე,
- უ. ბვიაძაძე, თ. ბუმბურიძე, პ. ბუნკერი (ავსტრია),
- გ. თავხელიძე, პ. თოღუა (რუსეთი), ბ. იმნაძე,
- ი. კვესელავა, ც. კვიტიანი, ა. კვევალიკი (ესტონეთი), ბ. კიკნაძე, თ. ღომინაძე, ი. ღომიძე,
- ს. მამარისი (საბერძნეთი), მ. მაცაბერიძე,
- თ. მეგრელიძე, მ. მესხი, ა. მონონელიძე,
- გ. მძინარიშვილი, გ. ნაცროშვილი,
- ნ. ნაცვლიშვილი, შ. ნემსაძე, გ. ნობაძე,
- ბ. საღაქვაძე, ქ. ქოქნაშვილი, ე. ქუთელია,
- ა. შარვაშიძე, ს. შმიდტი (გერმანია),
- პ. შეროენი (გერმანია), მ. ჩხეიძე,
- ნ. ნერაიძე, თ. ჯაგოღნიშვილი, თ. ჯიშკარიანი,

© საგამომცემლო სახლი „ცეკვისა და უნივერსიტეტი“, 2016

ISSN 1512-0996



9 771512 099004



Verba volant,  
scripta manent

Founded in 1924.  
Published in quarterly editions.

Georgian Technical University's Collection of Academic Works is a quarterly refereed periodical included in several international journal lists.

All rights reserved. No material appearing in this publication (texts, images, illustrations and other visual) can in any form or by any means (electronic or manual) be used by other parties without prior written consent of the publisher.

Infringement of copyright is punishable by law.

Author (authors) is (are) responsible for content of the article as well as protection of copyright and compliance with generally accepted norms of academic ethics.

Judgements of the author (authors) and the publishing house may vary.

Publishing House "Technical University" is open to constructive feedback and ideas for the purpose of continuous improvement.

Contact us:  
[sagamomcemlosakhli@yahoo.com](mailto:sagamomcemlosakhli@yahoo.com)

Editor in Chief  
A. Prangishvili

Deputy Editors in Chief  
L. Klimiashvili  
Z. Gasitashvili

Editorial Board:  
A. Abralava, G. Abramishvili, A. Abshilava,  
T. Ambroladze, E. Baratashvili, T. Batsikadze, J. Beridze,  
S. Bielecki (Poland), P. Bielik (Slovakia), M. Chkheidze,  
E. Elizbarashvili, S. Esadze, T. Gabadadze,  
J. Gakhokidze, O. Gelashvili, A. Gigineishvili, G. Gobsch  
(Germany), Al. Grigolishvili, B. Imnadze, T. Jagodnishvili,  
T. Jishkariani, A. Keevalik (Estonia), Z. Kiknadze,  
K. Kokrashvili, E. Kutelia, I. Kveselava, T. Kvitsiani,  
T. Lominadze, I. Lomidze, A.G. Mamalis (Greece),  
M. Matsaberidze, L. Mdzinarishvili, T. Megrelidze,  
M. Meskhi, A. Motzonelidze, D. Natroshvili,  
N. Natsvlishvili, Sh. Nemsadze, D. Nozadze,  
G. Salukvadze, H. Stroher (Germany), H. Sunkel  
(Austria), S.M. Schmidt (Germany), A. Sharvashidze,  
D. Tavkhelidze, P. Todua (Russia), Z. Tsveraidze,  
Vl. Vardosanidze, O. Zumburidze, U. Zviadadze.

© Publishing House "Technical University", 2016

ISSN 1512-0996



Verba volant,  
scripta manent

Учрежден в 1924 году.  
Периодичность – 4 номера в год

Сборник научных трудов Грузинского технического университета является ежеквартальным реферируемым периодическим изданием, которое зарегистрировано в нескольких международных базах данных.

Защищены все права. Любую опубликованную в данном сборнике статью (текст, фото, иллюстрации) невозможно использовать ни одной из форм или средствами (электронными или механическими) без письменного разрешения издателя.

Нарушение авторских прав наказуемо законом.

Автор (авторы) несет ответственность за содержание статьи и защиту всеобще принятых норм научной этики и авторских прав.

Мнение автора (авторов) статьи может не совпадать с мнением Издательского дома.

Издательский дом «Технический университет» с благодарностью учитывает все конструктивные замечания, предложения и использует их для совершенствования дальнейшей деятельности.

Пишите:  
[sagamomcemlosakhli@yahoo.com](mailto:sagamomcemlosakhli@yahoo.com)

## РЕДАКЦИОННАЯ КОЛЛЕГИЯ:

### ПРЕДСЕДАТЕЛЬ

А.И. Прангишвили

### ЗАМ. ПРЕДСЕДАТЕЛЯ:

Л.Д. Климиашвили

З.А. Гаситашвили

### ЧЛЕНЫ РЕДКОЛЛЕГИИ:

А.Г. Абралава, Г.С. Абрамишвили, А.В. Абшилава,  
Т.А. Амброладзе, Е.Ш. Бараташвили, Т.В. Бацкадзе,  
С. Биелецки (Польша), П. Биелик (Словакия),  
Дж.Л. Беридзе, Вл.Г. Вардосанидзе, Т.Г. Габададзе,  
Дж.В. Гахокидзе, О.Г. Гелашвили,  
А.В. Гигинеишвили, Г. Гобш (Германия),  
Ал.Р. Григолишвили, Т.А. Джагоднишвили,  
Т.С. Джишкариани, У.И. Звиададзе, О.Г. Зумбуридзе,  
Г. Зункел (Австрия), Б.Л. Имнадзе, И.С. Квеселава,  
Т.А. Квициани, А. Кеевалик (Эстония),  
З.Г. Кикнадзе, К.А. Кокрашвили, Е.Р. Кутелия,  
И.Б. Ломидзе, Т.Н. Ломинадзе, А. Мамалис (Греция),  
М.И. Мацаберидзе, Л.Д. Мдзинаришвили,  
Т.Я. Мегрелидзе, М.А. Месхи, А.Н. Моцонелидзе,  
Д.Г. Натрошили, Н.В. Нацвлишвили,  
Ш.А. Немсадзе, Д.А. Нозадзе, Г.Г. Салуквадзе,  
Д.Д. Тавхелидзе, П. Тодуа (Россия), З.Н. Цвераидзе,  
М.М. Чхеидзе, А.М. Шарвашидзе,  
С. Шмидт (Германия), Г. Штроер (Германия),  
Э.Н. Элизбарашвили, С.Ю. Эсадзе

© Издательский дом “Технический университет”, 2016

ISSN 1512-0996



9 771512 099004



Verba volant,  
scripta manent

# შინაგანი

## აგრძელებული და ბიოლოგიური მეცნიერებები

6. ბალათურია, ლ. ქაჯაია, 6. გილაური. ველურად მზარდი ღვიძის ბამოკვლევა	11
6. ბალათურია, ლ. ქაჯაია, 6. ილურიძე. ველურად მზარდი ღვიძის ცენტრულის ძიმიურ-ტექნოლოგიური მაჩვენებლები	17

## ბიზნესი, მართვა და აღრიცხვა

ე. მოწონელიძე, რ. ქუთათელაძე. სახელმწიფო-კერძო აარტნიოროგის მნიშვნელობა სამეცნიერო მომსახურების ხელმისაწვდომობის გაუმჯობესების სამშემო	23
გ. შილაკაძე. ინოვაციური მეცნიერები და მცირე და საშუალო საჭარბოები	30

## ქიმიური მრეწველობა და ტექნოლოგიები

ზ. სიმონგულაშვილი, გ. ქურდაძე, რ. აბესაძე, ბ. მაისურაძე. სილიკონანგების რატიობალური შედგენილობის შემჩვევა, ორმეტიც უზრუნველყოფს მაგანუმის სასარგებლო გამოყენების გაზრდას	42
ი. კახნაშვილი, ლ. ჩხიგვაძე, ზ. ოქროსცვარიძე, თ. წილოსანი. დარიმხანის და ოქროშემცველი სულფიდური ცენტრული დარიმხანისა და ოქროს ამონიუმის შესაძლებლობის კვლევა	49

## ქიმია

დ. ჯინჭარაძე, ლ. ებანოიძე, ნ. ბოგურავა. ბურებრივი “მშრალი” პელოიდ “შხოველის“ მინერალური შედგენილობის ვიზიკურ-ქიმიური შესწავლა	54
--	----

## კომიუნიტეტული მეცნიერება

ტ. ბურგაძე, ჯ. ბერიძე. ინფორმაციის მიმღებულების ტექნოლოგიებისა და ინფორმაციის განვითარება გლობალური ინფორმაციული საზოგადოების ჩამოყალიბების გზაზე	61
--	----

## კონფერენცია, ეპონომეტრიკა და ფინანსები

გ. კოპალეიშვილი, მ. ბარათაშვილი, ი. ქაშაკაშვილი, თ. ბარბაქაძე, თ. ლოლაძე, რ. ბაქრაძე, ზ. ფარჩუქაშვილი. ბენეტური თუკის საკონსტრუქციო სიმტკიცის გაზრდა შენადობის ძიმიური შედგენილობის, თერმული დამუშავებისა და გრაფიტის სფერული ვორმის მიღების სრულყოფით	68
---	----

## 06. 06. 06. 06. 06.

<b>მ. მესხი, ს. ფირალიშვილი, რ. ინაძე. დოკუმენტი რიბის წევრთა გორის ოპტიმალური 06. 06. 06. 06. 06.</b>	79
<b>მ. მესხი, ს. ფირალიშვილი, რ. ინაძე. ეგზურების წყალსაცავში წყლის დონის ცვლილებაზე კაშხლის რეაქციის დოკუმენტი კვლევა</b>	88
<b>დ. თავეჯელიძე, მ. ჯანიქაშვილი, ზ. მჭედლიშვილი. კიბეჭავალი მანქანის კორაჟის შემაერთებელი დეროების საკუთარი სიხშირეების განსაზღვრა</b>	98
<b>მ. ბააკაშვილ-ანთელავა, ს. მებონია. რადიალურ-საჭედი მანქანების ტექნოლოგიური შესაძლებლობები</b>	105
<b>მასალათმცოდნეობა</b>	
<b>თ. ესაძე, ხ. ლეუჯავა. ნაცოდისავრსიული ნატრიუმის სილიკატის კომპოზიციურ მჰიდაზე დამზადებული მხურვალმედები გეტრონი</b>	113
<b>ა. ჩიქოვანი, თ. ესაძე, ხ. ლეუჯავა. ბეტონის სულფატური კოროზია</b>	119
<b>ი. აბდუშელიშვილი, გ. კობალეიშვილი. 40ΑΓFT ცოდადის ბზარმედიგობა</b>	126
<b>ზ. კოვზირიძე, ნ. ნიუარაძე, მ. ბალახაშვილი, ზ. მესტვირიშვილი. ბრაზიტის ნაცოვხველის გავლენა CaO-MgO-SiO<sub>2</sub> სისტემის კომპოზიტზე ცემენტისა და მეტალურგიული ღუმლების გაღალტებაერატურული ამონაბებისათვის</b>	132
<b>ზ. კოვზირიძე, ნ. ნიუარაძე, გ. ტაბატაძე, ზ. მესტვირიშვილი, ნ. დარახველიძე. ალუმინიუმული და აზოტირების მეთოდების გამოყენება ნაცოვმარტივის მისაღებად SiC-SiAlON და Al<sub>2</sub>O<sub>3</sub>-SiAlON სისტემებში</b>	146
<b>გ. კოპალეიშვილი, ნ. მუმლაძე, ზ. ტაბატაძე, მ. თაბაგარი, ი. ქაშაკაშვილი, ო. ბარბაქაძე, რ. ბაქრაძე. შესადუღებელი (C≤0.22%; CE≤0.43%), უნივერალური B500W არმატურის ზარმოვა რ<sub>g</sub>≥500 6/მ<sup>2</sup> დენადობის ზღვრით ცხლად გლიცელ გლიცომარეობაში, თერმული დამუშავების ბარეში</b>	159
<b>ავტორთა საძიებელი</b>	174
<b>ავტორთა საზურადლებო</b>	175

# CONTENTS

## AGRICULTURAL AND BIOLOGICAL SCIENCES

N. Baghaturia, L. Kajaia, N. Gilauri. WILD-GROWING JUNIPER RESEARCH IN GEORGIA.....	11
N. Baghaturia, L. Kajaia, N. Iluridze. CHEMICAL-TECHNOLOGICAL PARAMETERS OF WILD-GROWING JUNIPER RAW MATERIAL.....	17

## BUSINESS, MANAGEMENT AND ACCOUNTING

E. Motsonelidze, R. Kutatelandze. THE IMPORTANCE OF PUBLIC-PRIVATE PARTNERSHIP FOR ENHANCEMENT OF HEALTHCARE ACCESSIBILITY .....	23
E. Shilakadze. INNOVATIVE MANAGEMENT AND SMALL AND MEDIUM-SIZED ENTERPRISES.....	30

## CHEMICAL ENGINEERING

Z. Simongulashvili, G. Kurdadze, R. Abesadze, B. Maisuradze. CHOOSING OPTIMAL COMPOSITION OF SILICOMANGANESE PROVIDING INCREASING EFFECTIVE USE OF MANGANESE .....	42
I. Kakhniashvili, L. Chkhikvadze, Z. Okrostsvaridze, T. Tsilosani. RESEARCHING THE POSSIBILITY OF EXTRACTING GOLD AND ARSENIC FROM ARSENIC AND GOLD-BEARING SULFIDE RAW MATERIAL .....	49

## CHEMISTRY

D. Jincharadze, L. Ebanoidze, N. Bokuchava. PHYSICAL-CHEMICAL STUDY OF MINERALOGICAL COMPOSITION OF NATURAL “DRY” PELOID “PKHOVELI” .....	54
--	----

## COMPUTER SCIENCE

T. Burkadze, J. Beridze. DEVELOPMENT OF INFO-COMMUNICATION TECHNOLOGIES AND INFO-COMMUNICATIONS ENVIRONMENT ON THE WAY OF ESTABLISHMENT OF GLOBAL INFORMATION SOCIETY .....	61
---	----

## ECONOMICS, ECONOMETRICS AND FINANCE

V. Kopaleishvili, M. Baratashvili, I. Kashakashvili, O. Barbakadze, T. Loladze, R. Bakradze, Z. Parchukashvili. ENHANCEMENT OF STRUCTURAL STRENGTH OF BAINITIC CAST IRON BY OBTAINING SPHEROIDAL GRAPHITE, DEVELOPING CHEMICAL COMPOSITION OF ALLOY AND HEAT TREATMENT CONDITIONS.....	68
---	----

## **ENGINEERING**

<b>M. Meskhi, S. Piralishvili, R. Inadze.</b> DEFINITION OF OPTIMAL INTERVAL BETWEEN TIME SERIES TERMS.....	79
<b>M. Meskhi, S. Piralishvili, R. Inadze.</b> RESEARCHING THE TIME OF REACTION OF THE DAM TO THE WATER LEVEL CHANGE IN ENGURI HPS RESERVOIR .....	88
<b>D. Tavkhelidze, M. Janikashvili, Z. Mchedlishvili.</b> DETERMINATION OF NATURAL FREQUENCIES OF CONNECTING RODS AS THE FRAME PARTS OF STAIR CLIMBER MACHINE .....	98
<b>M. Baakashvili-Antelava, S. Mebonia.</b> TECNOLOGICAL POSIBILITIES OF RADIAL - FORGING MACHINES .....	105

## **MATERIALS SCIENCE**

<b>T. Esadze, Kh. Lejava.</b> HEAT-RESISTANT CONCRETE PRODUCED ON NANO-DISPERSION NATRIUM SILICATE COMPOSITE COHESIVE MATERIAL.....	113
<b>A. Chikovani, T. Esadze, Kh. Lejava.</b> SULPHATE CORROSION OF CONCRETE .....	119
<b>I. Abdushelishvili, V. Kopaleishvili.</b> CRACK-RESISTANCE OF 40AГFT STEEL.....	126
<b>Z. Kovziridze, N. Nizharadze, M. Balakhashvili, Z. Mestvirishvili.</b> EFFECT OF GRAPHITE NANOPOWDER ON THE PROPERTIES OF CaO-MgO-SiO <sub>2</sub> SYSTEM COMPOSITE FOR HIGH TEMPERATURE BEDDING OF CEMENT AND METALLURGICAL FURNACES .....	132
<b>Z. Kovziridze, N. Nizharadze, G. Tabatadze, Z. Mestvirishvili, N. Darakhvelidze.</b> APPLICATION OF ALUM-THERMAL AND NITROGEN METHODS FOR OBTAINING NANO-COMPOSITES IN THE SYSTEMS OF SiC-SiAlON AND Al <sub>2</sub> O <sub>3</sub> -SiAlON .....	146
<b>V. Kopaleishvili, N. Mumladze, Z. Tabatadze, M. Tabagari, I. Kashakashvili, O. Barbakadze, R. Bakradze.</b> PRODUCTION OF WELDABLE (C≤0.22%; C <sub>eq</sub> ≤0.43%) UNIFIED REBAR B500W WITH YIELD STRENGTH σ <sub>y</sub> ≥500 500 N/mm <sup>2</sup> , HOT ROLLED, WITHOUT HEAT TREATMENT .....	159
<b>AUTHOR'S INDEX</b> .....	174
<b>GUIDE FOR AUTHORS</b> .....	177

# СОДЕРЖАНИЕ

## АГРАРНЫЕ И БИОЛОГИЧЕСКИЕ НАУКИ

Н.Ш. Багатурия, Л.В. Каджая, Н.Дж. Гилаури. ИССЛЕДОВАНИЕ ДИКОРАСТУЩЕГО МОЖЖЕВЕЛЬНИКА ГРУЗИИ.....	11
Н.Ш. Багатурия, Л.В. Каджая, Н.Ш. Илуридзе. ХИМИКО-ТЕХНОЛОГИЧЕСКИЕ ПОКАЗАТЕЛИ СЫРЬЯ ДИКОРАСТУЩЕГО МОЖЖЕВЕЛЬНИКА.....	17

## БИЗНЕС, МЕНЕДЖМЕНТ И БУХГАЛТЕРСКИЙ УЧЕТ

Э.Р. Моцонелидзе, Р.Г. Кутателадзе. ЗНАЧЕНИЕ ГОСУДАРСТВЕННО-ЧАСТНОГО ПАРТНЕРСТВА В ДЕЛЕ УЛУЧШЕНИЯ ДОСТУПНОСТИ МЕДИЦИНСКОГО ОБСЛУЖИВАНИЯ.....	23
Е.В. Шилакадзе. ИННОВАЦИОННЫЙ МЕНЕДЖМЕНТ И МАЛЫЕ И СРЕДНИЕ ПРЕДПРИЯТИЯ.....	30

## ХИМИЧЕСКАЯ ПРОМЫШЛЕННОСТЬ И ТЕХНОЛОГИИ

З.А. Симонгулашвили, Г.У. Курдадзе, Р.К. Абесадзе, Б.Г. Майсурладзе. ВЫБОР ОПТИМАЛЬНОГО СОДЕРЖАНИЯ СИЛИКОМАРГАНЦА, ОБЕСПЕЧИВАЮЩЕГО ПОВЫШЕНИЕ ИЗВЛЕЧЕНИЯ МАРГАНЦА .....	42
И.Б. Кахниашвили, Л.А. Чхиквадзе, З.Ш. Окросцваридзе, Т.А. Цилосани. ИССЛЕДОВАНИЕ ВОЗМОЖНОСТИ ИЗВЛЕЧЕНИЯ ЗОЛОТА И МЫШЬЯКА ИЗ ЗОЛОТО- И МЫШЬЯКСОДЕРЖАЩЕГО СУЛЬФИДНОГО СЫРЬЯ .....	49

## ХИМИЯ

Д.Г. Джинчарадзе, Л.О. Эбаноидзе, Н.В. Бокучава. ФИЗИКО-ХИМИЧЕСКОЕ ИССЛЕДОВАНИЕ МИНЕРАЛОГИЧЕСКОГО СОСТАВА НАТУРАЛЬНОГО “СУХОГО” ПЕЛОИДА “ПХОВЕЛИ” .....	54
---	----

## КОМПЬЮТЕРНЫЕ НАУКИ

Т.О. Буркадзе, Д.Л. Беридзе. РАЗВИТИЕ ИНФОКОММУНИКАЦИОННЫХ ТЕХНОЛОГИЙ И ИНФОКОММУНИКАЦИОННОЙ СРЕДЫ НА ПУТИ СОЗДАНИЯ ГЛОБАЛЬНОГО ИНФОРМАЦИОННОГО ОБЩЕСТВА.....	61
---	----

## **ЭКОНОМИКА, ЭКОНОМЕТРИКА И ФИНАНСЫ**

В.П. Копалейшвили, М.Д. Бараташвили, И.Г. Кашакашвили, О.Г. Барбакадзе, Т.О. Лоладзе,	
Р.М. Бакрадзе, З.А. Парчукашвили. ПОВЫШЕНИЕ КОНСТРУКЦИОННОЙ ПРОЧНОСТИ БЕЙНИТНОГО ЧУГУНА ПУТЕМ УСОВЕРШЕНСТВОВАНИЯ ХИМИЧЕСКОГО СОСТАВА СПЛАВА, ТЕРМООБРАБОТКИ И ПОЛУЧЕНИЯ ШАРОВИДНОГО ГРАФИТА.....	68

## **ИНЖЕНЕРИЯ**

М.А. Месхи, С.Х. Пиралишвили., Р.В. Инадзе. ОПРЕДЕЛЕНИЕ ОПТИМАЛЬНОГО ИНТЕРВАЛА МЕЖДУ ЧЛЕНАМИ ВРЕМЕННОГО РЯДА.....	79
М.А. Месхи, С.Х. Пиралишвили, Р.В. Инадзе. ИССЛЕДОВАНИЕ ВРЕМЕНИ РЕАКЦИИ ПЛОТИНЫ НА ИЗМЕНЕНИЕ УРОВНЯ ВОДЫ ВОДОХРАНИЛИЩА ИНГУРИГЭС .....	88
Д.Д. Тавхелидзе, М.В. Джаникашвили, З.Т. Мchedлишвили. ОПРЕДЕЛЕНИЕ СОБСТВЕННЫХ ЧАСТОТ СОЕДИНЯЮЩИХ СТЕРЖНЕЙ КОРПУСА ЛЕСТНИЦАХОДОВОЙ МАШИНЫ .....	98
М.В. Баакашвили-Антелава, С.А. Мебония. ТЕХНОЛОГИЧЕСКИЕ ВОЗМОЖНОСТИ РАДИАЛЬНО-ОБЖИМНЫХ МАШИН .....	105

## **МАТЕРИАЛОВЕДЕНИЕ**

Т.И. Эсадзе, Х.Д. Лежава. ЖАРОСТОЙКИЙ БЕТОН НА НАНОДИСПЕРСНОМ СИЛИКАТ-НАТРИЕВОМ КОМПОЗИЦИОННОМ ВЯЖУЩЕМ.....	113
А.Б. Чиковани, Т.И. Эсадзе, Х.Д. Лежава. СУЛЬФАТНАЯ КОРРОЗИЯ БЕТОНА.....	119
И.Т. Абдушелишвили, В.П. Копалейшвили. ТРЕЩИНОСТОЙКОСТЬ СТАЛИ 40АГФТ .....	126
З.Д. Ковзиридзе, Н.С. Нижарадзе, М.И. Балахашвили, З.З. Мествиришвили. ВЛИЯНИЕ НАНОПОРОШКА ГРАФИТА НА СВОЙСТВА КОМПОЗИТОВ В СИСТЕМЕ CaO-MgO-SiO <sub>2</sub> ДЛЯ ВЫСОКОТЕМПЕРАТУРНОЙ ФУТЕРОВКИ ЦЕМЕНТНЫХ И МЕТАЛЛУРГИЧЕСКИХ ПЕЧЕЙ .....	132
З.Д. Ковзиридзе, Н.С. Нижарадзе, Г.С. Табатадзе, З.З. Мествиришвили, Н.Ю. Дарахвелидзе. ИСПОЛЬЗОВАНИЕ АЗОТИРОВАНИЯ И АЛЮМИНОТЕРМИЧЕСКОГО МЕТОДОВ ДЛЯ ПОЛУЧЕНИЯ НАНОКОМПОЗИТОВ В СИСТЕМАХ SiC-SiAlON И Al <sub>2</sub> O <sub>3</sub> -SiAlON .....	146
В.П. Копалеишвили, Н.А. Мумладзе, З.О. Табатадзе, М.В. Табагари, И.Г. Кашакашвили, О.Г. Барбакадзе, Р.М. Бакрадзе. ПРОИЗВОДСТВО СВАРИВАЕМОЙ (C≤0.22%; CE≤0.43%) УНИФИЦИРОВАННОЙ АРМАТУРЫ B500W С ПРЕДЕЛОМ ТЕКУЧЕСТИ σ <sub>u</sub> ≥500 Н/мм <sup>2</sup> В ГОРЯЧЕКАТАННОМ СОСТОЯНИИ, БЕЗ ТЕРМИЧЕСКОЙ ОБРАБОТКИ.....	159
<b>УКАЗАТЕЛЬ АВТОРОВ .....</b>	174
<b>К СВЕДЕНИЮ АВТОРОВ .....</b>	179

**UDC 663.5**

**SCOPUS CODE 1106**

## გელურად მზარდი ლიტერატურის გამოკვლევა

- 6. ბადათურია** კვების მრეწველობის ინსტიტუტი, საქართველოს ტექნიკური უნივერსიტეტი, საქართველო, 0192, თბილისი, გურამიშვილის გამზ. 17  
E-mail: GFS\_company@yahoo.com
- ლ. ქაჯაია** კვების მრეწველობის ინსტიტუტი, საქართველოს ტექნიკური უნივერსიტეტი, საქართველო, 0192, თბილისი, გურამიშვილის გამზ. 17  
E-mail: kajaja-luiza-dodo@mail.ru
- 6. გილაური** კვების მრეწველობის ინსტიტუტი, საქართველოს ტექნიკური უნივერსიტეტი, საქართველო, 0192, თბილისი, გურამიშვილის გამზ. 17  
E-mail: nikobalakhshvili@gmail.com

### რეცენზენტები:

- ლ. კოტორაშვილი**, სტუ-ის კვების მრეწველობის ინსტიტუტის უფროსი მეცნიერი თანამშრომელი, ასოცირებული დოქტორი  
E-mail: lkotorashvili@mail.ru
- 6. ბეგიაშვილი**, სტუ-ის კვების მრეწველობის ინსტიტუტის სამეცნიერო საბჭოს თავმჯდომარე, ტექნიკის მეცნიერებათა დოქტორი  
E-mail: nana-begi@mail.ru

**ანოთაცია:** კვების მრეწველობის ინსტიტუტში პირველად იქნა შესწავლილი საქართველოში გელურად მზარდი ღვიის ნაირსახეობა, გავრცელების არეალი და მათი ნედლეულის ეთეროვანი ზეთის შემცველობა, ღვიის გირჩების ზეთშემცველობის დინამიკა წელიწადის სხვადასხვა დროის მიხედვით. ჩატარებული ექსპერიციების შედეგად დადგენილ იქნა ველურად მზარდი ღვიის გავრცელების არეალი. კვლევების შედეგების საფუძველზე გამოირკვა, რომ გავრცელების არეალის და ღვიის გირჩების ეთეროვანი ზეთის შემცველობის გათვალისწინებით ეთეროვანი ზეთის წარმოებისათვის უნდა დამზადდეს ღვიის მრავალნაყოფიანი სახეობის გირჩები. ისინი უნდა დამუშავდეს დაქუცმაცებულ მდგომარეობაში.

დადგენილია, რომ ღვიის გირჩების სრული სიმწივე გვიან შემოდგომაზე დგება და მწივე ნაყოფი ხევბზე რჩება გაზაფხულის დადგომაშე. აღნიშნული პერიოდის განმავლობაში გირჩების ეთეროვანი ზეთის შემცველობა თითქმის უცვლელია და საშუალოდ 1.1%-ს შეადგენს.

**საპბანძო სიტყვები:** გირჩები; ეთეროვანი ზეთი; ველურად მზარდი; ღვია.

### შესავალი

კვიპაროსთა ოჯახის 20 გვარისა და 140-ზე მეტი მარადმწვანე კულტივირებული, დეკორატიული და ველურად მზარდი სახეობაა ცნობილი, მათ შორის 40-მდე ღვიისებრთა ქვეოჯა-

ხი, რომლის ერთ-ერთი სახეობაა ველურად მზარდი ღვია – Juniperis L.

ყირიმში, კავკასიაში, შეკა აზიასა და შორეულ ადმოსავლეთში ღვიის 70-მდე სახეობაა გავრცელებული, მათგან 8 კავკასიაშია. საქართველოში გვხვდება 7 სახეობა: სქელკანიანი, მრავალნაყოფიანი, ჩინური, ყაზახური, ვირჯინიული, მძიმე სუნისა და გრძელწიწვა.

საწარმოო პირობებში ღვიის ნედლეულიდან ეთეროვანი ზეთს ღებულობენ სლოვენიაში, ბულგარეთში, საფრანგეთში, იტალიაში, კვიპროსში, ესპანეთში, ინდოეთში, ავსტრიასა და სხვა ქვეწებში. ღვიის ეთეროვანი ზეთის წარმოებისათვის აღნიშნული ქვეყნები ძირითადად გამოიყენებენ ჩვეულებრივი ღვიის სახეობის ნედლ ან გამშრალ გირჩებს და წიწვებს, საიდანაც ეთეროვანი ზეთს ღებულობენ წყლის ორთქლით გამოხდის მეთოდით.

ღვიის ეთეროვანი ზეთის გამოსავლიანობა სხვადასხვა ქვეყანაში განსხვავდება და მერყეობს 0.2 – 2.0 %-მდე. გირჩები აგრეთვე შეიცავს 40%-მდე შაქარს და 10%-მდე ფისებს.

ეთეროვანი ზეთის გამოსავლიანობა და მისი ქიმიური შემცველობა დამოკიდებულია ღვიის ნედლეულის დამუშავების (წელიწადის) დროზე, გირჩების სიმწიფის სტადიაზე, წარმოშობის ადგილსა და ღვიის ტყის მასივების გავრცელების სიმაღლეზე ზღვის დონიდან.

ღვიის წიწვებისა და ნაყოფების ექსტრაქტები, ეთეროვანი ზეთები ადრეული დროიდან გამოიყენება სახალხო მედიცინაში ანთებითი პროცესების, მარილების დაგროვების, რემატიზმისა და კანის სხვადასხვა დაავადებათა სამკურნალოდ, ჭრილობების სადეზინფექციოდ, შარდმდებ და ამოსახველებელ საშუალებად. ნაყოფების ნახარში გამოიყენება ღრმილების ანთების სამკურნალოდ, კვების მრეწველობაში ალკოჰოლური სასმელებისა (ლუდის, არყის, ლიქიორის, მორსის, ჯინისა და სხვა) და საკონდიტორო ნა-

წარმის (კანფეტების, თაფლის, პურისა და სხვა) დასამზადებლად.

დღეისათვის საქართველოში გავრცელებული ველურად მზარდი ღვიის ნაირსახეობა და მისი ნედლეული არ არის შესწავლილი, მისგან ნატურალური საკვები დანამატების – ეთეროვანი ზეთების გამოხდისა და ექსტრაქტების დამზადების თვალსაზრისით. აღნიშნულიდან გამომდინარე, ეთერზეთების, ცემზეთებისა და კვების მრეწველობის დარგებისათვის ველურად მზარდი ღვია ახალი ნედლეულია, ხოლო მისგან მიღებული პროდუქტები – ახალი პროდუქცია.

აქედან გამომდინარე, ჩვენი მიზანია დავადგინოთ ველურად მზარდი ღვიის ნაირსახეობა და გავრცელების არეალი; ღვიის გირჩებისა და მწვანე მასის ქიმიურ-ტექნოლოგიური პალევა; აღნიშნული ნედლეულიდან საკვები დანამატების – ეთეროვანი ზეთების მიღებისა და ექსტრაქტების დამზადების რაციონალური ტექნოლოგის დამუშავება; ღვიის ნედლეულიდან მიღებული საკვები დანამატების – ეთეროვანი ზეთებისა და ექსტრაქტების გამოყენებით ალკოჰოლური სასმელის, კერძოდ ქართული ჯინის დამზადება.

## პირითადი ნაწილი

კვლევის ობიექტად გამოყენებულ იქნა ცენტრალური ბოტანიკური ბაღის ტერიტორიაზე ინტროდიცირებული და საგურამოს ქედის მისადგომებთან კვლეული მზარდი ღვიის ნედლეული.

ღვიის გავრცელების არეალისა და მისი ნაირსახეობის დადგენის მიზნით დავათვალიერეთ თბილისის ბოტანიკური ბაღის ტერიტორიაზე ინტროდიცირებული და თბილისის შემოგარენში, კერძოდ საგურამოს ქედის მისადგომებთან კვლეული მზენ მიერ ჩატარებული ექსპერიციებით დადგენილ იქნა, რომ ღვია გავრცელებულია როგორც დასავლეთ ისე აღმოსავლეთ საქართ-

ველოში. არსებული რესურსების მიხედვით წელიწადში შეიძლება გადამუშავდეს 100 ტონამდე დავის ნედლეული.

ლიტერატურულ მასალებზე დაყრდნობით და ვიზუალური დათვალიერების შედეგად დადგინდა დავის რამდენიმე ნაირსახეობა, რომლებიც ინტროდიცირებულია ცენტრალური ბოტანიკური ბაღის ტერიტორიაზე. ესენია სქელკანიანი, მრავალნაყოფიანი, ჩინური, ყაზახური, ვირჯინიული და მდიმე სუნის მქონე ხოლო თბილისის შემოგარენის, კერძოდ საგურამოს ქედის მისადგომების ვიზუალური დათვალიერების შედეგად მიკვლეულ იქნა ასევე დავის გრძელწილ-

ვა ნაირსახეობაც. აღნიშნულ ტერიტორიაზე გახვდება მრავალნაყოფიანი დავის სახეობა – J. Polycarpus C. Koch, რომელიც დახუნდლეულია მწიფე ყავისფერი და მწვანე გირჩებით.

ჩვენთვის ხელმისაწვდომი დავის ნაირსახეობის – მრავალნაყოფიანი დავის ნედლეულში ეთეროვანი ზეთის შემცველობის განსაზღვრისათვის ნედლეული დამზადდა 2012 წლის იანვარში. დავის ტოტებიდან გამოცალკევებული იქნა გირჩები და წიწვები, რომლებშიც განისაზღვრა ზეთშემცველობა, დოლმატოვის და გინზბურგის მეთოდებით ექსპერიმენტის შედეგები მოცემულია 1-ელ ცხრილში.

### ცხრილი 1

#### დავის ნაირსახეობის ნედლეულის ეთეროვანი ზეთის შემცველობა

	ნიმუშის დასახელება	ზეთშემცველობა, %
1	მრავალნაყოფიანი დავის: დაქუცმაცებული მწიფე გირჩები დაქუცმაცებული მწიფე გირჩები დაქუცმაცებული მწვანე გირჩები წიწვები, წვრილი პატარა ტოტები	კვალი 1,1 0,473 კვალი
2	ჩინური დავის დაქუცმაცებული მწიფე გირჩები წიწვები, წვრილი პატარა ტოტები	0,80 კვალი
3	მდიმე სუნის მქონე დავის დაქუცმაცებული მწიფე გირჩები წიწვები წვრილი, პატარა ტოტები	0,90 კვალი
4	ყაზახური დავის დაქუცმაცებული მწიფე გირჩები წიწვები, წვრილი პატარა ტოტები	1,50 კვალი
5	ვირჯინიული დავის დაქუცმაცებული მწიფე გირჩები წიწვები, წვრილი პატარა ტოტები	1,20 კვალი
6	სქელკანიანი დავის დაქუცმაცებული მწიფე გირჩები წიწვები წვრილი, პატარა ტოტები	0,85 კვალი

ექსპერიმენტების შედეგების ანალიზმა აჩვენა, რომ მაღალი ზეთშემცველობით გამოირჩევა ყაზახური და ვირჯინიული გირჩები, მაგრამ, მიუხედავად აღნიშნულისა, ჩვენი შემდგომი კვლევისათვის გამოყენებულ იქნა მრავალნაყოფიანი დავის ნედლეული, რადგან მისი პატარა ტყის მასივები უფრო ხშირად გვხვდება საგურამოს ქედის მისადგომებთან, ვიდრე ზემოაღნიშნული დავის სახეობები. დავის გირჩები უნ-

და დამუშავდეს დაქუცმაცებულ მდგომარეობაში, ვინაიდან მთლიანი გირჩებიდან ეთეროვანი ზეთი არ გამოიყოფა. აღნიშნული შეიძლება იმით აიხსნას, რომ გირჩებში ზეთი შებოჭილ მდგომარეობაშია, გარდა ამისა გირჩების კანი მკვრივია და მასში წყლის ორთქლი ვერ აღწევს, რაც შეეხება წიწვებს, მასში მხოლოდ ეთეროვანი ზეთის კვალია.

ღვის ნედლეულში ზეთშემცველობის დინამიკის შესწავლის მიზნით მრავალნაყოფიანი დვის გირჩები დამზადებულ იქნა საგურამოს ქედის მისადგომებთან გავრცელებულ ტყის მასივებში ერთი და იგივე ხეებიდან ყოველი

თვის შეა რიცხვებში. გირჩებში განსაზღვრულ იქნა ტენის მასური წილი და ეთეროვანი ზეთის შემცველობა გირჩებურგის მეთოდით. გამოხდის ხანგრძლივობა ორი საათი იყო. პლავის შედეგები მოცემულია მე-2 ცხრილში.

## ცხრილი 2

### ზეთშემცველობის დინამიკა წელიწადის სხვადასხვა დროის მიხედვით

	ნიმუშის დასახელება და გადამუშავების დრო	მშრალი ნივთიერებების მასური წილი (%)	ზეთშემცველის	
			%	აბსოლუტურ მშრალ წონაზე(%)
დვის გირჩები 2012 წელი				
1	16 ოქტომბერი	82,0	0,436	0,531
2	14 ნოემბერი	82,5	0,897	1,087
3	14 დეკემბერი	84,0	0,967	1,150
2013 წელი				
4	16 იანვარი	80,0	0,817	1,020
5	17 თებერვალი	79,5	0,820	1,030

ერთი წლის განმავლობაში ყოველთვიურმა ვიზუალურმა დაკირვებამ აჩვენა, რომ ველურად მზარდ მრავალნაყოფიან დვის ტყის მასივებში ხეები მარტის თვიდან დახუნდლულია მწვანე (უმწიფარი) გირჩებით, რომლებიც თანდათან შედის სიმწიფეში და ოქტომბრიდან თებერვლის ჩათვლით ხეებზე ძირითადად ყავისფერი მწიფე გირჩები რჩება, რომლებიც თანდათან იწყებს ცვენას და მარტის თვეში ხეებზე ისევ ახალი მწვანე ნაყოფები ჩნდება.

ღვის გირჩების ზეთშემცველობის დინამიკის შესწავლამ წელიწადის სხვადასხვა დროის მიხედვით (ცხრილი 2) აჩვენა, რომ ღვის ხეებზე ოქტომბრის თვეში, როცა უკვე ჭარბად არის ყავისფერი გირჩები, ზეთშემცველობა 50%-

ით დაბალია, ვიდრე გვიან შემოდგომაზე და ზამთრის პერიოდში დაკრეფილ გირჩებში. დვის გირჩების სრული სიმწიფე დგება გვიან შემოდგომაზე და მწიფე ნაყოფები ხეებზე გაზაფხულის დადგომამდე რჩება. აღნიშნული პერიოდის განმავლობაში გირჩების ეთეროვანი ზეთის შემცველობა თითქმის უცვლელია და საშუალოდ 1,1 % შეადგენს.

აღნიშნული პერიოდი საუკეთესო დროა გირჩების დამუშავებისათვის, ეთეროვანი ზეთის გამოხდის თვალსაზრისით.

### დასკვნა

ჩატარებული ექსპედიციის შედეგად დადგენილია ველურად მზარდი დვის გავრცელების

არეალი. გამოკვლევების შედეგების საფუძველზე დადგენილია, რომ, გავრცელების არეალის და ზემოქმდებრის გათვალისწინებით, ეთეროვანი ზეთის წარმოებისათვის უნდა დამზადდეს დვინი მრავალნაყოფიანი სახეობის გირჩები. დვინი გირჩები უნდა დამუშავდეს დაქუცმაცებულ მდგომარეობაში შემოდგომაზე – ოქტომბერ-ნოემბერი და ზამთარში – დეკემბერ-იანვარ-თებერვალი.

### ლიტერატურა

1. N. Baghaturia. Essential oils of medicinal and aromatic plants. Tbilisi. 2007 (In Russian).
2. M. Goryaev, L. Ignatova. International congress on essential oils. Tbilisi. 1968 (In Russian).
3. A. Gammerman, I. Grom. Wild-growing medicinal plants of USSR. M., "Medicine". 1976 (In Russian).
4. I. Gubanov and others. Wild-growing useful plants of USSR. Edition "Idea". 1976 (In Russian).
5. V. Chavchavadze, L. Kharebava. "Subtropical culture". Issue №4. Georgia. Ozurgeti. Anaseuli. 1989 (In Georgian).

UDC 663.5

SCOPUS CODE 1106

## WILD-GROWING JUNIPER RESEARCH IN GEORGIA

<b>N. Baghaturia</b>	Institute of Food Industry of Georgian Technical University, 17 Guramishvili Ave., 0192 Tbilisi, Georgia E-mail: GFS_company@yahoo.com
<b>L. Kajaia</b>	Institute of Food Industry of Georgian Technical University, 17 Guramishvili Ave., 0192 Tbilisi, Georgia E-mail: kajaia-luiza-dodo@mail.ru
<b>N. Gilauri</b>	Institute of Food Industry of Georgian Technical University, 17 Guramishvili Ave., 0192 Tbilisi, Georgia E-mail: nikobalakhshvili@gmail.com

### Reviewers:

**L. Kotorashvili**, Associate Doctor, Senior Researcher at Institute of Food Industry of GTU

E-mail: lkotorashvili@mail.ru

**N. Begiashvili**, Chairman of the Science Board, Institute of Food Industry of GTU, Doctor of Technical Sciences

E-mail: nana-begi@mail.ru

**ABSTRACT.** The institute of food industry conducted first ever research of wild-growing juniper species, spread area, ethereal oil content in its raw material and the seasonal dynamics of juniper cones oil content. Spread area of wild-growing juniper has been identified on the basis of targeted expeditions. Based on the research results and taking into account the spread area and ethereal oil content in Indian juniper cones, polycarpic species of juniper cones should be used to produce ethereal oil. The cones should be processed in minced form.

Full ripeness of juniper cones comes late in autumn and the fruits stay on trees till early spring. The ethereal oil content in cones during this period is unchangeable - average 1.1 %.

**KEY WORDS:** cones; ethereal oil; juniper; wild-growing.

**UDC 663.5  
SCOPUS CODE 1106**

## **ИССЛЕДОВАНИЕ ДИКОРАСТУЩЕГО МОЖЖЕВЕЛЬНИКА ГРУЗИИ**

- Багатурия Н.Ш.** Институт пищевой промышленности, Грузинский технический университет, Грузия, 0192, Тбилиси, проспект Гурамишвили 17  
E-mail: GFS\_company@yahoo.co
- Каджая Л.В.** Институт пищевой промышленности, Грузинский технический университет, Грузия, 0192, Тбилиси, проспект Гурамишвили 17  
E-mail: kajaia-luiza-dodo@mail.ru
- Гилаури Н.Дж.** Институт пищевой промышленности, Грузинский технический университет, Грузия, 0192, Тбилиси, проспект Гурамишвили 17  
E-mail: nikobalakhashvili@gmail.com

**Рецензенты:**

- Л. Которашвили,** старший научный сотрудник, ассоц. доктор Института пищевой промышленности ГТУ  
E-mail: lkotorashvili@mail.ru
- Н. Бегиашвили,** председатель научного совета, доктор технич. наук Института пищевой промышленности ГТУ  
E-mail: nana-begi@mail.ru

**АННОТАЦИЯ.** В Институте пищевой промышленности впервые были изучены разновидности дикорастущего можжевельника, произрастающего в Грузии; ареал их распространения и содержание эфирного масла в сырье; динамика содержания эфирного масла в различное время года. Проведенными экспедициями установлен ареал распространения дикорастущего можжевельника. На основании результатов исследований установлено, что с учетом ареала распространения и содержания эфирного масла в шишках, для производства эфирного масла нужно заготовлять шишки из вида многоплодного можжевельника. Шишки многоплодного можжевельника следует перерабатывать в измельченном состоянии.

Установлено, что полная зрелость шишек можжевельника наступает поздно осенью и спелые ягоды на дереве остаются до наступления весны. Содержание эфирного масла в шишках в данное время почти не изменяется и в среднем составляет 1,1 %.

**КЛЮЧЕВЫЕ СЛОВА:** дикорастущий; можжевельник; шишки; эфирные масла.

**UDC 663.5**

**SCOPUS CODE 1106**

## გვლურად მზარდი ლიტერატურის ძიმიურ-ტექნოლოგიური მაჩვენებლები

**6. ბალათურია** კვების მრეწველობის ინსტიტუტი, საქართველოს ტექნიკური უნივერსიტეტი,  
საქართველო, 0192, თბილისი, დ. გურამიშვილის გამზ. 17

E-mail: GFS\_company@yahoo.com

**ლ. ქაჯაია** კვების მრეწველობის ინსტიტუტი, საქართველოს ტექნიკური უნივერსიტეტი,  
საქართველო, 0192, თბილისი, დ. გურამიშვილის გამზ. 17

E-mail: kajaia-luiza-dodo@mail.ru

**6. ილურიძე** კვების მრეწველობის ინსტიტუტი, საქართველოს ტექნიკური უნივერსიტეტი,  
საქართველო, 0192, თბილისი, დ. გურამიშვილის გამზ. 17

E-mail: sofotsickiseli@yahoo.com

### რეცენზები:

**ლ. კოტორაშვილი**, სტუ-ის კვების მრეწველობის ინსტიტუტის უფროსი მეცნიერი თანამშრომელი,  
ასოცირებული დოქტორი

E-mail: lkotorashvili@mail.ru

**6. ბეგიაშვილი**, სტუ-ის კვების მრეწველობის ინსტიტუტის სამეცნიერო საბჭოს თავმჯდომარე,  
ტექნიკის მეცნიერებათა დოქტორი

E-mail: nana-begi@mail.ru

**ანოთაცია:** კვების მრეწველობის ინსტიტუტი პირველად იქნა დამუშავებული საქართველოში ველურად მზარდი დვიის გირჩებიდან ნატურალური საკვები დანამატის – ეთეროვანი ზეთის მიღების ტექნოლოგია. დადგენილ იქნა აღნიშნული ტექნოლოგიის დამუშავების პარამეტრები, რაც შემდგომში მდგომარეობს: მრავალნაყოფიანი დვიის გირჩების დამუშავების დროს დისტილატის გამოხდის სიჩქარე უნდა იყოს თორმეტი-ცამეტი სმ<sup>3</sup>/წ; ეთეროვანი ზეთის გამოხდის ხანგრძლივობა – ერთი საათი. შესწავლიდ იქნა დვიის გირჩების ეთეროვანი

ზეთის ქიმიური შედგენილობა, ორგანოლექტიკური და ფიზიკურ-ქიმიური მაჩვენებლები და დადგინდა მათი ზღვრული სიდიდე; დვიის ზეთის კვების მრეწველობაში, კერძოდ ალკოლური სასმელების წარმოებაში გამოყენების შესაძლებლობა. შემუშავებულია დვიის გირჩების დამუშავების ტექნოლოგიური ინსტრუქციებია და მისი ეთეროვანი ზეთის საწარმოო შიგა სტანდარტის პროექტები. დადგენილია დვიის გირჩების ეთეროვანი ზეთის გამოყენების სფერო.

**საპვანძო სიტყვები:** გირჩები; ეთეროვანი ზეთი; პარამეტრები; დვია.

## შესავალი

მსოფლიოში მკვეთრად გაიზარდა მოთხოვნა ნატურალურ საკვებ დანამატებზე, ამიტომ აქტიურია დვინის ნედლეულიდან საკვები დანამატის – ეთეროვანი ზეთის მიღების ტექნოლოგიის დამუშავება, მისი შედგენილობისა და გამოყენების სფეროს შესწავლა.

დვინის გირჩების დამუშავების ოპტიმალური ტექნოლოგიური პარამეტრების გამოკვლევისა და დადგენის მიზნით, შევისწავლეთ დვინის სხვადასხვა ნაირსახეობის – წიწვების, მწიფე და მწვანე გირჩების როგორც დაქუცმაცებულ, ისე დაუქუცმაცებელ ნედლეულში ეთეროვანი ზეთის შემცველობა. ექსპერიმენტის შედეგების საფუძველზე დადგინდა, რომ სამრეწველო მნიშვნელობით (გაგრცელების თვალსაზრისით) ეთეროვანი ზეთის გამოხდის მიზნით უნდა დამუშავდეს მრავალნაყოფიანი დვინის გირჩები დაქუცმაცებულ მდგომარეობაში.

## ძირითადი ნაწილი

დვინის გირჩებიდან ეთეროვანი ზეთის სრულყოფილ გამოხდაზე მოქმედი ტექნოლოგიური პარამეტრების დადგენის მიზნით შესწავლილ იქნა გამოხდის სიჩქარე და სანგრძლივობა. ექსპერიმენტი ჩატარდა ნახევრად საწარმოო პირობებში დალმატოვის მეთოდით ორ ვარიანტად:

I ვარიანტი – დისტილატის გამოხდის სიჩქარე იყო 9–10 სმ<sup>3</sup>/წთ;

II ვარიანტი – დისტილატის გამოხდის სიჩქარე იყო 12–13 სმ<sup>3</sup>/წთ.

ორივე ვარიანტის შემთხვევაში გამოხდის საერთო სანგრძლივობა ორი საათი იყო. ყოველ 30 წთ-ში ხდებოდა დალმატოვის მიმღებში დაგროვილი ზეთის რაოდენობის ათვლა. ზეთის გამოხდისას ყოველ ერთ საათში ცალ-ცალკე გროვდებოდა დისტილატი, რომელშიც განისაზღვრა ზეთშემცველობა. ექსპერიმენტის შედეგები მოცემულია 1-ელ ცხრილში.

## ცხრილი 1

№	ნედლურების დასახელება	ნედლურების რაოდენობა, გ.	ნედლურების მასური წილი, %	გამოხდის მასური წილი, სმ <sup>3</sup> /წთ	ზეთშემცველობა			გამოხდის მასური წილის მიმღები
					გ.	%	აბსოლუტურ მშრალ წონაზე, %	
I ვარიანტი	მრავალნაყოფიანი დვინის გირჩები	400,0	84,0	9-10	30,0 30,0 30,0	2,795 0,215 კვალი	0,699 0,0535	92,857 7,142
					90,0	3,01	0,752	
II ვარიანტი	მრავალნაყოფიანი დვინის გირჩები	400,0	84,0	12-13	30,0 30,0 30,0	3,01 1,29 კვალი	0,752 0,322	70,0 30,0
					90,0	4,30	1,075	

ექსპერიმენტის შედეგების ანალიზმა აჩვენა, რომ I ვარიანტის შემთხვევაში დვიის გირჩებიდან 92,86% ზეთი, ხოლო II ვარიანტის შემთხვევაში 70,0% ზეთი გამოიყოფა გამოხდის პირველ 30 წუთში. დარჩენილი 7,14% და 30% – მომდევნო 30 წუთში, ხოლო შემდგომ წყდება ზეთის გამოყოფა. როგორც ცხრილიდან ჩანს, დვიის გირჩებიდან ზეთის ძირითადი ნაწილი გამოიყოფა პირველ 30 წუთში და შეიძლება შევწყვიტოთ გამოხდის პროცესი, მაგრამ, როგორც ცნობილია, დვიის გირჩები სხვა მრავალ კომპონენტთან ერთად შეიცავს მაღალმაღუდარ კომპონენტებს და ისინი, როგორც წესი, ყველაზე გვიან გაგამოიღება, ამიტომ უმჯობესია ჩატარდეს გირჩებიდან ეთეროვანი ზეთის სრულყოფილი გამოხდა 1 საათის განმავლობაში.

გამოხდის სიჩქარის გავლენის შესწავლაში ზეთის გამოსავლიანობაზე აჩვენა, რომ ზეთის გამოსავლიანობა 0,3%-ით იზრდება, როდესაც გამოხდის სიჩქარე წუთში 12–13 სმ<sup>3</sup>/წთ-ია.

დვიის ეთეროვანი ზეთის მიღების ტექნოლოგიური პროცესის აღწერა: დვიის გირჩები დააქცმაცეს საოჯახო ხორცსაკეპში, თავდაპირველად კი განისაზღვრა ტენის მასური წილი, რამაც 16,0% შეადგინა.

დვიის დააქცმაცებული გირჩები ჩაიტვირთა გამოსახდელ (ლაბორატორიულ) ლითონის პატარა აპარატში, რომელსაც დაემატა სასმელი წყალი ნედლეულის დაფარვამდე. აპარატი დადგეს ელექტროქურაზე ეთეროვანი ზეთის გამოსახ-

დელად. აპარატზე მიაერთეს მინის მაცივარი, რომელშიც ცივი წყალი გაედინება. მაცივრის ბოლოს დაუკენეს დალმატოვის მიმღები, სადაც გროვდებოდა ნედლეულიდან გამოყოფილი ზეთი, მიმღებიდან გამოსული დისტილატი კი გროვდებოდა კოლბაში. გამოხდის სიჩქარე იყო 12–13 სმ<sup>3</sup>/წთ, ხოლო ხანგრძლივობა – 1 სთ.

ამრიგად, ჩვენი ტექნოლოგიური რეჟიმით დამუშავდა 1,5 კგ მრავალნაყოფიანი დვიის დააქცმაცებული გირჩები. მიღებულ იქნა 13,4 გ ეთეროვანი ზეთი, რაც ნედლეულის მიმართ შეადგენს 0,893%-ს, აბსოლუტურ მშრალ წონაზე გადაანგარიშებით კი 1,06%-ს. გამოხდის პროცესში დაგროვდა 2,750 სმ<sup>3</sup> დისტილატი, რომლის საშუალო ნიმუშის ზეთშემცველობამ 0,06 % შეადგინა. ექსპერიმენტის შედეგად მიღებული მონაცემების ანალიზის საფუძველზე დადგინდა დვიის გირჩების დამუშავების ტექნოლოგიური ინსტრუქციის პროექტი.

ქვემოთ მოცემულია დვიის გირჩებიდან ეთეროვანი ზეთის გამოხდის თანამიმდევრული ტექნოლოგიური სქემა.

დვიის გირჩებიდან მიღებული ეთეროვანი ზეთის ფიზიკურ-ქიმიური მაჩვენებლების ზღვრული სიდიდეების დადგენის მიზნით შესწავლილ იქნა, ჩვენ მიერ დამუშავებული ტექნოლოგიური რეჟიმით, ნახევრად საწარმოო პირობებში მიღებული ეთეროვანი ზეთის ორგანოლეპტიკური და ფიზიკურ-ქიმიური მაჩვენებლები. შედეგები მოცემულია მე-2 ცხრილში.

## ცხრილი 2

### დვიის გირჩების ეთეროვანი ზეთის ორგანოლეპტიკური და ფიზიკურ-ქიმიური მაჩვენებლები

მაჩვენებლების დასახელება	დასასიათება და ნორმა
გარეგანი სახე	ადგილად მოძრავი გამჭვირვალე მოყვითალო ფერის სითხე
გემო და სუნი	წიწვოვანებისათვის დამახსახითად
სიმკვრივე, გ/დმ <sup>3</sup> 20°C-ზე	0,8568 – 0,8760
გარდატეხის მაჩვენებელი 20°C-ზე	1,4745 – 1,4848

შეავერი რიცხვი, მგ KOH/გ არაუმტებეს	1,5
კონცენტრაცია რიცხვი, მგ KOH/გ	2,87 – 7,5
ტენის მასური წილი	არ დაიშვება
სხდომა 1 მოცულობაზე 95,0%-იან ეთილის სპირტი	0,5 მოცულობაში

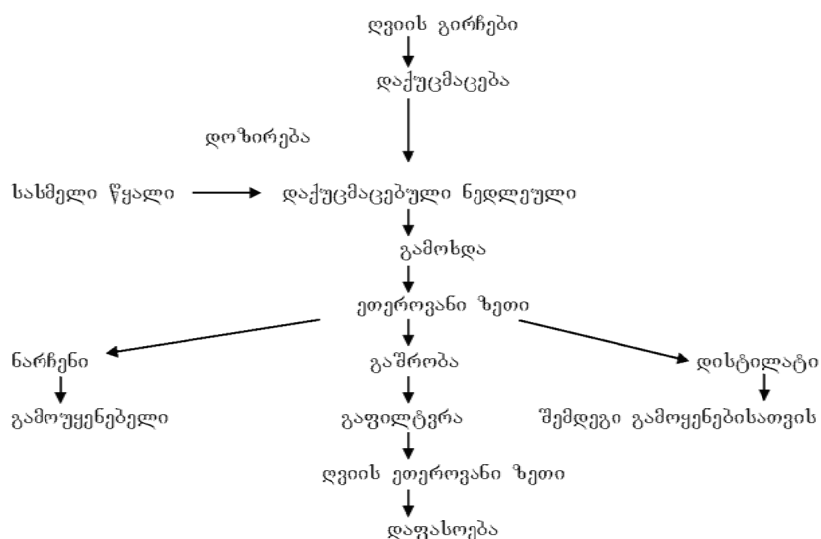
შესწავლილ იქნა დვიის გირჩების ეთეროვანი ზეთის ქიმიური შედგენილობა აირთხევადი ქრომატოგრაფიის მეთოდით. ჩვენ მიერ იდენტიფიცირებულ იქნა შემდეგი კომპონენტები: ალფა-პინენი (23,4%), ლიმონენი (46,8%), ცინეოლი (4,2%), ტერპინენი (3,7%), ალფა-ტერპინეოლი (3,7%).

ლიტერატურული წყაროებიდან ცნობილია, რომ დვიის გირჩების ეთეროვან ზეთს საზღვარ-

გარეთის ქავენები ადრეული დროიდან იყვნებენ ალკოჰოლური სასმელების დასამზადებლად.

ჩვენ მიერ მიღებული ეთეროვანი ზეთის გამოყენებით დარგის სპეციალისტებმა დაამზადეს ჯინი, ლიქორი და არაყი. ჩატარდა აღნიშნული ალკოჰოლური სასმელების დეგუსტაცია, სასმელები მოიწონეს და გამოითქვა აზრი, რომ გაგრძელდეს ამ მიმართულებით მუშაობა.

### დვიის ლირჩების ეთეროვანი ზეთის წარმოების თანამიმდევრული ტექნოლოგიური სქემა



### დასკვნა

მრავალნაყოფიანი დვიის გირჩების დამუშავების ოპტიმალური ტექნოლოგიური პარამეტრების დადგენის მიზნით ჩატარებული კვლევის შედეგების ანალიზის საფუძველზე დადგინდა, რომ დისტილატის გამოხდის სიჩქარე უნდა იყოს 12–13 სმ<sup>3</sup>/წთ; ეთეროვანი ზეთის გამოხდის ხანგრძლივობა – 1 საათი.

შესწავლილ და შემუშავებულ იქნა დვიის გირჩების ეთეროვანი ზეთის ორგანოლექტიკური და ფიზიკურ-ქიმიური მაჩვენებლები და დადგინდა მათი ზედვრული სიდიდეები, ასევე დვიის გირჩების დამუშავების ტექნოლოგიური ინსტრუქციისა და ეთეროვანი ზეთის საწარმოო შიგა სტანდარტის პროექტები.

## ლიტერატურა

1. N. Baghaturia. Essential oils of medicinal and aromatic plants. Tbilisi. 2007. (In Rashen).
2. M. Goryaev, L. Ignatova. International congress on essential oils. Tbilisi. 1968. (In Rashen).

UDC 663.5

SCOPUS CODE 1106

## CHEMICAL-TECHNOLOGICAL PARAMETERS OF WILD-GROWING JUNIPER RAW MATERIAL

<b>N. Baghaturia</b>	Institute of food industry of Georgian Technical University, 17 Guramishvili Ave., c 0192 Tbilisi, Georgia E-mail: GFS_company@yahoo.com
<b>L. Kajaia</b>	Institute of food industry of Georgian Technical University, 17 Guramishvili Ave., 0192 Tbilisi, Georgia E-mail: kajaia-luiza-dodo@mail.ru
<b>N. Iluridze</b>	Institute of food industry of Georgian Technical University, 17 Guramishvili Ave., 0192 Tbilisi, Georgia E-mail: sofotsickiseli@yahoo.com

### Reviewers:

**L. Kotorashvili**, Associate Doctor, Senior Researcher at Institute of Food Industry of GTU  
E-mail: lkotorashvili@mail.ru

**N. Begiashvili**, Chairman of the Science Board, Institute of Food Industry of GTU, Doctor of Technical Sciences  
E-mail: nana-begi@mail.ru

**ABSTRACT.** The institute of food industry developed technology of harvesting natural food additives – biologically active compounds from wild-growing juniper cones raw material. Technological parameters established thereon are the following: the speed of the distillation of residual matter should be 12-13 cm<sup>3</sup>/min, and the period of ethereal oil distillation – 1 hour. Chemical content, organoleptic, physical and chemical parameters of the juniper ethereal oil have been studied and marginal parameters determined. Juniper oil use in food industry, especially in alcohol drinks have been researched. The projects of technological instructions for harvesting essential oils from juniper cones and its raw material and internal production standards for juniper cones ethereal oils have been developed.

The scope of use of juniper essential oils has been studied to establish that these essences can be applied in food industry, as food additive, as well as in perfumery, cosmetics and pharmaceutical industry.

**KEY WORDS:** cones; essential oils; food additives; juniper; parameter.

**UDC 663.5  
SCOPUS CODE 1106**

## **ХИМИКО- ТЕХНОЛОГИЧЕСКИЕ ПОКАЗАТЕЛИ СЫРЬЯ ДИКОРАСТУЩЕГО МОЖЖЕВЕЛЬНИКА**

- Багатурия Н.Ш.** Институт пищевой промышленности Грузинского технического университета, Грузия, 0192, Тбилиси, проспект Гурамишвили 17  
E-mail: GFS\_company@yahoo.com
- Каджая Л.В.** Институт пищевой промышленности Грузинского технического университета, Грузия, 0192, Тбилиси, проспект Гурамишвили 17  
E-mail: kajaia-luiza-dodo@mail.ru
- Илуридзе Н.Ш.** Институт пищевой промышленности Грузинского технического университета, Грузия, 0192, Тбилиси, проспект Гурамишвили 17  
E-mail: sofotsickiseli@yahoo.com

### **Рецензенты:**

**Л. Которашвили,** старший научный сотрудник, ассоц. доктор Института пищевой промышленности ГТУ

E-mail: lkotorashvili@mail.ru

**Н. Бегиашвили,** председатель научного совета, доктор технических наук Института пищевой промышленности ГТУ

E-mail: nana-begi@mail.ru

**АННОТАЦИЯ.** В Институте пищевой промышленности впервые была разработана технология получения натуральной пищевой добавки - эфирного масла из шишек дикорастущего можжевельника, произрастающего в Грузии. Установлены технологические параметры, которые заключаются в следующем: при переработке шишек многоплодного можжевельника скорость отгонки дистиллята должна быть  $12\text{-}13 \text{ см}^3/\text{мин.}$ ; продолжительность отгонки эфирного масла - один час. Изучен химический состав, органолептические и физико-химические показатели и установлены их предельные величины.

Разработаны проекты технологической инструкции переработки шишек можжевельника и производственный внутренний стандарт на масло можжевельника.

Установлена сфера использования масла из можжевельника.

**КЛЮЧЕВЫЕ СЛОВА:** можжевельник; параметры; шишки; эфирные масла.

**UDC 614:65**

**SCOPUS CODE 1401**

## სახელმწიფო-კერძო პარტნიორობის მიზანებისა და მომსახურების ხელმისაწვდომობის გაუმჯობესების საქმეში

**ე. მოწონელიძე**

ბიზნესის ადმინისტრირების დეპარტამენტი, საქართველოს ტექნიკური  
უნივერსიტეტი, საქართველო, 0175, თბილისი, მ. კოსტავას 77

E-mail: info@geosis.edu.ge

**რ. ქუთათელაძე**

ბიზნესის ადმინისტრირების დეპარტამენტი, საქართველოს ტექნიკური  
უნივერსიტეტი, საქართველო, 0175, თბილისი, მ. კოსტავას 77

E-mail: r.kutatadze@gtu.ge

### რეცენზენტები:

**მ. ლომსაძე-კუჭავა,** სახურავლო უნივერსიტეტ „გეომედის“ პროფესორი

E-mail: m2008@boom.ge

**გ. ამყოლაძე,** სტუდ. ენერგეტიკისა და ტელეკომუნიკაციის ფაკულტეტის ელექტროენერგეტიკისა  
და ელექტრომექანიკის დეპარტამენტის პროფესორი

E-mail: g2008@boom.ge

### შესაგალი

**ანოტაცია:** განხილულია საკითხები და პრობლემები, რომელიც ეხება სამედიცინო მომსახურების ხელმისაწვდომობის ხარისხის გაუმჯობესებას, რის საფუძვლზე განვითარდება ჯანდაცვის მართვის ორგანიზაციულ-ეკონომიკური სისტემა და სახელმწიფო-კერძო პარტნიორობა.

ჯანდაცვის სისტემაში სახელმწიფო-კერძო პარტნიორობის განვითარებისათვის შემოთავაზებულია საკითხები, რომელთა დროულად დამუშავება უფრო ხარისხიანს გახდის სამედიცინო მომსახურების ხელმისაწვდომობასა და ჯანდაცვის სახელმწიფო პოლიტიკას.

**საკვანძო სიტყვები:** ეკონომიკური სისტემა; სამედიცინო მომსახურების ხელმისაწვდომობა; სახელმწიფო-კერძო პარტნიორობა; ჯანდაცვა; ჯანდაცვის სახელმწიფო და კერძო სისტემა.

ჯანდაცვის პოლიტიკის განვითარების საქმი დიდი როლი ენიჭება მოსახლეობისათვის სამედიცინო მომსახურების ხელმისაწვდომობის პრობლემის გადაწყვეტასა და გაუმჯობესებას.

ის ფაქტი, რომ საქართველოში ჯანდაცვა გამოცხადებულია პრიორიტეტულ დარგად მნიშვნელოვანი ფაქტორია და ამიტომაც 2016 წლის სახელმწიფო ბიუჯეტიდან 3 მილიარდი ლარი გამოყოფილია ჯანდაცვისა და სოციალური პროგრამების დასაფინანსებლად.

მოსახლეობისათვის სამედიცინო მომსახურების ხელმისაწვდომობის გაუმჯობესება და ამ საკითხების მოსაგვარებლად საჭირო პრობლემა ქვეყნის ჯანდაცვის სისტემაში სახელმწიფო-კერძო პარტნიორობის განვითარებაა.

განხილულია სახელმწიფო-კერძო პარტნიორობის საზღვარგარეთის გამოცდილება, ზოგი-

ერთი თანამშრომლობის ვარიანტი, პარტნიორობის სახეები, რომელთა გამოყენება ხელს შეუწყობს სამედიცინო მომსახურების ხელმისაწვდომობის გაუმჯობესებას.

## ძირითადი ნაწილი

უკანასკნელ წლებში განვითარებულ ქვეყნებში ფართოდაა გავრცელებული სახელმწიფო კერძო პარტნიორობა. პრაქტიკაში აჩვენა მისი დოდი მნიშვნელობა ქვეყნის ეკონომიკის განვითარებაში. აქედან გამომდინარე, იზრდება კერძო სექტორის მონაწილეობა სახელმწიფოსათვის მნიშვნელოვან პროექტებში.

საქართველოს შემთხვევაში – განვითარებადი ქვეყნის ეკონომიკის განვითარების ოვისებურებების გათვალისწინებით მნიშვნელოვნად იზრდება კერძო სექტორის გააქტიურება ქვეყნის სხვადასხვა სასიცოცხლო მნიშვნელობის პროექტების დაფინანსებასა და მშენებლობაში.

საქართველოში ჯანდაცვის განვითარება მთავრობის მიერ გამოცხადებულია პრიორიტეტულ დარგად და ამიტომ 2016 წლის ბიუჯეტში ჯანმრთელობასა და სოციალურ დაცვაზე გამოყოფილია 3 მილიარდ ლარზე მეტი, მათ შორის ჯანმრთელობისა და სოციალური დაცვის გარანტირებული პროგრამების დაფინანსება.

განსაზღვრავს რა იმ ძირითადი მოთხოვნების დაკმაყოფილებას, რისი შესაძლებლობაც სახელმწიფოს აქვს მოცემულ პერიოდში, თავისთავად ცხადია, მოცემული დაფინანსება ნაწილობრივ დაკმაყოფილებს მოსახლეობისა და ქვეყნის მოთხოვნებს ჯანმრთელობისა და სოციალური დაცვის სფეროში.

საზღვარგარეთის გამოცდილება სახელმწიფო-კერძო პარტნიორობის ჯანდაცვის სფეროში უშუალოდ მიუთიებს იმ სამედიცინო მომსახურების გაფართოებას, რომელთა სუბსიდირება სახელმწიფო ბიუჯეტიდან ხდება. ამის შესაბამისად ხდება კერძო სამედიცინო დაწესებულებების

ბისა და კერძო პრაქტიკის ექიმების მონაწილეობის გაფართოება სახელმწიფო პროგრამების რეალიზაციის საქმეში: კერძო სადაზღვევო სამედიცინო ორგანიზაციების პასუხისმგებლობის გაზრდა; მნიშვნელოვანია ისეთი ასოციაციების ან გაერთიანებების შექმნა სპეციალური სახელმწიფო-კერძო პარტნიორობის პროექტების ჩამოსაყალიბებლად, რომლებიც სხვადასხვა სისტემური მიდგომით გაერთიანდება სამედიცინო პროფილის უნივერსიტეტებში, სამეცნიერო-კვლევით ინსტიტუტებსა თუ ლაბორატორიებში და სხვადასხვა სისტემაში.

საქართველოს ჯანდაცვის სისტემაში კერძო სექტორის შემოსავლის პერიოდად შეიძლება აღვნიშნოთ დრო, როდესაც მოხდა ჯანდაცვის ობიექტების განსახელმწიფოებრიობა, რასაც წინ უსწრებდა 1999 წელს დამუშავებული „ჰოსპიტალური სექტორის გენერალური გეგმის“ რჩევა-რეკომენდაციები, რითაც საავადმყოფოები დაყოფილ იქნა კატეგორიებად: საავადმყოფოების ნაწილი დარჩა სახელმწიფო საკუთრებაში, ნაწილის პრივატიზება მოხდა პროფილის შენარჩუნებით ან შენარჩუნების გარეშე. 2006 წელს პრივატიზების პოლიტიკის მიმართ მიდგომა არ შეიცვალა, დაიგეგმა სხვა ფორმა და მიდგომა. ჯანდაცვის პრივატიზებაზე მოსახლეობის მიდგომა არაერთგვაროვანია, რასაც ადასტურებს მეცნიერებული კვლევები [1]. ამ ნაშრომით გამოკვლეულია, რომ გამოკითხულ სამედიცინო პერსონალის 31%-ს მიაჩნია, რომ საქართველოს მთავრობამ სრულად უნდა იქისროს პასუხისმგებლობა ჯანდაცვის სისტემის გამართულ ფუნქციონირებაზე, ხოლო 61% თვლის, რომ ეს პასუხისმგებლობა ჯანდაცვის სფეროში არსებულ პროგენიულ ასოციაციებს უნდა დაეკისროს.

ჩვენი მიდგომით, ეს პასუხისმგებლობა ჯანდაცვის სისტემის გამართულ ფუნქციონირებასა და მოსახლეობის სამედიცინო მომსახურების გარანტირებულ ხელმისაწვდომობაზე სახელმწიფი-

ფოს უნდა დაეკისროს, მაგრამ ამას როგორ უზრუნველყოფს, ეს უკვე მისი ტაქტიკური და სტრატეგიული ამოცანაა. რაც შეეხბა გამოკითხულთა 61%-ს, რომ ჯანდაცვის სფეროში არსებულ პროფესიულ ასოციაციებს უნდა დაეკისროს პასუხისმგებლობა ნაწილობრივ შეიძლება გაზიარებულ იქნეს, რადგან პრივატიზების პროცესში ერთგება მსურველთა სხვადასხვა კომპანია და მოქალაქეები, რომლებსაც კანონით მინიჭებული აქვთ თანაბარი უფლებები საკუთრების შეძენაზე და ამიტომ ასეთი მიღებობა არ გამოდგება. შევჩერდეთ ერთ, ჩვენი აზრით, საინტერესო საკითხზე – კერძო სექტორმა პრივატიზაციის პროცესში შეიძინა ჯანდაცვის ობიექტები და მთავრობასთან ხელშეკრულებაში დაფიქსირებულია განსაზღვრული პერიოდი პროფილის შენარჩუნებით (7–10 წელი). ეს უკვე შეშფოთებას იწვევს სამედიცინო მომსახურების მომხმარებლების მხრიდან; კერძო სექტორს თავისი ძირითადი ინტერესი აქს – ეს არის მოგების მიღება, რისთვისაც არ იშურებს ენერგიას, კაპიტალს, გამოცდილებასა და რესურსებს. თუ ვერ მიიღო მოგება, იძულებულია შეცვალოს პროფილი, რისი უფლებაც აქს, მაგრამ ეს უკვე აღარაა სამედიცინო მომსახურებაზე გარანტირებული ხელმისაწვდომობა, ამიტომ კანონში სახელმწიფო-კერძო პარტნიორობაზე მითითებული უნდა იქნეს გრძელვადიანი პერიოდი და, საერთოდ, თუ ვადა მითითებული არ იქნება, ჩვენი აზრით, ეს უკეთესიცაა. კერძო სექტორის მფლობელობაში ეფექტიანად მოქმედი კლინიკები და საავადმყოფები მოქმედებს, მაგრამ თავს იჩენს ერთი მნიშვნელოვანი საკითხი: თუ მეწარმემ ანუ კერძო მესაკუთრებ თავისი საქმიანობით ვერ მიიღო საქმიარისი ამონაგები და ზარალზე მუშაობს, მაშინ დგება საკითხი მისთვის დაფინანსების შეწყვეტის შესახებ. ასეთ შემთხვევაში კანონის სახელმწიფო მინიჭებული აქს პასუხისმგებელის მიერ გადასაცემის მიზანით მომსახურებას უნდა განვითაროთ, რომელ კლინიკაში მიიღოს საკითხი და აუცილებელი სამედიცინო დახმარება. მაგალითად, ინგლისში სამედიცინო მომსახურების გაწევა ანუ სამედიცინო მომსახურების მომხმარებელს უნდა პქონდეს არჩევანი, რომელ კლინიკაში მიიღოს საჭირო და აუცილებელი სამედიცინო დახმარება. მაგალითად, ინგლისში სამედიცინო მომსახურების გაწევა საერთო პრაქტიკის ექიმების მიერ შეხამებულია სამედიცინო დახმარების სახელმწიფო დაფინანსებასთან. კერძო პრაქტიკის ექიმები სამედიცინო მომსახურებას უსასყიდლოდ ეწევიან და მოქმედებენ სახელმწიფო მართვის ორგანოებთან ხელშეკრულების საფუძველზე. კერძო დაფინანსების მაგალითად შეგვიძლია ასევე მოვიყვანოთ საბჭოთა კავშირში მოქმედი წესი – ფასიანი მომსახურება, რომელსაც ეწეოდნენ სახელმწიფო სამედიცინო დაწესებულებებში, შესაბამისობაში მოდის მსოფლიოში კარგახანია ცნობილ და საქართველოში ნორმად მიღებულ თანაგადასდებთან (თანაგადახდის სიდიდე დადგენილია ნორმატიული აქტით).

დღეს საქართველოში მოქმედებს ჯანდაცვის სახელმწიფო სისტემა, რომელსაც კონსტიტუციით მინიჭებული აქს პასუხისმგებლობა მოსახლეობის ჯანმრთელობის დაცვაზე და კერძო ჯანდაცვის ულტრავალებულ პრინციპების მიზანით მოქმედებს უსასყიდლოდ ეწევიან და მოქმედებენ სახელმწიფო მართვის ორგანოებთან ხელშეკრულების საფუძველზე. კერძო დაფინანსების მაგალითად შეგვიძლია ასევე მოვიყვანოთ საბჭოთა კავშირში მოქმედი წესი – ფასიანი მომსახურება, რომელსაც ეწეოდნენ სახელმწიფო სამედიცინო დაწესებულებებში, შესაბამისობაში მოდის მსოფლიოში კარგახანია ცნობილ და საქართველოში ნორმად მიღებულ თანაგადასდებთან (თანაგადახდის სიდიდე დადგენილია ნორმატიული აქტით).

დღეს საქართველოში მოქმედებს ჯანდაცვის

სახელმწიფო სისტემა, რომელსაც კონსტიტუციით

მინიჭებული აქს პასუხისმგებლობა მოსახლეობის ჯანმრთელობის დაცვაზე და კერძო ჯანდაცვის ულტრავალებულ პრინციპების მიზანით მოქმედებს უსასყიდლოდ ეწევიან და მოქმედებენ სახელმწიფო მართვის ორგანოებთან ხელშეკრულების საფუძველზე. კერძო დაფინანსების მაგალითად შეგვიძლია ასევე მოვიყვანოთ საბჭოთა კავშირში მოქმედი წესი – ფასიანი მომსახურება, რომელსაც ეწეოდნენ სახელმწიფო სამედიცინო დაწესებულებებში, შესაბამისობაში მოდის მსოფლიოში კარგახანია ცნობილ და საქართველოში ნორმად მიღებულ თანაგადასდებთან (თანაგადახდის სიდიდე დადგენილია ნორმატიული აქტით).

ვის სისტემა, რომლის მირთადი მიზანი სისტემის განვითარება და საქუთარი ინტერესების განხორციელებაა, მოგების მიღების გათვალისწინებით.

კერძო ჯანდაცვის სისტემა საქართველოში ვითარდება შემდეგი ფორმებით:

- კერძო (საერთო) პრაქტიკის ექიმები და მედიცინის სხვა სპეციალისტები, რომლებიც დაკავებული არიან სამედიცინო მომსახურების გაწევით, მაგრამ რამდენიმე თრგანიზაციულ-სამართლებრივი ფორმა არ გააჩნიათ;

- საიჯარო, ერთი პირის საწარმოების სახით, რომლებიც იურიდიული პირები არიან (საოჯახო ბიზნესი);

- საშუალო და მსხვილი სამედიცინო დაწესებულებები, რომლებიც წარმოდგენილია სხვადასხვა თრგანიზაციულ-სამართლებრივი ფორმით.

უკანასკნელ ხანს გამოიკვეთა ჯანდაცვის ობიექტების ერთმანეთთან შეერთებისა და დაჯგუფების ჩამოყალიბების ტენდენციები.

ჩვენი აზრით, სახელმწიფო საქუთრების დომინირება ხელს უშლის და ზღუდავს კონკურენტული ძალების ურთიერთმოქმედებას, ამასთან არ ვითარდება საბაზისო ურთიერთობები ჯანდაცვაში და, რაც მთავარია, სახელმწიფოს არ გააჩნია საქმარისი სახსრები, რომ მთელი ჯანდაცვის ობიექტების ქსელის საქმიანობა სრულად დააფინანსოს. კერძო ჯანდაცვის სისტემა ყველა განვითარებულ თუ განვითარებად ქვეყანაში ქმნის პირობებს, რომ სამედიცინო მომსახურება ხდებოდეს კონკურენტულ გარემოში და ამის საფუძველზე უფრო წარმატებით განვითარდეს სამედიცინო მომსახურების ბაზარი. რაც უფრო ძლიერდება ჯანდაცვის ობიექტებს შორის კონკურენცია, მთო უფრო მიმდინარეობს ძიება სამედიცინო მომსახურების ისეთ ვარიანტზე, რომელიც შეამცირებს ხარჯებს მომსარებლის სამედიცინო დახმარების გაწევაზე.

კერძო ჯანდაცვის სისტემა მოწოდებულია მიიზიდოს დამატებითი ინვესტიციები ახალი შე-

ნობებისა და ინფრასტრუქტურების, ახალი ტექნოლოგიებისა და ტექნიკის შეძენა-დანერგვაზე. შედეგად მომსახურებელი დებულობს გაუმჯობესებულ და ინოვაციურ სამედიცინო მომსახურების ისეთ ფორმებს, რომლებზეც ადრე ფიქრიც არ შეიძლებოდა.

საქართველოს ჯანდაცვის სისტემაში ჯანდაცვის ობიექტების მმართველობა გამოკვეთოლია შემდეგი სახის მესაქუთრეთა მიხედვით: არის სახელმწიფო საკუთრებაში არსებული საავადმყოფოები, საავადმყოფოების 30%-ის მფლობელები კერძო პირები არიან. სადაზღვევო კომანიები კი საავადმყოფოების 42%-ის მფლობელებია (პოსპიტალური სექტორების ნაწილის პრივატიზაცია 2005 წლის შემდეგ დაიწყო).

ამ მონაცემების საფუძველზე ჩანს, რომ კერძო ჯანდაცვის სისტემა მოქმედებს საქუთარი ინტერესების მიხედვით, სახელმწიფო ჯანდაცვა კი – მთელი მოსახლეობისათვის, რადგან მის მფლობელობაში ძირითად ფსიქიატრიული და სხვა სპეციფიკური სამედიცინო ობიექტებია.

საქართველოში მოქმედი სახელმწიფო (საჯარო)-კერძო პარტნიორობა ჯანდაცვის სისტემაში მიმართულია იმ მიზნისკენ, რათა უფრო გაიზარდოს ხელმისაწვდომობა სამედიცინო დახმარებაზე, ამაღლდებს სამედიცინო მომსახურების ხარისხი და სამედიცინო ობიექტებს შორის კონკურენციის დონე, მომსახურების ღირებულების შემცირების მიზნით.

ჩვენი აზრით, კარგი იქნებოდა სახელმწიფო - კერძო პარტნიორობის განვითარების საქმეში გამოგვევნებინა პარტნიორობის ისეთი სახე, როგორიცაა სამეწარმეო თრგანიზაციის შექმნა, რომელსაც სახელმწიფო გადასცემდა რომელიმე ჯანდაცვის ობიექტს, რომლის ქონების 100% სახელმწიფოსი იქნებოდა, ხოლო სამეწარმეო კომპანია გაუწევდა ხელმძღვანელობას, წარმართავდა სამეცნიერო, მენეჯერულ საქმიანობასა და სამედიცინო მომსახურებას. ასეთ პარტნიორო-

ბას შორის განსხვავება ისაა, რომ აქ საკუთრება სახელმწიფოსია, ხოლო მმართველობა და საქმიანობა – კერძო ფირმისა. ასეთი სამეწარმეო ორგანიზაციის საქმიანობა მიმართულია მოგების მიღებაზე, მისი საქმიანობის დაფინანსება უფრო მოსახერხებელია როგორც სახელმწიფო ბიუჯეტიდან, ასევე კერძო ინვესტიციებით. ასეთ ორგანიზაციებს შეიძლება გადაეცეს ჯანდაცვის სახელმწიფო პროგრამების შესრულება, რომელთა დაფინანსება ბიუჯეტიდან ხდება.

საქართველოს ჯანდაცვის სისტემაში [6] უკვე დაწყებულია მუშაობა სახელმწიფო -კერძო პარტნიორობის განვითარებაზე, ეკონომიკისა და მდგრადი განვითარების სამინისტროში კი მუშაობენ კანონზე კერძო და საჯარო სტრუქტურების თანაარსებობის შესახებ, რაც მეტად დროულია, რაზეც ჩვენც მივუთითებთ [2]. შრომის, ჯანმრთელობისა და სოციალური დაცვის სამინისტროს პოზიციით, კერძო და სახელმწიფო კლინიკებს თანაბარი პირობები უქნება. ჩვენი აზრით, ასეთი მიღებობით არ მოხდება კერძო სააგადმყოფოების სამეურნეო, კლინიკურ და მმართველ საქმიანობაში ჩარევა. რაც შეეხება სამედიცინო მომსახურების შესახებ ნორმატიულ დოკუმენტებსა და სახელმწიფო ჯანდაცვის პროგრამაში მონაწილეობას, თავისთავად თანაბარი პირობები იქნება შენარჩუნებული. ჩვენი აზრით, ეს არის სახელმწიფო -კერძო პარტნიორობის სახელმწიფოებრივი მიღება, რითაც გაფართოვდება და განვითარდება კერძო ჯანდაცვის სისტემა, რომელიც სახელმწიფო ჯანდაცვის სისტემასთან ურთიერთსასარგებლო საქმიანობის მეშვეობით უფრო ხელმისაწვდომს და ხარისხიანს გახდის სამედიცინო მომსახურებას.

## დასკვნა

ჯანდაცვის განვითარებას და, შესაბამისად, სამედიცინო მომსახურების ხელმისაწვდომობას ხელს უშლის სახელმწიფო საკუთრების დომინირება. მსოფლიოს მრავალ ქვეყანაში ეფექტიანად მოქმედებს სახელმწიფო - კერძო პარტნიორობა. საქართველოში ამ პარტნიორობას განვითარების ტენდენციები აქვთ. ჩვენი აზრით, ამ პარტნიორობის ეფექტიან ეტაპზე გადასაყვანად კარგი იქნება თუ გამოყენებული იქნება ჩვენი მიერ შემოთავაზებული საკითხები:

1. სამეწარმეო კომპანიის შექმნა, რომელსაც სახელმწიფო გადასცემს საკუთრებას სამართავად და გამოსაყენებლად ანუ სახელმწიფოს უნარჩუნდება 100% წილი, კომპანია კი ახდენს როგორც სამედიცინო მომსახურების გაწევას, ასევე სამეურნეო საქმიანობის მართვას;

2. საჭიროა დროულად მიღებულ იქნეს კანონი სახელმწიფო-კერძო პარტნიორობის შესახებ, რითაც თანაბარ პირობებში უნდა მოექცეს როგორც სახელმწიფო, ისე კერძო სამედიცინო ობიექტები.

3. დარეგულირდეს პარტნიორობის ადმინისტრაციული, საფინანსო, სამოქალაქო და ორგანიზაციულ-ეკონომიკური მექანიზმი.

ცხადია, ეს არ არის ამომწურავი, მასალები მრავალფეროვანია, მაგრამ პარტნიორობის განვითარებაზე სახელმწიფოებრივი მიღება მრავალ პრობლემას მოაგვარებს, მათ შორის ყველაზე მნიშვნელოვანს – მოსახლეობის სამედიცინო მომსახურებაზე ხელმისაწვდომობის გაუმჯობესებას;

4. მთავრობის დონეზე შეიქმნას სახელმწიფო-კერძო პარტნიორობის საკონსულტაციო საბჭო ან კომისია და მაკონტროლებელი ორგანო.

## ლიტერატურა

1. State Healthcare Strategy of Georgia 2011-2015. "Ministry of Labor, Health and Social Affairs of Georgia". (In Georgian).
2. "Transparency International Georgia", The Georgian Hospital Sector, Tbilisi, 2012. (In Georgian).
3. T. Verulava. "Public-Private Partnership Model in Healthcare Sector", Tbilisi, "Liberali" managize 10.04.2015. (In Georgian).
4. E. Motsonelidze. "The Role of Public-Private Partnership for Enhancement of Organizational and Economic System of Healthcare", Business Engineering №4.2015, quarterly journal. (In Georgian).
5. G. Amkoladze. M. Pirtskhalava, M. Lomsadze-Kuchava, etc. "Management, marketing appeal and economic mechanisms of Healthcare, health improvement, prevention and recreation objects", Grant project (№252-2-8-166), Tbilisi, 2011. (In Georgian).
6. Statement of Georgian Government (2014. 26-12, №724) on approving the 2014-2020 government concept of "Public Healthcare and Quality Control for Protection of Patients Rights", Tbilisi, 2014. (In Georgian).

---

UDC 614:65

SCOPUS CODE 1401

## THE IMPORTANCE OF PUBLIC-PRIVATE PARTNERSHIP FOR ENHANCEMENT OF HEALTHCARE ACCESSIBILITY

**E. Motsonelidze** Department of Business Administration, Georgian Technical University, 77 M. Kostava str., 0175 Tbilisi, Georgia

E-mail: info@geosis.edu.ge

**R. Kutatladze** Department of Business Administration, Georgian Technical University, 77 M. Kostava str., 0175 Tbilisi, Georgia

E-mail: r.kutatladze@gtu.ge

### Reviewers:

**M. Lomsadze-Kuchava**, Professor, "Geemedi" university

E-mail: m2008@boom.ge

**G. Amkoladze**, Professor, Department of Power Engineering and Electromechanics, Faculty of Power Engineering and Telecommunications, GTU

E-mail: g2008@boom.ge

**ABSTRACT.** The issues and problems related to the enhancement of healthcare accessibility level are discussed and characterized in this work, on the basis of which organizational economic system of healthcare and public-private partnership will be developed.

The authors propose ideas for the development of public-private partnership in healthcare system. The timely processing of these ideas will ensure better levels of healthcare accessibility and higher quality of government healthcare policy.

**KEY WORDS:** accessibility of medical service; economic system, government and private system of healthcare; healthcare; public-private partnership.

UDC 614:65

SCOPUS CODE 1401

## ЗНАЧЕНИЕ ГОСУДАРСТВЕННО-ЧАСТНОГО ПАРТНЕРСТВА В ДЕЛЕ УЛУЧШЕНИЯ ДОСТУПНОСТИ МЕДИЦИНСКОГО ОБСЛУЖИВАНИЯ

- Моцонелидзе Э.Р.** Департамент бизнес-администрирования, Грузинский технический университет, Грузия, 0175, Тбилиси, ул. М. Костава, 77  
E-mail: info@geosis.edu.ge
- Кутателадзе Р.Г.** Департамент бизнес-администрирования, Грузинский технический университет, Грузия, 0175, Тбилиси, ул. М. Костава, 77  
E-mail: r.kutateladze@gtu.ge

### Рецензенты:

**М. Ломсадзе-Кучава**, профессор учебного университета «Геомед»

E-mail: m2008@boom.ge

**Г. Амколадзе**, профессор Департамента электроэнергетики и электромеханики факультета энергетики и телекоммуникации ГТУ

E-mail: g2008@boom.ge

**АННОТАЦИЯ.** Изучены вопросы и описаны проблемы, касающиеся улучшения качества доступности медицинского обслуживания, на основе которого будут развиваться организационно-экономическая система управления здравоохранением и государственно- частное партнерство.

Авторами намечены пути для развития государственно-частного партнерства в системе здравоохранения. Своевременное изучение имеющихся проблем сделает более качественным доступность медицинского обслуживания и государственную политику здравоохранения.

**КЛЮЧЕВЫЕ СЛОВА:** государственно-частное партнерство; государственная и частная система здравоохранения; доступность медицинского обслуживания; здравоохранение; экономическая система.

**UDC 33 (076)**

**SCOPUS CODE 1405**

**06032010 მეცნიერების და მცირების და საშუალო საწარმოები**

**ე. შილაკაძე** ტრანსპორტისა და მანქანათმშენებლობის მენეჯმენტის დეპარტამენტი,  
საქართველოს ტექნიკური უნივერსიტეტი, საქართველო, 0175, თბილისი,  
გ. კოსტავას 68<sup>ა</sup>  
E-mail: eshilakadze@gmail.com

**რეცენზენტები:**

**გ. ჯანიქაშვილი**, სტუ-ის რექტორის მრჩეველი, ტექნიკის მეცნიერებათა დოქტორი  
E-mail:mikheiljanikashvili@gmail.com

**დ. თავხელიძე**, სტუ-ის აგრარული მეცნიერებებისა და ბიოსისტემების ინჟინერიის ფაკულტეტის  
პროფესორი  
E-mail: tavkhelidze@gtu.ge

**ანოთაცია:** გამოსაკვლევი საწარმოების  
მდგრადი მომსახურების ანალიზის შემდეგ აუცილებელია  
მათი ფუნქციონირების მფექტურობის გაზრდის  
საკითხების განხილვა, რადგან ტრანსფორმა-  
ციული პროცესების დაწყების მომენტიდან მცი-  
რე და საშუალო ბიზნესი ეკონომიკის ერთ-ერთი  
მასტაბილიზებელი ფაქტორი გახდა. საქმაოდ  
შემჭიდროებულ პირობებში განვითარებით, მრე-  
წველობის მცირე და საშუალო საწარმოების  
სექტორი მომწიფებულ სოციალურ კონფლიქ-  
ტების, გამოთავისუფლებული და დაუსაქმებელი  
თანამშრომლების ამოქმედებით ხელს უწყობს  
ეკონომიკის ტრანსფორმაციის, კონკურენტული  
გარემოს ფორმირების განხორციელებას.

**საკვანძო სიტყვები:** ინოვაციური მეწარმე-  
ობა; კონკურენტული გარემო; მცირე და საშუ-  
ალო საწარმოები; საინოვაციო მენეჯმენტი; სა-  
ხელმწიფო პროგრამები.

**შესავალი**

მრეწველობის მცირე და საშუალო საწარმოე-  
ბი მთელი ქვეყნის ეკონომიკური პოტენციალის  
განვითარების მნიშვნელოვანი შემადგენელი  
ნაწილია.

ზოგადად, მცირე ბიზნესი და ინოვაციური  
მეწარმეობა ერთი და იგივე არ არის. უმეტეს  
შემთხვევაში მცირე ბიზნესი არ არის ინოვა-  
ციური. ტერმინი „ინოვაცია“, მიუხდავად გან-  
მარტებათა სიმრავლისა, ყველაზე ზუსტად ამ  
ტერმინის ავტორმა ი. შუმპეტერმა განმარტა:  
„ინოვაცია არის კომერციალიზებული გამოგონე-  
ბა“ [1] აქედან გამომდინარე, ინოვაცია, ფართო  
გაგებით, ინოვაციური პროცესის საბოლოო  
შედეგია და ბაზარზე რეალიზებადი, ახალი ან  
სრულყოფილი პროდუქტის სახით გამოდის.  
შესაბამისად, ის მცირე საწარმოები, რომლებიც  
არსებული ან ახალი ტექნოლოგიით ახალ პრო-  
ცესების და მათი მომსახურების განვითარების გარემოს ფორმირების განხორციელებას.

დუქტს აწარმოებს, ახალი ტექნოლოგიით ცნობილ პროდუქტს, ასევე მცირე საინვაციო საწარმოებად გვევლინება [2].

საინვაციო მენეჯმენტი, საინვაციო საქმიანობა, როგორც ნებისმიერი სამეურნეო (ეკონომიკური) საქმიანობა, მოითხოვს სათანადო მართვას ანუ საინვაციო მენეჯმენტს [3].

საინვაციო მენეჯმენტი მოიაზრება სტრატეგიული მენეჯმენტის ერთ-ერთ მნიშვნელოვან მიმართულებად, რომელსაც ორგანიზაციის ხელმძღვანელობა ახორციელებს უმაღლეს დონეზე. საინვაციო მენეჯმენტის მიზანია ფირმის (საწარმოს) მეცნიერულ-ტექნიკური და ეკონომიკური საქმიანობის (ბიზნესის) ძირითად მიმართულებათა განსაზღვრა: ახალი პროდუქციის დამუშავება და დანერგვა (საინვაციო საქმიანობა); იმ პროდუქციის მოდერნიზაცია და სრულყოფა, რომელსაც აწარმოებენ; პროდუქციის ტრადიციული სახეების წარმოების შემდგომი სრულყოფა; წარმოებიდან მოგველებული პროდუქციის მოხსნა. ყოველივე ეს განპირობებულია საქონლის კონკურენტუნარიანობის ამაღლებით, რასაც არსებითი მნიშვნელობა აქვს საბაზო ეკონომიკის პირობებში. საინვაციო მენეჯმენტში მთავარი ყურადღება ექცევა ინვაციის სტრატეგიისა და ღონისძიებათა შემუშავებას, რომლებიც მიმართულია მათ რეალიზაციაზე. ფირმის სტრატეგიის პრიორიტეტული მიმართულება პროდუქციის ახალი სახეების დამუშავება და მისი წარმოებაა, ვინაიდან სწორედ ეს განსაზღვრავს ყველა დანარჩენი მიმართულების განვითარებას.

ამრიგად, საინვაციო მენეჯმენტის განხორციელება გულისხმობს: საინვაციო საქმიანობის გეგმებისა და პროგრამების დამუშავებას; ახალი პროდუქციის შექმნისა და მისი დანერგვის პროცესებისადმი დაკვირვებას; ახალი პროდუქტების შექმნის პროექტების განხილვას; ერთიანი საინვაციო პოლიტიკის გატარებას (ამ მიმარ-

თულებით საქმიანობის კოორდინაცია საწარმო სტრუქტურებში); საინვაციო საქმიანობის პროგრამების უზრუნველყოფას ფინანსური და მატერიალური რესურსებით, კვალიფიციური პერსონალით; დროებითი მიზნობრივი ჯგუფების (ადაპტური სტრუქტურების) შექმნას ინვაციური პრობლემების კომპლექსურად გადაწყვეტისათვის – იდეიდან პროდუქციის სრულ წარმოებამდე.

ინვაციური მენეჯმენტი გულისხმობს მართვის ისეთი სისტემის შექმნას, რასაც შედეგად მოჰკვება მისი გაიაფება, ოპერატიულობისა და მოქნილობის ამაღლება, ოპტიმალურობა და მომგებიანობის არსებითი ზრდა. ინვაცია დანერგილი სიახლეა, რომელიც თვისებრივად აუმჯჯობესებს საწარმოო პროცესებს და იმ პროდუქციის ხარისხს, რომელსაც ბაზარი ითხოვს [4].

ინვაციური საქმიანობის ისეთი მოქნილი ორგანიზაციული ქვესტრუქტურების შექმნა, რომელიც სამცნიერო-კვლევითი საქმიანობის, საცდელ-საკონსტრუქტორო და დანერგვითი სამუშაოების ეფექტურად განხორციელებას უზრუნველყოფს [5].

ინვაციური მენეჯმენტი მრეწველობის მცირე და საშუალო საწარმოების მრავალმხრივი საქმიანობის მუდმივი განახლებაა, კვლევებისა და იდეების წარმატებულ ბიზნესად გადაქცევის ორგანიზება და მართვა. თავისი არსით, ინვაციური მენეჯმენტი სხვა არაფერია თუ არა ცვლილებების მართვა, რომელიც მცირე და საშუალო საწარმოების კონკურენტუნარიანობის გაზრდამდე მიღებების. სხვა სიტყვებით, ინვაციურ მენეჯმენტში უნდა გავიგოთ მმართველი ზემოქმედება მითითებული ფაქტორების ცვლილებაზე. ინვაციური მენეჯმენტი "არის სიახლეების, კვლევებისა და იდეების წარმატებულ ბიზნესად გადაქცევის ორგანიზება და მართვა, მოიცავს მარკეტინგს, აუდიტს, ინვესტიციებს, სამართალს და მენეჯმენტს კომპლექსურად [6].

აუცილებელია ინოვაციური მენეჯმენტის გამოყენება ქვეყნის მცირე და საშუალო საწარმოებში, საზღვარგარეთის სხვადასხვა ქვეყნის გამოცდილების გათვალისწინებით.

აღმოსავლეთის პარტნიორების სამოქალაქო საზოგადოების ეროვნული პლატფორმა მეორე სამუშაო ჯგუფმა „ეკონომიკური ინტეგრაცია“ დაამუშავა და წარმოადგინა დოკუმენტის სახით: „საინოვაციო პოლიტიკა საქართველოში“ – რეკომენდაციები საქართველოს ხელისუფლებას. დოკუმენტი ეხება საქართველოს ეკონომიკური განვითარების უმნიშვნელოვანეს საკითხს – საინოვაციო პოლიტიკას, ჩვენი აზრით, დღეოსათვის კარგად შემუშავებულ სახელმძღვანელო დოკუმენტს, სადაც აღნიშნულია, რომ საქართველოში არსებული მდგომარეობა შეიძლება დაგახსასიათოთ, როგორც საინოვაციო პოლიტიკის შემუშავების წინა ეტაპი. ეს ნიშნავს, რომ პოლიტიკა როგორც ნორმატიული დოკუმენტების ერთიანი სისტემა ჯერ არ არსებობს, მაგრამ ინოვაციის საკითხები ჩართულია ქვეყნის განვითარებაზე მსჯელობის დღის წესრიგში [7].

მსოფლიოს საინოვაციო პროცესების შესწავლისა და საქართველოს ინოვაციის სფეროში მდგომარეობის ანალიზის შედეგად შეგვიძლია დავასკვნათ, რომ საინოვაციო პოლიტიკის მიმართ დამოკიდებულება ჩვენთან ნებატიურიდან პოზიტიურისკენ შეიცვალა. შეიქმნა წინაპირობები საინოვაციო პოლიტიკის შემუშავებისა და მთავრობის მხრიდან პრაქტიკული ნაბიჯების გადადგმისთვის, ინოვაციური განვითარების მიმართულებით.

მცირე და საშუალო მეწარმეობის მაკროეკონომიკური ასპექტების და მენეჯმენტის საკითხების შესწავლასა და დამუშავებასთან ერთად, ქართულ სამეცნიერო-ეკონომიკურ ლიტერატურაში, სათანადო დონეზე შესწავლილი არის ინოვაციური მენეჯმენტის განვითარების

საკითხები; მიკრო, მცირე და საშუალო მეწარმეობაში შესაბამისად არ არის შექმნილი სახელმწიფო მხარდაჭერის სისტემის ინსტიტუციური მოწყობის, მხარდაჭერის მექანიზმების, რეგიონალური პროგრამების შემუშავებისა და ცალკეული კატეგორიების მეწარმეთა ხელშეწყობის მეთოდური და ორგანიზაციული საკითხები.

### ძირითადი ნაწილი

თანამედროვე საბაზრო ეკონომიკის პირბებში სწრაფად ვითარდება ინფრასტრუქტურა, რომელიც უზრუნველყოფს ამ საწარმოების მოთხოვნილებებს. კერძოდ, ბოლო 2–3 წლის განმავლობაში ინტენსიურად ვითარდება როგორც მცირე ბიზნესის დაკრედიტების საბანკო ფორმები, ისე მიკროდაფინანსების პროგრამები.

ამასთან, დაფინანსების არსებული შესაძლებლობები ვერ უზრუნველყოფს მრეწველობის მცირე და საშუალო საწარმოების მრავალ მოთხოვნას. ეს ეხება იმ საწარმოებსაც, რომლებიც უკვე მუშაობს ტრადიციულ სექტორებში, განსაკუთრებული ისეთ ჯგუფებს, რომლებიც იდებნ სტარტს და ინოვაციურ საწარმოებს.

მსოფლიოში მცირე და საშუალო საწარმოებს მიეკუთვნება ნებისმიერი საწარმო, სადაც დასაქმებულთა რიცხვი 250-მდე ან ზოგჯერ 500 ადამიანამდეა.

მცირე და საშუალო საწარმოების კლასიფიკაცია შემდეგნაირად ხდება:

პირველი კლასი – დინამიკური და მოქნილი, ინოვაციების მიმართ მგრძნობიარე, დივერსიფიცირებული;

მეორე კლასი – საოჯახო (ტრადიციული), შემავალი ადგილობრივი ბიზნესის გარემოში;

მესამე კლასი („სტარტ-უპს“) – არამდგრადი, მებრძოლი არსებობისათვის.

მრეწველობის მცირე და საშუალო საწარმოები ნებისმიერი განვითარებული სამუშარეო სისტემის

უცვლელი ელექტრია, რომლის გარეშე ეცონომიკა და საზოგადოება მთლიანობაში ნორმალურად ვერ იარსებებს და ვერ განვითარდება. თუმცა, ნებისმიერი განვითარებული სახელმწიფოს მეცნიერებულ-ტექნიკურ დონეს და სამრეწველო პოტენციალს განსაზღვრავს მსხვილი საწარმოები, მაგრამ ამ ქვეყნების ცხოვრების საფუძველი მრეწველობის მცირება და საშუალო საწარმოებია, როგორც საქმიანი ცხოვრების შედარებით მასობრივი, დინამიკური და მოქნილი ფორმა. ეს განპირობებულია ამ საწარმოების სექტორის დიდი სოციალურ-ეკონომიკური მნიშვნელობით, რომელიც აერთიანებს ყოველდღიურ შრომით საქმიანობაში ჩართული მოსახლეობის მირითადი მასის სასიცოცხლო ინტერესებს.

მრეწველობის კონკურენტუნარიანი მცირება და საშუალო საწარმოების ფუნქციონირება ხელს უწყობს ეკონომიკის კონკურენტული ტრიუსის შენარჩუნებას და მნიშვნელოვან როლს ასრულებს სოციალური დაბაზულობის დაძლევაში, რაც დაკავშირებულია ზოგიერთი სამრეწველო პროგრამის სწრაფ დანერგვასთან ქვეყნაში, სადაც მოსახლეობას აქვს მცირებული შემოსავალი, ეროვნული ეკონომიკის კონკურენტუნარიანობის არასაკმარისი დონე, ასევე კრიზისი, რომელიც მოედო მსოფლიო ეკონომიკას მოიცავს.

მიუხედავად სახელმწიფო პროგრამების ყოველწლიური დამტკიცებისა, რომლებიც მიმართულია მრეწველობის მცირება და საშუალო საწარმოების განვითარების სტიმულირებაზე, საშუალებათა სუბსიდირებაზე ფადერალური, რეგიონალური და მუნიციპალური ბიუჯეტიდან, ეს ზომები ვერ შეუწყობს ხელს კარდინალურ ცვლილებებს ამ საწარმოების სფეროში, ვინაიდან მათი განვითარების დონე არასაკმარისი რჩება, გლობალურ საზოგადოებაში წარმატებული ინტეგრაციის განსახორციელებლად.

გამოსაკვლევი საწარმოების მდგომარეობის

ანალიზის შემდეგ აუცილებელია მათი ფუნქციონირების ეფექტურობის ზრდის საკითხზე გადასვლა, რადგან ტრანსფორმაციული პროცესების დაწყების მომენტიდან მცირება და საშუალო ბიზნესი გახდა ეკონომიკის ერთ-ერთი მასტაბილიზებელი ფაქტორი. საკმაოდ შემჭიდროებულ პირობებში განვითარებით, მრეწველობის მცირება და საშუალო საწარმოების სექტორი მომწიფებული სოციალური კონფლიქტების, გამოთავისუფლებული და დაუსაქმებელი თანამშრომლების ამოქმედებით ხელს შეუწყობს ეკონომიკის ტრანსფორმაციის, კონკურენტული გარემოს ფორმირების განხორციელებას.

საკვლევი ობიექტების საქმიანობაზე მნიშვნელოვან გავლენას ახდენს კანონმდებლობის ხარისხი და სახელმწიფო პოლიტიკის გამოყენებული ინსტრუმენტები, განვითარებული ნორმატიული აქტები, პროგრამები და სხვა.

საზღვარგარეთის გამოცდილებამ გვიჩვენა, რომ მრეწველობის მცირება და საშუალო საწარმოებს პრაქტიკულად არ შეუძლია ფუნქციონირება სახელმწიფოს მხარდაჭერის გარეშე. სამეცნიერებო სუბიექტების მონაცემების განვითარება ითვალისწინებს შესაბამისი რეგიონალური და სახელმწიფო პოლიტიკის განხორციელებას, რომელიც უზრუნველყოფს მათი განვითარების ხელ-საყრელ პირობებს: საგადასახადო და საფინანსო-საქრედიტო სტიმულირება, სამართლებლივი რეგულირება, სპეციალური ინსტიტუტები, რომლებიც წარმოდგენილი პოლიტიკის გატარებას უზრუნველყოფს. ყველაფერი ეს, რა თქმა უნდა, ან სახება მრეწველობის მცირება და საშუალო საწარმოების კონკურენტუნარიანობის ეფექტურობაზე.

ჩვენი აზრით, მრეწველობის მცირება და საშუალო საწარმოებს შეუძლია უზრუნველყოს ის კონკურენტული გარემო, რომელიც ასე აკლია მრეწველობას. უნდა ვალიაროთ, რომ მრეწველობის მცირება და საშუალო საწარმოების მხარდაჭერის

რის სახელმწიფო სისტემის ძირითადი ელექტრობი და ატრიბუტები დღეს შექმნილია როგორც ფლერალურ, ისე რეგიონალურ დონეზე, თუმცა მთლიანობაში ეს სისტემა არაეფექტურია.

ასეთი სიტუაციის მიზეზები შემდეგშია:

არასაკმარისი სტიმული და გამოცდილება ამ საწარმოების განვითარებისათვის; იქმნება შთაბეჭდილება, რომ მთავრობის ძალისხმევა, რომელიც მიმართულია ამ სექტორის განვითარებაზე, ჯერ კიდევ არასაკმარისადაა რეალიზებული; ცხადია, რომ მრეწველობის მცირე და საშუალო საწარმოები საქართველოში საჭიროებს განვითარებას და მათი პოტენციალი ამოუწურავია.

აქედან გამომდინარე, ჩვენი აზრით, მრეწველობის მცირე და საშუალო საწარმოების როლი არ შეიძლება შეფასდეს ტრადიციულად, როგორც ხდება სტაციონარულ ეკონომიკაში, მაგ., მხოლოდ რაოდენობრივი მაჩვენებლებით. ასეთი შეფასება ზედაპირულია. მრეწველობის მცირე და საშუალო საწარმოებს, როგორც საზოგადოებრივი საწარმოების განსაკუთრებულ სექტორს, აქვს საქმაოდ უმნიშვნელო კუთრი წონა. მისი უდიდესი ნაწილი იმყოფება ჩრდილოვან ეკონომიკაში და არ აისახება ოფიციალური სტატისტიკაში ანგარიშით, თუმცა განსაზღვრავს საზოგადოებრივი წარმოების მნიშვნელოვანი ნაწილის გადარჩენის პირობებს.

მრეწველობის მცირე და საშუალო საწარმოების მიმართ ინტერესი განპირობებულია ტექნილოგიური პროცესების სრულყოფის აუცილებლობით მეცნიერულ-ტექნიკური პროგრესის მიღწევის დანერგვის საფუძვლზე.

სამეცნიერო და სასწავლო ლიტერატურის ანალიზს მივყავართ იმ დასკვნამდე, რომ თანამედროვე მენეჯმენტის თეორიასა და პრაქტიკაში ჯერ კიდევ საქმარისად არ არის ასახული მცირე და საშუალო საწარმოების საქმიანობის მართვის საკითხები.

ჩვენი აზრით, ქართული ეკონომიკის აღსად-

გენად აუცილებელია მცირე და საშუალო საწარმოების მაქსიმალურად გაზრდა; მცირე, საშუალო და მსხვილ სამრეწველო საწარმოებს შორის ურთიერთკავშირის განვითარების სტიმულირება; უცხოური გამოცდილების გამოყენება. ყველაფერი ეს უნდა გახდეს საერთო პოლიტიკის ნაწილი სამამულო ეკონომიკის რესტრუქტურიზაციის სფეროში, ვინაიდან ბიზნესი მთლიანობაში, მასშიაბებისგან დამოუკიდებლად, ერთიანი ურთიერთდაკავშირებული პროცესია.

მსხვილი საწარმოები მოხვეჭილი პოზიციების შესანარჩუნებლად ბაზარზე და წარმოებაში მიდის მოდიფიკაციის და ტრადიციულად გამოშვებული პროდუქციის გაუმჯობესების გზებით, ორიენტირებულია ბაზრის გაფართოებაზე. მცირე და საშუალო საწარმოები ხელს უწყობს ახალი პროდუქციის შექმნას ანუ ქმნის ახალ ბაზრებს, შედარებით დინამიკურია ცვლად საბაზრო პირობებში, მუშაობს დიდი ეფექტურობით. მრავალი კვლევის მონაცემებით, წარმოების მცირე და საშუალო საწარმოები აწარმოებს ორჯერ უფრო მეტ სიახლეს, რომელიც მოდის ერთ თანამშრომელზე, ვიდრე მსხვილი საწარმოები.

მრეწველობის მცირე და საშუალო საწარმოები უფრო ხშირად ორიენტირებულია გვერდითი გადაწყვეტილებების და მსხვილი ფირმების მიერ წარმოებული პროდუქციის რეალიზაციაზე, სარისკო, მაგრამ მცირე საქმიანობის შესრულებაზე, მეცნიერების მიერ მიწოდებულ შეკვეთებსა და ინიციატივის დამუშავებაზე. ამ საწარმოების უტყარი ჰპირატესობა ინოვაციურ სფეროში მსხვილ ბიზნესს აიძულებს მათთან თანამშრომლობას. ასეთი თანამშრომლობის ორგანიზაციული მექანიზმი შეიძლება იყოს:

-მრეწველობის მცირე და საშუალო საწარმოების კოპერაციული კავშირები მსხვილ საწარმოებთან (საბაზრო ინტეგრაცია);

-მსხვილი ბიზნესის მონაწილეობა დამოუკი-

დებელი მცირე და საშუალო საწარმოების ფორმირებაში, ბიზნესის კორპორაციული მომგებიანი ინკუბატორების შექმნის გზით, ვენჩურული დაფინანსება;

-მრეწველობის მცირე და საშუალო ავტონომიური საწარმოების შექმნა მსხვილ მასშტაბში, გამოყოფის ან შთანთქმის გზით;

-ურთიერთქმედების რამდენიმე ფორმის ერთდროული გამოყენება (საბაზრო ინტეგრაცია და ავტონომიური ქვედანაყოფები, საბაზრო ინტეგრაცია და ინკუბაცია).

ჩვენი აზრით, მრეწველობის მცირე და საშუალო ინოვაციური საწარმოების შესაქმნელად საჭიროა შემდეგი პირობები:

-კომერციული იდეა, რომელიც ასახავს სიახლის არსეს;

-საზოგადოებრივი მოთხოვნილება ამ სიახლეზ;

-ბიზნესმენი, რომელიც მზადაა მოახდინოს იდეის რეალიზაცია (რა თქმა უნდა, მისასალმებელია ფორმირებული გუნდის არსებობა);

-კაპიტალი.

დამოუკიდებელი ინოვაციური მრეწველობის მცირე და საშუალო საწარმოები წარმოიქმნება დამფუძნებლების საკუთარი კაპიტალის ან საბანკო კრედიტის მოზიდვის შემთხვევაში.

საინტერესოა გამოცდილება: სპინ-ოფი (ინგლისურიდან Spin-off) – მცირე ფირმა, რომელიც გამოყოფილი სამეცნიერო-სამრეწველო ორგანიზაციას, სამხედრო და კოსმოსური შემუშავების სამოქალაქო გამოყენებისთვის.

ასეთ ფირმებს ფუნქციონირება შეუძლია მხოლოდ სახელმწიფოს აქტიური მხარდაჭერის შემთხვევაში (ინფორმაციული, ფინანსური, ორგანიზაციული, საგანმანათლებლო, იურიდიული).

ლიტერატურიდან ცნობილია, რომ მცირე და საშუალო ინოვაციური საწარმოების განვითარებისათვის საჭიროა შემდეგი პირობები:

- ქვეყანაში სტაბილური ეკონომიკური მდგრადიება;

- გადახდისუნარიანი მოთხოვნის არსებობა ახალ ტექნოლოგიებზე, პროდუქტებსა და მომსახურებაზე;

- ვენჩურული დაფინანსების განვითარებული სისტემა;

- ინოვაციური კულტურის მეცნიერებლ-ტექნიკური პოტენციალის მაღალი დონე ქვეყანაში;

- მრეწველობის მცირე და საშუალო საწარმოების, ტექნოპარკების, ვენჩურული ფონდების საქმიანობის კანონმდებლობით რეგულირება.

არსებობს მცირე და მსხვილი ბიზნესის კოპერაციის რამდენიმე ფორმა:

- მსხვილი ფირმების შეკვეთით მუშაობა (საბაზრო ინტეგრაცია);

- მცირე ნოვატორული ფირმების შექმნა უკალაზე მსხვილი საწარმოების მიერ (ადრე დამუკიდებელი მცირე ფირმების ჩართვა მსხვილი ფირმების შედგენილობაში (შთანთქმა));

- შთანთქმის და საბაზრო ინტეგრაციის ერთდროული გამოყენება (მარაოსებრი ორგანიზაცია);

- სახელმწიფოს მნიშვნელოვანი როლი მცირე და საშუალო ინოვაციური ბიზნესის განვითარებაში.

ამასთან დაკავშირებით, მთავრობა ერველ-წლიურად ამჟმავებს მცირე და საშუალო ინოვაციური საწარმოების მხარდაჭერ პროგრამას. ანალოგიური პროგრამები მიიღება რეგიონალურ დონეზეც, თუმცა საქართველოში 10%-ზე ნაკლები მოდის მცირე საწარმოების წილზე (50%-ზე მეტი აშშ-ში). ასეთი სიტუაციის ყველაზე მნიშვნელოვანი მიზეზი სწორედ ინოვაციური ინფრასტრუქტურის განვითარებლობაა.

არსებული პრობლემები, ინოვაციური პროექტების უფასებური მართვის სფეროში, სამრეწველო საწარმოებში შეიცავს არა მხოლოდ რესურსების ნედლეულის ბაზის შეზღუდვას, არამედ განვი-

თარებული ინოვაციური კულტურის და ინფრასტრუქტურის არარეგულირებას, რომლებიც უზრუნველყოფს ბაზრის სტაბილურობას, სიცხადეს და ადეკვატურობას ინოვაციური პროექტების ფორმირებისა და რეალიზაციის პროცესში.

ინოვაციური საქმიანობის მიმართ ყურადღება განპირობებულია იმით, რომ მოწინავე მსოფლიო სახელმწიფოები ისრაფვიან ტექნოლოგიური ლიდერობისა და საკუთარი ინოვაციური სისტემების ეფექტურობის ამაღლებისათვის.

თუმცა, მცირე და საშუალო საწარმოების ინოვაციური საქმიანობის ეფექტურობის შეფასების მთლიანი და ეფექტური სისტემის არქონის გამო, მათი ინოვაციური აქტივობის ზრდის სტრატეგია აისახება ქვეყნების სოციალურ-ეკონომიკურ განვითარებაზე. საწარმოების ინოვაციური აქტივობის ეფექტურობის შეფასების სისტემის სრულყოფა გარაუდობს მცირე და საშუალო საწარმოების ფუნქციონირების შედეგების და პირობების კომპლექსური სისტემური ანალიზის ჩატარებას.

ამავე დროს, სახელმწიფო ინოვაციური პლატფორმის რეალიზებული ღონისძიებები, ჩვენი აზრით, ხელს არ უწყობს ადგილობრივი პროდუქციის კონკურენტურიანობას მსოფლიო და ადგილობრივი ბაზრებზე, უფრო მეტი შეიძლება ითქვას სახელმწიფოს მიერ მიღებული ვალდებულებების არაეფუქტურობაზე ინოვაციური საქმიანობის განვითარებაში, რაც განსაზღვრავს ინოვაციური პროექტებისა და პროგრამების მართვის შესაბამისი სისტემების ფორმირების აუცილებლობას ყოველ კონკურენტულ მცირე და საშუალო საწარმოებში.

მეოცე საუკუნის 70-იან წლებში წამყვანი მრეწველობის მქონე ქვეყნებში მიიღეს კანონები, რომლებიც სტიმულს აძლევდა როგორც სახელმწიფოს, ასევე ბიზნესმენების საქმიანობას, მიმართულს მუშახელის პროფესიული და ინტე-

ლექტურული პოტენციალის განვითარებისკენ. ასე, მაგ., აშშ-ში გავრცელებულია გამონათქვამი – ბალანსირებული მაჩვენებლების სისტემა საშუალებას იძლევა ვიპოვოთ ფირმის განვითარების პოტენციური შესაძლებლობები და გამოვიყენოთ ინოვაციური გარღვევისათვის.

მხოლოდ შეტევითი და აქტიური ინოვაციური პლატფორმის შეძლებს ჩვენს ქვეყანაში მნიშვნელოვან გარღვევას მეცნიერულ-ტექნიკურ განვითარებაში, მის გადაყვანას ცხოვრების სხვა ღონებები. ეს ნიშნავს, რომ ინოვაციური პოტენციალი უნდა განისაზღვროს არა მხოლოდ და არა იმდენად საწარმოს იმიტაციური შესაძლებლობით „სხვათა“ სიახლეების აღქმაში, არამედ იმითაც, რომ თვითონ „შეიქმნას მომავალი“, დამოუკიდებლად გამოიმუშაოს გამაუმჯობესებები ცელილებები და ახალი ფასეულობები.

როგორც უკვე აღვნიშნეთ, მთელ მსოფლიოში ინოვაციური საქმიანობით დაკავებულია უპირატესად მცირე და საშუალო საწარმოები, რომლებიც ფლობენ მაღალ ეკონომიკურ და ტექნოლოგიურ მოქნილობებს, რაც საშუალებას იძლევა სწრაფი რეაგირება მოხდეს ბაზრის მოთხოვნებზე, თუმცა მცირე საწარმოს მაღალი ინოვაციური პოტენციალი არასაკმარისადაა ამოქმედებული.

ცნობილია, რომ ძირითადი მიღებობა მცირე და საშუალო საწარმოების ინოვაციური აქტივობის ზრდისადმი არის სისტემური, სიტუაციური, ფუნქციური, ღირებულებითი, საპროექტო და რესურსულ-პოტენციური. ამასთან, რესურსულ-პოტენციური მიღებობა უფრო საინტერესოა. იგი გამოიყენება საკმაოდ იშვიათად, თუმცა საშუალებას იძლევა შედარებით სრულად იქნეს გათვალისწინებული მცირე ბიზნესის საწარმოთა ინოვაციური განვითარების შესაძლებლობები, რესურსების კომპლექსური ანალიზის ხარჯზე. ამ შემთხვევაში მცირე ბიზნესის საწარმოების

ინოვაციური განვითარების შესაძლებლობაში უნდა გვესმოდეს საშუალებები და პირობები, რომლებიც აუცილებელია ეფექტური ინოვაციური საქმიანობის განსახორციელებლად.

ვაკეთებთ დასკვნას, რომ ინოვაციური განვითარების პრობლემები უდიდეს სირთულეს იქნება წარმოების მცირე და საშუალო საწარმოებში.

„მცირე ეკონომიკის“ წარმომადგენლები, როგორც წესი, არ ფლობენ საკმარის რესურსებს პროგრესული მმართველი ინოვაციების გამოყენებაში ანუ საკუთარი ინოვაციური პოტენციალის სრულყოფილ გამოყენებაში. ასეთ პირობებში საქმაოდ გართულებულია მცირე და საშუალო საწარმოების ფუნქციონირება, როგორც ჩამოყალიბებული დარგობრივი სტრუქტურების განუყოფელი ელემენტისა, რომელიც ფლობს ინიციატივას, რომელიც დამახასიათებელია ბიზნესაქტიურობისა და, ამ ინიციატივის რეალიზების შესაძლებლობით, დინამიკურად განვითარებადი კონკურენტული გარემოსთვის. მცირე და საშუალო საწარმოები აწყდება კონკურენტუნარიანობის უზრუნველყოფის პრობლემას როგორც სტრატეგიულ, ისე ტაქტიკურ პერიოდში, და, ამ პრობლემის გადაჭრებლობის გამო, არ შეუძლია იმ განსაკუთრებული როლის რეალიზაცია, რომელიც მინიჭებული აქვს როგორც ეკონომიკის დომინირებულ სექტორს. მრეწველობის მცირე და საშუალო საწარმოები თავისებური პოლიგონია ბიზნესინიციატივისათვის, რომლებსაც სჭირდება ადეკვატური მმართველი მხარდაჭერა განვითარების ყველა სტადიაზე, დაწყებული ინოვაციური მიების გეგმორის განსაზღვრიდან და დამთავრებული პროდუქციის მასშტაბური წარმოებით, რომელიც პასუხებს სამომხმარებლო მოთხოვნის ყველა მახასიათებელს.

მსოფლიო გამოცდილებამ აჩვენა, რომ მცირე და საშუალო საწარმოები განხილული უნდა

იყოს, როგორც მრეწველობაში ინოვაციური საქმიანობის ერთ-ერთი ეფექტური მიმართულება.

სამამულო ეკონომიკის სტრუქტურული ცვლილებების მიმართულება, მსოფლიო სავაჭრო ორგანიზაციის წევრობის პირობებში, რომელიც ვარაუდობს ორიენტაციას მაღალტექნოლოგიურ დარგებზე, ემთხვევა მცირე და საშუალო ბიზნესის მხარდაჭერის იდეოლოგიას, რომელიც მუშაობს საგარეო ბაზრებზე. კონცენტრირებული სახელმწიფო მხარდაჭერა სწორედ ამ მიმართულებით უნდა განხორციელდეს.

ჩვენი აზრით, ამ სფეროში ძირითად არაპირდაპირ ღონისძიებებს მიეკუთვნება:

- კონსულტაციური და ინფორმაციული მხარდაჭერა;
- დახმარება საერთაშორისო გამოფენებში მონაწილეობაზე;
- მარკეტინგული კვლევების მხარდაჭერა, რომლებიც ტარდება მცირე ბიზნესის სექტორში შემავალი ადგილობრივი კომპანიების მიერ, უფასო მარკეტინგული ინფორმაციის მიწოდება;
- ინფორმაციული ასიმეტრიის აღმოფხვრა საერთაშორისო ბაზარზე, რომლის მიზანია გაკეთდეს ინფორმაცია ადგილობრივი მცირე და საშუალო საწარმოების შესახებ და გახდეს ხელმისაწვდომი ექსპორტიორებისათვის.

მართვის სფეროში სიახლეების შესახებ ინფორმაციის არქონა და, შესაბამისად, მათი ვერ გამოყენება დიდი დატვირთვის გამო, მცირე და საშუალო საწარმოების ხელმძღვანელების აზრით არის ფაქტორი, რომელიც მნიშვნელოვნად ეწინააღმდეგება მმართველი სიახლეების დანერგვას. ვთვლით, რომ ამ ფაქტორების ნებაზრიული გაგლენის შემცირება მენეჯმენტის სფეროში ხელმისაწვდომი ინფორმაციული ბანკის შექმნის ხარჯზე შესაძლებელი.

სამუშაოები ამ ბანკის შექმნისა და წარმოებისათვის შეიძლება განხორციელდეს მცირე

ბიზნესის სტრუქტურების, მცირე და საშუალო ბიზნესის მხარდაჭერი სააგენტოს, მცირე ბიზნესის მხარდაჭერი ფონდების მიერ. იმის გამო, რომ მცირე და საშუალო საწარმოები არ ფლობს ინფორმაციას, საქმარისს საერთაშორისო გარემოს სტრატეგიული დაგეგმარებისა და ანალიზის ახალი მეთოდების რეალიზაციისათვის, ასეთი ინფორმაციული მხარდაჭერა შეუძლია მიიღოს საქალაქო ადმინისტრაციისა და ქვეგანყოფილებებისგან, რომლებიც პასუხისმგებელი არიან ბიზნესის მხარდაჭერაზე და კავშირი აქვთ სახელმწიფო სტატისტიკის ორგანიზაციის.

კვალიფიციური დახმარებისა და კონსულტაციის მიღების ასამაღლებლად, რომელთა არქონა განიხილება მცირე საწარმოების ხელმძღვანელების მიერ როგორც ფაქტორის, რომელიც მნიშვნელოვნად აფერხებს ინოვაციურ საქმიანობას, საჭიროა კონსალტინგური მომსახურების განვითარების მხარდაჭერა მენეჯმენტის სფეროში. ეს შეუძლია, პირველ რიგში, ბიზნესის მხარდაჭერ რეგიონალურ ფონდებს, სასწავლო-საქმიან ცენტრებს, მცირე და საშუალო ბიზნესის მხარდაჭერ სააგენტოებს.

უცილებელია სპეციალიზებული სამეცნიერო, სამეცნიერო-პოპულარული გამომცემლობებისა და მასობრივი ინფორმაციის საშუალებათა შესაძლებლობების გამოყენება ფართო ინფორმირებისათვის – ინოვაციურ პრობლემებზე სხვადასხვა კვლევის შედეგების შესახებ, მაგრამ ფასეული ორიენტირების მიზანმიმართული ცვლილებისათვის.

თანამედროვე პირობებში ინოვაციური საქმიანობა მნიშვნელოვნადაა დაკავშირებული რისკთან, ვინაიდან მისი წარმატების სრული გარანტია ნებისმიერ პირობებში პრაქტიკულად შეუძლებელია. ეს, ჩვენი აზრით, განპირობებულია ადამიანური ფაქტორის როლით ზემოქმედების პროცესში, ასევე მართვის ობიექტის დინამიკით

და მისი გარემოთი. ეკონომიკური კონიუნქტურის არასტაბილურ პირობებში დანაკარგების წარმოქმნის რისკის პრობლემა ფირმის მიერ საშუალებების ჩადებისას ინოვაციაში განსაკუთრებით აქტივულური ხდება.

ინოვაციური ინფრასტრუქტურის შექმნა შეუძლებული უნდა იყოს არა მარტო ინსტიტუციური საქმიანობის ერთეულებთან, ნორმატიულ-საკანონმდებლო ბაზასთან, მიკრო- და მაკროდონების ურთიერთქმედების მექანიზმთან, არამედ ინოვაციური პროექტების ეფექტურობის კომპლექსური შეფასების პროცესებთან.

## დასკვნა

სიტუაცია მრეწველობის მცირე და საშუალო საწარმოების ინოვაციური აქტიურობის გაზრდის სფეროში შეიძლებოდა პრიციპულად შეცვლილიყო თუ შესაძლებლობა ექნებოდა კონტაქტი დაემყარებინა სამეცნიერო ინსტიტუტებთან ინოვაციური ფორმით და მიეღო მისგან შეღწევა კონკურენტურიან დამუშავებაში, რომლის მეშვეობით შეიძლება მაქსიმალურად შეცირდეს იმპორტული კომპონენტების წილი დანადგარებში. საჭირო ინვესტიციების საერთო დირექტულება პროექტში შეიძლება შემცირდეს იმდენად, რომ წლიური მოგება კაპიტალდაბანდებაზე გახდეს 25%. ამით გაფართოვდება პოტენციური ინვესტორების წრე იმ ეკონომიკური სუბიექტების ხარჯზე, რომლებიც სტაბილურ და საიმედო სფეროებს ეძებენ კაპიტალის დასაბანდებლად, მოგების მიღების პერსპექტივით.

კვლევითი სექტორის ინოვაციური პოტენციალის ეფექტური მართვისათვის აუცილებელია საწარმოებში მართვის კომპლექსური სისტემის, მენეჯმენტის ფორმირება, რომელიც საშუალებას მოგვცემს გეგმაზომიერად და მიზანმიმართულად განვავითაროთ და მაქსიმალურად გამოვიყენოთ მრეწველობის მცირე და საშუალო

საწარმოების ინვაციური პოტენციალი.

ინვაციური მენეჯმენტის განვითარება პრიორიტეტი მიმართულებაა, ინვაციური მენეჯმენტი კი მცირება და საშუალო საწარმოების საქმიანობის სხვადასხვა მხარის მუდმივი განახლების პროცესი. ინვაციური მენეჯმენტი სხვა არა-

ფერია, თუ არა ცვლილებების მართვა, რომელსაც მივყავართ მცირება და საშუალო საწარმოების კონკურენტუარიანობის ზრდისკენ, მართვის განვითარების ინვაციის საფუძველზე. ინვაციური მენეჯმენტი არის მმართველი ზემოქმედება მითითებული ფაქტორების ცვლილებაზე.

## ლიტერატურა

1. J.A. Schumpeter. The Theory of Economic Development. Monograph. "Directmedia Publishing". 2008. Scanned pages. pp. 400.  
<http://institutions.com/download/books/1959-teoriya-ekonomicheskogo-razvitiya-shumpeter.html>
2. T. Vashakidze. "Supporting Innovative Small Enterprises in EU" Tbilisi, 2009.  
<http://www.inovdev.ge/uploads/files/95282T.Vashakidze.pdf>
3. G. Shubladze. B. Mghebrishvili, P. Tsotskauri. Management Basics.  
<http://www.bpa.ge/book/book02.pdf>
4. G. Keshelashvili. Innovative Management and Its Prospects in Georgia. Economics and Business: International Refereed Scientific and Practical Journal, 2013: №3, May-June. (In Georgian).
5. A. Sisavadze. Innovation as the Foundation of Successful Business.  
<http://www.nplg.gov.ge/gsd>
6. I. Masurashvili. Turning Innovation into Successful Business, Banks and Finance, 13.04.2013.  
<http://old.bfm.ge/index.php?newsid=5543#.VooclLaLSM8>
7. O. Shatberashvili, G. Kochoradze, M. Tsatsanashvili. "Economic Integration" Innovation Policy in Georgia: Recommendations to the Georgian Government.  
[http://eapnationalplatform.ge/admin/editor/uploads/files/publications/Policy%20Paper\\_WG2\\_Inovacia.pdf](http://eapnationalplatform.ge/admin/editor/uploads/files/publications/Policy%20Paper_WG2_Inovacia.pdf)

**UDC 33 (076)**  
**SCOPUS CODE 1405**

## **INNOVATIVE MANAGEMENT AND SMALL AND MEDIUM-SIZED ENTERPRISES**

**E. Shilakadze** Department of transport control and mechanical engineering, Georgian Technical University, 68<sup>a</sup> M. Kostava str., 0175 Tbilisi, Georgia  
E-mail: eshilakadze@gmail.com

**Reviewers:**

**M. Janikashvili**, Adviser to the Rector of GTU, Doctor of Technical Sciences

E-mail: mikheiljanikashvili@gmail.com

**D. Tavkhelidze**, Professor, Faculty of Agricultural Sciences and Biosystems Engineering, GTU

E-mail: tavkhelidze@gtu.ge

**ABSTRACT.** After the analysis of condition of enterprises, it is very important to discuss the issues of enhancing their effective functioning, because from the moment of transformative processes small and medium-sized business became one of the stabilizing factors for the economy. Developing in very tight conditions, small and medium industry sector supports transformation of economy and establishment of competitive environment with mature social conflicts through engaging the available and unemployed workforce.

**KEY WORDS:** competitive environment; innovative industry; innovative management; small and medium enterprises; state programs.

**UDC 33 (076)**  
**SCOPUS CODE 1405**

## **ИННОВАЦИОННЫЙ МЕНЕДЖМЕНТ И МАЛЫЕ И СРЕДНИЕ ПРЕДПРИЯТИЯ**

**Шилакадзе Э.В.** Департамент менеджмента транспорта и машиностроения, Грузинский технический университет, Грузия, 0175, Тбилиси, ул. М. Костава, 68<sup>a</sup>  
E-mail: eshilakadze@gmail.com

**Рецензенты:**

**М. Джаникашвили**, доктор технических наук, советник ректора ГТУ

E-mail:mikheiljanikashvili@gmail.com

**Д. Тавхелидзе**, профессор факультета аграрных наук и инженерии биосистем ГТУ

E-mail: tavkhelidze@gtu.ge

**АННОТАЦИЯ.** После анализа состояния исследуемого предприятия необходимо рассмотреть вопросы повышения эффективности его функционирования, поскольку с момента начала трансформационных процессов малый и средний бизнес стал одним из стабилизирующих факторов экономики.

Развиваясь в стиснутых условиях, секрет малых и средних промышленных предприятий способствует назреванию социального конфликта приведением высвобожденных и безработных сотрудников к трансформированию экономики, осуществлению формирования конкурентной среды.

**КЛЮЧЕВЫЕ СЛОВА:** государственные программы; инновационное предпринимательство; информационный менеджмент; конкурентная среда; малые и средние предприятия.

**UDC 669.168:553.3**

**SCOPUS CODE 1508**

**სილიკონის მანქანის მარაგის მარაგის მანქანის სასარგებლობის გაზრდას**

<b>ა. სიმონგულაშვილი</b>	მეტალურგიის, მასალათმცოდნეობისა და ლითონების დამუშავების დეპარტამენტი, საქართველოს ტექნიკური უნივერსიტეტი, საქართველო, 0175, თბილისი, მ. კოსტავას 69 E-mail: Z.Simongulashvili@yahoo.com
<b>გ. ქურდაძე</b>	მეტალურგიის, მასალათმცოდნეობისა და ლითონების დამუშავების დეპარტამენტი, საქართველოს ტექნიკური უნივერსიტეტი, საქართველო, 0175, თბილისი, მ. კოსტავას 69 E-mail: g.kurdadze@galloys.com
<b>რ. აბესაძე</b>	მეტალურგიის, მასალათმცოდნეობისა და ლითონების დამუშავების დეპარტამენტი, საქართველოს ტექნიკური უნივერსიტეტი, საქართველო, 0175, თბილისი, მ. კოსტავას 69 E-mail: raminiabesadze123@mail.ru
<b>ბ. მაისურაძე</b>	მეტალურგიის, მასალათმცოდნეობისა და ლითონების დამუშავების დეპარტამენტი, საქართველოს ტექნიკური უნივერსიტეტი, საქართველო, 0175, თბილისი, მ. კოსტავას 69 E-mail: b.maisuradze@yahoo.com

**რეცენზენტები:**

- ბ. გოგიჩაშვილი,** სტუ-ის ქიმიური ტექნოლოგიისა და მეტალურგიის ფაკულტეტის მეტალურგიის, მასალათმცოდნეობისა და ლითონების დამუშავების დეპარტამენტის პროფესორი  
E-mail: 1955boris@rambler.ru
- თ. ბუჩუკური,** სტუ-ის ქიმიური ტექნოლოგიისა და მეტალურგიის ფაკულტეტის მეტალურგიის, მასალათმცოდნეობისა და ლითონების დამუშავების დეპარტამენტის პროფესორი  
E-mail: t.buchukuri@gtu.ge

**ანოთაცია:** ნაშრომში მოცემულია სილიკონგანუმის მიღების ტექნოლოგიის ანალიზი და განხილულია, რა გავლენას ახდენს მიღებული ლითონის შედგენილობა მანგანუმის სასარგებლო გამოყენებაზე. ექსპერიმენტული, სამრეწველო დნობის შედეგებზე დაყრდნობით რეკომენ-

დებულია, მანგანუმის ამოკრეფის გაზრდის მიზნით, გამოდნობილ იქნეს მანგანუმის დაბალი და სილიციუმის მაღალი შემცველობის დიოთონი.

**საბგანძო სიტყვები:** ამოკრეფა; ლითონი; მანგანუმი; სილიკონგანუმი; სილიციუმი; წილა.

## შესავალი

ცნობილია, რომ მანგანუმიანი ფეროშენადნობების (სილიკომანგანუმის) გამოდნობის პროცესის ტექნოლოგიის ხარისხით მაჩვენებლები ძირითადად ხასიათდება წამყვანი ელემენტების შენადნობში ამოკრეფის სიდიდით და მისი ოქსიდების შემცველობით საბოლოო წილებში. მანგანუმიანი ფეროშენადნობები ძირითადად იწარმოება ნახშირბადთერმული უწყვეტი პროცესით, რომელიც გულისხმობს მანგანუმ-შემცველ ნედლეულში არსებული ოქსიდების აღდგენას კოქსის ნახშირბადით.

სასაქონლო სილიკომანგანუმის მიღების თანამედროვე პრაქტიკა გვიჩვენებს, რომ მანგანუმის დანაკარგის (18–20%) ძირითადი წყარო ე.წ. „გადასაყრელი“ (საბოლოო) წილებია. ბოლო წლებში ფეროშენადნობთა ქარხნების მუშაობის ანალიზმა გვიჩვენა, რომ როგორც მძლავრ, ასევე მცირე სიმძლავრის დუმლებში სილიკომანგანუმის დნობისას მანგანუმის დანაკარგი მუდმივად იზრდება, რომლის ძირითადი მიზეზი მაღალხარისხოვანი მანგანუმის მაღნების დეფიციტია (სიძირე) და, შესაბამისად, მისი ხარისხის გაუარესება. ყოველივე ეს კი საბოლოოდ იწვევს საღნობი აგრეგატების წარმადობის შემცირებას, წილის ჯერადობის და, შესაბამისად, მანგანუმის დანაკარგის გაზრდას [1–3]. ამიტომ, მანგანუმის დანაკარგის შემცირება ელექტრომეტალურგიული გადამუშავების პროცესში მეტად აქტუალური ამოცანაა და გადაუდებელ გადაწყვეტას მოითხოვს.

## ძირითადი ნაწილი

დადგენილია, რომ მანგანუმის შემცველობა სილიკომანგანუმის საბოლოო წილებში განისაზღვრება ტოლობით [4–5]:

$$(MnO)^2 = \frac{[Mn]^2 \cdot (SiO_2)}{K_{Si-Mn} \cdot [Si]},$$

სადაც  $(MnO)$ ,  $(SiO_2)$ ,  $[Si]$ ,  $[Mn]$  არის წამყვანი კომპონენტების შემცველობა წილისა და ლითონური,  $K_{Si-Mn}$  – სილიკომანგანუმის წარმოქმნის წონასწორობის კონსტანტა.

როგორც მოცემული გამოსახულებიდან ჩანს, საბოლოო წილებში მანგანუმის შემცველობა ძირითადად დამოკიდებულია ლითონური სილიკოუმისა და მანგანუმის კონცენტრაციაზე, რაც დადასტურდა ჩატარებული კვლევებით.

ელექტროდნობის რეალურ პირობებში მანგანუმის ამოკრეფის სიღრმე დამოკიდებულია ლუმლის აბაზანაში წარმოქმნიდ თერმოდინამიკურ პირობებზე, რომლებიც განისაზღვრება პროცესის ტემპერატურით და კაზმში აღმდგენის რაოდგნობით (ჩვეულებრივად იგი გამოისახება, როგორც კოქსში არსებული მყარი ნახშირბადის ფარდობა კაზმში მანგანუმის კონცენტრაციასთან –  $C_{Mn}/(Mn)$ ). მოცემულ ფაქტორებზე ასევე მნიშვნელოვან გავლენას ახდენს გამოყენებული მანგანუმშემცველი ნედლეულის ხარისხი, პირველ რიგში მანგანუმის შემცველობა [6–8], აგრეთვე სილიკოუმის ოქსიდის და სხვა ფუძეების თანაფარდობა, რომელთა კაზმში დამატება განპირობებულია სხვადასხვა ფლუსის წარმომქმნელი მასალების შეყვანის აუცილებლობით. განხილული ფაქტორები ახასიათებს ტექნოლოგიის ხარისხის მხარეს, რომელიც საბოლოო ჯამში განსაზღვრავს მანგანუმის განაწილებას დნობის პროდუქტებს შორის [9–10].

საცდელი დნობები, რომლებიც მიზნად ისახავდა მანგანუმით და სილიკოუმით სხვადასხვა შემცველობის სილიკომანგანუმის მიღებას, ჩატარებულ იქნა 5 მგა სიმძლავრის მაღალმდგრენ ელექტროდუმელში. ღუმელი აღჭურვილია 400 მმ დიამეტრის გრაფიტირებული სამი ელექტროდით. მაგვა ელექტროდებზე იყო 110 კოლტი, დენის ძალა – 18–20 კილოამპერი.

საგაზმე მასალებად გამოყენებული იყო ჭიათურის მანგანუმის კონცენტრაციი ( $Mn - 40\%$ ), ბოლნისის კვარციტი ( $SiO_2 - 94\%$ ) ქ.წ. წილის ქერქული ნარჩენები ( $Mn - 15 - 16\%$ ), კირქვა, კოქსი და რკინის ხენჯი ( $Fe - 70\%$ ). დნობის ყველა სერიაში წილის ფუძიანობა მუდმივი იყო ( $CaO / SiO_2 = 0,5$ ).

გამოდნობილ იქნა სილიკომანგანუმი მანგანუმის  $65 - 66$ ,  $68 - 70$ ,  $72 - 74\%$  და სილიციუმის  $14 - 15$ ,  $1 - 17$ ,  $19 - 20\%$  შემცველობით. სილიკომანგანუმის მიღების პროცესის ძირითადი მაჩვენებლები მოყვანილია ქვემოთ და ნახაზებზე (1-4).

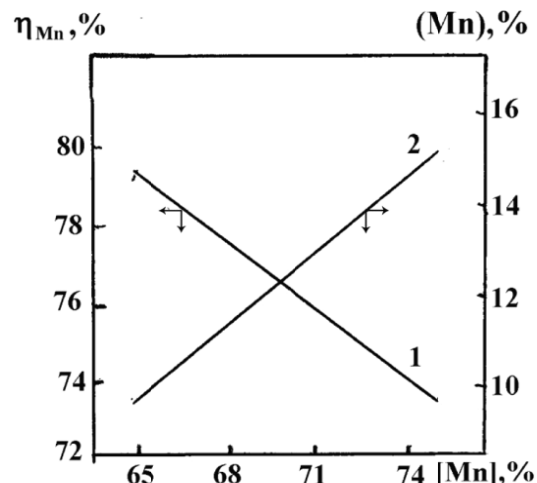
ცხრილი 1

#### ფეროსილიკომანგანუმი ( $0,3 - 0,5\% P$ )

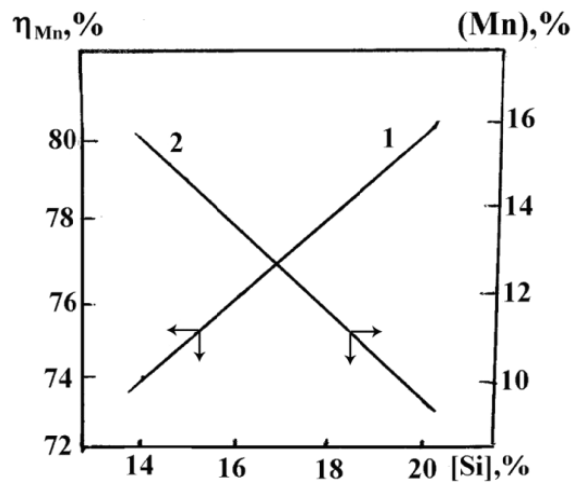
- მანგანუმის შემცველობა ლითონში  
[ $Mn$ ], % -  $65 - 74$
- მანგანუმის სასარგებლო გამოყენების კოეფიციენტი  
 $\eta_{Mn}$ , % -  $72 - 84$
- სილიციუმის სასარგებლო გამოყენების კოეფიციენტი  
 $\eta_{Si}$ , % -  $35 - 45$
- წილის ჯერადობა  
 $K$  -  $1,1 - 1,5$
- კაზში მყარი ნახშირბადის ფარდობა მანგანუმთან  
 $C_{\text{გ}} / Mn$  -  $0,35 - 0,41$

- კაზში  $Mn$ -ის ფარდობა  $SiO_2$   
 $Mn / SiO_2$  -  $0,85 - 1,0$
- მანგანუმის მასური წილი გამოყენებულ ნედლეულში  
 $< Mn >, \%$  -  $36 - 42$
- მანგანუმის მასური წილი წილაში  
( $Mn$ ), % -  $10 - 15$

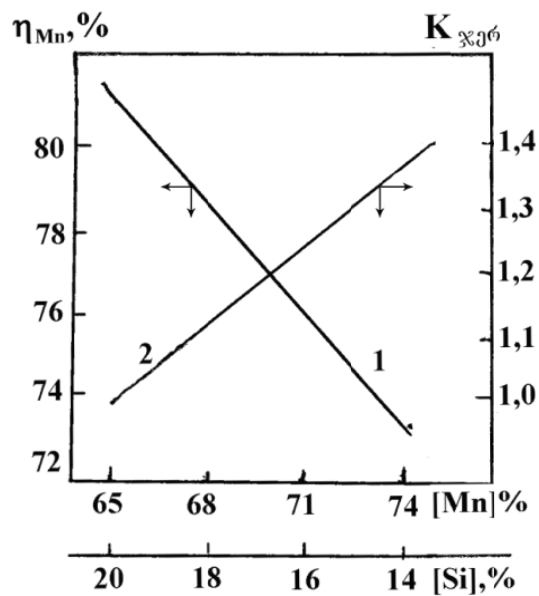
დნობათა შედეგების დამუშავებით დადგინდა დამოკიდებულება მანგანუმისა და სილიციუმის შემცველობას და მანგანუმის სასარგებლო გამოყენებას შორის. ლითონში სილიციუმის რაოდენობის გაზრდა და მანგანუმის კონცენტრაციის შემცირება იწვევს საბოლოო წილების ჯერადობის და მანგანუმის რაოდენობის შემცირებას.



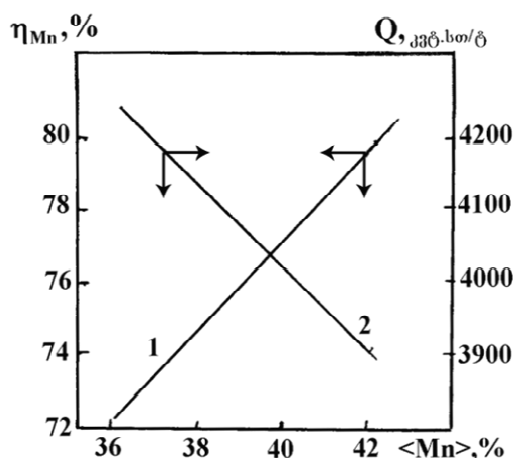
ნახ.1. მანგანუმის სასარგებლო გამოყენების (1) და წილაში მანგანუმის შემცველობის (2) დამოკიდებულება ლითონში მანგანუმის შემცველობაზე



ნახ. 2. მანგანუმის სასარგებლო გამოყენების ( $\eta_{\text{Mn}}$ ) (1) და წილაში მანგანუმის შემცველობის (Mn) (2) დამოკიდებულება ლითონში სილიციუმის შემცველობაზე [Si]



ნახ. 3. მანგანუმის სასარგებლო გამოყენების ( $\eta_{\text{Mn}}$ ) (1) და წილის ჯერადობის ( $K_{\text{კ}_\text{ერ}}$ ) (2) დამოკიდებულება ლითონში მანგანუმის [Mn] და სილიციუმის [Si] შემცველობაზე



ნახ. 4. მანგანუმის სასარგებლო გამოყენების ( $\eta_{Mn}$ ) (1) და ელექტროენერგიის ხვედრითი ხარჯის ( $Q_{k\vartheta}$ ) (2) დამოკიდებულება მანგანუმის კონცენტრაციაზე გამოყენებულ ნედლეულში,  $\langle Mn \rangle$

ასე, მაგალითად, 72–74% მანგანუმის და 14–15% სილიციუმის შემცველობის სილიკონან-

განუმის გამოდნობისას წილის ჯერადობა იყო 1,4, მასში მანგანუმის შემცველობა 13–14%, მანგანუმის სასარგებლო გამოყენება – 74%. ისეთი შედგენილობის სილიკონანგანუმის გამოდნობისას, რომელშიც მანგანუმის შემცველობა იყო 65–66%, სილიციუმის 19–20%, წილის ჯერადობა იყო 1,2, მასში მანგანუმის რაოდენობამ 9–10% და მანგანუმის სასარგებლო გამოყენებამ 82%-ს მიაღწია.

### დასკვნა

მანგანუმის კონცენტრატების ხარისხის გაუარესების და, შესაბამისად, მისი დირექტულების მუდმივად ზრდის ტენდენციების პირობებში მანგანუმის სასარგებლო გამოყენების გასაზრდელად, მომხმარებელთან შეთანხმებით, მიზანშეწონილია, რომ გამოდნობილ იქნეს სილიკონანგანუმი მანგანუმის 65–66% და სილიციუმის 19–20% შემცველობით, რაც საბოლოო ჯამში მანგანუმის სასარგებლო გამოყენებას 7–8% გაზრდის.

### ლიტერატურა

1. M. Gasik, B. Emlin. Electrometallurgy of ferroalloys. – Kiev: Vysshaya Shkola, 1983. - 374 p. (In Russian).
2. A. Aleksandrov, N. Dekhanov, V. Murakhovski. Ways to improve the extraction of manganese in the smelting of silico-manganese. Improving the technology of production of manganese alloys. Tbilisi, 1983, 324-325 pp. (In Russian).
3. A. Koval, M. Gasik, I. Luborets, etc. Comparative evaluation of the quality of raw material for smelting manganese alloys. Steel. 1997, №1. 27-30 pp. (In Russian).
4. M. Gasik. Manganese. – M.: Metallurgy, 1992.-608 pp. (In Russian).
5. N. Tolstoguzov. The theoretical foundations of the recovery of manganese, silicon and impurities in the smelting of ferromanganese and silico-manganese: tutorial – Novokuznetsk: SibMI, 1991.-128 pp. (In Russian).
6. M. Gasik, V. Ishutin, V. Shevchenko, etc. Increasing the extraction of manganese in smelting manganese metal modified with iron. Steel. 1985, №6, 38-41pp. (In Russian).
7. M. Gasik. Electrothermy of manganese. – Kiev: Techniques, 1979.-196 p. (In Russian).
8. B. Velichko, V. Gavrilov, M. Gasik, etc. Metallurgy of manganese in Ukraine. - Kiev: Techniques, 1996.-472 p. (In Russian).
9. M. Gasik, C. Khitrik, R. Gorbachev, etc. Improving the quality of manganese concentrates and ferroalloys. – Dnepropetrovsk: Promin, 1972.-109 p. (In Russian).
10. V. Kutsin, I. Kucher, V. Olshanski, etc. Assessing the efficiency of furnaces for smelting manganese ferroalloys. Steel, №6, 2006, 74-77 pp. (In Russian).

**UDC 669.168:553.3**

**SCOPUS CODE 1508**

## **CHOOSING OPTIMAL COMPOSITION OF SILICOMANGANESE PROVIDING INCREASING EFFECTIVE USE OF MANGANESE**

<b>Z. Simongulashvili</b>	Department of Metallurgy, Materials Science and Metal Processing, Georgian Technical University, 69 M. Kostava str., 0175 Tbilisi, Georgia E-mail: Z.Simongulashvili@yahoo.com
<b>G. Kurdadze</b>	Department of Metallurgy, Materials Science and Metal Processing, Georgian Technical University, 69 M. Kostava str., 0175 Tbilisi, Georgia E-mail: g.kurdadze@galloys.com
<b>R. Abesadze</b>	Department of Metallurgy, Materials Science and Metal Processing, Georgian Technical University, 69 M. Kostava str., 0175 Tbilisi, Georgia E-mail: raminiabesadze123@mail.ru
<b>B. Maisuradze</b>	Department of Metallurgy, Materials Science and Metal Processing, Georgian Technical University, 69 M. Kostava str., 0175 Tbilisi, Georgia E-mail: b.maisuradze@yahoo.com

### **Reviewers:**

**B. Gogichashvili**, Professor, Department of Metallurgy, Materials Science and Metal Processing, Faculty of Chemical Technology and Metallurgy, GTU

E-mail: 1955boris@rambler.ru

**T. Buchukuri**, Professor, Department of Metallurgy, Materials Science and Metal Processing, Faculty of Chemical Technology and Metallurgy, GTU

E-mail: t.buchukuri@gtu.ge

**ABSTRACT.** Wide analysis of technology of receiving silicomanganese is given in the work and on its background it is discussed how the composition of metal affects an effective use of manganese. Basing on the results of experimental, industrial melting it is recommended to melt the metal with low content of manganese and high content of silica in order to increase collecting of manganese.

**KEY WORDS:** collecting; dross; manganese; metal; silicomanganese; silica.

UDC 669.168:553.3

SCOPUS CODE 1508

## ВЫБОР ОПТИМАЛЬНОГО СОДЕРЖАНИЯ СИЛИКОМАРГАНЦА, ОБЕСПЕЧИВАЮЩЕГО ПОВЫШЕНИЕ ИЗВЛЕЧЕНИЯ МАРГАНЦА

- Симонгулашвили З.А.** Департамент metallurgii, materialovedeniya i obrabotki metallov, Gruzinskiy tehnicheskiy universitet, Gruzia, 0175, Tbilisi, ul. M. Kostava, 69  
E-mail: Z.Simongulashvili@yahoo.com
- Курдадзе Г.У.** Департамент metallurgii, materialovedeniya i obrabotki metallov, Gruzinskiy tehnicheskiy universitet, Gruzia, 0175, Tbilisi, ul. M. Kostava, 69  
E-mail: g.kurdadze@galloys.com
- Абесадзе Р.К.** Департамент metallurgii, materialovedeniya i obrabotki metallov, Gruzinskiy tehnicheskiy universitet, Gruzia, 0175, Tbilisi, ul. M. Kostava, 69  
E-mail: raminiabesadze123@mail.ru
- Майсурадзе Б.Г.** Департамент metallurgii, materialovedeniya i obrabotki metallov, Gruzinskiy tehnicheskiy universitet, Gruzia, 0175, Tbilisi, ul. M. Kostava, 69  
E-mail: b.maisuradze@yahoo.com

### Рецензенты:

- Б. Гогичашвили**, профессор Департамента metallurgii, materialovedeniya i obrabotki metallov факультета химической технологии и metallurgii GTU  
E-mail: 1955boris@rambler.ru
- Т. Бучукuri**, профессор Департамента metallurgii, materialovedeniya i obrabotki metallov факультета химической технологии и metallurgii GTU  
E-mail: t.buchukuri@gtu.ge

**АННОТАЦИЯ.** Даётся обширный анализ технологии получения силикомарганца и на его фоне даются результаты промышленных плавок силикомарганца с различным содержанием марганца и кремния. Установлено, что для повышения извлечения марганца в сплав целесообразно выплавить металл с высоким содержанием кремния и низким содержанием марганца.

**КЛЮЧЕВЫЕ СЛОВА:** извлечение; кремний; марганец; металл; силикомарганец; шлак.

**UDC 622.7(075.80)**

**SCOPUS CODE 1508**

## დარიშხანის და ოქროშემცველი სულფიდური ნედლეულიდან დარიშხანისა და ოქროს ამოღების შესაძლებლობის პილება

**ი. კახნიაშვილი**

მეტალურგიის, მასალათმცოდნეობისა და ლითონების დამუშავების  
დეპარტამენტი, საქართველოს ტექნიკური უნივერსიტეტი, საქართველო, 0175,  
თბილისი, მ. კოსტავას 69

E-mail: i.Kakhniashvili@gtu.ge

**ლ. ჩხიქვაძე**

მეტალურგიის, მასალათმცოდნეობისა და ლითონების დამუშავების  
დეპარტამენტი, საქართველოს ტექნიკური უნივერსიტეტი, საქართველო, 0175,  
თბილისი, მ. კოსტავას 69

E-mail: l.Chkhikvadze@gtu.ge

**ზ. ოქროსცვარიძე**

მეტალურგიის, მასალათმცოდნეობისა და ლითონების დამუშავების  
დეპარტამენტი, საქართველოს ტექნიკური უნივერსიტეტი, საქართველო, 0175,  
თბილისი, მ. კოსტავას 69

E-mail: z.Oqroscvaridze@gtu.ge

**თ. წილოსანი**

მეტალურგიის, მასალათმცოდნეობისა და ლითონების დამუშავების  
დეპარტამენტი, საქართველოს ტექნიკური უნივერსიტეტი, საქართველო, 0175,  
თბილისი, მ. კოსტავას 69

E-mail: t.tsilosani@gtu.ge

### რეცენზენტები:

**ა. გორდეზიანი,** სტუ-ის ქიმიური ტექნოლოგიისა და მეტალურგიის ფაკულტეტის მეტალურგიის,  
მასალათმცოდნეობისა და ლითონების დამუშავების დეპარტამენტის პროფესორი

E-mail: a.gordeziani@gtu.ge

**ნ. ქოიავა,** თსუ-ის რ. აგლოატის არაორგანული ქიმიისა და ელექტროქიმიის ინსტიტუტის უფროსი  
მეცნიერი თანამშრომელი

E-mail: n.kojava@gmail.com

**ანოთაცია:** დარიშხანისა და ოქროს ამოღების შესაძლებლობის დადგენის მიზნით ჩატარებულ იქნა არსენოპირიტის მადნისა და მისი გამოწვის ნარჩენების ნატრიუმის პიდროქსიდით წინასწარი გამოტუტვის პროცესების თერმოდინამიკური კვლევა დამუშანებელის დამატებისას.

ექსპრესიუმენტა აჩვენა, რომ დარიშხანშემცველი ნედლეულის ნატრიუმის პიდროქსიდით გამოტუტ-

ვისას, წყალბადის ზეჟანგის დამატების შემთხვევაში, გამოტუტვის ხარისხი 18–20 %-ით იზრდება.

წარმოდგენილია პროცესის ტექნოლოგიური სქემა.

**საპვანძო სიტყვები:** ამოტვლილვა; არსენოპირიტული მადანი; გამოტუტვა; იზობარულ-იზო-თერმული პოტენციალი; ნატრიუმის არსენიტი; ნატრიუმის არსენატი; ნატრიუმის პიდროქსიდი.

## შესავალი

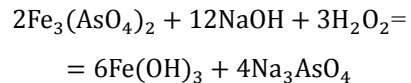
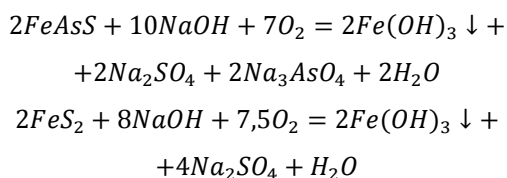
დარიშხანის არსენოპირიტული მაღნები და გადამუშავების ნარჩენები ოქროს შეიცავს იმ რაოდენობით, რომელიც მნიშვნელოვანია მისი ამოდების თვალსაზრისით. ჩვენ მიერ დარიშხანისა და ოქროს კომპლექსური ამოწვლილვის მიზნით დარიშხანისა და ოქროშემცველი სულფიდური ნედლეული, კერძოდ სოფ. ცანის არსენოპირიტული მადანი და მისი უანგვითი გამოწვის ნარჩენები გადამუშავებულ იქნა ჰიდრომეტალურგიული მეთოდით.

## ძირითადი ნაწილი

შესწავლილ იქნა დარიშხანშემცველი ნედლეულის ნატრიუმის ჰიდროქსიდით გამოტუტგის პროცესი წყალბადის ზეჟანგის დამატებისას და დამატების გარეშე კვლევის ობიექტად გამოყენებული იყო არსენოპირიტის მადანი შემდეგი ქიმიური შედგენილობით: Fe-3473%, As-44,04%; S-19,49%; Au-4-5 გ/ტ და არსენოპირიტული მადნის გამოწვის ნარჩენები: Fe-45%; As-5,32; S-3,51%; Au- 10-12 გ/ტ.

არსენოპირიტის მადნის და მისი უანგვითი გამოწვის ნარჩენების, ასევე ნატრიუმის ჰიდროქსიდით გამოტუტგის შედეგად დარჩენილი შლამის ქიმიური შედგენილობის კვლევა ჩავატარეთ რენტგენოფლუორესცენციური მეთოდით DELTA ტიპის INNOV-XSISTEMS ანალიზატორზე.

დარიშხანშემცველი ნედლეულის გამოტუტგის მიმდინარეობს შემდეგი რეაქციებით:



ჩატარდა აღნიშნული პროცესების თერმოდინამიკური კვლევა, გამოითვალი შესაბამისი რეაქციების იზობარულ-იზოთერმული პოტენციალების მნიშვნელობები და მათი მიმდინარეობის შესაძლებლობა.

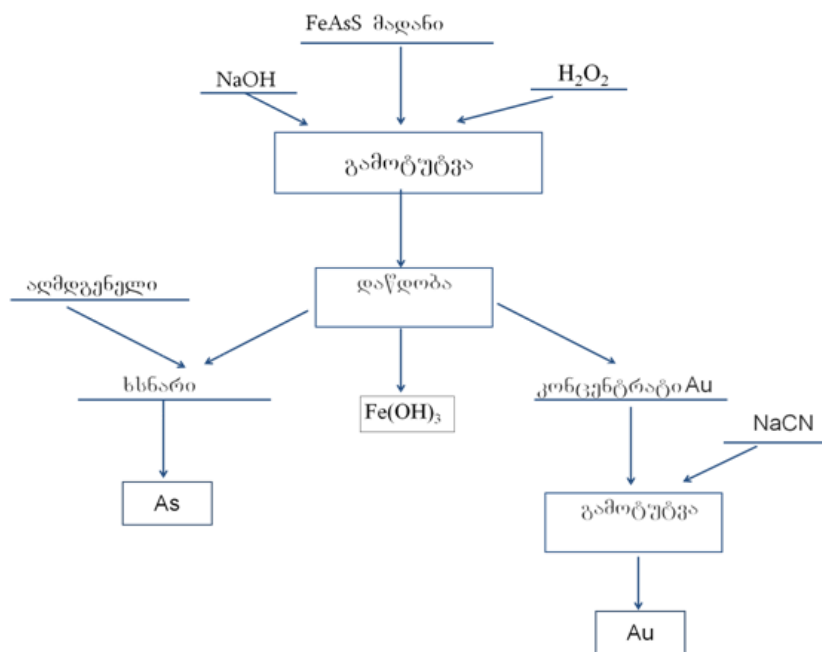
თერმიული გათვლები დადასტურდა ექსპრიმენტული კვლევის შედეგებით.

დარიშხანისა და ოქროშემცველი ნედლეულის გამოტუტვა ჩავატარეთ ნატრიუმის ჰიდროქსიდის სხვადასხვა კონცენტრაციის ხსნარებით (2M-3M) წყალბადის ზეჟანგის დამატებისას და მის გარეშე 25–100°C ტემპერატურულ ინტერვალში, 8–13 pH ფარგლებში. ექსპერიმენტმა აჩვენა, რომ დარიშხანის გამოტუტვის ხარისხი წყალბადის ზეჟანგის დამატებისას მნიშვნელოვნად იზრდება. კერძოდ, დარიშხანის ამოღების ხარისხი წყალბადის ზეჟანგის დამატების გარეშე 70%-მდეა, ხოლო დამატების შემთხვევაში 96, 58% აღწევს.

დაგენილია დარიშხანშემცველი პროდუქტის ტუტებადამუშავების პროცესის ოპტიმალური ჰირობები წყალბადის ზეჟანგის დამატებისას: C<sub>NaOH</sub>-2,5-3,7 M; pH>8; T-50-60°C. ამ დროს ოქროს შემცველობა არსენოპირიტის მადნის გამოტუტგის შედეგად დარჩენილ შლამში 20 გ/ტ, ხოლო ნარჩენების გამოტუტგის შედეგად დარჩენილ შლამში 60გ/ტ-მდეა.

გამოტუტგის შემდეგ ვახდენდით ხსნარის დაწდობას და მასში არსენატებისა და არსენიტების სახით გადასული დარიშხანის აღდგენას ელემენტური დარიშხანის გამოყოფით.

წარმოდგენილია არსენოპირიტის მადნის გადამუშავების ტექნიკულოგიური სქემა.



## დასკვნა

დარიშხანისა და ოქროშემცველი ნედლეულის ნატრიუმის პიდროქსიდით გამოტება H<sub>2</sub>O<sub>2</sub> თანაობისას საშუალებას იძლევა: 1. გაიზარდოს დარიშხანის გამოტების ხარისხი; 2. მნელად გადასამუშავებელ მაღნებში არსებული ოქროს ზედა-

პირიდან მოშორებულ იქნება მინერალები, რაც დარჩენილი შდამების შემდგომი ციანირებისას არა მარტო ამცირებს გამოყენებული ციანიდების ხარჯს, არამედ აჩქარებს ოქროს გამოტების პროცესსაც. შემოთავაზებულია დარიშხანის მაღნების გადამუშავების ტექნოლოგიური სქემა.

## ლიტერატურა

- P. Ores, J.W. Bhakta, Jr. Langhans, and K.P.V. Lei. Alkaline Oxidative Leaching of Gold-Bearing Arsenopyrite (In English).
- R.F. Dewhurst, S.P. Moutt, J.A. Coetzee. Intensive cyanidation for the recovery of coarse gold. "J.S. Afr /Inst. Mining and Met.", 1984.84, №6, pp. 159-163. (In English).

**UDC 622.7(075.80)**

**SCOPUS CODE 1508**

## **RESEARCHING THE POSSIBILITY OF EXTRACTING GOLD AND ARSENIC FROM ARSENIC AND GOLD-BEARING SULFIDE RAW MATERIAL**

<b>I. Kakhniashvili</b>	Department of Metallurgy, Metals Science and Metal Processing, Georgian Technical University, 69 M. Kostava str., 0175 Tbilisi, Georgia E-mail: i.kakhniashvili@gtu.ge
<b>L. Chkhikvadze</b>	Department of Metallurgy, Metals Science and Metal Processing, Georgian Technical University, 69 M. Kostava str., 0175 Tbilisi, Georgia E-mail: l.chkhikvadze@gtu.ge
<b>Z. Okrostsvaridze</b>	Department of Metallurgy, Metals Science and Metal Processing, Georgian Technical University, 69 M. Kostava str., 0175 Tbilisi, Georgia E-mail: z.okrostsvaridze@gtu.ge
<b>T. Tsilosani</b>	Department of Metallurgy, Metals Science and Metal Processing, Georgian Technical University, 69 M. Kostava str., 0175 Tbilisi, Georgia E-mail: t.tsilosani@gtu.ge

### **Reviewers:**

**A. Gordeziani**, Professor, Department of Metallurgy, Metals Science and Metal Processing, Faculty of Chemical Technology and Metallurgy, GTU  
E-mail: a.gordeziani@gtu.ge

**N. Koiava**, Senior Researcher, R. Agladze Institute of Inorganic Chemistry and Electrochemistry at Ivane Javakhishvili Tbilisi State University  
E-mail: n.koiava@gmail.com

**ABSTRACT.** To determine the possibility of recovering arsenic and gold from arsenic and gold-bearing raw materials, a thermodynamic study was conducted for alkaline oxidative pretreatment leaching of arsenopyrite ore and residues while firing with addition of an oxidizing agent.

The experiment showed that when leaching arsenic-bearing raw material with sodium hydroxide with addition of hydrogen peroxide, degree of leaching increases by 18-20%. The scheme of technological processing of arsenopyrite ore is presented thereon.

**KEY WORDS:** Arsenopyrite ore; degree of leaching; isobaric-isothermal potential; leaching; sodium arsenate; sodium arsenite; sodium hydroxide.

UDC 622.7(075.80)

SCOPUS CODE 1508

## ИССЛЕДОВАНИЕ ВОЗМОЖНОСТИ ИЗВЛЕЧЕНИЯ ЗОЛОТА И МЫШЬЯКА ИЗ ЗОЛОТО- И МЫШЬЯКСОДЕРЖАЩЕГО СУЛЬФИДНОГО СЫРЬЯ

- Кахниашвили И.Б.** Департамент металлургии, материаловедения и обработки металлов, Грузинский технический университет, Грузия, 0175, Тбилиси, ул. М. Костава, 69  
E-mail: i.kakhniashvili@gtu.ge
- Чхиквадзе Л.А.** Департамент металлургии, материаловедения и обработки металлов, Грузинский технический университет, Грузия, 0175, Тбилиси, ул. М. Костава, 69  
E-mail: l.chkhikvadze@gtu.ge
- Окросцваридзе З.Ш.** Департамент металлургии, материаловедения и обработки металлов, Грузинский технический университет, Грузия, 0175, Тбилиси, ул. М. Костава, 69  
E-mail: z.oqroscvaridze@gtu.ge
- Цилосани Т.А.** Департамент металлургии, материаловедения и обработки металлов, Грузинский технический университет, Грузия, 0175, Тбилиси, ул. М. Костава, 69  
E-mail: t.tsilosani@gtu.ge

### Рецензенты:

- Ал. Гордезiani,** профессор Департамента металлургии, материаловедения и обработки металлов факультета химической технологии и металлургии ГТУ  
E-mail: a.gordeziani@gtu.ge
- Н. Коиава,** ст. научн. сотрудник Института неорганической химии и электрохимии им. Р. Агладзе Тбилисского государственного университета им. Ив. Джавахишвили  
E-mail: n.kojava@gmail.com

**АННОТАЦИЯ.** С целью установления возможности извлечения мышьяка и золота из мышьяксодержащего сырья, проведено термодинамическое исследование процессов предварительного щелочного выщелачивания арсенопиритной руды и остатков ее обжига с добавлением окислителя. Рассчитаны значения изобарно-изотермических потенциалов соответствующих реакций и показана возможность их протекания.

Эксперименты показали, что при выщелачивании мышьяка содержащего сырье с помощью гидроксида натрия, с добавлением перекиси водорода степень выщелачивания возрастает на 18-20 %. Представлена схема технологической переработки арсенопиритной руды.

**КЛЮЧЕВЫЕ СЛОВА:** арсенат натрия; арсенит натрия; выщелачивание арсенопирита; гидроксид натрия, изобарно-изотермический потенциал; руда; степень извлечения.

**UDC 66.08****SCOPUS CODE 1601**

## ბუნებრივი „მშრალი“ აელოიდ „ფხოველის“ მინერალოგიური შედგენილობის ზოზიპურ-ქიმიური შესწავლა

**დ. ჯინჯარაძე**

ქიმიური და ბიოლოგიური ტექნოლოგიების დეპარტამენტი, საქართველოს  
ტექნიკური უნივერსიტეტი, საქართველო, 0175, თბილისი, მ. კოსტავას 69

E-mail: d.jincharadze@gtu.ge

**ლ. ებანოიძე**

ქიმიური და ბიოლოგიური ტექნოლოგიების დეპარტამენტი, საქართველოს  
ტექნიკური უნივერსიტეტი, საქართველო, 0175, თბილისი, მ. კოსტავას 69

E-mail: l.ebanoidze@gtu.ge

**ნ. ბოგუჩავა**

ქიმიური და ბიოლოგიური ტექნოლოგიების დეპარტამენტი, საქართველოს  
ტექნიკური უნივერსიტეტი, საქართველო, 0175, თბილისი, მ. კოსტავას 69

E-mail: nanabokuchava@gtu.ge

### რეცენზენტები:

**ა. სარუხანიშვილი,** სტუ-ის ქიმიური ტექნოლოგიისა და მეტალურგიის ფაკულტეტის ქიმიური და  
ბიოლოგიური ტექნოლოგიების დეპარტამენტის პროფესორი

E-mail: sarukhanishviliarchil@rambler.ru

**ვლ. გორდელაძე,** სტუ-ის ქიმიური ტექნოლოგიისა და მეტალურგიის ფაკულტეტის ქიმიური და  
ბიოლოგიური ტექნოლოგიების დეპარტამენტის ასოცირებული პროფესორი

E-mail: vovagordeladze@mail.ru

**პროფაცია:** განხილულია ბუნებრივი „მშრალი“ აელოიდ „ფხოველის“ არაორგანული ნაწილის მინერალები. დიფრაქტოგრაფიის, თერმოგრაფიისა და პეტროქიმიური ანალიზის შედეგებზე დაყრდნობით გამოთქმულია მოსაზრება, რომ მოცემული პელოიდი შედგება პირველადი (მონტმორილონიტ-ბეიდელიტის ჯგუფის მინერალი, გლაუკონიტი, კაოლინიტი) და მეორეული (კვარცი, მინდვრის შპატები, კალციტი, პირიტი) მინერალებისაგან.

**საკვანძო სიტყვები:** გლაუკონიტი; დერივატოგრაფია; დიფრაქტოგრაფია; კულკანური ტა-

ლახი; იწ-სპექტროსკოპია; კალციტი; კაოლინიტი; კარცი; კრისტალოპეტიკა; მინდვრის შპატები; მონტმორილონიტ-ბეიდელიტის ჯგუფის მინერალი; „მშრალი“ პელოიდი; პირველადი და მეორეული მინერალები; პირიტი.

### შესავალი

სამკურნალო ტალახი (პელოიდი) კულკანური წარმოშობის ტალახ „ფხოველის“ პროდუქტია, რომელიც ეწ „კულკანური ტალახების“ ჯგუფს მიეკუთვნება. იგი სამკურნალო თვისებებით ხასიათდება.

აღნიშნული პელოიდის არაორგანული შემად-

გენდის შესახებ შესაბამის ლიტერატურაშია [1] მოცემული. მასში აღნიშნულია, რომ სამკურნალო ტალას „ფხოველის“ არაორგანული ნაწილის ძირითადი მინერალია მონტმორილონიტი, თუმცა არ არის დეტალიზებული, რა სახითაა ეს მინერალი წარმოდგენილი და რა მინერალები თანაარსებობს მასთან.

საინფორმაციო წყაროების [1-7] ანალიზი ნათლად გვიჩვენებს, რომ მონტმორილონიტის, კერძოდ ფქნოვანი წყალშემცველი სილიკატების ინდივიდუალიზაცია მრავალ სირთულესთანაა დაკავშირებული. მაგალითად, თიხური მინერალების შემთხვევაში, კრისტალების შესწავლის ისეთი ეფექტური კვლევის მეთოდი, როგორიცაა დიფრაქტოგრაფია, ერთნიშნა დასკვნების გამოტანის საშუალებას არ იძლევა. ეს არის როგორც ამ მინერალების უმეტესობისათვის შესაბამისი ეტალონების მოპოვების სირთულის, ისე მათი რენტგენული რეფლექსების მსგავსების შედეგი.

ამიტომაა, რომ თიხების ანალიზი მრავალ-სტადიურ კომპლექსურ კვლევას მოითხოვს. იგი შეიცავს დიფრაქტოგრაფიას, იწ-სპექტროსკოპიას, დერივატოგრაფიას, კრისტალოპტიკას, ქიმიური ანალიზის სხვადასხვა მეთოდს, ობიექტის შესაბამის დამუშავებას და ა.შ.

ძირითადად რეკომენდებულია კვლევის ორი სტადიის ჩატარება – პირველადი ნიმუშის კვლევა და კვლევის შედეგების მიხედვით, თიხების სხვადასხვა დამუშავებით, მიღებული პროდუქტების შესწავლა.

### ძირითადი ნაწილი

ნაშრომში შემოთავაზებულია პირველადი ნიმუშების კვლევის შედეგები. კვლევის მიზანი იყო „ფხოველის“ სამკურნალო ტალახის არაორგანული შემადგენლის დადგენა. თიხაში შემავალი ორგანული და ძირითად მასასთან ნაკლებად ბმული ნაწილის – ადსორბციული წყლის მოსაცილებლად აუცილებელი გახდა ობიექტის თერმული დამუშავება. დამუშავებული თიხის შედგენილობა წარმოდგენილია ცხრილის პირველ გრაფაში.

ამ შედგენილობითა და საინფორმაციო წყაროებში არსებული მონაცემებით [1-7], თიხის საგარაუდო მინერალური შედგენილობის დასადაგნად ჩატარდა პეტროქიმიური გაანგარიშება. მიღებული შედეგები წარმოდგენილია ცხრილში.

ცხრილში მოყვანილი მონაცემებიდან ჩანს, რომ თიხაში შემავალი ოქსიდები სრულად არის „განლაგებული“ შემდეგ მინერალებში:

**მონტმორილონიტი (Mt) –  $(\text{Ca}, \text{Na})_{0,35} \cdot (\text{Al}, \text{Mg}, \text{Fe})_2[(\text{Si}, \text{Al})_4\text{O}_{10}] (\text{OH})_2 \cdot n\text{H}_2\text{O}$ ;**

**ბეიდელიტი (Bei) –  $(\text{Ca}, \text{Na})_{0,3} \cdot \text{Al}_2[(\text{Al}, \text{Si})_4\text{O}_{10}] \cdot (\text{OH})_2 \cdot 4\text{H}_2\text{O}$ ;**

**გლაუკონიტი (Gl) –  $(\text{K}, \text{Na})(\text{Al}, \text{Fe})_2[(\text{Al}, \text{Si})_4\text{O}_{10}] (\text{OH})_2$ ;**

**პირიტი –  $\text{FeS}_2$ ;**

**მინდერის შპატები: ანორტიტი (An) –  $\text{CaO} \cdot \text{Al}_2\text{O}_3 \cdot 2\text{SiO}_2$ ;**

**ალბიტი (Ab) –  $\text{Na}_2\text{O} \cdot \text{Al}_2\text{O}_3 \cdot 6\text{SiO}_2$ ;**

**ორთოკლაზი –  $\text{K}_2\text{O} \cdot \text{Al}_2\text{O}_3 \cdot 6\text{SiO}_2$ ;**

**კალციტი (Q) –  $\text{CaCO}_3$ ;**

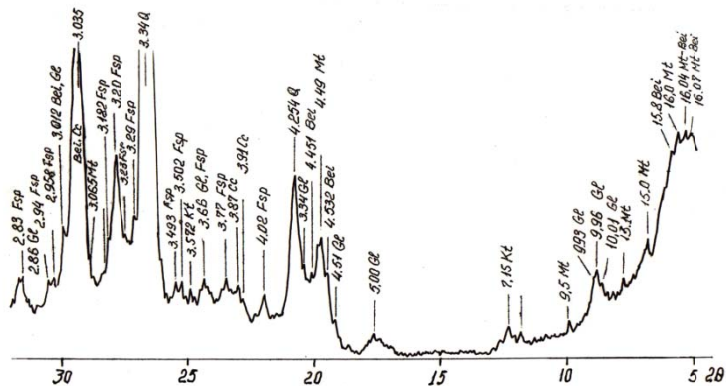
**კაოლინიტი (Kt) –  $\text{Al}_2\text{O}_3 \cdot 2\text{SiO}_2 \cdot 2\text{H}_2\text{O}$ .**

ჩამოთვლილი მინერალებიდან ორი მონტმორილონიტ-ბეიდელიტის ჯგუფიდანაა და ურთო-ერთშერწყმისადმია მიღრეკილი, თუმცა მათ და გლაუკონიტ-კაოლინიტს შორის სტრუქტურული შერწყმაცაა მოსალოდნელი. რაც შეეხება დანარჩენებს, ნიადაგების მინერალოგიის განხილვის მიხედვით, მეორეულ პროდუქტთა რიცხვს შეიძლება მიეკუთვნოს.

„გხოველის“ თიხის არაორგანული ნაწილის მინერალური შედგენილობა კვლევის ობიექტის დიფრაქტოგრამით დასტურდება (ნახ.1). მასზე ნათლად გამოიკვეთა მინერალების უმეტესობისათვის [Mt-Bei, Gl, Cc, Q, Fs, P (An, Ab,Or)] დამახასიათებელი (კვლევის გრადაციით) საკმარისი რეფლექსები.

### ბუნებრივი “მშრალი” პელოიდის გაანგარიშება მინერალოგიურ შედგენილობაზე

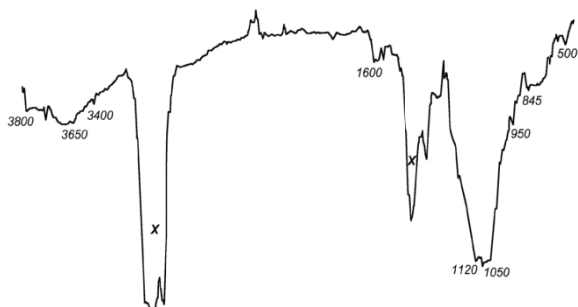
ოქ- სი- დები	რაოდენობა		მინერალები											
	მას, %	მოლუ- ბის რიცხ- ვი	პირი- ტი	მინერ- ალინი- ტი	ბეი- დელიტი	გლაუ- კონიტი	კაო- ლინიტი	ანორ- ტიტი	ორთო- კლაზი	ალბო- ტი	კარ- ციტი	კალ- ციტი	ნარ- ჩენი	
P	(Mt)	(Bei)	(Gl)	(Kt)	(An)	(Or)	(Ab)	(Q)	(Cc)					
TiO <sub>2</sub>	0,78	0,0097		0,0097										
SiO <sub>2</sub>	52,50	0,8654		0,1383	0,1400	0,0683	0,0006	0,0200	0,0132	0,2382	0,2468			
Al <sub>2</sub> O <sub>3</sub>	16,2	0,1589		0,0414	0,0422	0,0231	0,0003	0,0100	0,0022	0,0397				
Fe <sub>2</sub> O <sub>3</sub>	3,42	0,0214		0,0136	0,0078									
FeO	1,16	0,0161	0,0081			0,0080								
CaO	5,90	0,1052		0,0030	0,0029			0,0100				0,0896		
MgO	1,65	0,0409		0,0409										
Na <sub>2</sub> O	4,30	0,0693		0,0125	0,0091	0,0080				0,0397				
K <sub>2</sub> O	2,10	0,0222				0,0200			0,0022					
SO <sub>3</sub>	1,29	0,0161	0,0161											
H <sub>2</sub> O <sup>+</sup>	2,44	0,1358		0,0729	0,0411	0,0212	0,0003							
H <sub>2</sub> O <sup>-</sup>	4,24	0,2455		0,1227	0,1228									
CO <sub>2</sub>	4,02	0,0914					0,0012					0,0896	0,0018	
FeS <sub>2</sub>			0,0081											
O <sub>2</sub>			0,0161											
ჯამი	100,0	1,7979		0,4550	0,3659	0,1486		0,0400	0,0176	0,3176	0,2468	0,1792	0,0018	1,7979
მინერალთა შემცველობა, მას %														
ფენოვანი წყალშემცველი სილიკატები			მინდვრის შაბატები			კვარცი (Q)			კალციტი (Cc)			პირიტი P		
50,47			39,68			14,83			8,98			0,87		



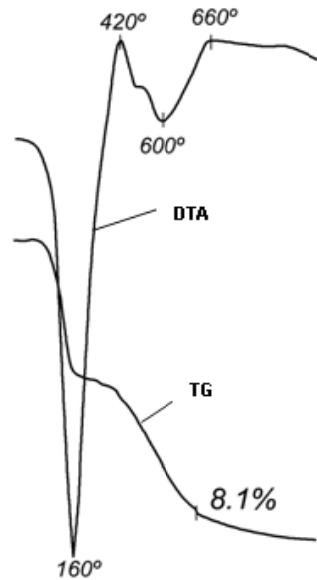
ნახ. 1. დიფრაქტოგრამის ფრაგმენტი

ინფრაწილები სპექტრზე არსებული შთანთქმის ზოლებიც ნავარაუდებ მინერალების არსებობაზე მიუთითებს (ნახ.2). მოკლებალლიან უბანში ზოლების სამი ჯგუფია გამოკვეთილი: 3800–3400 სმ<sup>-1</sup> დიაპაზონში არსებული ზოლები განპირობებულია ოქტაედრულ ფენაში – სტრუქტურული ჰიდროქსიდები, 3625–3650 სმ<sup>-1</sup> ინტერგალში - Al-OH ბმის, ხოლო 3400–3410 სმ<sup>-1</sup> მონაკვეთში – ადსორბირებული ჰიდროქსიდების რევებით, რაც 1600 სმ<sup>-1</sup>-თან დეფორმირებული რევების ზოლსაც იძლევა.

სპექტრის გრძელტალღიან 1000–1100 სმ<sup>-1</sup> უბანში არსებული ზოლები Si-O ბმის, 900–950 სმ<sup>-1</sup> უბანში – ტეტრაედრულ მდგომარეობაში მყოფი ალუმინის, 845 სმ<sup>-1</sup> უბანში – სამფენოვანი მინერალების, ხოლო 500–535 სმ<sup>-1</sup> უბანში – Si-O-Al (IV) ბმის რევების ამსახველი ზოლები ფიქსირდება.



ნახ. 2. ინფრაწილები სპექტრის ფრაგმენტი



ნახ. 3. DTA და TG თერმოგრამები

თერმოგრაფიით ერთი „მძლავრი“ (160°C) და ნაკლები სიმძლავრის (600°C) ენდოეფექტებია დაფიქსირებული. Mt-Bei-ში პირველი ადსორბციული წყლის, ხოლო მეორე – სტრუქტურული წყლის მოცილებასთან არის დაკავშირებული, რასაც მოჰყვება Mt-Bei სტრუქტურის გადაწყობა. ამ მოვლენას, როგორც ჩანს, 600°C-ზე დაწყებული ეგზოთერმია ახლავს. ეგზოთერმული ეფექტი, მაქსიმუმით 420°C-თან, ჩვენი აზრით, ორგანიკის წყალთან არის დაკავშირებული. მისი სიდიდე მიგვანიშნებს, რომ ეს ორგანიკის ის

ნაწილია, რომელიც პირველადი თერმული დამუშავებისას ობიექტს არ მოსცილდა. TG მრული სრულად შეესაბამება DTA-თი დაფიქსირებულ მოვლენებს (ნახ.3).

### დასკვნა

შეიძლება დაგასკვნათ, რომ „ფხოველის“ სამკურნალო ტალახის არაორგანული შედგენილობა ძირითადად მონტერილონიტ-ბენდელიტის ჯგუფის ფენოვანი სილიკატია, რომელთანაც შერწყმულია ქარსის და შესაძლო კაოლინიტის ჯგუფის მინერალები. ამ ძირითად, უმეტესად ამორფულ მასაში გაბნეულია კვარცი, კალციტი, მინდვრის შპატის მინერალები, შესაძლოა პირიტიც. რო-

გორც ჩანს, ამ ადგილმდებარეობის თიხის არაორგანული ნაწილი შეიძლება დაიყოს პირველად და მეორეულ მინერალებად. პირველადს შეიძლება მივაკუთნოთ მინერალები, რომლებიც დაბალტემპერატურული პროცესის შედეგად წარმოიქმნება ან ფორმირდება *instatū* გამოფიტვისას. მეორეული ჯგუფის მინერალები მაღალი ტემპერატურისა და წნევის პირობებში წარმოიქმნება და სამკურნალო ტალახებში ნალექდაგროვების ციკლის მსვლელობისას გახდება.

ნაშრომში ჩვენ მიერ გამოთქმული მოსაზრებები უფრო ვარაუდია, ვიდრე მტკიცება და მოითხოვს კვლევის სპეციალური ახალი ციკლის ჩატარებას, რაც სამომავლოდ არის დაგეგმილი.

### ლიტერატურა

1. N. Bokuchava. Curative Clays of Georgia, "Technical University", 2009.- 150 p. (In Russian).
2. V. Treger. Optical determination of minerals in soil, "Nedra", 1968, 98 p. (In Russian).
3. Z. Berry, B. Mason, R. Dittrikh. Mineralogy, "Mir", 1987.- 592 p. (In Russian).
4. G. Feklichev. Diagnostic specters of minerals, "Nedra", 1977.- 288 p. (In Russian).
5. K. Fray. Mineralogical Encyclopedia, "Nedra", 1985.- 512 p. (In Russian).
6. V. Fank-Kamenetski. Essence of structural admixtures in minerals, "Leningrad University", 1964.- 140 p. (In Russian).

**UDC 66.08  
SCOPUS CODE 1601**

## **PHYSICAL-CHEMICAL STUDY OF MINERALOGICAL COMPOSITION OF NATURAL “DRY” PELOID “PKHOVELI”**

**D. Jincharadze** Department of Chemical Technology and Biotechnology, Georgian Technical University, 69 M. Kostava str., 0175 Tbilisi, Georgia  
E-mail: d.jincharadze@gtu.ge

**L. Ebanoidze** Department of Chemical Technology and Biotechnology, Georgian Technical University, 69 M. Kostava str., 0175 Tbilisi, Georgia  
E-mail: l.ebanoidze@gtu.ge

**N. Bokuchava** Department of Chemical Technology and Biotechnology, Georgian Technical University, 69 M. Kostava str., 0175 Tbilisi, Georgia  
E-mail: nanabokuchava@gtu.ge

**Reviewers:**

**A. Sarukhanishvili**, Professor, Department of Chemical Technology and Biotechnology, Faculty of Chemical Technology and Metallurgy, GTU  
E-mail: sarukhanishviliarchil@rambler.ru

**V. Gordeladze**, Associate Professor, Department of Chemical Technology and Biotechnology, Faculty of Chemical Technology and Metallurgy, GTU  
E-mail: vovagordeladze@mail.ru

**ABSTRACT.** Mineralogical composition of natural peloid “Pkhoveli” is observed. Based on the data obtained using diffractometry, thermography and petrochemical analysis, this particular peloid is suggested to contain two groups of minerals: primary (monmorillonite-beidellite group mineral, glauconite, kaolinite) and secondary (quartz, feldspars, calcite, pyrite).

**KEY WORDS:** calcite; crystal optics analysis; derivatography; diffractometry; dry peloid; feldspars; glauconite; IR-spectroscopy; kaolinite; monmorillonite-beidellite group mineral; primary and secondary minerals; quartz; volcanic mud.

**UDC 66.08  
SCOPUS CODE 1601**

## **ФИЗИКО-ХИМИЧЕСКОЕ ИССЛЕДОВАНИЕ МИНЕРАЛОГИЧЕСКОГО СОСТАВА НАТУРАЛЬНОГО “СУХОГО” ПЕЛОИДА “ПХОВЕЛИ”**

- Джинчарадзе Д.Г.** Департамент химических и биологических технологий, Грузинский технический университет, Грузия, 0175, Тбилиси, ул. М. Костава, 69  
E-mail: d.jincharadze@gtu.ge
- Эбаноидзе Л.О.** Департамент химических и биологических технологий, Грузинский технический университет, Грузия, 0175, Тбилиси, ул. М. Костава, 69  
E-mail: l.ebanoidze@gtu.ge
- Бокучава Н.В.** Департамент химических и биологических технологий, Грузинский технический университет, Грузия, 0175, Тбилиси, ул. М. Костава, 69  
E-mail: nanabokuchava@gtu.ge

**Рецензенты:**

- А. Саруханишвили**, профессор Департамента химических и биологических технологий факультета химической технологии и металлургии ГТУ  
E-mail: sarukhanishviliarchil@rambler.ru
- Вл. Горделадзе**, ассоц. профессор Департамента химических и биологических технологий факультета химической технологии и металлургии ГТУ  
E-mail: vovagordeladze@mail.ru

**АННОТАЦИЯ.** Рассмотрен минералогический состав лечебной грязи “Пховели”. В результате ее исследования методами петрохимического анализа, дифрактографии, термографии высказывается мнение, что данный пелоид содержит две группы минералов: в первичную входит минерал группы монтмориллонита-бейделита, глауконит, каолинит и во вторичную кварц, полевые шпаты, кальцит и пирит.

**КЛЮЧЕВЫЕ СЛОВА:** вулканическая грязь; дериватография; дифрактография; ИК-спектроскопия; кристаллооптика; первичные (минерал группы монтмориллонита-бейделита, глауконит, каолинит) и вторичные (кварц, полевые шпаты, кальцит и пирит) минералы; “сухой” пелоид.

UDC 621.391.15

SCOPUS CODE 1710

## РАЗВИТИЕ ИНФОКОММУНИКАЦИОННЫХ ТЕХНОЛОГИЙ И ИНФОКОММУНИКАЦИОННОЙ СРЕДЫ НА ПУТИ СОЗДАНИЯ ГЛОБАЛЬНОГО ИНФОРМАЦИОННОГО ОБЩЕСТВА

**Т.О. Буркадзе** Департамент телекоммуникации, Грузинский технический университет, Грузия, 0175, Тбилиси, ул. М. Костава 75  
E-mail: tburka23@rambler.ru

**Д.Л. Беридзе** Департамент телекоммуникации, Грузинский технический университет, Грузия, 0175, Тбилиси, ул. М. Костава 75  
E-mail: jberidze@rambler.ru

### Рецензенты:

**Т. Купатадзе**, профессор, доктор технических наук Департамента телекоммуникаций факультета энергетики и телекоммуникации ГТУ

E-mail: tamazk@hotmail.com

**Г. Шаманадзе**, доктор инженерии по телекоммуникации, технический директор компании мобильной связи ООО «Мобител»

E-mail: gshamanadze@gmail.com

**АННОТАЦИЯ.** Рассматриваются проблемы построения человечеством **глобального информационного общества (ГИО)**, технической базой которого должна будет стать **глобальная информационная инфраструктура**. Принято, что главными продуктами ГИО будут информация и знания, из чего следует, что информационное общество должно быть способным производить всю необходимую для его жизнедеятельности информацию, а также обеспечивать всех граждан средствами доступа к этой информации.

Показано влияние развития **инфокоммуникационных технологий и услуг** на формирование **информационного общества**. Базовые инфокоммуникационные технологии сейчас успешно развиваются и усовершенствуются, а на их основе строятся сенсорные сети, сети связи следующего поколения и Интернет вещей.

В течение многих лет информационные и телекоммуникационные технологии рассматривались отдель-

но. В последние десятилетия происходит непрерывная конвергенция этих технологий, превращение их в единую **инфокоммуникационную технологию**.

**Единая инфокоммуникационная среда**, построенная на новом качественном уровне, станет технической основой **глобального информационного общества**.

**КЛЮЧЕВЫЕ СЛОВА:** глобальная информационная инфраструктура; глобальная инфокоммуникационная среда; глобальное информационное общество; инфокоммуникации; инфокоммуникационные услуги; конвергенция интеллектуальных абонентских устройств; современные инфокоммуникационные технологии.

### ВВЕДЕНИЕ

За время своего существования человечество прошло множество фаз развития, за которые оно нау-

чились изготавливать орудие, выращивать сельхозпродукты, строить заводы и фабрики, расщеплять атом, запускать в космос космические корабли. Сейчас настала эра создания человечеством **глобального информационного общества**, технической базой которого должна будет стать **глобальная информационная инфраструктура**. О том, что речь идёт о стремлении создания именно **глобального информационного общества**, можно судить хотя бы по таким всемирным документам, как:

- ✓ «Окинавская хартия глобального информационного общества», принятая главами государств и правительств "группы восьми" 22 июля 2000 г. [1];
- ✓ «Тунисская программа для развития информационного общества», принятая в рамках всемирной встречи на высшем уровне, прошедшей в два этапа: в Женеве в 2003 г. и в Тунисе в 2005 г.[2];
- ✓ принятие **Международным союзом электросвязи (МСЭ - ITU)** на полномочной конференции в Анталии (Турция) в ноябре 2006 года решения отмечать 17 мая как «Всемирный день электросвязи и информационного общества» [3].

Есть много определений понятия "информационное общество". Мы приведем одно из них. Информационное общество – новая историческая фаза развития цивилизации, в которой главные продукты производства – информация и знания. Отличительными чертами информационного общества являются: доступность к необходимой информации для всех его членов, способность общества производить всю необходимую для его жизнедеятельности информацию, а также обеспечивать всех граждан средствами доступа к этой информации [4]. Из этого определения видно, что в информационном обществе решающую роль играет **доступность** к необходимой информации для всех его членов.

## ОСНОВНАЯ ЧАСТЬ

Одним из наиболее важных факторов, влияющих на формирование общества двадцать первого века, являются **инфокоммуникационные технологии и услуги**. В свою очередь, уровень развития технологий и услуг зависит от уровня экономики и, в первую очередь, от платежеспособного спроса населения на те или иные инфокоммуникационные услуги. Мы можем сделать заключение, что построение **глобальной информационной инфраструктуры** и вхождение в **глобальное**

**информационное общество** возможны при выполнении двух обязательных условий:

- ✓ наличия современных инфокоммуникационных технологий;
- ✓ наличия финансовых средств на их приобретение.

Инфокоммуникационная инфраструктура состоит из трёх основных составляющих: информационный терминал абонента, сеть доступа и транспортная сеть связи.

**Информационный терминал абонента** может состоять из различного рода конкретных устройств (стационарный телефон, мобильный телефон, мобильный мультимедийный терминал и т.п.).

**Сеть доступа (access network)** иногда называют **местной сетью связи**. В сети доступа могут применяться кабельные линии связи (на основе металлических или оптических проводящих сред), радиолинии, оптические линии и любые другие. Пропускная способность сетей доступа определяется в основном требованиями абонента и может изменяться от десятков кбит/с до сотен Мбит/с.

**Транспортная сеть связи** состоит из всевозможных структур (кольцевых, радиальных и т.п.). Транспортные сети включают в себя как магистральные, так зоновые (или внутризоновые) линии связи, узлы автоматической связи, сетевые узлы и многие другие элементы. Технологически транспортные сети связи состоят из линий связи – кабельных (металлических или оптических), беспроводных, радиорелейных и спутниковых. Пропускная способность транспортных сетей может достигать десятков и сотен Гбит/с.

В течение многих лет информационные и телекоммуникационные технологии рассматривались отдельно. В последние десятилетия происходит непрерывная конвергенция (сращивание, сближение) этих технологий, превращение их в **единую инфокоммуникационную технологию** на основе базовых технологий (объединения математических, физических и технических методов).

Развитие базовых инфокоммуникационных технологий обеспечивает прогресс как инфокоммуникаций в целом, так и ряда внутренних инфокоммуникационных процессов, протекающих с различной скоростью. Шесть базовых процессов развития инфокоммуникаций в настоящее время можно достаточно точно обозначить:

- ✓ мобильная телефонизация – предоставление населению мобильной телефонной связи;

- ✓ компьютеризация - обеспечение населения персональными компьютерами и другими средствами вычислительной техники;
- ✓ телекомпьютеризация – процесс вхождения (соединения) компьютеров во Всемирную сеть связи. Одним из проявлений телекомпьютеризации является Интернет;
- ✓ мобильная телекомпьютеризация – вхождение мобильных компьютеров во Всемирную сеть связи;
- ✓ телефонизация – обеспечение населения стационарными телефонами. Этот процесс начался в конце XIX- начале XX веков и продолжается до настоящего времени, так как в большинстве развивающихся стран телефонная плотность (количество телефонов на 100 душ населения) крайне низка, что и определяет экономическую основу развития телефонизации;
- ✓ телевизионное и радиовещание – как и телефонизация, начали развиваться достаточно давно и продолжают непрерывно совершенствоваться (например, переход на цифровое вещание).

Безусловно, такое деление общего процесса развития довольно условно, но оно действительно характеризует направления совершенствования инфокоммуникаций. Так, на основе этих базовых технологий сейчас успешно развиваются всепроникающие сенсорные сети (Wireless Sensor Network – WSN, Ubiquitous Sensor Networks - USN), сети связи следующего поколения (Next Generation Networks, NGN) и Интернет вещей (Internet of Things, IoT).

«Сенсорная сеть» (WSN, USN) сегодня является устоявшимся термином, обозначающим распределенную, всепроникающую, самоорганизующуюся, устойчивую к отказу отдельных элементов сеть из необслуживаемых и не требующих специальной установки устройств. Каждый узел сенсорной сети может содержать различные датчики для контроля внешней среды, микрокомпьютер и радиоприемопередатчик [5]. Это позволяет устройству проводить

измерения, самостоятельно проводить начальную обработку данных и поддерживать связь с внешней информационной системой.

«Сети следующего поколения» (NGN) – мультисервисные сети связи, ядром которых являются опорные IP-сети (коцепция IMS - IP Multimedia Subsystem), поддерживающие полную или частичную интеграцию услуг передачи речи, данных и мультимедиа. Реализуют принцип конвергенции услуг электросвязи [6].

«Интернет вещей» (IoT) – концепция вычислительной сети физических объектов («вещей»), оснащенных встроенными техническими приемо-передающими средствами связи для взаимодействия друг с другом или внешней средой [7]. Популяризации Интернета вещей способствовал упор в концепции на объединение устройств и «вещей» в единую вычислительную сеть, обслуживаемую интернет-протоколами, в которой становится возможной полная автоматизация выполнения различных процессов непосредственно самими «вещами», например, бытовыми приборами.

Процессы совершенствования инфокоммуникаций постоянно конвергируют, и начало им было положено конвергенцией двух базовых технологий: связи (communication) и компьютера (computer), которые на рис.1 условно изображены цепочкой их развития [8]. Каждый последующий этап конвергенции характеризуется добавлением нового (и крайне важного) элемента. К базовому состоянию С\*С (компьютер и связь) добавляется мобильность М, затем мультимедийность ММ, после чего конвергенция приведёт к Глобальной системе мобильной и мультимедийной связи GMM, которая постепенно превратится в Глобальную мобильную систему персональной связи (службы) GMPCS (Global Mobile Personal Communications by Satellite [9]).

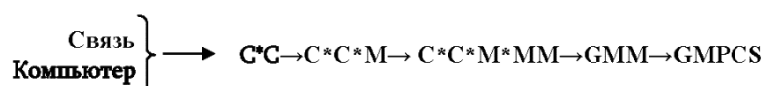


Рис. 1. Процессы совершенствования инфокоммуникаций

Помимо конвергенции инфокоммуникационных технологий в ближайшее десятилетие произойдёт и конвергенция инфокоммуникационных услуг. На рис. 2 условно показано превращение многих абонентских

устройств, включая бытовую электронику и устройства домашнего мониторинга в **единый инфокоммуникационный терминал абонента**.

Расширение информационного взаимодействия между людьми, оснащенными интеллектуальными абонентскими устройствами (компьютерами, мобильными телефонами и др.), на взаимодействие вещей и природной среды, оснащенных соответствующими аппаратно-программными средствами (IoT), создает ясную долголетнюю перспективу дальнейшего развития всех направлений **инфокоммуникационных технологий**. Развитие и внедрение конвергентных решений NGN и IoT, а также когнитивных и нанотех-

нологий в части сближения и взаимопроникновения «неорганики» и биоорганического мира живой природы (то есть соединение возможностей современных технологий с конструкциями, созданными живой природой) знаменует новый качественный этап построения **единой инфокоммуникационной среды** (InfoCommunication environment, ICE) и на ее базе **глобального информационного общества** (Information society).

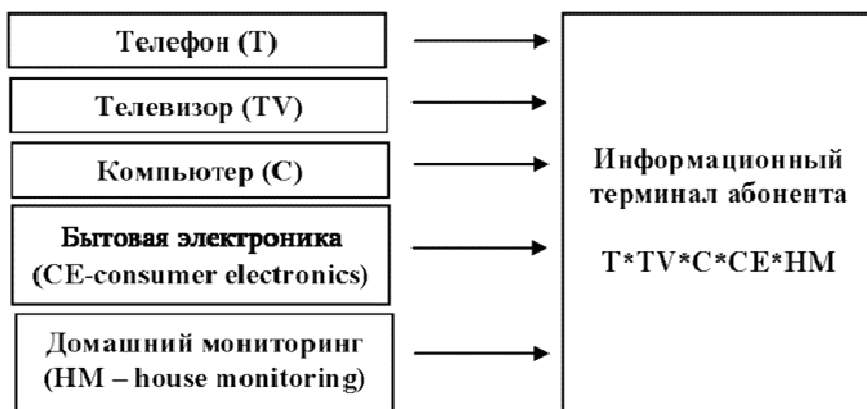


Рис. 2. Превращение абонентских устройств в единый инфокоммуникационный терминал абонента

Гигантское количественное увеличение числа взаимодействующих объектов и субъектов, имеющих доступ к **глобальной инфокоммуникационной среде**, приведет к заметной, даже возможно полной, деструктуризации существующего представления о мире и потребует разработки новых представлений о нем, что естественно скажется на контенте услуг при их формировании и предоставлении, а также на эффек-

тивности их администрирования. Системы, встроенные в окружающую среду датчиков IoT (например, мультисенсорные системы), обеспечат новые возможности и поставят новые проблемы [10].

На рис. 3 схематически показана структура формируемой единой **инфокоммуникационной среды**, а на рис. 4 – инфраструктура предоставления массовых **инфокоммуникационных услуг**.



Рис. 3. Структура формируемой единой инфокоммуникационной среды

В первую очередь, формированию **инфокоммуникационной среды** способствовало развитие массовых **инфокоммуникационных** услуг операторами мобильной связи, которые первыми в широких масш-

табах стали использовать при предоставлении абоненту одной **инфокоммуникационной** услуги сети разных операторов связи, включая и сети фиксированной связи.

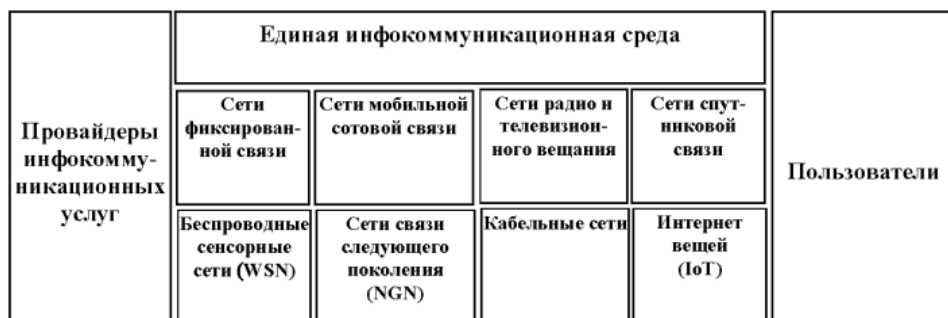


Рис. 4. Инфраструктура предоставления массовых инфокоммуникационных услуг

## ЗАКЛЮЧЕНИЕ

Создание глобальной инфраструктуры, что предусматривает как развитие и совершенствование базовых телекоммуникационных технологий, так и возникновение новых инфокоммуникационных технологий и соответствующих инфокоммуникационных сетей. К ним относятся сети NGN (основанные на концепции IMS), всепроникающие сенсорные сети (USN - Ubiquitous Sensor Networks) и Интернет вещей (IoT). Эти сети создают техническую базу для настоящих и

будущих требований инфокоммуникаций. Одновременно, на этом этапе формирования **инфокоммуникационной среды**, формируется новое представление сферы услуг. Рассмотрение основных характеристик сервиса, его функции и роль в современном обществе позволяют оценивать роль каждой новой **инфокоммуникационной** услуги и значение **инфокоммуникационных технологий** для каждого члена информационного общества.

## ЛИТЕРАТУРА

1. [http://www.businesspravo.ru/Docum/DocumShow\\_DocumID\\_16975.html](http://www.businesspravo.ru/Docum/DocumShow_DocumID_16975.html)
2. [http://www.itu.int/net/wsis/outcome/booklet/tunis-agenda\\_Bru.html](http://www.itu.int/net/wsis/outcome/booklet/tunis-agenda_Bru.html)
3. <http://womanadvice.ru/pozdravleniya/prazdniki/vsemirnyy-den-elektrosvyazi-i-informacionnogo-obshchestva-year>
4. <http://www.morepc.ru/dict>
5. P. Levis, S. Madden, J. Polastre etc. «TinyOS 2005 : An operating system for wireless sensor networks» // W. Weber, J.M. Rabaey, E. Aarts (etc.) // In Ambient Intelligence. — New York, NY: Springer-Verlag.
6. <https://ru.wikipedia.org/wiki/NGN>
7. <http://termin.bposd.ru/publ/10-1-0-32129>
8. L. Varakin. The main directions of development of info-communication in Russia on the basis of modern technologies and world tendencies. Trudi mejdunarodnoi akademii cviazi №1, 2008.
9. <http://dogend.ru/docs/index-423880.html>
10. V. Sarian. etc. Last, real and future standardization of the Internet of things. Jurnal “Trudi NIIR” №1, 2014. (In Russian).

**UDC 621.391.15  
SCOPUS CODE 1710**

**ინფორმაციაციური ტექნოლოგიებისა და ინფორმუნიკაციური  
ბარეტოს განვითარება გლობალური ინფორმაციული საზოგადოების  
ჩამოყალიბების გზაზე**

- ტ. ბურკაძე** ტელეკომუნიკაციის დეპარტამენტი, საქართველოს ტექნიკური უნივერსიტეტი,  
საქართველო, 0175, თბილისი, მ. კოსტავას 75  
E-mail: tburka23@rambler.ru
- ჯ. ბერიძე** ტელეკომუნიკაციის დეპარტამენტი, საქართველოს ტექნიკური უნივერსიტეტი,  
საქართველო, 0175, თბილისი, მ. კოსტავას 75  
E-mail: jberidze@rambler.ru

**რეცენზები:**

**თ. კუპატაძე,** სტუ-ის ენერგეტიკისა და ტელეკომუნიკაციის ფაკულტეტის ტელეკომუნიკაციის  
დეპარტამენტის პროფესორი, ტექნიკის მეცნიერებათა დოქტორი  
E-mail: tamazk@hotmail.com

**გ. შამანაძე,** მობილური კავშირის კომპანია „მობიტელის“ ტექნიკური დირექტორი,  
ინიციატივის დოქტორი ტელეკომუნიკაციის დარგში  
E-mail: gshamanadze@gmail.com

**ანოთაცია:** განიხილება კაცობრიობის მიერ გლობალური ინფორმაციული საზოგადოების  
ჩამოყალიბების ფაზა, რომლის ტექნიკურ ბაზად უნდა იქცეს გლობალური საინფორმაციო  
ინფრასტრუქტურა. მოცემულია ინფორმაციული საზოგადოების არსის ფორმულირება, რომ-  
ლისგანაც მომდინარეობს, რომ ინფორმაციულ საზოგადოებას უნდა ჰქონდეს მისი ცხოველ-  
ქმედებისთვის საჭირო მთელი ინფორმაციის წარმოების უნარი, ასევე უზრუნველყოს საზოგადოების  
წევრები ამ ინფორმაციაზე წვდომის საშუალებებით.

ნაჩვენებია ინფორმუნიკაციური ტექნოლოგიებისა და მომსახურების გავლენა ინფორმაციული  
საზოგადოების ფორმირებაზე. საბაზო ტექნოლოგიების საფუძველზე დღეს წარმატებულად ვი-  
თარდება სენსორული ქსელები, შემდგომი თაობის ტელეკომუნიკაციის ქსელები და ნივთების  
(საგნების) ინტერნეტი.

მრავალი წლის მანძილზე საინფორმაციო და სატელეკომუნიკაციო ტექნოლოგიები ცალ-ცალკე  
განიხილებოდა. ბოლო ათწლეულებში მიმდინარეობს ამ ტექნოლოგიების განუწყვეტელი კონკრე-  
ტური, მათი გადაქცევა ერთიან ინფორმუნიკაციურ ტექნოლოგიად.

ახალ ხარისხობრივ დონეზე აგებული ინფორმუნიკაციური გარემო გახდება გლობალური  
ინფორმაციული საზოგადოების ჩამოყალიბების საფუძველი.

**საბანო სიტყვები:** გლობალური საინფორმაციო ინფრასტრუქტურა; გლობალური ინფორმა-  
ციული საზოგადოება; გლობალური ინფორმუნიკაციური გარემო; თანამედროვე ინფორმუნიკა-  
ციური ტექნოლოგიები; ინტელექტუალური საბონენტო მოწყობილობების კონკრეტური; ინფო-  
კომუნიკაცია; ინფორმუნიკაციური მომსახურება.

**UDC 621.391.15**  
**SCOPUS CODE 1710**

## **DEVELOPMENT OF INFO-COMMUNICATION TECHNOLOGIES AND INFO-COMMUNICATIONS ENVIRONMENT ON THE WAY OF ESTABLISHMENT OF GLOBAL INFORMATION SOCIETY**

**T. Burkadze** Department of Telecommunications, Georgian Technical University, 75 M. Kostava str., 0175 Tbilisi, Georgia  
E-mail: tburka23@rambler.ru

**J. Beridze** Department of Telecommunications, Georgian Technical University, 75 M. Kostava str., 0175 Tbilisi, Georgia  
E-mail: jberidze@rambler.ru

### **Reviewers:**

**T. Kupatadze**, Professor, Doctor of Technical Sciences, Department of Telecommunications, Faculty of Power Engineering and Telecommunications, GTU

E-mail: tamazk@hotmail.com

**G. Shamanadze**, Technical Director at Mobitel LLC, mobile network operator; Doctor of Engineering in Telecommunications

E-mail: gshamanadze@gmail.com

**ABSTRACT.** This article is dedicated to the phase of development of the **global information society** by mankind, which assumes the **global information infrastructure** to become its technical foundation. Definition and essence of an **information society** is described, which implies that such society should be able to produce all the necessary information for proper existence and provide all citizens with means of access to such information.

The effect of development of **info-communication technologies** and **services** in the **information society** is shown. The sensor networks, the next generation networks and the Internet of Things are now successfully developing on the basis of core technologies.

For many years, information and telecommunication technologies were considered separately. In recent decades, there is a continuous convergence of these technologies, turning them into the united **info-communication technology**.

A new qualitative stage of developing of united **info-communications environment** will be the basis of a **global information society**.

**KEY WORDS:** advanced info-communication technologies; convergence of intelligent subscriber devices; global information infrastructure; global information society; global info-communication environment; info-communication; info-communication services.

**UDC 669.1.017:661.774.35**

**SCOPUS CODE 2006**

**გენერაციური თუმცა საპონენტო უნივერსიტეტის გაზრდა შენადობის შიგიშრი  
შეღენილობის, თერმული დამუშავებისა და გრაფიტის სურული ცორმის  
მიღების სრულყოფით**

- ვ. კოპალეიშვილი** მეტალურგიის, მასალათმცოდნეობისა და ლითონების დამუშავების  
დეპარტამენტი, საქართველოს ტექნიკური უნივერსიტეტი, საქართველო, 0175,  
თბილისი, მ. კოსტავას 69  
E-mail: v.kopaleishvili@gtu.ge
- მ. ბარათაშვილი** მეტალურგიის, მასალათმცოდნეობისა და ლითონების დამუშავების  
დეპარტამენტი, საქართველოს ტექნიკური უნივერსიტეტი, საქართველო, 0175,  
თბილისი, მ. კოსტავას 69  
E-mail: manana\_baratashvili@yahoo.com
- ი. ქაშაკაშვილი** მეტალურგიის, მასალათმცოდნეობისა და ლითონების დამუშავების  
დეპარტამენტი, საქართველოს ტექნიკური უნივერსიტეტი, საქართველო, 0175,  
თბილისი, მ. კოსტავას 69  
E-mail: i.kashakashvili@gtu.ge
- ო. ბარბაქაძე** შპს „რუსთავის ფოლადი“, საქართველო, 3700, ქ. რუსთავი, გაგარინის 12  
E-mail: salome.b@live.ru
- თ. ლოლაძე** მეტალურგიის, მასალათმცოდნეობისა და ლითონების დამუშავების  
დეპარტამენტი, საქართველოს ტექნიკური უნივერსიტეტი, საქართველო, 0175,  
თბილისი, მ. კოსტავას 69  
E-mail: t.loladze@gtu.ge
- რ. ბაქრაძე** შპს „რუსთავის ფოლადი“, საქართველო, 3700, ქ. რუსთავი, გაგარინის 12  
E-mail: r.bakradze@rustavisteel.com
- ზ. ფარჩუქაშვილი** მეტალურგიის, მასალათმცოდნეობისა და ლითონების დამუშავების  
დეპარტამენტი, საქართველოს ტექნიკური უნივერსიტეტი, საქართველო, 0175,  
თბილისი, მ. კოსტავას 69  
E-mail: zuka.79@mail.ru

**რეცენზენტები:**

**რ. გვეტაძე,** სტუ-ის ქიმიური ტექნოლოგიისა და მეტალურგიის ფაკულტეტის მეტალურგიის,  
მასალათმცოდნეობისა და ლითონების დამუშავების დეპარტამენტის პროფესორი

E-mail: r.gvetadze@gtu.ge

**ხ. ხიდაშელი,** სტუ-ის ქიმიური ტექნოლოგიისა და მეტალურგიის ფაკულტეტის მეტალურგიის,  
მასალათმცოდნეობისა და ლითონების დამუშავების დეპარტამენტის პროფესორი

E-mail: khidly@gtu.ge

**ანოტაცია:** სფერულგრაფიტიანი ბეინიტური თუჯის ფუძის საჭირო სტრუქტურა მიიღება 80–90% ბეინიტით და 10–20 % ნარჩენი აუსტენიტით ან პლასტიკური თუჯის იზოთერმული წრთობით ბეინიტზე, ან ბეინიტური კლასის თუჯის გამოყენებით. მის სიმტკიცეს უზრუნველყოფს ბეინიტი, ხოლო პლასტიკურობას – ნარჩენი აუსტენიტი სფერულ გრაფიტთან ერთად. თუმცა პრობლემაა ხანგამძლეობა, სხმული ლითონის მნელად გამოსწორებადი სტრუქტურა და სფერული გრაფიტის მიღების პროცესის მნელი თავსებადობა ჩამოსხმის ტექნოლოგიურ ციკლთან.

პლასტიკური თუჯის თერმული დამუშავების „ფანჯარა“ (როცა ნახშირბადით დარიბი უბნების ბეინიტური გარდაქმნა მთავრდება, ხოლო ახალი ფაზების – კარბიდებისა და მარტენიტის კრისტალებმა ნახშირბადით მდიდარ აუსტენიტის უბნებში ვერ მოასწრეს ჩამოყალიბება) მნელად გამოსაყენებელია. თუ ეს მომენტი გამოგვეპარა, საგრძნობლად შემცირდება ნარჩენი აუსტენიტის რაოდენობა. თუ გრაფიტის სფერული ფორმა ჩვეულებრივ პირობებში (თერმული დამუშავების გარეშე) უზრუნველყოფს თვისებათა გარკვეულ გაუმჯობესებას, პლასტიკურობის ჩათვლით, ეს არ არის საკმარისი იზოთერმული წრთობის დროს, რადგან უკონტროლოდ წარმოქმნილი ახალი ფაზები შენადნობს ამყიფებს.

**საგვანძო სიტყვები:** ბეინიტური თუჯი; მედეგობა; საკონსტრუქციო სიმტკიცე; სფერული და კომპაქტური გრაფიტი; სხმული; ფუძე; ხანგამძლეობა.

### შესავალი

ამ ახალი მიმართულების ერთ-ერთი პრობლემაა ბეინიტური თუჯების საკონსტრუქციო სიმტკიცე – ხანგამძლეობა. თუ ამ მასალას ექნება

პლასტიკურობა, სიბლანტე, ბზარმედეგობა, რაც განაპირობებს მზა პროდუქციის ხანგამძლეობას, მაშინ მისი გამოყენების სფერო მნიშვნელოვნად გაფართოვდება და გახდება „XXI საუკუნის ფართოდ გამოყენებული საკონსტრუქციო მასალა“.

საჭირო ფორმა და ზომები მიიღება შედარებით ადვილად – ჩამოსხმით, მაგრამ პრაქტიკულად სხმული ლითონის სტრუქტურის გამოსწორება ძნელად განსახორციელებელია.

ბეინიტური თუჯის სტრუქტურული მდგენვლი – სფერული ფორმის გრაფიტი მზა პროდუქციის თვისებათა ბევრ მაჩვენებელს განაპირობებს. ამ დროს მისი მიღების პროცესი მნელად თავსებადობა ჩამოსხმის ტექნოლოგიურ ციკლში.

γ→B გარდაქმნის ტემპერატურაზე ( $t_d \leq 450^{\circ}\text{C}$ ) მოთავსებულ ნიმუშში იწყება ბეინიტური გარდაქმის პროცესი. ჯერ ადგილი აქვს ნახშირბადის გადანაწილებას, წარმოიქმნება ნახშირბადით დარიბი და მდიდარი უბნები. დარიბ უბნებში მაშინვე სრულდება γ→α გარდაქმნა უდიფუზიონ მარტენიტული მექანიზმით, ხოლო ნახშირბადით მდიდარ უბნებში წარმოებს კარბიდების გამოყოფა, რასაც მოჰყვება ნახშირბადის შემცირება და ბოლოს სრულდება იგივე γ→B გარდაქმნა. ეს პროცესი ბოლომდე არ მიდის და რჩება გარდაუქმნელი აუსტენიტი ეწ. ნარჩენი აუსტენიტი – γ<sub>r</sub>. ADI-ის თერმული დამუშავების ცნობილი „ფანჯარა“ (მომენტი, როცა ნახშირბადით დარიბ უბნებში ბეინიტური გარდაქმნის პროცესი  $\gamma_{\text{დალ}} \rightarrow B$  მთავრდება, ხოლო ახალი ფაზების – მარტენიტისა და კარბიდების კრისტალებმა ჯერ ვერ მოასწრეს, მოახერხეს ჩამოყალიბება ნახშირბადით მდიდარ უბნებში) ძნელად გამოსაყენებელია. თუ ეს მომენტი გამოგვეპარა, საგრძნობლად შემცირდება  $\gamma_r$  უბნები, სადაც ოთახის ტემპერატურაზე მაღეფორმირებელი ძალის მოქმედებით ( $\gamma_r + P_{\text{დალ}} \rightarrow \text{TRIP-ეფექტით}$  განვითარებული პლასტიკურობა) განხორციელ-

დება „გგპ“ ეცქტი („გგპ“ – გარდაქმნით განპირობებული პლასტიკურობა; ПНП – Пластичность, наведённая превращением; TRIP - Transformation-Induced Plasticity). თუ გრაფიტის სფერული ფორმა წვეულებრივ პირობებში (თერმული დამუშავების გარეშე) უზრუნველყოფდა თვისებათა გარკვეულ გაუმჯობესებას პლასტიკურობის ჩათვლით, ეს არასაკმარისია თდ-ს დროს. უკონტროლოდ წარმოქმნილი ახალი ფაზები ამჟიფებს შენადნობს. გაჭიმვის „მრუდებს“ წრფივი ხასიათი აქვს, მყიფე ნგრევით და სხვა.

მიუხედავად აღნიშნული სირთულეებისა, ბეინიტური თუჯის ათვისება ძალზე პერსპექტიულია, რადგან მისგან ჩამოსხმით მზადდება მიღსაგლინავი დგანები (სამართულები და სახაზავები), ათვისებული იქნება წვრილსორტული დგანის არმატურა, შემდეგ გლინები და სხვა. აღნიშნულის გამო, წარმოდგენილი თემატიკა აქტუალურია.

## ძირითადი ნაწილი

ჩვენი წინადადებით შპს „რუსთავის ფოლადში“ დაიგეგმა და დაიწყო სამუშაოები ორივე მომართულებით – ADI-ის ( $350\text{C1H02}$ ) და ბეინიტური კლასის თუჯის მიმართულებით ( $350\text{C1H02DH5MFT}$ ). რა თქმა უნდა, ADI-ის მომართულებას სჭირდება სამართულების ჩამოსასხმელი კოკილების (ამ მხრივ გადაიდგა პირველი ნაბიჯები ყველაზე დიდი ზომის სამართულების,  $D=440$  მმ ჩამოსასხმელად) და აბაზანების დამზადება: გამახურებელი აბაზანა:  $50\% \text{NaCl} + 50\% \text{KCl}$ ,  $t_{\text{დ}}=670^{\circ}\text{C}$ ,  $t_{\text{გა}}=750-900^{\circ}\text{C}$ ; იზოთერმული წრთობის აბაზანა:  $50\% \text{NaNO}_3 + 50\% \text{KNO}_3$ ,  $t_{\text{დ}}=220^{\circ}\text{C}$ ,  $t_{\text{გა}}=300-450^{\circ}\text{C}$ . აღმოჩნდა, რომ ADI-ის დამზადებას სჭირდება საკმარისად დიდი დრო. ეს ვაკუუმი უნდა შეგვევს 350C2H2DMFT ბეინიტური კლასის თუჯის მოდერნიზაციით, რომელიც ჩატარდა წარმატებუ-

ლად და ახალ თუჯს შემდეგი სახე აქვს:  $350\text{C1H02DH5MFT}$ . მასში ბევრი სიახლეა, მაგრამ როგორც ამბობენ, მხოლოდ კვალიფიციურად ჩატარებულ ექსპერიმენტებს შეუძლია დამაჯერებელი ასეუხის გაცემა. ჩვენი აზრით, თუ ახალ თუჯს ექნება მაღალი მედეგობა ( $n \geq 500-800$  მილი), მაშინ შემომგლინავი დგანების სამართულების წარმოება არ შეიცვლება, ხოლო აბაზანებს ექნება არანაკლებ მასშტაბური სამუშაოები.

ჩვენ ხელთ არსებულ მონაცემებზე დაყრდნობით მივეღით იმ დასკვნამდე, რომ ადებული მიღსაგლინავი აგრეგატის, მაგალითად, „400“-ის მუშაობა, დაკაგშირებული ინსტრუმენტთან, პრობლემაა, თუმცა მისი მდგრენელების ამოცანებიც პრობლემურია. განვიხილავთ მთლიანი სამუშაოს სქემას – გახურებული მიღნამზადიდან მიღების გლინგას პირველ და მეორე გამჭოლ, ავტომატურ, შემომგლინავ დგანებზე და პროცესის დამთავრებას დამაკალიბრებელ დგანზე. სამართულების მასალად გამჭოლ დგანებზე გამოყენებულია უკვე წარმატებით აპრობირებული და რამდენჯერმე მოღერნიზებული კომპოზიცია  $08\text{XH4CDMF}$  (რეკორდული მონაცემები: 1000, 1500, 1700 მილი); ავტომატურ დგანზე გამოყენებული იქნება ახალი კომპოზიცია  $17\text{X5H4CDMF}$ , რომელიც მარტენსიტული და ბეინიტური გარდაქმნების სინთეზია დაბალი ნახშირბადის შემთხვევაში (არასასურველი შედეგების შემთხვევაში მზად ვართ გამოვასროლო მიღებული სუპერსიახლით – „ფანჯრის“ უარყოფითი შედეგის გამოყენება ADI-ის ზედაპირული შრეების განსამტკიცებლად). შემომგლინავი დგანების სამართულების კომპოზიციაზე ( $350\text{C1H02DH5MFT}$ ) უკვე გვქონდა საუბარი, ველოდებით დადებით შედეგებს კომპოზიციის სტრუქტურიდან. შეიძლება საჭირო გახდეს მოდიფიცირებისწინა ინოცულაციის ჩატარება ღუმელში; ასევე მიღსაგლინავი დგანების (გამჭოლი და შემომგლინავი) სახა-

ზავების წარმოება მაღალქრომიანი კომპოზიციის (110X28ДН5ФТ) გამოყენებით, რომელსაც აქვს ჩვენ მიერ შემუშავებული „შდეიფი“: საორიენტაციო სტრუქტურა: 1) ლეგირებული ფერიტი (ძირითადი), 2) 30% აუსტენიტი, 3) კარბიდები (იმედის მომცემია). შეიძლება დაგვჭირდეს Cr-ის ნიტრიდების გამოყენება.

გამოყენებული მიღგომა მასშტაბურია და არატრადიციული. ვიხილავთ მიღსაგლინავ აგრეგატ „400“-ის მუშაობის პროცესს უწყვეტად სრულად და ვგებმავთ, რომ პირველ ეტაპზე (2 წელი) ინსტრუმენტის მინიმალური მედეგობა<sup>1</sup> იქნება  $n_1 \geq 500$  მიღზე, მეორე ეტაპზე (5 წელი) –  $n_2 \geq 1000$  მიღზე. მოყვანილი პრობლემიდან გამოვყავთ ყველაზე სუსტი რგოლი – შემომგლინავი დგანების სამართულების ხანგამდლეობის საკითხი. სირთულეს, წინა დგანებთან შედარებით, განაპირობებს დეფორმაციისთვის არახელსაყრელი პირობები, სამართულის უძრაობა (იქნება შთაბეჭდილება, თითქოს მთავარი მიზანი იყოს სამართულების „დამტკრევა“) და სხვა. როგორც აღნიშნეთ, სასურველი იყო გვემუშავა ADI-ზე 350C1H02 სუპერსიახლის გამოყენებით, მაგრამ ეს საკითხი გადაიღო აბაზანებისა და კოკილების დამზადებამდე (2 წლით). მიღებული შედეგების ანალიზისას ყოველთვის გვაკლდა სხმულის (ნაკეთობის) მექანიკური თვისებების მახასიათებლები.<sup>2</sup> გვქონდა მცდელობა, ყველა ნადნობზე ჩამოგეხსნა სპეციალური სხმული, რომლისაგან დამზადდებოდა გამოსაცდელი ნიმუშები. აღნიშნულს ვერ ვახერხებდით ან შედეგი ძალიან იგიანებდა. დამზად-

და ტაიგანის მანქანაზე გამოსაცდელი ნიმუშების ჩამოსასხმელი კოკილების პირველი პარტია. ჩვენი მოთხოვნით სამსხმელო სამქროში ჩატარებულმა ყველა ნადნობმა უნდა გაიაროს კვალიფიცირებული შემოწმება:

1. შენადნობის ქიმიური შედგენილობა;
  2. გამოდნობის პასპორტი, რომელშიც მოცემული იქნება ყველა საჭირო (შესრულებული) მოქმედება (მომზადდება ინსტრუქცია, იქნება ფორმა, რომელსაც ოცატი ადვილად შეავსებს);
  - 2.1. ციცხვში გაიზომება ტემპერატურა და  $500^{\circ}\text{C}$  გახურებულ კოკილში ჩამოისხმება სინჯითხელდენადობის დასადგენად (ე.წ. ნებენ-სამარინის U-მაგვარი სინჯი);
  - 2.2. გაჭიმვაზე გამოსაცდელი ნიმუშების ჩამოსხმა: 1) გაშვების დამთავრებისა და ტემპერატურის გაზომვის შემდეგ (თხელდენადობასთან ერთად) და 2) ჩამოსხმის დაწყების წინ (ბეინიტური თუჯის შემთხვევაში: ა. გაშვების დამთავრების შემდეგ, ბ.  $1450\text{--}1280^{\circ}\text{C}$  დაყოვნების შემდეგ, გ. ჩამოსხმის დაწყებისას, დ. ჩამოსხმის დამთავრებისას). გამონაკლისის გარდა, საჭიროა გვქონდეს მონაცემები თლ-ს შემდეგ, რაც გასათვალისწინებელია ჩამოსხმის დროს.
- სამუშაოს ერთ-ერთი ძირითადი მიზანი იყო ჩაგვეტარებინა არსებული მონაცემების სრული ანალიზი ბეინიტურ თუჯებზე. რა თქმა უნდა, მეცნიერულ პიპოთეზაზე დაყრდნობით („სილიციუმის ზღურბლი რკინაში და ბეინიტური კლასის Fe-C შენადნობებში“, მისი მნიშვნელობა ტექნიკური ამოცანების გადაწყვეტისას) აღმოჩნდებდით ან შედეგი ძალიან იგიანებდა. დამზად-

<sup>1</sup>შემოგვაჭვს ახალი ცნება, ყველა ფაქტორის გათვალისწინებით, რომელია „ვიწრო ადგილი“ და სხვასთან შედარებით რით არის განპირობებული ასეთი შედეგები. რა თქმა უნდა, ამ მოქმედებას წინ უნდა უსწრებდეს ნადნობების სრული ანალიზი.

<sup>2</sup> ჩვენი გამოცდილებით ეს პრობლემური საკითხია და მის გარეშე ანალიზი არასრულყოფილია. სექტორის, შემდეგ „მთლ“-ის, ახლა „მთსსც“-ის მუშაობა სრულდებოდა ერთკერიანი რეჟიმით. თუ მოიხსენება პ-ნ ფარუების „ტბუ“, ჩვენ („მთსსც“-ს და „ფოლადსადნობ და სორტსაგლინავ“ მოდულს სცლ-თან ერთად) შეგვიძლია „ჩქარა“ შეგასრულოთ „B500W-ს წარმოება შპს „რუსთავის ფოლადის“ პირობებში; უნდა შემოწმდეს ყველა პროფილი №№ 32, 28, 25; 22, 20, 18; 16; 14, 12 მმ ხანგამდლეობაზე: ს<sub>K</sub>; ს<sub>B</sub>; ს<sub>ლ</sub>; დ(δ<sub>1</sub>+δ<sub>2</sub>); Ψ(Ψ<sub>1</sub>+Ψ<sub>2</sub>);  $a_{0.25}(a_{\beta}+a_{\delta})$ ; T<sub>50</sub>; J<sub>ic</sub>; E<sub>t</sub>; a<sub>T</sub>; σ<sub>-1</sub> და სხვა.

და, რომ ორივე მიმართულებას სჭირდება ძირეული ცვლილებები, კერძოდ აღებული მასალა გამოიყენება, თუ ექნება საკონსტრუქციო მასალისათვის საჭირო მონაცემები. შემომგლინავი დგანების სამართულების მედეგობა გაიზრდება, თუ მასალას ექნება პლასტიკურობის საკმარისი მარაგი. დადგენილია, რომ დეფორმაციის პირობებით საჭიროა რუხი თუჯის გამოყენება, რომლის მედეგობა 30–40 მილს არ აღემატება. რუხი თუჯის შეცვლამ სფერული ფორმის გრაფიტით (უფრო ზუსტად, გრაფიტის კომპაქტური ფორმით) გაზარდა მედეგობა 70–80 მილის ფარგლებში. პლასტიკურობისა და სიბლანტის კუთხით გაცილებით უკეთესი მედეგობა აქვს ფოლად 20X-დან დამზადებულ სამართულებს. ამ დროს, არცთუ იშვიათად, მილის შიგა ზედაპირზე წარმოიქმნება დეფორმაცია გადაჰყავს II ხარისხში. ბოლო პერიოდში მივედით იმ დასკვნამდე, რომ გამოყენებულ თუჯს საჭიროა პქნონებს  $\delta=10\text{--}15\%$ . ეს კი ასაბუთებს, რომ საჭიროა ბეინიტურ თუჯში განხორციელდეს ძირეული ცვლილებები ორივე მიმართულებით. ამოცანები ადვილად ამონებნებოდა, თუ ღრმად შევისწავლიდით ფუძეს (350C2, 350C3 და 350C1H01, 350C1H02), მაგრამ აბაზანების არარსებობამ ამ ამოცანების ამონებნის საკითხი რამდენიმე წლით გადასწია. აუცილებელი გახდა გრაფიტიზატორების მნიშვნელოვანი კორექციის ჩატარება. უფრო უფასო შედეგებით მიახლოება ბეინიტური კლასის საშუალონახშირბადიან ფოლადებთან. თუ ეს ადვილად მოხერხდებოდა, მაშინ არსებულ მასალებზე დაყრდნობით ბევრი ამოუსენელი ამოცანა ამონებნებოდა. დასახული მიზნებიდან გამომდინარე, თუჯში სილიციუმი შემცირებულ იქნა 1,0%-მდე, სანაცვლოდ შემოიტანეს ახალი გრაფიტიზატორები:  $A\ell=1,5\text{--}2,0\%$  და  $Ca=0,05\text{--}0,10\%$ . აღნიშნული მოქმედებით რკი-

ნის დარტყმითი სიბლანტე გაიზარდა  $K_{CU}=100\text{--}150 \text{ kN/mm}^2$ -ით, ე.ი. ახალმა გრაფიტიზატორებმა საგრძნობლად გააუმჯობესა რკინის ატომების ერთმანეთთან მიახლოება, გრაფიტიზაციის პროცესი ( $\Delta_2^{At}=-0,38\text{\AA}$ ,  $\Delta_3^{Ca}=-1,47\text{\AA}$ , 3-ჯერ მეტად) და იმავდროულად ფუძის პლასტიკურობა და სიბლანტე. მეცნიერულად დასაბუთებული ჩვენი მსჯელობა უფრო ახლოს იქნებოდა რეალურობასთან ADI-ის (350C1H02) შემთხვევაში, ვიდრე 350C1H02DH5MFT ტიპის ბეინიტური კლასის თუჯის გამოყენების დროს. უფრო სწორია დავვლოდოთ კვალიფიციურად ჩატარებული ექსპერიმენტების შედეგებს. ერთი რამ უდავოა: ახალი გრაფიტიზატორები  $Al+Ca$  ნამდვილად გააძლიერებს ლითონური ბმის ძალებს და შეასუსტებს კოვალენტურს. ცნობილია, რომ მოდიფიცირების წინ და შემდეგ ტრადიციულად რკინის სჭირდება პასიურ მდგომარეობაში გადაყვანა – ინოკულაცია I და II. 50% ალუმინის მიწოდება ღუმელში ლოგიკური იყო, მაგრამ „შევეჯახეთ“ იმ წინამდებას, რომელსაც ტრადიციულად ვერ ლახავენ მეტალურგები. შემუშავებული გვაქს ალუმინის მიწოდების ხერხი ციცხვიდან, რომელიც უპრობლემოა. თუ ჩვენმა არჩეულმა გზამ არ გაამართლა, მაშინ საჭირო იქნება ცალკე გავადნოთ ალუმინი და მივაწოდოთ თხევადი აბაზანის სიღრმეში, რასაც დასჭირდება კარგი გააზრება და სპეციალური სამარჯვის დამზადება. როგორც აღნიშნეთ, ბეინიტური თუჯის ორივე მიმართულება საჭიროებს პლასტიკურობის გაზრდას,  $\delta=10\text{--}15\%$ . ეს პრობლემა მოვაგვარეთ ADI-ის შემთხვევაში თდ-ის სრულყოფით. სამუშაო პირობებიდან გამომდინარე, იზოთერმული წრთობის ტემპერატურა  $t_{0\text{to}}=400\text{--}450^\circ\text{C}$ , ე.ი. მუშაობა ზედა ბეინიტურ, რაც საშუალებას იძლევა გარეგულიროთ ნარჩენი აუსტენიტის რაოდენობა სასურველ დიაპაზონში. კომპოზიციის სტრუქტურული მდგრელების შედარებით უცვ-

დელი შენარჩუნებისათვის მიზანშეწონილია ვომუშაოთ A<sub>3</sub>-თან ახლოს, ამით არ გამოირიცხება A<sub>1</sub>-A<sub>3</sub> ტემპერატურულ შეალებში მუშაობა, სადაც 350C1H02-ის შემთხვევაში გვექნება ორი ფაზა – γ+ფერიტი, მაგალითად, 80%γ+20%α. ბეინიტური კლასის ჩვენ მიერ შემუშავებული ფოლადებიდან აღქმული ეს ხერხი წარმატებით გამოდგება ADI-ის დროსაც. სხვანაირად, რეგულირდება (იმართება) სასურველი (საჭირო) დონის ფერიტული მდგრენის არსებობა ბეინიტზე ნაწრობ სტრუქტურაში. მეცნიერულ დონეზე ზუსტად შესრულებული ყველა ეტაპი (დნობა ელექტრორკალურ ღუმელში, გაშვება, თხევადი ლითონის დამუშავება ციცხვში, ჩამოსხმა კოკილებში, გაწმენდა, თერმული დამუშავება და ა.შ.) საშუალებას მოგვცემს საჭირო მახასიათებლები გვქონდეს სამუშაო პირობებიდან გამომდინარე. ეს კი პრეციზიული, ზუსტი მეტალურგია. აღნიშნულიდან გამომდინარე, სანამ მოგვარდება ADI-სთვის საჭირო ტექნიკური საშუალებები (კოკილები, აბაზანები და სხვა), ძირითადი ყურადღება უნდა გამახვილდეს ბეინიტური კლასის 350C1H02ДН5МФТ მოდერნიზებულ თუჯზე. წარმოდგენილი კომპოზიციის მდგრენებიდან ღუმელში შეგვაქს: ნიკელი (5%), სპილენდი (1%), მოლიბდენი (0,3-0,5%); დანარჩენები (Al, Ca, V, Ti) – ციცხვის ქვეზე. თუ აღნიშნული მიღომით მივიღეთ კომპაქტური და ვერმიკულარული გრაფიტის ერთობლიობა, რაც ჩვენი მონაცემებით მოგვცემს δ=5–10%, რომელიც „ახალ ფენომენთან“ ერთად განაპირობებს n≥500 მილზე. თერმოციკლური დატვირთვების დროს ადგილი აქვს ფუძის განმტკიცებას არსებული პლასტიკურის შენარჩუნებით. შესაძლებელია შემდეგი შედეგი – გრაფიტის სფერული ფორმა კომპაქტურთან ერთად. ეს იქნება მსოფლიო დონის წარმატება (თუ თუჯში S≤0,01%, P≤0,01% და Al=2,0%+Ca=0,10% და სხვა), ხანგრძლივი

დაყოვნების (1500°C-დან-1280°C-მდე) შემდეგ შენარჩუნდება (თითქმის) მოდიფიცირებული გრაფიტის ფორმა, რომელიც მაღვეგირებულ ელექტრობთან ერთად (ყოველგვარი კოკილებისა და აბაზანების გარეშე) განაპირობებს n≥1000 მილზე; ეს ნიშნავს, რომ შპს „რუსთავის ფოლადი“ გახდება ბეინიტური თუჯისგან დამზადებული ნაკეთობების ექსპორტიორი.

სამუშაოში დამაჯერებლადაა მოცემული, რომ არსებული მიღსაგლინავი აგრეგატის მუშაობა (ჩვენს შემთხვევაში „400“-ის) უნდა განიხილობოდეს, როგორც უწყვეტი პროცესი და შემოტანილ იქნება „ვიწრო ადგილის“ მიხედვით „ინსტრუმენტის (სამართული, სახაზავი) მინიმალური მედეგობის შესახებ“. იქვეა ოპტიმიზმის მატარებელი ნიშანი, რომ 2 წლის შემდეგ ეს მაჩვენებელი იქნება n≥500 მილზე. ხოლო 5 წლის შემდეგ – n≥1000 მილზე. აღნიშნული დასაბუთებულია მეცნიერულად. ავტორებს მიაჩნიათ, რომ პირველ პერიოდში მოგვარდება ტექნოლოგიური საკითხების გადასაწყვეტად მიმართული ყველა თრგანიზაციული საკითხი (სისტემატურ კონტროლზე იქნება საყალიბო მასალები, სხმული ლითონის დეფექტოსკოპური ანალიზი, შენადნობების თხელდენადობისა და გაჭიმვაზე გამოცდების შედეგები, ყოველ ნადნობზე შესრულებული მეტალოგრაფიული და დიურომეტრული ანალიზების შედეგები, ნაკეთობების საწარმოო გამოცდების შედეგები, ჯამური დასკვნები თითოეულ ნადნობზე და სხვა). ყველაფერი ეს მიგვიფვანს იმ დონეზე, რომ შედეგები იქნება სტაბილური, აგრეგატი იმუშავებს n≥1000 მილზე რეჟიმით. როცა დადგინდა ახალი მასალის –350C1H02ДН5МФТ სრული მახასიათებლები, მოიძებნება მისი გამოყენების სხვა სფეროებიც.

მიღსაგლინავ სამქროში 1 ტონა 350C2H2ДМ ტიპის ბეინიტური თუჯის დირებულება 2159 ლარს შეადგენს; ჩვენ მიერ შემოთავაზებული

350C1Ю2ДН5МФТ ტიპის კომპოზიციის ღირებულება კი 2288 ლარია ანუ 129 ლარით ძვირი. შემომგლინავი დგანის სამართულების მედგრიბის გაორმაგებისას მათი წლიური საჭიროება 60 ტონის ნაცვლად იქნება 30 ტონა (1 ტონის თვითდირებულებაა 5500 ლარი). თუკის ახალი, 350C1Ю2ДН5МФТ ტიპის კომპოზიციაზე გადასვლით წლიური გაძირება იქნება  $129 \times 30 = 3870$  ლარი. ეკონომიკური ეფექტი  $(5500 \times 30) - 3870 = 161130$  ლარი (ანგარიში შესრულებულია 2013 წელს). რაც შეეხება დღვევანდელ კომპოზიციას, 350C1Ю2ДН5МФТ პირველ ეტაპზე ველოდებით  $n \geq 500$  მილზე, ე. ი. 5-ჯერ გაზრდას.

დღეის მონაცემებით, 1 ტონა ლითონი ღირს: Al – 1450 USD; Cu – 4669 USD; Ni – 8955 USD; FeV – 15483 USD; FeMo – 15327 USD; ( $V_{100\%} = 34$  USD 1 კგ;  $Ti_{100\%} = 8$  USD 1 კგ). ზემომოცვანილი გათვლების სექმა ეკონომიკური ეფექტის ერთი სექტორია, რომელიც ძლიერდება ინსტრუმენტის ხანგამდლეობის გაზრდით. გარდა აღნიშნულისა, ჩვენს შეუფერხებელ მუშაობაში ვხედავთ ენერგომატარებლების დაზოგვას, რაც საგრმნობლად შეცვლის ეკონომიკურ სურათს. ასევე წინ გადადგმული ნაბიჯი იქნება დედამიწის ქრექში არსებული არადეფიციტური ელემენტების გამოყენებით ( $Si = 29,5\%$ ;  $Al = 8,8\%$ ;  $Fe = 4,65\%$ ;  $Ca = 2,60\%$ ;  $Mg = 2,40\%$ ;  $Ti = 0,45\%$ ...) სასურველი მიზნის მიღწევა, მაგალითად, ADI – 350C1Ю2 შემთხვევაში ( $C=3,5\%$ ;  $Si=1,0\%$ ;  $Al=2,0\%$ ;  $Ca=0,10\%$ ;  $Mg=0,10\%$ ;  $Ti=0,05\%$ ;  $V=0,20\%$ ; დანარჩენი  $Fe\%$ ) გვექნება იაფვასიანი, მაღალი საკონსტრუქციო მედეგობის, ფართო დიაპაზონში გამოსაყენებელი მასალა. არც ისე იშვიათად გვაძლევენ შენიშვნებს, რომ ვიყენებთ ძვირად დირებულ  $Ni$ ,  $Mo$ ,  $Cu$ , ( $V$ ) ელემენტებს. გამოდნობისას (ასევე გადადნობისას), განსაკუთრებით, პირველი სამი უმნიშვნელოდ იცვლება (თუ გავაკონტროლებთ დანომრილ სამართულებს, მაშინ ხარჯი შედ-

გენილობის კორექციაზე გვექნება უმნიშვნელო, სხვანაირად დეტალურად გვაქვს გათვალისწინებული ეკონომიკური ფაქტორი). როცა გვექნება აბაზანები და კოკილები, გამოვიყენებთ ADI-ის 350C1Ю2-ს (გარკვეული მოსაზრებით არ მოგვავს „ნოუ-ჰის“ მატარებელი ნიშნები) შემომგლინავი და ავტომატური დგანების სამართულების დასამზადებლად. მისგან მზადდება სორტული დგანის არმატურა, გლინები და სხვა მრავალი დეტალი, რომელთაც მოეთხოვბა თვისებათა მაღალი კომპლექსი. თუ სამუშაო ტემპერატურა  $\leq 450^{\circ}\text{C}$ , მაშინ უპირატესობა ექნება ADI-ის, უფრო მაღალ ტემპერატურებზე გამოიყენება ბეინიტური თუკი 350C1Ю2ДН5МФТ.

## დასკვნა

ლაბორატორიულ და საქარხნო პირობებში ჩატარებული ექსპერიმენტების შედეგების ანალიზით შპს „რუსთავის ფოლადში“ დასანერგად რეკომენდებულია:

1. მაღალი სიმტკიცის თუკის (BЧ↔DI) მისაღებად საჭიროა გვქონდეს სიხოეტიკური თუკის ბაზაზე შემუშავებული კომპოზიცია (შესაბამისი დამუშავებით), რომელიც გახურებისა ( $t_d \geq 1550^{\circ}\text{C}$ ) და დაყოვნების ( $\tau_d \approx 30$  წუთი) შემდეგ ჩამოისხმება ციცხვში, შემდეგ (დაყოვნების გარეშე) ლითონის ყალიბში (კოკილში). აღნიშნული ტემპოლოგიით სტაბილურად რეალიზდება სფერული ფორმის გრაფიტის მიღების „ფულერებული მოდელი“;
2. იმის გამო, რომ ბეინიტმა და ნარჩენმა აუსტენიტმა შექმნა ახალი საკონსტრუქციო მასალა ეწ. „ბეინიტური თუკი“, აუცილებელია კორექტივები იქნეს შეტანილი გრაფიტიაციის პროცესში. მაურერის სტრუქტურული დიაგრამები სრულად პასუხობდა სხვადასხვა სტრუქტურის მქონე

- (გრაფიტი+ფერიტი; გრაფიტი+ფერიტი+პერლიტი; გრაფიტი+პერლიტი) რუხი თუჯის მიღებას, ფართო გაგებით, კინგტიკური ფაქტორის მუდმივობისას. დღეს აუცილებელია, მაღალ სიმტკიცესთან ერთად, გვერდეს ფარდობითი წაგრძელება  $\delta \geq 10-15\%$ , რაც მოითხოვს მრავალმხრივ, სერიოზულ „რეკონსტრუქციას“. ჩვენი მონაცემებით (მათ შორის ძირითადია ჩვენი მეცნიერებლი ჰიპოთეზა სილიციუმის ზღუდლის შესახებ რენიასა და ბენიტური კლასის Fe-C-Si შენადნობებში) საჭიროა თუჯში შემცირდეს სილიციუმი  $1,0\%-მდე$  და დაემატოს  $1,5-2,0\%$  Al და  $0,05-0,10\%$  Ca. ეს მიღობა საგრძნობლად გააუმჯობესებს როგორც გრაფიტიზაციის პროცესს ( $\Delta_1 = 2,48\text{Å}_{\text{Fe}} - 2,35\text{Å}_{\text{Si}} = 0,13\text{Å}$ ;  $\Delta_2 = 2,48\text{Å}_{\text{Fe}} - 2,86\text{Å}_{\text{Al}} = -0,38\text{Å}$ ;  $\Delta_3 = 2,48\text{Å}_{\text{Fe}} - 3,95\text{Å}_{\text{Ca}} = -1,47\text{Å}$ ), ასევე ფერდის – რენიის თვისებებს (როცა  $\text{Fe}-\text{Si}$  სტერაში  $\text{Si}=2,3\%-ს$ , რენიის  $\text{KCU}_{\text{Fe}-\text{Si}} \approx 0$ , როცა  $\text{Si}=1,0\%-ს$ , მაშინ  $\text{KCU}_{\text{Fe}-\text{Si}} \approx 150\text{kg/mm}^2$ );
3. ყველა არსებული კომპონენტის გამოყენებით (განსაკუთრებით საშუალონახშირბადანი ბენიტური კლასის ფოლადის აუსტენიტის იზოთერმული და ანიზოთერმული დაშ-

ლის ახალი ტიპის დიაგრამები) შემოგდინავი დგანის სამართულების დასამზადებლად რეკომენდებულია 350C1H02ДН5МФТ ტიპის ბენიტური თუჯი;

4. ADI-ის (350C1H02) იზოთერმული წრთობის ტემპერატურა კონტროლდება მზა პროდუქციის საშუალო ტემპერატურით (ჩვენს შემთხვევაში  $400-450^\circ\text{C}$ ). აღნიშნულის გამო, აუცილებელია მუშაობა ზედა ბენიტურია არ გამორიცხავს მუშაობას Al-A<sub>3</sub> შორის. ჩვენი მარაგნაკეთით, როცა ფერდის  $C \approx 0,40\%$ , ვიქებით ( $\gamma+\alpha$ ) ორფაზა არქში –  $740-800^\circ\text{C}$  (ყველა კონკრეტულ შემთხვევაში საჭიროა დავადგინოთ ფაზათა ზუსტი თანაფარდობა, მაგალითად, სტარტისათვის  $80\% \gamma + 20\% \alpha$ ). ამ გზით (თერმული დამუშავებით) სტრუქტურაში შემოტანილი ფერიტი საშუალებას მოგვცემს ე.წ. „ფანჯრის“ უარყოფითი ეფექტი გამოვიყენოთ ჩვენს სასარგებლოდ, მაგალითად, ავტომატური დგანების სამართულების დასამზადებლად.

ზემომცვენილი ღონისძიებები საშუალებას მოგვცემს საგრძნობლად გაიზარდოს ბენიტური თუჯის საკონსტრუქციო სიმტკიცე, ხანგამდლეობა.

## ლიტერატურა

1. V. Kopaleishvili, O. Ioseliani, I. Kashakashvili, F. Tavadze. The use of bainite steels to attain a high-strength condition. // Posts of Academy of Sciences of Georgian SSR". – 1990, v.138. –№2.–pp. 357-160. (In Russian).
2. V. Kopaleishvili, R. Tkhelidze, D. Kharadze, etc., Certificate №1615191 (SU), Int. I. C 1 C22 d1/78. 9/00. "Method of production of piercing-roiling mill mandrels". Rustavi Metallurgical Works // Patent Bulletin.–1990.– №4. (In Russian).
3. V. Kopaleishvili, R. Tkhelidze, I. Kashakashvili, etc., Certificate #1753730 (SU), Int. I. C 1 C22 c38/50. "Steel". Rustavi Metallurgical Works// Patent Bulletin.–1992.–(for official use). (In Russian).
4. V. Kopaleishvili, I. Kashakashvili. Synergetic (self-organized) phenomena in Fe-C bainitic alloys. Scholarly articles of Georgian Technical University - Tbilisi: Publisher: "Technical Uniciversity."–2001.-№5 (438), pp. 27-32. (In Russian).
5. V. Kopaleishvili, I. Kashakashvili, L. Kereslidze. Regularity between silicon threshold value and synergetic processes in Fe-C bainitic alloys. // Problems of metallurgy, materials science and welding: collected articles of 7<sup>th</sup> scientific and technical conference. 8-11 October, 2002 /prof. S. Iakobashvili (editor-in-chief). Association of welders of Georgia, others. Tbilisi, 2002. pp.16-33. (In Russian).

6. I. Kashakashvili, L. Kereselidze. Synergetic (self-organized) phenomena in Fe-C bainitic alloys and ways of their practical use. // Scientific articles / Georgian Technical University.-Tbilisi: Publisher: "Technical University." -2003.- №2 (448), pp. 136-140. (In Russian).
7. V. Kopaleishvili, I. Kashakashvili, L. Kereselidze, G. Kipiani, O. Ioseliani. Scientific hypothesis to explain new bifurcations in bainitic iron alloys and its meaning for material science // Tehran International Congress on Manufacturing Engineering (TICME2005). -December 12-15, 2005, Tehran, Iran. (In English).
8. V. Kopaleishvili, I. Kashakashvili, L. Kereselidze, O. Ioseliani. Silicon threshold in iron and Fe-C bainitic alloys and its value for materials science // Proceedings of Georgian Technical University. №-1.-2006. pp. 109-114. (In Russian).
9. V. Kopaleishvili, I. Kashakashvili, L. Kereselidze, N. Khidasheli, D. Kopaleishvili, K. Ananiashvili. Elaboration of Iron Based Hydrogen Accumulating Alloys // Advanced Processing of Metals and Materials Vol. 4: New, Improved and Existing Technologies: Nonferrous Materials Extraction and Processing / Edited by F. Kongoli and R.G. Reddy. pp. 435-446.- From the 2006 TMS Fall Extraction & Processing: Sohn International Symposium, August 27-31, 2006, San Diego, California. (In English).
10. V. Kopaleishvili, O. Ioseliani, I. Kashakashvili, I. Kvirkadze, T. Makharadze. Presentation of Kinetic Diagrams of Austenite Disintegration in Integrated Way // Steel/-2006/-№12. pp. 57-60. (In Russian).
11. V. Kopaleishvili, L. Kotiashvili, I. Kashakashvili, T. Loladze, G. Chavchanidze. Relation between Griffits brittle fracture energy criterion and material (product) life time (The first report) // Transport and Machine-building. №1(19), 2008, pp. 86-94. (In Georgian).
12. V. Kopaleishvili, L. Kotiashvili, I. Kashakashvili, D. Kopaleishvili, T. Makharadze, G. Chavchanidze. Evaluation of structural strength of low-alloyed steels considering crack resistance (The second report).Transport and Machine-building. №1(19). 2008. pp. 45-55. (In Georgian).
13. V. Kopaleishvili, I. Kashakashvili, L. Kereselidze, O. Ioseliani. Self-organizing phenomena in bainite steels // Metallurgist. Volume 52. Numbers 5-6. May, 2008. pp. 314-318. (Translated from Metallurg, №5, pp. 58-60, May, 2008). (In English).
14. V. Kopaleishvili, I. Kashakashvili, L. Kereselidze, N. Khidasheli, O. Barbakadze, M. Barataşvili. Increasing the structural strength of globular graphite cast iron by improvement of the composition and heat treatment // Transport and Machine-building, №2(21), 2011, pp. 28-53. (In Georgian).
15. V. Kopaleishvili, N. Khidasheli, L. Kereselidze, O. Barbakadze, M. Barataşvili, O. Takhadze. Ways of increasing the structural strength of bainitic cast iron and application of the results at "Rustavi Steel" Ltd // Energy, №1 (61), 2012, pp. 46-54. (In Georgian).
16. O. Barbakadze, V. Kopaleishvili, M. Barataşvili, R. Lomidze, R. Bakradze, G. Putkaradze. Cast Iron spheroidization methods and equipment. // Oil and Gas of Georgia. ISSN 1512-0457. Tbilisi, 2012, №27, pp. 95-104. (In Georgian).

UDC 669.1.017:661.774.35

SCOPUS CODE 2506

## ENHANCEMENT OF STRUCTURAL STRENGTH OF BAINITIC CAST IRON BY OBTAINING SPHEROIDAL GRAPHITE, DEVELOPING CHEMICAL COMPOSITION OF ALLOY AND HEAT TREATMENT CONDITIONS

<b>V. Kopaleishvili</b>	Department of Metallurgy, Materials Science and Metal Processing, Georgian Technical University, 69 M. Kostava str., 0175 Tbilisi, Georgia E-mail: v.kopaleishvili@gtu.ge
<b>M. Baratashvili</b>	Department of Metallurgy, Materials Science and Metal Processing, Georgian Technical University, 69 M. Kostava str., 0175 Tbilisi, Georgia E-mail: manana_baratashvili@yahoo.com
<b>I. Kashakashvili</b>	Department of Metallurgy, Materials Science and Metal Processing, Georgian Technical University, 69 M. Kostava str., 0175 Tbilisi, Georgia E-mail: i.kashakashvili@gtu.ge
<b>O. Barbakadze</b>	Rustavi Steel LLC, 12 Gagarini Str., 3700 Rustavi, Georgia E-mail: salome.b@live.ru
<b>T. Loladze</b>	Department of Metallurgy, Materials Science and Metal Processing, Georgian Technical University, 69 M. Kostava str., 0175 Tbilisi, Georgia E-mail: t.loladze@gtu.ge
<b>R. Bakradze</b>	Rustavi Steel LLC, 12 Gagarini Str., 3700 Rustavi, Georgia E-mail: r.bakradze@rustavisteel.com
<b>Z. Parchukashvili</b>	Department of Metallurgy, Materials Science and Metal Processing, Georgian Technical University, 69 M. Kostava str., 0175 Tbilisi, Georgia E-mail: zuka.79@mail.ru

### Reviewers:

**R. Gvetadze**, Professor, Department of Metallurgy, Materials Science and Metal Processing, Faculty of Chemical Technology and Metallurgy, GTU

E-mail: r.gvetadze@gtu.ge

**N. Khidasheli**, Professor, Department of Metallurgy, Materials Science and Metal Processing, Faculty of Chemical Technology and Metallurgy, GTU

E-mail: khidly@gtu.ge

**ABSTRACT.** Bainitic cast iron matrix structure (80-90% bainite, 10-20% residual austenite) with spheroidal graphite can be obtained by isothermal hardening of nodular cast iron or using bainite class cast iron. Its hardness is provided by bainite while plasticity is provided by retained austenite containing spheroidal graphite. However, the problem is durability, hardly correctable cast metal structure and compatibility of the process of obtaining spheroidal graphite with the casting technological cycle.

The period of heat treatment of ductile iron (when the bainitic transformation of carbon-poor areas is completed, but the new phase - carbides and martensite crystals are not yet formed in carbon-rich areas of the austenite) is difficult to use. If this time is missed, the amount of residual austenite is greatly reduced. If the spherical shape of graphite in normal conditions (without heat treatment) provides some improvement of characteristics, including plasticity, it is not enough during the isothermal tempering, since the uncontrolled appearance of new phases causes embrittlement of an alloy.

**KEY WORDS:** bainitic cast iron; casting; durability; matrix; resistance; spherical and compact graphite; structural strength.

UDC 669.1.017:661.774.35

SCOPUS CODE 2506

## ПОВЫШЕНИЕ КОНСТРУКЦИОННОЙ ПРОЧНОСТИ БЕЙНИТНОГО ЧУГУНА ПУТЕМ УСОВЕРШЕНСТВОВАНИЯ ХИМИЧЕСКОГО СОСТАВА СПЛАВА, ТЕРМООБРАБОТКИ И ПОЛУЧЕНИЯ ШАРОВИДНОГО ГРАФИТА

- Копалейшвили В.П.** Департамент металлургии, материаловедения и обработки металлов, Грузинский технический университет, Грузия, 0175, Тбилиси, ул. М. Костава, 69  
E-mail: v.kopaleishvili@gtu.ge
- Бараташвили М.Д.** Департамент металлургии, материаловедения и обработки металлов, Грузинский технический университет, Грузия, 0175, Тбилиси, ул. М. Костава, 69  
E-mail: manana\_baratashvili@yahoo.com
- Кашакашвили И.Г.** Департамент металлургии, материаловедения и обработки металлов, Грузинский технический университет, Грузия, 0175, Тбилиси, ул. М. Костава, 69  
E-mail: i.kashakashvili@gtu.ge
- Барбакадзе О.Г.** ООО „Рустави стил“, Грузия, 3700, Рустави, ул. Гагарина, 12  
E-mail: salome.b@live.ru
- Лоладзе Т.О.** Департамент металлургии, материаловедения и обработки металлов, Грузинский технический университет, Грузия, 0175, Тбилиси, ул. М. Костава, 69  
E-mail: t.loladze@gtu.ge
- Бакрадзе Р.М.** ООО „Рустави стил“, Грузия, 3700, Рустави, ул. Гагарина, 12  
E-mail: r.bakradze@rustavisteel.com
- Парчукашвили З.А.** Департамент металлургии, материаловедения и обработки металлов, Грузинский технический университет, Грузия, 0175, Тбилиси, ул. М. Костава, 69  
E-mail: zuka.79@mail.ru

### Рецензенты:

**Р. Гветадзе**, профессор Департамента металлургии, материаловедения и обработки металлов факультета химической технологии и металлургии ГТУ

E-mail: r.gvetadze@gtu.ge

**Н. Хидашели**, профессор Департамента металлургии, материаловедения и обработки металлов факультета химической технологии и металлургии ГТУ

E-mail: khidly@gtu.ge

**АННОТАЦИЯ.** Структуру основы бейнитного чугуна (80-90% бейнит, 10-20% остаточный аустенит) с шаровидным графитом можно получить с помощью изотермической закалки пластичного чугуна или использованием чугуна бейнитного класса. Его твердость обеспечивает бейнит, в то время как пластичность обеспечивается остаточным аустенитом с шаровидным графитом. Однако проблемой являются долговечность, трудно исправимая структура литого металла и совместимость процесса получения шаровидного графита с технологическим циклом литья.

Промежуток термообработки пластичного чугуна (когда бейнитное превращение углерод-бедных участков завершается, а новые фазы - карбиды и кристаллы мартенсита не успели образоваться в богатых углеродом участках аустенита) трудно использовать. Если этот момент упускается, значительно уменьшается количество остаточного аустенита. Если сферическая форма графита в обычных условиях (без термической обработки) обеспечивает некоторое улучшение характеристик, включая пластичность, это недостаточно во время изотермической закалки, поскольку бесконтрольное появление новых фаз охрупчивает сплав.

**КЛЮЧЕВЫЕ СЛОВА:** бейнитный чугун; долговечность; конструкционная прочность; основа; отливка; стойкость; шаровидный и компактный графит.

**UDC 519.242****SCOPUS CODE 2201****დროითი რიგის წევრთა შორის ოპტიმალური ინტერვალის დაღმინა**

<b>მ. მესხი</b>	საინჟინრო გეოდეზიისა და გეოინფორმატიკის დეპარტამენტი, საქართველოს ტექნიკური უნივერსიტეტი, საქართველო, 0175, თბილისი, მ. კოსტავას 75 E-mail: murman.meskhia@gtu.ge
<b>ს. ფირალიშვილი</b>	საინჟინრო გეოდეზიისა და გეოინფორმატიკის დეპარტამენტი, საქართველოს ტექნიკური უნივერსიტეტი, საქართველო, 0175, თბილისი, მ. კოსტავას 75 E-mail: geodezia@gtu.ge
<b>რ. ინაძე</b>	საინჟინრო გეოდეზიისა და გეოინფორმატიკის დეპარტამენტი, საქართველოს ტექნიკური უნივერსიტეტი, საქართველო, 0175, თბილისი, მ. კოსტავას 75 E-mail: inadzesandro@gtu.ge

**რეცენზენტები:**

**მ. ყალაბეგიშვილი**, შპს „ენგურჰესის“ პიდროტექნიკურ ნაგებობათა ექსპერტი, ტექნიკის მეცნიერებათა დოქტორი, პროფესორი

E-mail: kalabegishvili@hotmail.com

**ა. კიკაბიძე**, სტუდენტის სამთო-გეოლოგიის ფაკულტეტის საინჟინრო გეოდეზიისა და გეოინფორმატიკის დეპარტამენტის პროფესორი

E-mail: a-kikabidze@yahoo.com

**ანოთაცია:** განხილულია დროითი რიგების, ანალიზის პარამეტრული მეთოდის გამოყენებით, ავტორეგრესული მოდელების იდენტიფიცირების, პარამეტრების უმცირეს კვადრატთა მეთოდით დადგენისა და ადეკვატურობის დიაგნოსტიკური გასინჯვის საკითხები. წარმოდგენილია საბოლოოდ მიღებული მოდელების პრაქტიკული გამოყენების საკითხები, მათ შორის პროგნოზირების, პროცესის რეგულირებისა და რიგის წევრთა შორის ოპტიმალური ინტერვალის დაღგენისას. ხაზგასმულია, რომ მოდელების გამოყენებისას პროცესის პროგნოზირებისათვის უპირატესობა ენიჭება ალბათურ, სტოქასტიკურ და არადეტერმინირებულ მოდელს, რადგან უკანასკნელ პროგ-

ნოზს ნაკლები სიზუსტით იძლევა. მოცემულია ენგურჰესის მადლივი კაშხლის ერთიან ტექნიკურ სისტემაში შემავალი და გამომავალი პროცესების გადამცემ ფუნქციაში, წყალსაცავის წყლის დონისა და დახრმხომის მაჩვენებელთა დროითი რიგების წევრთა შორის ინტერვალის ოპტიმალური სიდიდის დადგენა. გაანალიზებულია მოცემული დროითი რიგებიდან დისკრეტიზირებითა და ახალი რიგების აგრეგირებით მიღებული სხვადასხვა ინტერვალის შემცველი დროითი რიგების ავტორეგრესული, მულტიპლიკატორული სახის მოდელები. მიღებულია ოპტიმალური ინტერვალის ალბათური სიდიდეები კაშხლის სხვადასხვა ადგილში განლაგებული დახრილობის გამზომი ხელსაწყოების ჩვენებათა მიხედვით, ნარჩენი

შეცდომების საშუალო კვადრატული შეცდომების კრიტერიუმით. ანალიზის შედეგები წარმოდგენილია ცხრილებსა და ნახაზებში, სადაც ჩანს, რომ დროითი რიგების წევრთა შორის ოპტიმალური ინტერვალის სიდიდე სხვადასხვაა კაშხლის სხვადასხვა ადგილში.

**საპანძო სიტყვაში:** აგრეგირება; დისკრეტიზირება; დროითი რიგი; ოპტიმალური ინტერვალი; პროგნოზირება; რეაქციის დაგვიანების დრო; რეგულირება.

## შესავალი

დროითი რიგი ყალიბდება ბუნებრივი პროცესების შედეგად ან ემპირიული გზით. როგორც ბუნებრივი, ისე ემპირიული დროითი რიგის წევრთა შორის ინტერვალის სიდიდე ხშირად განპირობებულია ამა თუ იმ ფაქტორით და ფიქსირებულია. მაგალითად, მზეზე ამოფრქვევათა წლიური რაოდენობა ან მდინარის ჩამონადენის დღედამური რაოდენობა. ზოგჯერ ინტერვალს ირჩევენ პროცესის პროგნოზირებისა და რეგულირების ან სხვა მიზნით [2, 4].

როდესაც სიტუაცია ინტერვალის ოპტიმალურობის შესახებ გაურკვეველია, უნდა გაანალიზდეს სხვადასხვაინტერვალიანი დროითი რიგების მოდელები. ნარჩენი შეცდომების დისპერსია ამ დროს უნდა მიისწოდოდეს მინიმუმისაკენ, ინტერვალის თანდათანობით შემცირებასთან ერთად.

დროითი რიგის წევრთა შორის ინტერვალი უნდა იყოს ისეთი უმცირესი სიდიდე, რომ შუალედში მნიშვნელოვანი რამ არ ხდებოდეს.

ინტერვალის ოპტიმიზაცია პროცესის პროგნოზირება-რეგულირების გარდა საჭიროა მაშინ, როდესაც ტექნიკურ სისტემაში გადამცემი ფუნქციის მოდელთან გვაქვს საქმე და საჭიროა გამომავალი პროცესის შემავალ პროცესთან რეაგირების დროის დადგენა [2]. ამისათვის სა-

ჭიროა შევადგინოთ სხვადასხვაინტერვალიანი დროითი რიგების მოდელები საწყისი რიგის დისკრეტიზირებითა და ახალი რიგების აგრეგირების გზით და გავანალიზოთ. ეს შესაძლებელია მხოლოდ ინტერვალის თანდათან გაზრდით. დავუშვათ, გვაქვს დროითი რიგი საათური ინტერვალით, მაგრამ გვინდა მოდელი, რომლის მთავარი მიზანია პროგნოზირება 12 საათით ადრე. ამ დროს გადასაწყვეტია საკითხი, რომელი დროითი რიგი გამოვიყენოთ მოდელის შესადგენად – 1-საათიანი თუ 12-საათიანი ინტერვალის შემცველი. თუ უკანასკნელს ავირჩევთ, მაშინ საჭირო გახდება საწყისი დროითი რიგიდან აგრეგირების გზით მივიღოთ ახალი დროითი რიგი. ეს პრობლემა რიგის წევრების დაჯგუფების ეფექტთან არის დაკავშირებული. ამ დროს მხედველობაში მიიღება ისიც, რომ მოდელები შესაძლოა იყოს სხვადასხვა კლასის, ე.ო. დადგება ერთი და იგივე პროცესისათვის სხვადასხვა კლასის მოდელთა იდენტიფიცირების პრობლემა, რომელიც ავტო- და ურთიერთკორელაციური ფუნქციების დახმარებით გადაწყდება [4].

როდესაც საკითხი ეხება მოდელთა კლასიდან პროგნოზირებისათვის უფრო მისაღების შერჩევას, უპირატესობას ანიჭებენ სტოქასტიკურ და არა დეტერმინირებულ მოდელს, რადგან ეს უკანასკნელი პროგნოზს ნაკლები სიზუსტით იძლევა. ეს განპირობებულია იმით, რომ დროითი რიგის ალბათური ბუნება მოდელში, რომელიც მხოლოდ დეტერმინირებულ ფუნქციას შეიცავს, სრულიად იგნორირებულია [4].

იდეალური იქნებოდა, საწყის მონაცემთა საფუძველზე, ისეთი მოდელის მიღება, რომელიც ადგავატური იქნებოდა ყველა დისკრეტული დროითი სკალისათვის, მაგალითად, ერთი და იგივე მოდელით მიგვეღო როგორც დღედამური, ისე თვიური და წლიური პროგნოზები. მაგრამ ამის შეუძლებლობის გამო, იმულებული ვართ

შევადგინოთ რამდენიმე მოდელი სხვადასხვა დროითი ინტერვალის მქონე რიგებისათვის [1].

დროითი რიგის წევრთა შორის ოპტიმალური ინტერვალის დადგენის საკითხი ხშირად წამოიჭრება. ამ დროს დისკრეტული სისტემები ბევრად არ ჩამოუვარდება ეფექტურობით უწყვეტ დინამიკურ სისტემებს თუ სწორადაა შერჩეული რიგის წევრებს შორის ინტერვალი. სასურველია ეს ინტერვალი, როგორც აღვნიშნეთ, იმდენად მცირე იყოს, რომ მათ შორის არ ხდებოდეს რაიმე არსებითი ცვლილება.

ჩვეულებრივ, შეშფოთება (ხმაური), რომელიც გაივლის სისტემაში, ახასიათებს მის ინერციულობასა და დინამიკურ თვისებებს. ასე, რომ ინტერვალი, აშკარად თუ ფარულად, ტექნიკური სისტემის დროის მუდმივას პროპორციული აიღება. დროის მუდმივა კი ამა თუ იმ სისტემისათვის არის ის დრო, რომელიც სჭირდება უწყვეტი სახის პირველი რიგის დიფერენციალურ სისტემას ერთი შემავალი და ერთი გამომავალი პროცესებით, რათა შემავალი პროცესის ერთეულოვანი ნახტომის შემდეგ მიაღწიოს გამომავალი პროცესის საბოლოო გაწონასწორებული დონის 63,2%-ს [2].

## ძირითადი ნაწილი

როგორც აღვნიშნეთ, დროითი რიგის წევრთა შორის ინტერვალის ოპტიმალური სიდიდის დადგენის საჭიროება დაკავშირებულია, პროცესის პროგნოზირების, რეგულირებისა და გადამცემი ფუნქციის შემთხვევაში, გამომავალი პროცესის შემავალ პროცესთან რეაქციის დროის დადგენის საკითხებთან.

პროცესებში, სადაც სითხეების შერევასა და ქიმიურ რეაქციებთან გვაქვს საქმე, ინტერვალის ტიპური მაჩვენებელია 2–3 საათი, ამიტომ დასაშვებია ხელით კონტროლი. გაზების რეაქციებში, სადაც პროცესები გაცილებით სწრაფად

ვითარდება, ინტერვალი აიღება წუთობით და ზოგჯერ წამობით და აუცილებელია აგტომატური მართვა და კორექტირება.

სხვა შემთხვევებში, ოპტიმალური ინტერვალის დასადგენად საჭიროა ექსპერიმენტები მოცემული დროითი რიგიდან ახალი დისკრეტული რიგების შესადგენად და ამ მოდელების გასაანალიზებლად.

ოპტიმალური ინტერვალის დადგენაში ხშირად გვეხმარება დასაბუთებული პრაქტიკული ვარაუდი და გამოცდილება. უფრო საიმედო კრიტერიუმი მოდელთა ნარჩენი შეცდომების დისპერსია და სტანდარტული შეცდომებია.

ნარჩენი შეცდომების საშუალო კვადრატული შეცდომა (სკმ) გამოითვლება ფორმულით:

$$\sigma = \sqrt{\frac{1}{N-v} \sum_{t=1}^N (X_t - \hat{X}_t)^2},$$

სადაც  $X_t$  არის დისკრეტული დროითი რიგის წევრები,  $\hat{X}_t$  – მოდელით გამოთვლილი წევრები,  $N$  – დროითი რიგის წევრთა რაოდენობა,  $v$  – თავისუფლების ხარისხი, რომელიც დამოკიდებულია მოდელში პარამეტრების რაოდენობაზე.

დროითი რიგის წევრთა შორის ოპტიმალური ინტერვალის დასადგენად გავაანალიზეთ სხვადასხვა ინტერვალის შემცველი საწყისი დროითი რიგები ენგურვების კაშხლის პირობებისათვის:

1. 2001–2005 წწ. დღედამური ინტერვალის მქონე რიგები 402 პორიზონტზე მე-12 სექციაში დაყენებული დახრილობის გამზომისა და კაშლის წყალსაცავში წყლის დონეთა (წლდ) მაჩვენებლებით. საწყისი დროითი რიგის დისკრეტიზირებითა და სათანადო წევრების აგრეგირებით მიღებულია 2,3,...,7 დღედამურინტერვალიანი დროითი რიგები (ცხრ. 1);

2. 2011–2013 წწ. დღედამური ინტერვალის მქონე რიგები იმავე 402 პორიზონტზე მე-12, მე-18 და 26-ე სექციებში განლაგებული დახრილო-

ბის გამზომი და წლდ მაჩვენებლებით. ამ შემთხვევაშიც მიღებულია ახალი დროითი რიგები 2,3,...,7 დღედამური ინტერვალებით (ცხრ. 2);

3. 2012–2013 წლ. საათური ინტერვალის შემცველი დროითი რიგები იმავე პორიზონტსა და იმავე სექციებში განლაგებული დახრილობის გამზომი და წლდ მაჩვენებლებით. საწყისი საათურინტერვალიანი დროითი რიგების დისკრეტიზირება მოხდა 6, 12, 18 და 24-საათიანი ინ-

ტერვალების შემცველი დროითი რიგების აგრძელების მიზნით (ცხრ. 3).

ცხრილებში მოცემული მაჩვენებლებით აგრძელი გრაფიკები წარმოდგენილია ნახაზებზე (ნახ. 1, 2, 3).

სამივე პერიოდის დისკრეტიზირებული დროითი რიგების ნარჩენი შეცდომების სკამ მიღებულია ზემოთ მოცემული ფორმულით და წარმოდგენილია ცხრილებში.

### ცხრილი 1

#### 2001–2005 წლ. დღედამური დროითი რიგები

ინტერვალი $D$ , დღე-დამე	1	2	3	4	5	6	7
რიგში წევრთა რაოდენობა	1826	913	608	456	365	304	260
ნარჩ. შეცდ. სკმ $\sigma$	5,126	5,132	5,136	5,176	5,183	5,230	5,235

### ცხრილი 2

#### 2011–2013 წლ. დღედამური დროითი რიგები

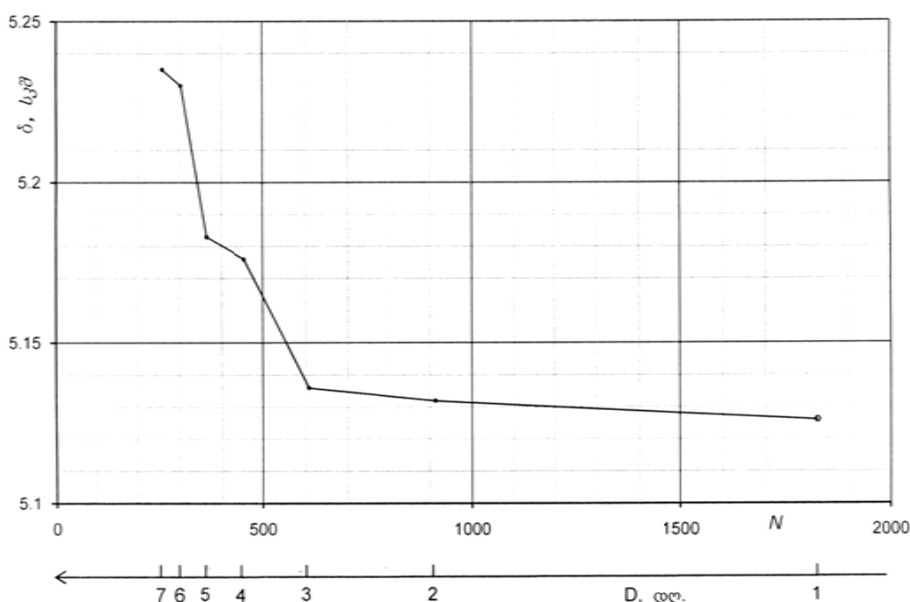
ინტერვალი $D$ , დღე-დამე	1	2	3	4	5	6	7	
რიგში წევრთა რაოდენობა	586	293	195	146	117	97	83	
ნარჩ. შეცდ. სკმ, $\sigma$	დახრმ. № 12 სექციაში	1,735	1,753	1,791	1,775	1,771	1,836	1,841
	დახრმ. № 18 სექციაში	5,068	5,112	5,152	5,212	5,268	5,334	5,399
	დახრმ. № 26 სექციაში	4,696	4,764	4,774	4,816	4,803	4,928	4,918

## 2012–2013 წწ. საათური დროითი რიგები

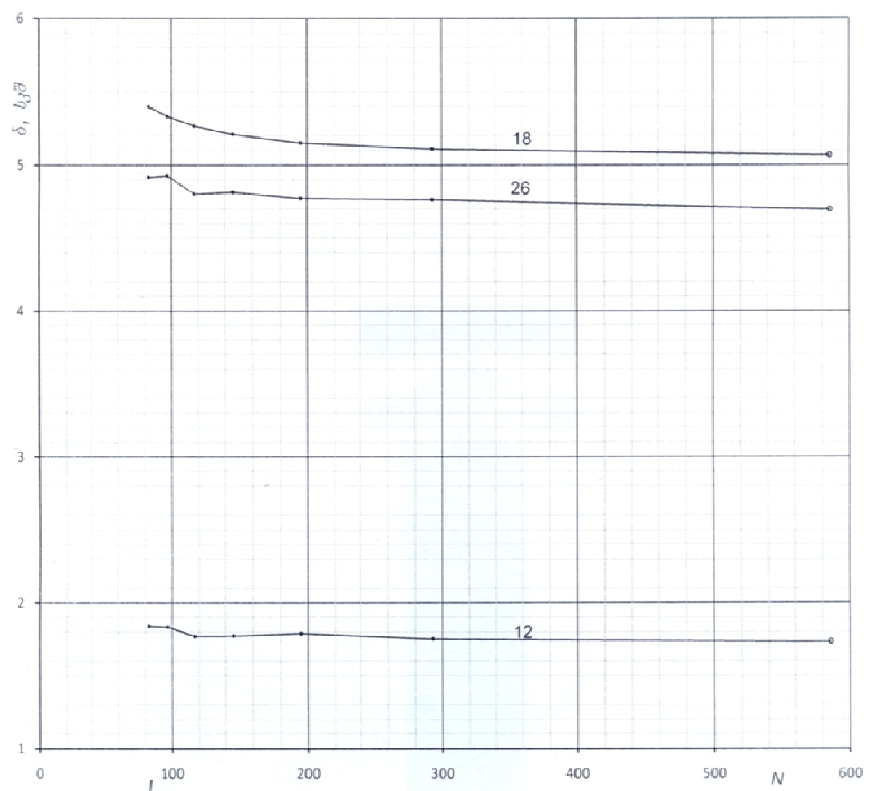
ინტერვალი $D$ , საათი	6	12	18	24
რიგში წევრთა რაოდენობა	2920	1460	973	730
გარჩ. შეცვ. სექ, σ	დახრმ. № 12 სექციაში	1,215	0,967	0,893
	დახრმ. № 18 სექციაში	4,538	1,959	3,053
	დახრმ. № 26 სექციაში	4,947	2,946	2,416

როგორც ცხრილებში, ისე ნახაზებზე ჩანს, რომ დროითი რიგის წევრთა შორის ინტერვალის ოპტიმალური სიდიდე მიისწრაფვის უმცირესისკენ. დღედამური ინტერვალის შემცველი რიგებისთვის ეს არის 1 დღე-დამე. რაც შეეხება საათურინტერვალებიან რიგებს, ანალიზი შემ-

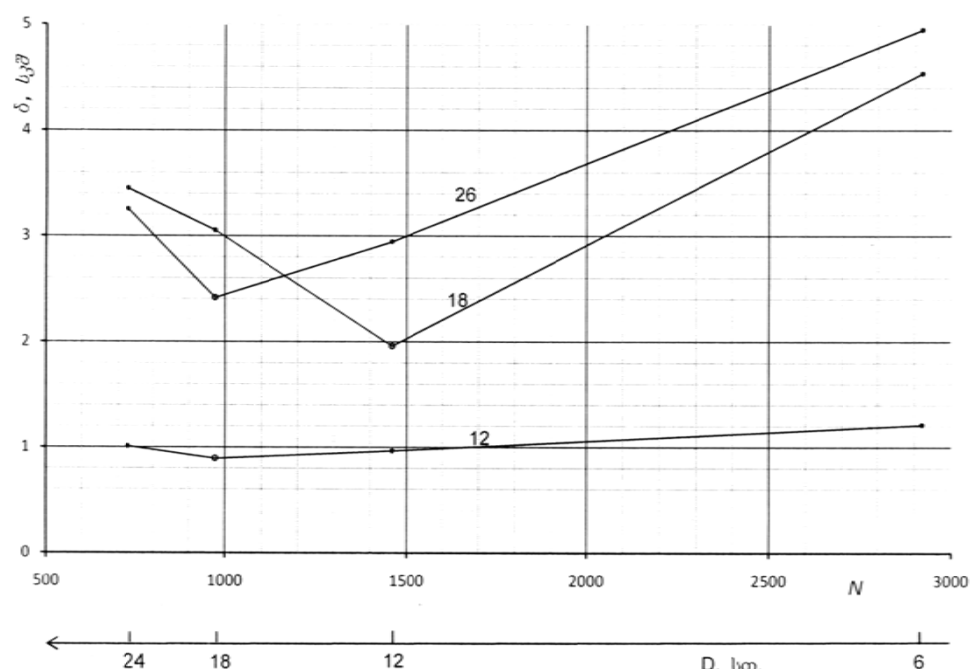
დებ სურათს იძლევა: კაშხლის ნაპირებთან ახლოს, მე-12 და 26-ე სექციებში განლაგებული დახრილობის გამზომი მაჩვენებლების მიხედვით ოპტიმალური ინტერვალია 18 საათი, კაშხლის შუაში, მე-18 სექციისათვის – 12 საათი.



ნახ.1. 2001–2005წწ. დღედამური დროითი რიგები. 402 პორიზონტი. მე-12 სექცია



ნახ. 2. 2011–2013წ. დღედამური დროითი რიგები. 402 პორიზონტი.  
მე-12, მე-18, 26-ე სექციები



ნახ.3. 2012–2013წ. საათური დროითი რიგები.  
402 პორიზონტი. მე-12, მე-18, 26-ე სექციები

## დასკვნა

როგორც მოცემული დროითი რიგების დისკრეტურებითა და ახალი რიგების აგრეგირებით მიღებული სხვადასხვაინტერვალიანი რიგების მოდელების ანალიზი აჩვენებს, რიგის წევრთა შორის ოპტიმალური ინტერვალის სიდიდე კაშხლის სხვადასხვა ნაწილში სხვადასხვაა. მე-12 და 26-ე სექციებში (კაშხლის მარჯვენა და მარცხენა ნაპირებისკენ) მისი სიდიდე 18 საათია, ხოლო კაშხლის შუა ნაწილში – 12 საათი.

ინფორმაციულობის მაქსიმიზაციისა და სტანდარტული შეცდომის მინიმიზაციის პრინციპების, აგრეთვე იმის გათვალისწინებით, რომ არ იქნება გრძივრული ერთსა და იმავე ობიექტზე სხვადასხვაინტერვალიანი დროითი რიგებით ოპერირება, მიზანშეწონილია დროითი რიგების ფორმირება 6-საათიანი ინტერვალით, ზედმეტი დაზღვევის გათვალისწინებით, რათა ინტერვალის შეალებული მნიშვნელოვანი ცვლილება არ ხდებოდეს, ოპტიმალურად შეიძლება მიღებულ იქნეს 1-საათიანი ინტერვალი.

## ლიტერატურა

1. T. Anderson. Statistical analysis of time series. M.: Mir, 1976. (In Russian).
2. J. Box, G. Jenkins. Analysis of time series. M.: Mir, 1974. (In Russian).
3. J. Dub. Probabilistic processes. M., 1956. (In Russian).
4. R.L. Kashciap, A.R. Rao. Construction of dynamic stochastic model by experimental data. M.: Nauka, 1983. (In Russian).
5. M. Kendall, A. Stewart. Multivariate statistical analysis and time series. M.: Nauka, 1976. (In Russian).
6. E. Hennan. Analysis of time series. M.: Nauka, 1964. (In Russian).
7. E. Hennan. Multivariate time series. M.: Mir, 1974. (In Russian).

**UDC 519.242**  
**SCOPUS CODE 2201**

## **DEFINITION OF OPTIMAL INTERVAL BETWEEN TIME SERIES TERMS**

**M. Meskhi** Department of Engineering Geodesy and Geoinformatics, Georgian Technical University,  
75 M. Kostava str., 0175 Tbilisi, Georgia  
E-mail: murman meskhi@gtu.ge

**S. Piralishvili** Department of Engineering Geodesy and Geoinformatics, Georgian Technical University,  
75 M. Kostava str., 0175 Tbilisi, Georgia  
E-mail: geodezia@gtu.ge

**R. Inadze** Department of Engineering Geodesy and Geoinformatics, Georgian Technical University,  
75 M. Kostava str., 0175 Tbilisi, Georgia  
E-mail: inadzesandro@gtu.ge

**Reviewers:**

**M. Kalabegishvili**, Expert of hydrotechnical structures of Engurhesi Ltd, Doctor of Technical Sciences, Professor  
E-mail: kalabegishvili@hotmail.com

**A. Kikabidze**, Professor, Department of Engineering Geodesy and Geoinformatics, Faculty of Mining and Geology, GTU  
E-mail: a-kikabidze@yahoo.com

**ABSTRACT.** This article presents the analysis of time series using the parametric method of identification of autoregressive models, parameters least squares method and adequacy of diagnostic examination issues, also practical application matters of the finally obtained models, including forecasting, process control and determining the optimum interval between the time series terms. The article emphasizes that in application of models for predicting processes preference is given to probability, stochastic model, and not to deterministic methods, because the latter gives less accurate forecasts. Another subject discussed is the determination of water level in the reservoir and optimal value of interval between the time series terms of inclination indicators readings in the transfer function of input and output processes in the unified Enguri HPP high dam general technical system. Analyzed are the autoregressive, multiplier type models obtained by sampling of given time series and aggregation of the new time series containing various intervals. Obtained are the probable values of optimal interval according to the readings of inclination measuring devices located in different places of dam, with the residual errors in the mean square error criteria. The results of analysis are presented in the form of tables and drawings showing that the optimal time interval between the time series terms has different magnitude in different areas of the dam.

**KEY WORDS:** aggregation; discretization; forecasting; optimal interval; regulation; time series; ; time of late reaction.

**UDC 519.242  
SCOPUS CODE 2201**

## **ОПРЕДЕЛЕНИЕ ОПТИМАЛЬНОГО ИНТЕРВАЛА МЕЖДУ ЧЛЕНАМИ ВРЕМЕННОГО РЯДА**

- Месхи М.А.** Департамент инженерной геодезии и геоинформатики производственно-технологических машин и мехатроники, Грузинский технический университет, Грузия, 0175, Тбилиси, ул. М. Костава, 75  
E-mail: murman meskhi@gtu.ge
- Пиралишвили С.Х.** Департамент инженерной геодезии и геоинформатики производственно-технологических машин и мехатроники, Грузинский технический университет, Грузия, 0175, Тбилиси, ул. М. Костава, 75  
E-mail: geodezia@gtu.ge
- Инадзе Р.В.** Департамент инженерной геодезии и геоинформатики производственно-технологических машин и мехатроники, Грузинский технический университет, Грузия, 0175, Тбилиси, ул. М. Костава, 75  
E-mail: inadzesandro@gtu.ge

**Рецензенты:**

- М. Калабегишвили**, эксперт гидротехнических сооружений ООО “ИнгуриГЭС”, доктор технических наук, профессор  
E-mail: kalabegishvili@hotmail.com
- А. Кикабидзе**, профессор Департамента инженерной геодезии и геоинформатики горно-геологического факультета ГТУ  
E-mail: a-kikabidze@yahoo.com

**АННОТАЦИЯ.** Статья посвящена вопросам анализа временных рядов: использования метода параметрической идентификации авторегрессионных моделей, определения параметров методом наименьших квадратов и диагностической проверки адекватности. Представлены вопросы практического применения моделей, в том числе прогнозирования, регулирования процессов и определения оптимального интервала между членами ряда. Подчеркнуто, что при использовании моделей для процесса прогнозирования предпочтение отдается вероятностной, стохастической, а не детерминированной модели, потому что последняя дает менее точные прогнозы. Представлен вопрос определения в передаточной функции входящих и выходящих процессов единой технической системы высотной плотины ИнгуриГЭС. Входящий процесс - это уровень воды в водохранилище, а выходящий - показателей наклономера. Проанализированы полученные дискретизацией заданных временных рядов и агрегацией новых рядов содержащие различные интервалы временных рядов в виде авторегрессионных и мультиплитаторного типа моделей. Получены оптимальные вероятностные значения интервала, согласно показаниям расположенных в разных местах плотины измеряющих наклон измерительных приборов, по критерию среднеквадратической погрешности остаточных ошибок. Результаты анализа представлены в виде таблиц и рисунков, которые показывают, что оптимальная величина интервала времени между членами рядов различна в разных местах плотины.

**КЛЮЧЕВЫЕ СЛОВА:** агрегирование; временной ряд; время запаздывания реакции; дискретизация; оптимальный интервал; прогнозирование; регулирование.

**UDC 519.242****SCOPUS CODE 2201**

## მნიშვნელოვანი სამუშაო დოკუმენტის გამზღვის დროის პირდღა

<b>მ. მესხი</b>	საინჟინრო გეოდეზიისა და გეოინფორმატიკის დეპარტამენტი, საქართველოს ტექნიკური უნივერსიტეტი, საქართველო, 0175, თბილისი, მ. კოსტავას 75 E-mail: murmanmeskhi@gtu.ge
<b>ს. ფირალიშვილი</b>	საინჟინრო გეოდეზიისა და გეოინფორმატიკის დეპარტამენტი, საქართველოს ტექნიკური უნივერსიტეტი, საქართველო, 0175, თბილისი, მ. კოსტავას 75 E-mail: geodezia@gtu.ge
<b>რ. ინაძე</b>	საინჟინრო გეოდეზიისა და გეოინფორმატიკის დეპარტამენტი, საქართველოს ტექნიკური უნივერსიტეტი, საქართველო, 0175, თბილისი, მ. კოსტავას 75 E-mail: inadzesandro@gtu.ge

### რეცენზენტები:

- მ. ყალაბეგიშვილი**, შპს „ენგურჰესის“ პიდროტექნიკურ ნაგებობათა ექსპერტი, ტექნიკის მეცნიერებათა დოქტორი, პროფესორი  
E-mail: kalabegishvili@hotmail.com
- ა. კიკაბიძე**, სტუ-ის სამთო-გეოლოგიის ფაკულტეტის საინჟინრო გეოდეზიისა და გეოინფორმატიკის დეპარტამენტის პროფესორი  
E-mail: a-kikabidze@yahoo.com

**ანოთაცია:** მოცემულია ენგურჰესის წყალსაცავში წყლის დონის ცვლილებაზე კაშხლის რეაციის დროის კვლევის შესახებ. წარმოდგენილია რეალურად არსებული ემპირიული დროითი რიგბის – წყალსაცავში წყლის დონისა და კაშხლის ტანში სხვადასხვა ადგილას დამონტაჟებული დახრილობის გამზომი ხელსაწყოების მაჩვენებელთა დისკრეტიზირებითა და ახალი სხვადასხვანიტერვალიანი რიგბის აგრეგირებით მიღებული მულტიპლიკატორული ტიპის მოდელების ანალიზი, ასევე დროითი რიგბის გადამცემი ფუნქცია შემავალი და გამომავალი პროცესების იდენტიფიცირებით. აღნიშნულია, რომ გამომავალ

პროცესზე შეიძლება მოქმედებდეს როგორც ეგზოგენური ანუ უკუკავშირის არმქონე, ისე სხვა ფაქტორები, რომლებიც გამომავალ პროცესს, მის რეაქციას განაპირობებს. ხაზგასმულია, რომ კაშხლის რეაქციის დროის დადგენისას კრიტურიუმად მიღებულია არა სტანდარტული შეცდომის სიდიდე, არამედ მოღელთა ნარჩენი შეცდომების – ფაქტობრივი დროითი რიგბის წევრთა და მოღელით მიღებულ იგივე წევრთა სხვაობების – კვადრატების ჯამის მინიმალური სიდიდე. განხილულია წყალსაცავში წყლის დონის ცვლილებაზე, კაშხლის რეაქციის დაგვიანების დროის კვლევისას, მოღელში შესატანი პარამეტრის მნიშვნელობის საკითხი როგორც უწყვეტი დინა-

მიკური, ისე დისკრეტული სისტემის შემთხვევაში. დადგენილია ენგურჰესის პირობებში მისი რეაქციის დროის ალბათური სიდიდე კაშხლის სხვადასხვა ადგილას. რეკომენდებულია უფრო დამაჯერებელი დასკვნების მისაღებად დროითი რიგების რეპრეზენტატულობის გაზრდა.

**საბანაძო სიტყვები:** აგრეგაცია; დისკრეტიზაცია; დროითი რიგი; კაშხლის რეაქცია; პროტერიუმი.

### შესავალი

ენგურჰესის პირობებში რეალურად გვაქვს წყალსაცავში წყლის დონისა (წწდ) და კაშხლის დახრილობის გამზომ ხელსაწყოთა ემპორიული დროითი რიგები. თავისი ბუნებით ეს რიგები უწყვეტი სახისაა, მაგრამ აღრიცხვას ექვემდებარება დისკრეტული ინტერვალებით (წუთი, საათი, დღე-ღამე).

როდესაც რომელიმე ტექნიკურ სისტემაში გადამცემი ფუნქციის მოდელთან გვაქვს საქმე, იგი შედგება ერთი ან რამდენიმე დამოუკიდებელი შემავალი პროცესისა და დამოკიდებული გამომავალი პროცესისგან. დამოუკიდებელი პროცესებიდან ზოგიერთი ეგზოგენური ანუ უკუკავშირის არმქონება ხასიათისაა [4].

როგორც დროითი რიგის წევრთა შორის ოპტიმალური ინტერვალის დადგენისას, აქაც საჭიროა შევადგინოთ სხვადასხვაინტერვალიანი დროითი რიგების მოდელები მოცემული საწყისი რიგის დისკრეტიზირებისა და ახალი რიგების აგრეგირების გზით და გავანალიზოთ ისინი. თუ პირველ შემთხვევაში კრიტერიუმად ვიყენებთ სტანდარტულ შეცდომას (სეჭ), კაშხლის წწდ ცვლილებაზე რეაქციის დროის კვლევისას კრიტერიუმად უმჯობესია მოდელის ნარჩენ შეცდომათა კვადრატების ჯამის მინიმუმის გამოყენება

[2]. ნარჩენი შეცდომები (მოდელით მიღებულ და ფაქტიურ მონაცემთა შორის სხვაობები) განასახიერებს ტექნიკურ სისტემაში არსებულ შეშფოთებას, ხმაურს, რომელიც მის ინერციულობასა და დინამიკურ თვისებებს ახასიათებს [1].

### ძირითადი ნაწილი

უწყვეტი დინამიკური სისტემის შემთხვევაში, ერთი შემავალი და ერთი გამომავალი პროცესებით, მოდელი თეორიულად პირველი რიგის დიფერენციალური განტოლებაა, რომლის ზოგადი სახეა:

$$(1+TD)y(t) = gx(t-\tau), \quad (1)$$

სადაც  $D = d/dt$  არის პირველი რიგის დიფერენციალი,  $T$  – ერთიანი ტექნიკური სისტემის დროის მუდმივა (დრო, რომელიც სჭირდება პირველი რიგის სისტემას, რომ შემავალ პროცესზე მიაღწიოს ერთეულოვანი ნახტომის შემდეგ გამომავალი პროცესის გაწონასწორებული დონის ~63%-ს),  $g$  – შემავალ და გამომავალ პროცესებს შორის სისტემის მახასიათებელი პროპორციულობის კოეფიციენტი,  $\tau$  – შემავალ პროცესზე (წწდ ცვლილება) გამომავლის (კაშხლის რეაქცია) გამოძახილი,  $y(t)$  და  $x(t)$  – შესაბამისად, გამომავალი და შემავალი უწყვეტი პროცესები.

დისკრეტული სისტემისა და, შესაბამისად, დისკრეტული დროითი რიგების შემთხვევაში საქმე გვაქვს ალბათურ, შემთხვევითი სახის მოდელთან, რომლის იდენტიფიცირება ხდება ავტო- და ურთიერთკორელაციური ფუნქციებით. შედეგად მიიღება ავტორეგრესული, მულტიპლიკატორული ტიპის მოდელი, რომელშიც  $\tau$  კაშხლის რეაქციის უწყვეტი დროის ნაცვლად გვექნება  $b$  პარამეტრი – დისკრეტული დრო, გამოსახული ინტერვალის სიღიღებში [2].

დისკრეტული დროითი რიგების ანალიზით იდენტიფიცირებული გადამცემი ფუნქციის მოდელი შემდეგი სახისაა:

$$X_t = \delta_1 X_{t-1} + \delta_2 X_{t-12} - \delta_3 X_{t-13} + \omega_0 H_{t-b} - \omega_1 H_{t-1-b} - \omega_2 H_{t-12-b} + \omega_3 H_{t-13-b}, \quad (2)$$

სადაც  $X_t$  არის გამომავალი პროცესი  $t$  დისკრეტულ დროში – დახრილობის გამზომ ხელსაწყოთა მაჩვენებლები, გამოსახული კუთხეური წამებით:  $H_t$  – წლები მაჩვენებლები იმავე  $t$  დროში, გამოსახული მეტრებით:  $X$  და  $H$  ინდექსები – 1, 12, 13, შესაბამისად, თვიური, წლიური და წლისა და ერთი თვის საყრდენი ინტერვალის შემცველი მაჩვენებლები (დროითი რიგების პერიოდია წელი, ხოლო საყრდენი ინტერვალი – თვე),  $b$  – კაშხლის რეაქციის დაყოვნების მაჩვენებელი გამოსახული დროითი ინტერვალებით, რომელიც ნარჩენი შეცდომების კვადრატების ჯამის მინიმუმის კრიტერიუმით მიღვანიშნებს, თუ რამდენი დროითი ინტერვალის შემდეგ ახდენს რეაქციას კაშხალი წლებით ცვლილებაზე.

ზოგადად, ტექნიკური სისტემების უმრავლესობა და კერძოდ ენგურჟესის კაშხალი ინერციულ სისტემებს მიეკუთვნება. აქედან გამოდინარე, მისი რეაქცია არ იქნება მყისი და ადგილი ექნება დაგვიანებას  $b$  დროითი ინტერვალით, რომლის სიდიდე მისაღები უნდა იყოს საღი აზრითა და პროცესის ლოგიკურობით.

$b$  პარამეტრის მიახლოებითი სიდიდის დასადგენად, ანალიზისათვის გამოყენებულია 2001–2005 წლ. რეპრეზენტატული და 2011–2013 და 2012–2013 წლ. ნაკლებად რეპრეზენტატული დროითი რიგები. ამათგან პირველი და მეორე დღედამურინტერვალიანია, ხოლო მესამე – საათურინტერვალიანი. პირველი და მეორე რიგგბიდიდან ახალი რიგების აგრეგირებით მიღებული გვაქვს 2,3,...,7 დღედამურინტერვალიანი, ხოლო მესამე რიგიდან – 6, 12, 18, 24 საათურინტერვალიანი რიგები, რომელთა მოღელების ანალიზის შედეგები წარმოდგენილია ცხრილებისა (1, 2, 3) და გრაფიკების (1, 2, 3, 4, 5, 6, 7) სახით.

რეაქციის დროის დადგენისათვის კრიტერიუმად მიღებულია ნარჩენი შეცდომების კვადრატების ჯამის მინიმალური მნიშვნელობა, რომელთა გამოსათვლელად ვიყენებთ შემდეგ დამოკიდებულებას:

$$S^2 = \sum_{t=1}^N (X_t - \hat{X}_t)^2, \quad (3)$$

სადაც  $X_t$  არის მოცემული დროითი რიგის წევრები;  $\hat{X}_t$  – წევრები, რომლებიც გამოთვლილია (2) მოდელით;  $N$  – დროით რიგში წევრთა რაოდენობა.

### ცხრილი 1

#### 2001–2005 წლ. დღედამურინტერვალიანი დროითი რიგები

ინტერვალი, დღე-დამები	1	2	3	4	5	6	7
რიგში წევრთა რაოდენობა	1826	913	608	456	365	304	260
Nº 12 სექცია $\min \sum S_a^2$	$b = 1$	$b = 0$					

ცხრილი 2

## 2011–2013 წწ. დღედამურინტერგალიანი დროითი რიგები

ინტერვალი, დღე-დამე	1	2	3	4	5	6	7
რიგში წევრთა რაოდენობა	586	293	195	146	117	97	83
$\min \sum S_a^2$	№ 12 სექტ.	$b = 0$					
	№ 18 სექტ.	$b = 1$	$b = 0$				
	№ 26 სექტ.	$b = 2$	$b = 1$	$b = 1$	$b = 1$	$b = 0$	$b = 0$

2001–2005 წწ. დღედამურინტერგალიანი დროითი რიგებით მიღებული მოდელებით, რომლებიც ყველაზე მეტად რეპრეზენტატული დროითი რიგებია (საყრდენი ინტერვალების რაოდენობა  $>50$ ), რეაქციის დრო განისაზღვრება 0–1 ინტერ-

ვალით ანუ 1 დღე-დამის დაგვიანებით (ცხრ.1 და ნახ.1). ეს მიგანიშნებს, რომ კაშხლის რეაქციის დრო წწდ ცვლილებაზე სავარაუდოდ ტოლია ან ნაკლები 1 დღე-დამის.

ცხრილი 3

## 2012–2013 წწ. საათურინტერგალიანი დროითი რიგები

ინტერვალი, საათი	6	12	18	24	
რიგში წევრთა რაოდენობა	2920	1460	973	730	
$\min \sum S_a^2$	№ 12 სექტ.	$b = 0$	$b = 0$	$b = 0$	$b = 0$
	№ 18 სექტ.	$b = 0$	$b = 0$	$b = 0$	$b = 0$
	№ 26 სექტ.	$b = 7$	$b = 2$	$b = 1$	$b = 0$

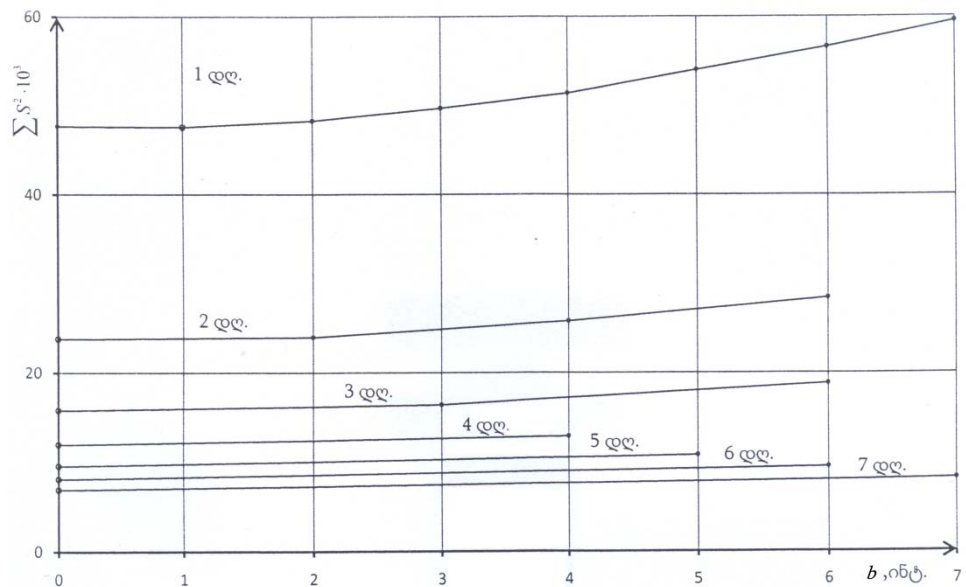
2011–2013 წწ. ნაკლებად რეპრეზენტატული დროითი რიგების მოდელები (საყრდენი ინტერვალების რაოდენობა 30-ის ტოლია) სამი დახრილობის გამზომი ხელსაწყოთი მე-12, მე-18 და 26-ე სექციებში შემდეგ სურათს იძლევა (ცხრ.2 და ნახ.2, 3, 4): მე-12 და მე-18 სექციებში რეაქცია  $b=0-1$  ინტერვალზე მოდის, ხოლო 26-ე

სექციაში  $b=0-1-2-3$  ინტერვალზე ანუ რეაქცია მულავდება 1–2–3 დღე-დამის შემდეგ.

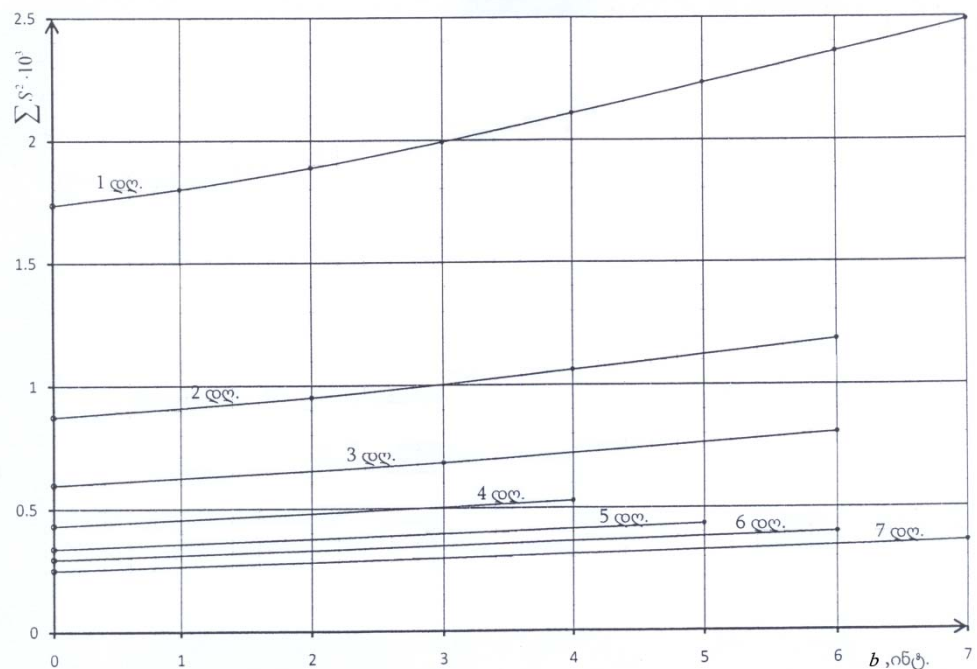
2012–2013 წწ. საათურინტერგალიანი დროითი რიგების მიხედვით მიღებული მოდელებით (საყრდენი ინტერვალია 24) კაშხლის რეაქცია წწდ ცვლილებაზე შემდეგ სურათს იძლევა (ცხრ.3 და ნახ. 5, 6, 7): მე-12 და მე-18 სექციებში  $b=0$ , რაც

6-სათიანი ინტერვალზე ნაკლებ დროს მიუთოვდეს, ხოლო მე-16 სექციაში  $b$  იცვლება 1–7 ფარგლებში, რაც მიუთითებს, რომ რეაქცია მიღებულ შედეგებთან ( $2\text{--}3$  დღე-დამე).

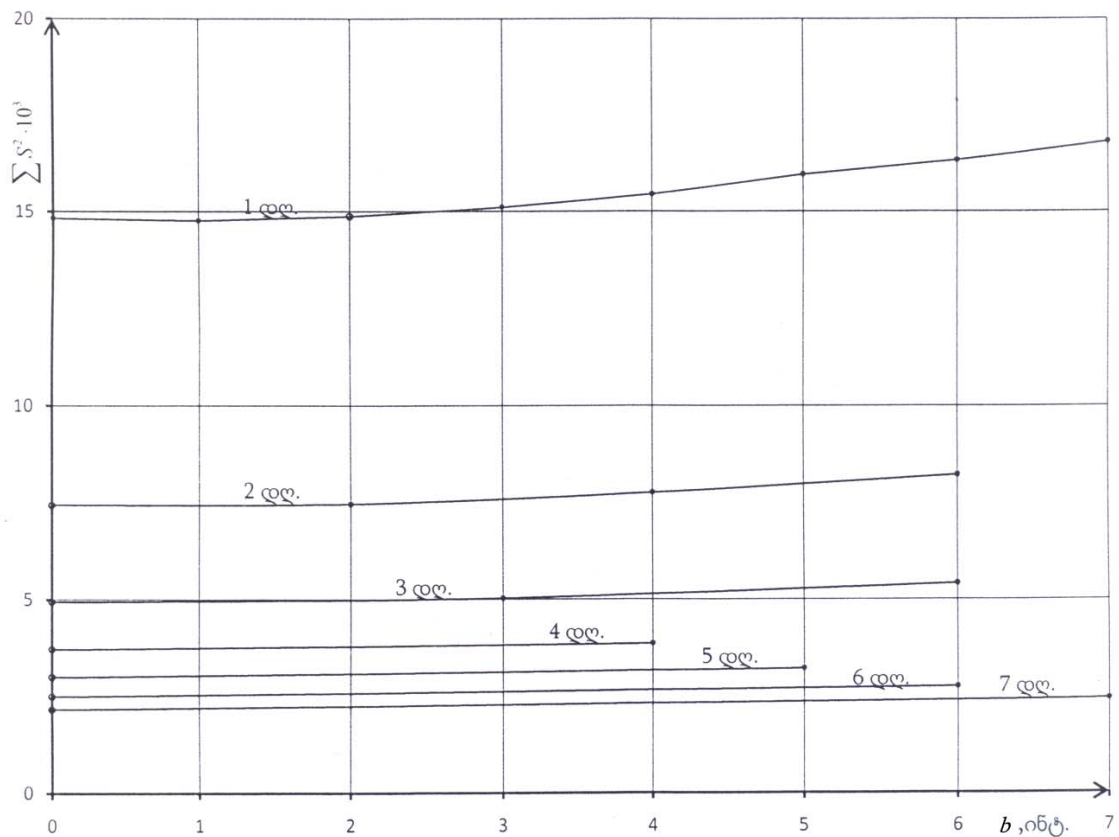
მედავნდება 42 საათიდან ( $b=7\cdot6$ ) 54 სთ-მდე



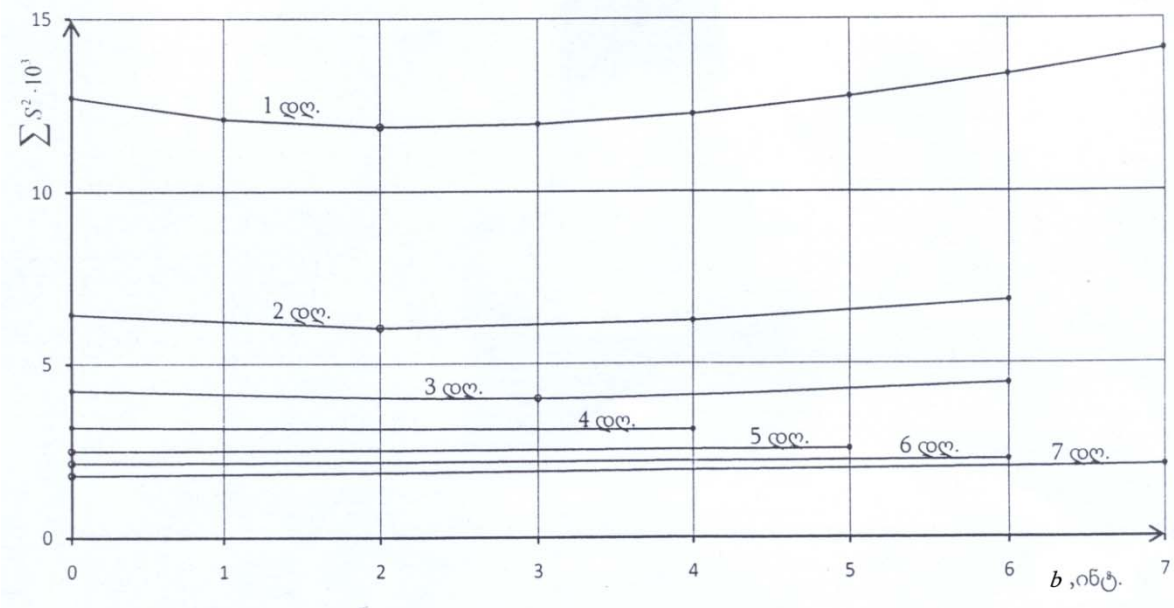
ნახ.1. 2001–2005 წწ. დროითი რიგები. დახრმზომი მე-12 სექციაში



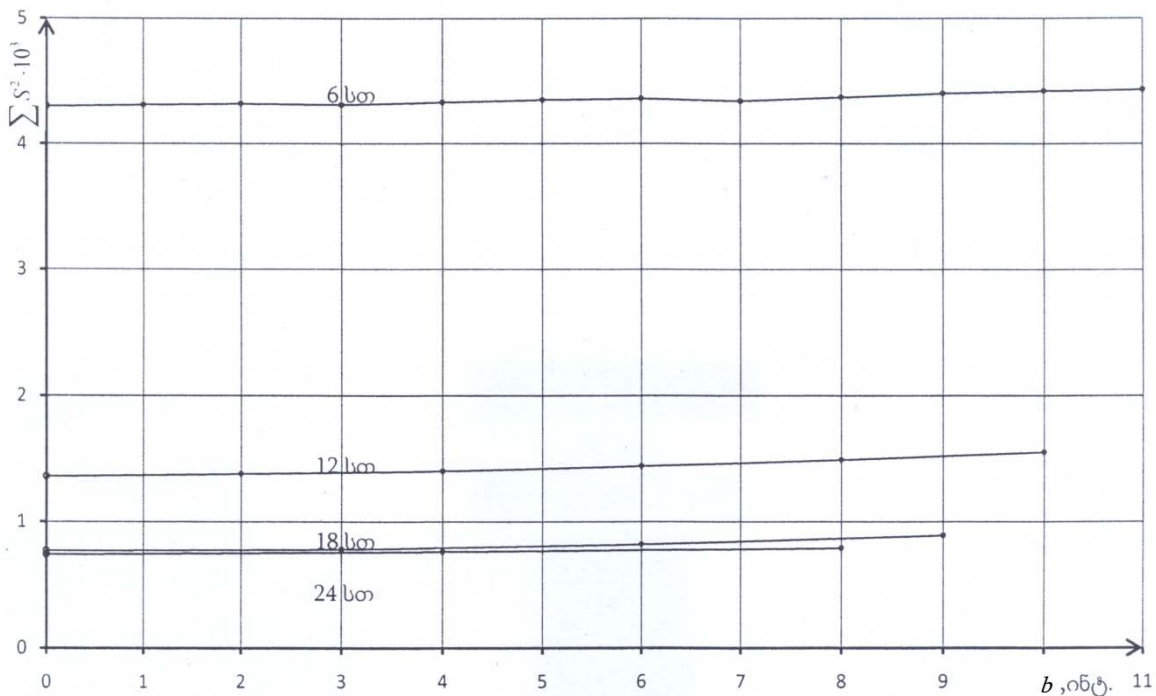
ნახ.2. 2011–2015 წწ. დროითი რიგები. დახრმზომი მე-12 სექციაში



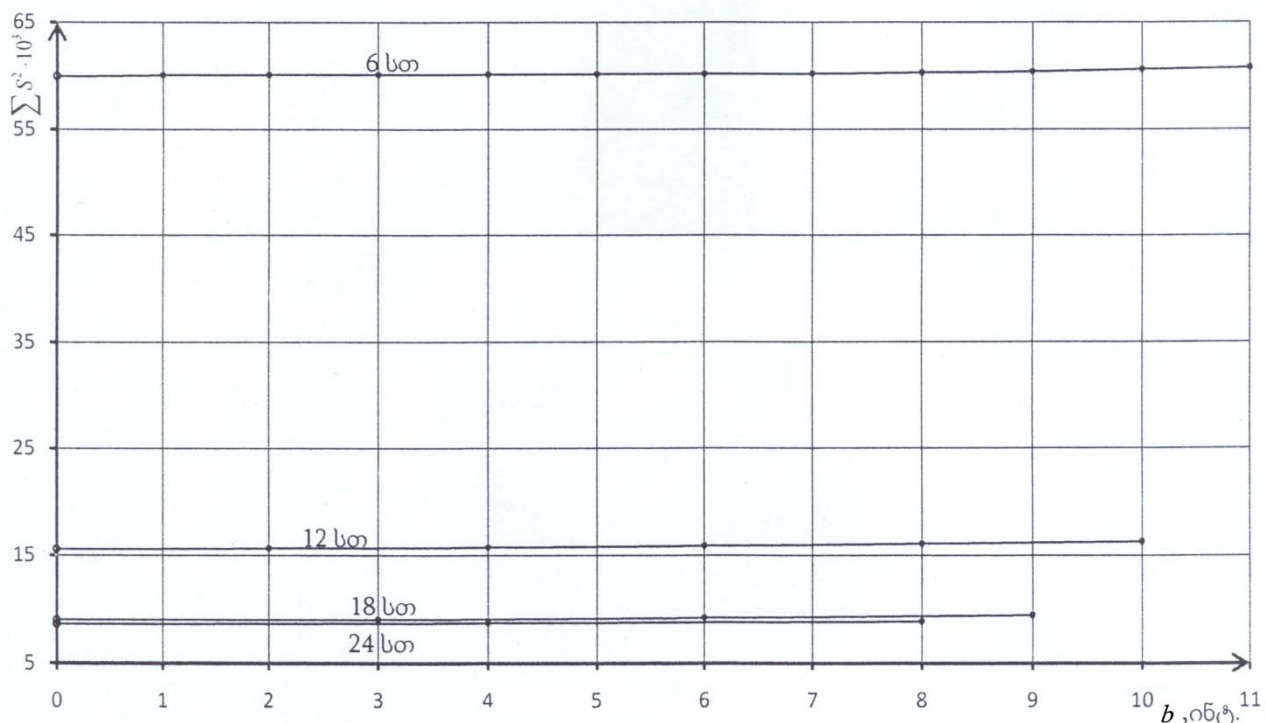
ნახ. 3. 2011–2013 წწ. დროითი რიგები. დახრმზომი მუ-18 სექციაში



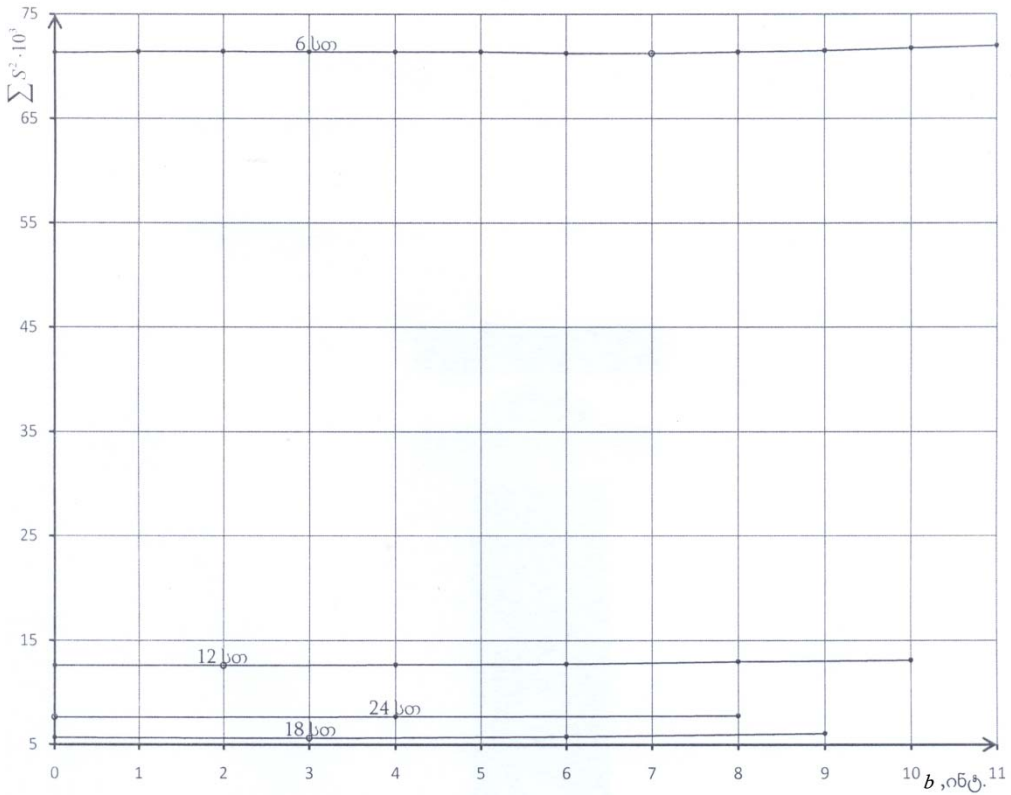
ნახ. 4. 2011–2013 წწ. დროითი რიგები. დახრმზომი 26-ე სექციაში



Зад. 5. 2012–2013 წწ. დროითი რიგები. დახრმზომი მე-12 სექციაში



Зад. 6. 2012–2013 წწ. დროითი რიგები. დახრმზომი მე-18 სექციაში



ნახ. 7. 2012–2013 წლ. დროითი რიგები. დახრმზომი 26-ე სექციაში

### დასკვნა

კაშხლის რეაქციის დრო წლდ ცვლილებაზე სხვადასხვაინტერვალიანი დროითი რიგების მოდელების ანალიზის მიხედვით კაშხლის მარჯვენა მხარეს და ცენტრალურ ნაწილში მუდავნდება დაახლოებით ერთი დღე-დამის, ხოლო მარცხენა მხარეს დაახლოებით 2–3 დღე-დამის განმავლობაში.

დასკვნის სანდოობა დამოკიდებულია დროითი რიგების რეპრეზენტატულობაზე და სხვადასხვა პორიზონტზე განლაგებული დახრილობის გამზომის ხელსაწყოთა რაოდენობაზე.

პირველი დროითი რიგი (2001–2005 წლ.) რეპრეზენტატულია, მაგრამ წარმოდგენილია მხოლოდ ერთი დახრილობის გამზომით, რაც შეეხება მეორე (2011–2013 წლ.) და მესამე (2012–2013 წლ.) რიგებს, ისინი ნაკლებად რეპრეზენტატულებია, თუმცა წარმოდგენილია ერთ პორიზონტზე განლაგებული სამი დახრილობის გამზომით.

ამ დროითი რიგებით მიღებული მოდელების დასკვნები, რაოდგნობრივი თვალსაზრისით, შეიძლება ნაკლებ საიმედო იყოს, მაგრამ თვისებრივად არ ეწინააღმდეგება საღ აზრსა და ლოგიკურობას. იგულისხმება კაშხლის მარჯვენა მხარესა და შუაში რეაქციის ხანმოკლე დრო, მარცხენა მხარესთან შედარებით. ამის ახსნა შეიძლება იმით, რომ მარჯვენა ნაპირზე გააქვს გეოლოგიური ნასხლები, ხოლო მარცხენაზე – მდგრადი ქანები.

ზემოთქმულიდან გამომდინარე, საიმედო და დამაჯერებელი დასკვნების მისაღებად საჭიროა საანალიზოდ გვქონდეს არანაკლებ ხუთი წლის მონაცემები (საყრდენი ინტერვალების რაოდგნობა მეტი რომ იყოს 50-ზე) რამდენიმე პორიზონტზე განლაგებული არანაკლებ სამი დახრილობის გამზომი ხელსაწყოთი, რაც მიღებულ შედეგებს უფრო საიმედოს გახდის.

## ლიტერატურა

1. T. Anderson. Statistical analysis of time series. M.: Mir, 1976. (In Russian).
2. J. Box, G. Jenkins. Analysis of time series. M.: Mir, 1974. (In Russian).
3. M.G. Kendall. Time Series – New York: Hefner, 1973. (In Russian).
4. R.L. Kashyap, A.R. Rao. Dynamic Stochastic Models from Empirical Data, 1983. (In Russian).
5. E. Hennan. Analysis of time series. M.: Nauka, 1964. (In Russian).
6. E. Hennan. Multivariate time series. M.: Mir, 1974. (In Russian).

**UDC 519.242**

**SCOPUS CODE 2201**

## RESEARCHING THE TIME OF REACTION OF THE DAM TO THE WATER LEVEL CHANGE IN ENGURI HPS RESERVOIR

- M. Meskhi** Department of Engineering Geodesy and Geoinformatics, Georgian Technical University,  
75 M. Kostava str., 0175 Tbilisi, Georgia  
E-mail: murmanmeskhi@gtu.ge
- S. Piralishvili** Department of Engineering Geodesy and Geoinformatics, Georgian Technical University,  
75 M. Kostava str., 0175 Tbilisi, Georgia  
E-mail: geodezia@gtu.ge
- R. Inadze** Department of Engineering Geodesy and Geoinformatics, Georgian Technical University,  
75 M. Kostava str., 0175 Tbilisi, Georgia  
E-mail: inadzesandro@gtu.ge

### Reviewers:

**M. Kalabegishvili**, Expert of hydrotechnical structures of Engurhesi Ltd, Doctor of Technical Sciences, Professor

E-mail: kalabegishvili@hotmail.com

**A. Kikabidze**, Professor, Department of Engineering Geodesy and Geoinformatics, Faculty of Mining and Geology, GTU

E-mail: a-kikabidze@yahoo.com

**ABSTRACT.** This article discusses the research of dam reaction time to changes in the water level in Enguri HPP reservoir. Presented is the analysis of multiplier models established via discretization of actually existing empirical time series - level of water in reservoir and readings of the inclination measuring devices installed in various places within the dam body and aggregation of the new series with different intervals. The transfer function of time series with identification of input and output processes is obtained. It is noted that output process could be affected by exogenous, i.e. no-feedback factors, as well as other factors, which determine the behavior of output process, its reaction. It is emphasized that as criteria for determining the dam reaction time, applied is not a value of standard error, but rather the minimum value of the sum of squares of residual errors of models - the difference between actual time series terms and the same terms obtained through the model. This article also discusses the value of parameter to be entered into the model during the research of dam reaction delay time to the changes of water level in the reservoir for both – continuous dynamic system and discrete system cases. The probable value of reaction time in various parts of the dam is also established for Enguri HPP. It is recommended to increase representativeness of the time series for the purpose to develop more convincing conclusions.

**KEY WORDS:** aggregation; criteria; dam reaction; discretization; time series.

**UDC 519.242  
SCOPUS CODE 2201**

## **ИССЛЕДОВАНИЕ ВРЕМЕНИ РЕАКЦИИ ПЛОТИНЫ НА ИЗМЕНЕНИЕ УРОВНЯ ВОДЫ ВОДОХРАНИЛИЩА ИНГУРИГЭС**

- Месхи М.А.** Департамент инженерной геодезии и геоинформатики, Грузинский технический университет, Грузия, 0175, Тбилиси, ул. М. Костава, 75  
E-mail: murmanmeskhi@gtu.ge
- Пиралишвили С.Х.** Департамент инженерной геодезии и геоинформатики, Грузинский технический университет, Грузия, 0175, Тбилиси, ул. М. Костава, 75  
E-mail: geodezia@gtu.ge
- Инадзе Р.В.** Департамент инженерной геодезии и геоинформатики, Грузинский технический университет, Грузия, 0175, Тбилиси, ул. М. Костава, 75  
E-mail: inadzesandro@gtu.ge

**Рецензенты:**

- М. Калабегишвили**, эксперт гидротехнических сооружений ООО “Ингурис ГЭС”, доктор технических наук, профессор  
E-mail: kalabegishvili@hotmail.com
- А. Кикабидзе**, профессор Департамента инженерной геодезии и геоинформатики горно-геологического факультета ГТУ  
E-mail: a-kikabidze@yahoo.com

**АННОТАЦИЯ.** Рассмотрен вопрос исследования времени реакции плотины на изменение уровня воды в водохранилище Ингурис ГЭС. Представлены: дискретизирование реально существующих эмпирических временных рядов - уровня воды в водохранилище и установленных в различных местах тела плотины показателей, измеряющих наклон приборов, и анализ новых полученных агрегированием рядов с различными интервалами мультиплексорного типа моделей. Получена передаточная функция временных рядов с идентификацией входных и выходных процессов. Следует отметить, что на выходной процесс могут влиять как экзогенные или без обратной связи, также и другие факторы, которые определяют поведение выходящих процессов, их реакцию. Подчеркнуто, что при определении времени реакции плотины критерием принято не значение стандартной погрешности, а минимальная величина суммы квадратов остаточных ошибок модели - разности между фактическими членами временного ряда и полученными из модели тех же членов. Рассмотрен вопрос времени реакции плотины, при изменении уровня воды в водохранилище, от значения входящего в модель параметра, как в случае непрерывной динамической системы, также и для дискретной системы. В условиях Ингурис ГЭС установлена вероятная величина времени реакции плотины в разных местах. Рекомендовано для получения более правдоподобных выводов увеличение репрезентативности временного ряда.

**КЛЮЧЕВЫЕ СЛОВА:** агрегация; временной ряд; дискретизация; критерий; реакция плотины.

**UDC 621.317.36**

**SCOPUS CODE 2210**

## **DETERMINATION OF NATURAL FREQUENCIES OF CONNECTING RODS AS THE FRAME PARTS OF STAIR CLIMBER MACHINE**

<b>D. Tavkhelidze</b>	Faculty of Agricultural Sciences and Biosystems Engineering, Georgian Technical University, 68 <sup>a</sup> M. Kostava str., 0175 Tbilisi, Georgia E-mail: d.tavkhelidze@gtu.ge
<b>M. Janikashvili</b>	Adviser to the Rector, Georgian Technical University, 77 M. Kostava str., 0175 Tbilisi, Georgia E-mail: mikheiljanikashvili@gmail.com
<b>Z. Mchedlishvili</b>	Department of Industrial Technological Machines and Mechatronics, Georgian Technical University, 68 <sup>a</sup> M. Kostava str., 0175 Tbilisi, Georgia E-mail: z.mchedlishvili@gtu.ge

### **Reviewers:**

- V. Kiria**, Associate Professor, Department of Industrial Technological Machines and Mechatronics, Faculty of Transportation and Mechanical Engineering, GTU  
E-mail: v.kiria@mail.ru
- T. Mchedlishvili**, Professor, Department of Industrial Technological Machines and Mechatronics, Faculty of Transportation and Mechanical Engineering, GTU  
E-mail: t.mchedlishvili@mail.ru

**ABSTRACT.** The given transaction is devoted to the determination of dynamic characteristics of the frame of invented stair climber platform for different purposes, in particular for disabled persons. Dynamic parameters of the device are calculated on the basis of dynamic rigidity method. Since the frame of the stair climber is built by side frames connected by means of bars, due to the heavy type of periodical workload, it is necessary to determine natural frequencies of the connecting rods as parts of the frame of the machine. These bars are assumed as the rods with elastic characteristics. Based on the here offered method the mathematical model is obtained, which gives the opportunity of determination not only the natural frequencies, but the modes of oscillation, as well and as the results of other dynamic parameters of the mechanical system.

**KEY WORDS:** natural frequency; settlement element; stair climbers; stiffness matrix and flexibility matrix.

### **INTRODUCTION**

In order to provide facilities for the disabled persons to overcome different obstacles such as stairs in Georgian Technical University a stair climber with original scheme of frame has been invented. The mentioned mechanical system is depicted in the Fig 1.



**Fig.1. Stair climber**

As shown in the figure, the mechanical system comprises of the frame and different mechanical systems

with actuators and executive mechanisms. As a rule, the given mechanical system works under heavy type of periodical workload. It is well known that mechanical parameters of actuators are sensitively influenced on the dynamic behaviour of the whole mechanical systems. Here one of the main issues is determination of natural frequencies and modes of oscillation of the real schemes of machines, because determination of resonance regimes of work of executive mechanisms is one of the principal matters. Despite the multitude of methods and appropriate computer programs devoted to calculation of dynamic parameters of mechanical systems, it has to be emphasized that all these methods are based on the ideal model that would calculate the dynamic parameters very approximately, which is far from reality. On the basis of the dynamic rigidity method, the procedure of calculation of natural frequencies and modes of complicated mechanisms has been elaborated (see the references) with preliminary estimation of obtaining results in comparison with real systems. It is also necessary to add, that the obtained values of natural frequencies and modes of oscillation can be used for determination of optimum sizes of parts of the stair climber frame. It needs to be emphasized that the given construction of the platform of the stair climber would be used for other purposes such as automatic mountain mowing machine, automatic snow cleaner, etc.

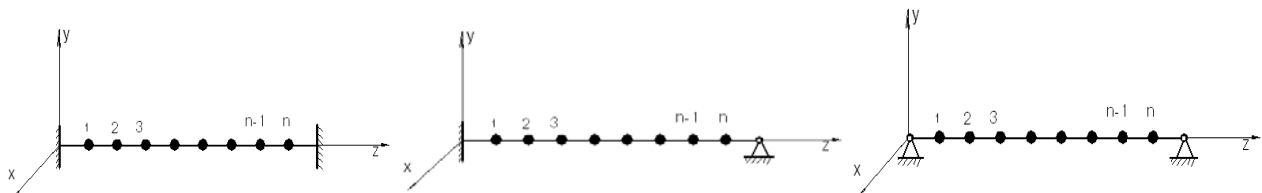
The given mechanical system consists of different types of bars and construction elements with various types of junctions of adjacent links. For the purpose of proper design of multi link mechanical systems it is necessary to determine different dynamic parameters among which calculation of natural frequencies, modes

and strains of connecting rods with different schemes of binding their ends is a sufficiently difficult task.

Here, based on continuation of scientific works performed in the field of dynamic analysis (see the references) the method of determination of natural frequencies of the links as connecting rods is proposed. This method can be used not only in machine building, but also in civil engineering during calculations for different constructions.

## MAIN PART

Consider the connecting rod with constant or changed cross sections, which is fixed by its ends by different types of cinematic pairs and has infinite degree of freedom. It is well known that determination of exact value of dynamic parameters of such structures is extremely sophisticated, for which, various approximate methods are widely utilized. In our case, the connecting rod, as the part of mechanical system, with infinite degree of freedom would be replaced by the elements with limited degree of freedom. The design model for simulation of such systems can be studied as  $n$  number of lumped masses connected by non-inertial elastic sections of rods, where the masses are located at the ends of these sections. The examples of different types of junctions of ends of connecting rods are given in Fig. 2, where the lumped masses are numbered from 1 to  $n$ , however the non-inertial sectors are numbered from 1 to  $n-1$ . In order to obtain the system's equations of motion, it is necessary to draw up the equation of motion of each mass and equation of deformation of each non-inertial sector.



**Fig. 2. Different types of junctions of ends of connecting rods.**

- a. Connecting rod rigidly fastened with both ends;
- b. Connecting rod rigidly fastened with one end and hinge-rested with second end;
- c. Hinge-rested with both ends.

A separate section of the rod placed between K and (K+1) masses represents a bar working for spatial bending. Fig. 3 shows such section subjected to bending in XZ and YZ inter-perpendicular planes.

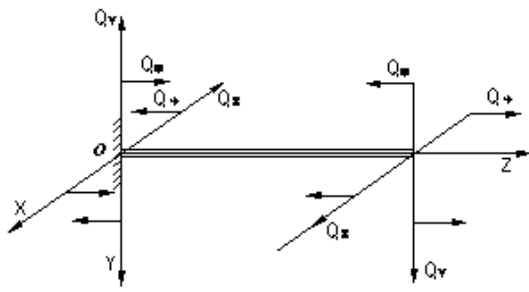


Fig. 3. View of separate section with forces and moments acting on its ends

When we consider the problem on bending of the mentioned section which is rigidly fastened with the left end and loaded with forces and moments on the ends, for XOZ plane we have:

$$\left. \begin{aligned} x &= \frac{l^3}{3EI} Q_x + \frac{l^2}{2EI} Q_\psi \\ \psi &= \frac{l^2}{2EI} Q_x + \frac{l}{EI} Q_\psi \end{aligned} \right\} \quad (1)$$

$$\left. \begin{aligned} Q_x &= \frac{12EI}{l^3} x - \frac{6EI}{l^2} \psi \\ Q_\psi &= -\frac{6EI}{l^2} x + \frac{4EI}{l} \psi \end{aligned} \right\}$$

and for YOZ plane we have:

$$\left. \begin{aligned} y &= \frac{l^3}{3EI} Q_y - \frac{l^2}{2EI} Q_\phi \\ \phi &= -\frac{l^2}{2EI} Q_y + \frac{l}{EI} Q_\phi \end{aligned} \right\} \quad (2)$$

$$\left. \begin{aligned} Q_y &= \frac{12EI}{l^3} y - \frac{6EI}{l^2} \phi \\ Q_\phi &= -\frac{6EI}{l^2} y + \frac{4EI}{l} \phi \end{aligned} \right\}$$

Basing on these formulas we can write equations connecting generalized forces applied to section ends (K, K+1) and their respective generalized displacements:

$$\left. \begin{aligned} -Q_{2k} &= Cq_k + B_1 q_{k+1} \\ Q_\phi &= B_2 q_k + D q_{k+1} \end{aligned} \right\} \quad (3)$$

Minus sign in the first formula means that according to

the accepted law of signs only  $(-Q_{2k})$  and  $(-Q_{2k+1})$  corresponds to displacements  $q_k$  and  $q_{k+1}$ .

$B_1$ ;  $B_2$ ;  $C$ ;  $D$ ; matrices represent fourth order rigidity matrices and in order to determine them we take  $q_k = 0$ , i.e., section deformation in case it is fastened with the left end. For this case  $Q_{2k+1}$  forces are determined with the formula:

$$\left. \begin{array}{l} \left. \begin{array}{l} Q_{x,2k+1} \\ Q_{y,2k+1} \\ Q_{z,2k+1} \\ Q_{\phi,2k+1} \end{array} \right\} = \begin{array}{cccc} \frac{12EI}{l^3} & -\frac{6EI}{l^2} & 0 & 0 \\ -\frac{6EI}{l^2} & \frac{4EI}{l} & 0 & 0 \\ 0 & 0 & \frac{12EI}{l^3} & \frac{6EI}{l^2} \\ 0 & 0 & \frac{6EI}{l^2} & \frac{4EI}{l} \end{array} \times \begin{array}{l} x_{k+1} \\ y_{k+1} \\ z_{k+1} \\ \varphi_{k+1} \end{array} \end{array} \right\} \quad (4)$$

The  $-Q_{2k}$  forces, which are equal to rigid fastening reactions, would be derived from the following equilibrium equations:

$$\begin{aligned} -Q_{x,2k} &= Q_{x,2k+1} \\ -Q_{y,2k} &= Q_{y,2k+1} \\ -Q_{z,2k} &= Q_{z,2k+1} - l Q_{x,2k+1} \\ -Q_{\phi,2k} &= Q_{\phi,2k+1} - l Q_{y,2k+1} \end{aligned} \quad (5)$$

Substituting (4) into (5) we get:

$$-Q_{2k} = B_1 q_{k+1}; \quad -Q_{2k+1} = D q_{k+1};$$

where:

$$B_1 = \begin{vmatrix} -\frac{12EI}{l^3} & \frac{6EI}{l^2} & 0 & 0 \\ -\frac{6EI}{l^2} & \frac{2EI}{l} & 0 & 0 \\ 0 & 0 & -\frac{12EI}{l^3} & -\frac{6EI}{l^2} \\ 0 & 0 & \frac{6EI}{l^2} & \frac{2EI}{l} \end{vmatrix}$$

$$D = \begin{vmatrix} -\frac{12EI}{l^3} & \frac{6EI}{l^2} & 0 & 0 \\ -\frac{6EI}{l^2} & \frac{4EI}{l} & 0 & 0 \\ 0 & 0 & -\frac{12EI}{l^3} & -\frac{6EI}{l^2} \\ 0 & 0 & \frac{6EI}{l^2} & \frac{4EI}{l} \end{vmatrix}$$

Similarly, if we assume that right end of rod is fastened we get matrices:

$$B_2 = B_l^T = \begin{vmatrix} -\frac{12EI}{l^3} & -\frac{6EI}{l^2} & 0 & 0 \\ \frac{6EI}{l^2} & \frac{2EI}{l} & 0 & 0 \\ 0 & 0 & -\frac{12EI}{l^3} & \frac{6EI}{l^2} \\ 0 & 0 & -\frac{6EI}{l^2} & \frac{2EI}{l} \end{vmatrix}$$

$$\begin{aligned} (C + H_2 + D')q_2 + Bq_3 &= 0 \\ B^T q_2 + (C + H_3 + D)q_3 + Bq_4 &= 0 \end{aligned} \quad (9)$$

$$\begin{aligned} B^T q_3 + (C + H_4 + D)q_4 + Bq_5 &= 0 \\ B^T q_4 + (C + H_5 + D)q_5 + Bq_6 &= 0 \\ B^T q_6 + (C + H_7 + D)q_7 + Bq_8 &= 0 \\ B^T q_7 + (C + H_8 + D)q_8 + Bq_9 &= 0 \end{aligned}$$

$$B^T q_8 + (C' + H_9 + D)q_9 = 0 \quad (10)$$

$$B^T q_{k-1} + (C + H_k + D)q_k + Bq_{k+1} = 0$$

where:

$$\begin{vmatrix} Q_{x,2k+1} \\ Q_{\psi,2k+1} \\ Q_{y,2k+1} \\ Q_{\phi,2k+1} \end{vmatrix} = \begin{vmatrix} -\frac{3EI}{l^3} & -\frac{3EI}{l^2} & 0 & 0 \\ \frac{3EI}{l^2} & \frac{3EI}{l} & 0 & 0 \\ 0 & 0 & -\frac{3EI}{l^3} & \frac{3EI}{l^2} \\ 0 & 0 & -\frac{3EI}{l^2} & \frac{3EI}{l} \end{vmatrix} \times \begin{vmatrix} x_{k+1} \\ \Psi_{k+1} \\ y_{k+1} \\ \Phi_{k+1} \end{vmatrix}$$

$$C = \begin{vmatrix} \frac{12EI}{l^3} & \frac{6EI}{l^2} & 0 & 0 \\ \frac{6EI}{l^2} & \frac{4EI}{l} & 0 & 0 \\ 0 & 0 & -\frac{12EI}{l^3} & \frac{6EI}{l^2} \\ 0 & 0 & \frac{6EI}{l^2} & -\frac{4EI}{l} \end{vmatrix}$$

In order to establish closed system of equation we just have to write equilibrium equations of lumped masses for amplitude states:

$$\begin{aligned} Q_{x,2k-1} - Q_{x,2k-2} &= -m_k x \omega^2 \\ Q_{\psi,2k-1} - Q_{\psi,2k-2} &= 0 \\ Q_{\phi,2k-1} - Q_{\phi,2k-2} &= 0 \\ Q_{y,2k-1} - Q_{y,2k-2} &= -m_k y \omega^2 \end{aligned} \quad (6)$$

here  $\omega$  is natural frequency. The equation (6) can be represented in form of matrix:

$$Q_{2k} - Q_{2k-1} = H_k q_k \quad (7)$$

where

$$H_k = \begin{vmatrix} -m\omega^2 & 0 & 0 & 0 \\ 0 & 0 & 0 & 0 \\ 0 & 0 & -m\omega^2 & 0 \\ 0 & 0 & 0 & 0 \end{vmatrix} \quad (8)$$

Matrix (8) is the stability matrix of lumped mass. If from equation (7) we exclude internal forces by the use of equation (1) and if we take into consideration the conditions of rigid fastening in the beginning and end of rod, in one case, and hinged fastening, in the other case, we have the systems of the following equations:

$$D' = \begin{vmatrix} \frac{3EI}{l^3} & -\frac{3EI}{l^2} & 0 & 0 \\ \frac{3EI}{l^2} & \frac{3EI}{l} & 0 & 0 \\ 0 & 0 & -\frac{3EI}{l^3} & \frac{3EI}{l^2} \\ 0 & 0 & -\frac{3EI}{l^2} & \frac{3EI}{l} \end{vmatrix}$$

$$C' = \begin{vmatrix} \frac{3EI}{l^3} & \frac{3EI}{l^2} & 0 & 0 \\ \frac{3EI}{l^2} & \frac{3EI}{l} & 0 & 0 \\ 0 & 0 & -\frac{3EI}{l^3} & \frac{3EI}{l^2} \\ 0 & 0 & \frac{3EI}{l^2} & -\frac{3EI}{l} \end{vmatrix}$$

$q_2, q_3, \dots, q_9$  columns of  $(n-2)$  unknowns enter into  $(n-2)$  matrix equation system. If the determinant of the given equations system is equal to zero we get frequency equation from which we determine all values  $\omega = \omega_1$  of natural frequency while if by substituting these frequencies we find non-zero solutions of equations we shall determine the respective  $\omega_1$  natural forms.

$$N = \det = \begin{pmatrix} H_{[2]} & B \\ B^T & H_{[3]} & B \\ & B^T & H_{[4]} & B \\ & & & B^T & H_{[9]} \end{pmatrix} = 0 \quad (11)$$

For calculation example the following physical data are given:

Overall dimensions of connecting rod are:

Length – L=90 cm; Cross-section diameter – d=1.5 cm.

Mechanical characteristics of connecting rod cross-section are:

Material flexibility module – E=2000000 kg/cm<sup>2</sup>; Cross-section inertial moment – I=0.248 cm<sup>4</sup>; Design sections length – l=10 cm; Lumped mass value – 0.0138 kg,

After introducing these values into common matrix of dynamic rigidity coefficients by METLAB software the graphs of d (H) against  $\omega$  are drawn and the values of natural frequencies are received for three different fastening cases, which are: rigidly fastened with both ends (Fig. 5); rigidly fastened with one end and hinge-rested with second end (Fig. 6) and hinge-rested with both ends (Fig. 7). Here on the diagrams the values of natural frequencies are determined by splashed parts of the curves.

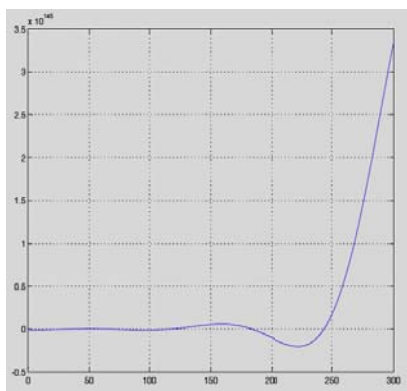


Fig. 5

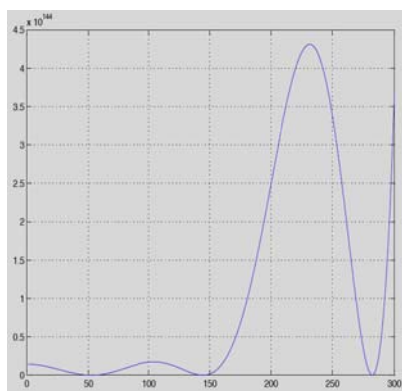


Fig. 6

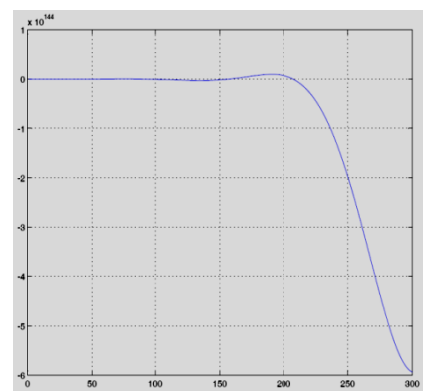


Fig. 7

## CONCLUSION

This article observes the scope of the dynamic rigidity method for calculation of natural frequencies and modes of oscillations of connecting rods as remarkable part of stair climber for disabled persons. The theoretical model is brought to practical results. On the basis of MATLAB

software natural frequencies and modes of connecting rods with different type of fixation of its ends are calculated. Considering the above said, it would be of significant help to researchers in designing sophisticated multilink mechanical systems as well as different constructions of platforms for stair climbers.

## References

1. D. Tavkhelidze. Methods of Research and Calculation of Actuating mechanisms of Manipulating Robots. Tbilisi, 1984. (In Russian).
2. D.Tavkhelidze, Z. Mchedlishvili. To the problem of natural frequencies determination of lever mechanisms with elastic links, Transactions of international conference of the problems of applied mechanical engineering (PAM-2000), Tbilisi, 2000. 8-11.10. (In English).
3. Z. Mchedlishvili, D. Tavkhelidze, S. Bliadze. Determination of natural frequencies of curved rod as the link of mechanical chain. Transactions of international conference. The problems of continuum mechanics, GTU, Tbilisi, 2007. (In English).

**UDC 621.317.36**  
**SCOPUS CODE 2210**

**პიბემაგალი მანქანის კორაცხის შემამრთებალი ღეროვების საპუთარი  
სიხშირების განსაზღვრა**

- დ. თავხელიძე** აგრარული მეცნიერებებისა და ბიოსისტემების ინჟინერიის ფაკულტეტი,  
საქართველოს ტექნიკური უნივერსიტეტი, საქართველო, 0175, თბილისი, მ.  
კოსტავას 68<sup>ა</sup>  
E-mail: d.tavkhelidze@gtu.ge
- მ. ჯანიქაშვილი** რექტორის მრჩეველი, საქართველოს ტექნიკური უნივერსიტეტი, საქართველო  
0175, თბილისი, მ. კოსტავას 77  
E-mail: mikheiljanikashvili@gmail.com
- ზ. მჭედლიშვილი** საწარმოო ტექნოლოგიური მანქანებისა და მექატრონიკის დეპარტამენტი,  
საქართველოს ტექნიკური უნივერსიტეტი, საქართველო, 0175, თბილისი, მ.  
კოსტავას 68<sup>ა</sup>  
E-mail: z.mchedlishvili@gtu.ge

**რეცენზენტები:**

**ვ. ქირია,** სტუ-ის სატრანსპორტო და მანქანათმშენებლობის ფაკულტეტის საწარმოო ტექნოლო-  
გიური მანქანებისა და მექატრონიკის დეპარტამენტის ასოცირებული პროფესორი

E-mail: v.kiria@mail.ru

**თ. მჭედლიშვილი,** სტუ-ის სატრანსპორტო და მანქანათმშენებლობის ფაკულტეტის საწარმოო  
ტექნოლოგიური მანქანებისა და მექატრონიკის დეპარტამენტის პროფესორი

E-mail: t.mchedlishvili@mail.ru

**ანოთაცია:** განხილულია კიბემავლის კონსტრუქციის დინამიკური პარამეტრების განსაზღვრის  
მეთოდოლოგია, რისთვისაც გამოყენებულ იქნა დინამიკური სიხისტის მეთოდი. ნაშრომში შე-  
მოთავაზებულია დეროების როგორც დანადგარის მეტალოგონსტრუქციის შემადგენელი ნაწილების  
საკუთარი სიხშირეების გაანგარიშება. ამოცანის ამოხსნისას გათვალისწინებულია დეროების  
დრეკადი მახასიათებლები. მეთოდი იძლევა არა მარტო სიხისტის საკუთარი სიხშირეების გაანგა-  
რიშების საშუალებას, არამედ საკუთარი ფორმებისა და სხვა დინამიკური მახასიათებლების  
განსაზღვრას.

**საპგანძო სიტყვები:** ბერკეტული მექანიზმები; დინამიკური სიხისტის მეთოდი; დინამიკური  
მახასიათებლები; კიბემავლი; საკუთარი სიხშირეები; დეროების დრეკადობის მახასიათებლები.

**UDC 621.317.36  
SCOPUS CODE 2210**

## **ОПРЕДЕЛЕНИЕ СОБСТВЕННЫХ ЧАСТОТ СОЕДИНЯЮЩИХ СТЕРЖНЕЙ КОРПУСА ЛЕСТНИЦАХОДОВОЙ МАШИНЫ**

- Тавхелидзе Д.Д.** Факультет аграрных наук и инженерии биосистем, Грузинский технический университет, Грузия, 0175, Тбилиси, ул. М. Костава 68<sup>a</sup>  
E-mail: d.tavkhelidze@gtu.ge
- Джаникашвили М.В.** советник ректора, Грузинский технический университет, Грузия, 0175, Тбилиси, ул. М. Костава 77  
E-mail: mikheiljanikashvili@gmail.com
- Мchedlishvili З.Т.** Департамент производственно-технологических машин и мехатроники, Грузинский технический университет, Грузия, 0175, Тбилиси, ул. М. Костава 68<sup>a</sup>  
E-mail: z.mchedlishvili@gtu.ge

**Рецензенты:**

**В. Кириа,** ассоц. профессор Департамента производственно-технологических машин и мехатроники факультета транспорта и машиностроения ГТУ  
E-mail: v.kiria@mail.ru

**Т. Мchedlishvili,** профессор Департамента производственно-технологических машин и мехатроники факультета транспорта и машиностроения ГТУ  
E-mail: t.mchedlishvili@mail.ru

**АННОТАЦИЯ.** Рассмотрена технология определения динамических параметров конструкции лестницаходовой машины, для этого был использован метод динамической жесткости.

В работе предложена методология определения стержней, частей металлоконструкции установки.

При решении задачи были предусмотрены упругие характеристики стержней. Метод дает возможность не только рассчитать собственные частоты системы, но также собственные формы и другие динамические показатели.

**КЛЮЧЕВЫЕ СЛОВА:** динамические показатели; лестницаход; метод динамической жесткости; рычажные механизмы; собственные частоты; характеристики упругости стержней.

**UDC 621.733.548 : 521.974.82****SCOPUS CODE 2210****რადიალურ-საჭედი მანქანის ტექნოლოგიური შესაძლებლობები**

- მ. ბააკაშვილ-ანთელავა** მეტალურგიის, მასალათმცოდნეობისა და ლითონების დამუშავების დეპარტამენტი, საქართველოს ტექნიკური უნივერსიტეტი, საქართველო, 0175, თბილისი, მ. კოსტავას 69  
E-mail: mamukabaakashvili@telava@gmail.com
- ს. მებონია** მეტალურგიის, მასალათმცოდნეობისა და ლითონების დამუშავების დეპარტამენტი, საქართველოს ტექნიკური უნივერსიტეტი, საქართველო, 0175, თბილისი, მ. კოსტავას 69  
E-mail: meboniaslava@mail.ru

**რეცენზენტები:**

**ზ. ლომსაძე,** სტუ-ის ქიმიური ტექნოლოგიისა და მეტალურგიის ფაკულტეტის მეტალურგიის, მასალათმცოდნეობისა და ლითონების დამუშავების დეპარტამენტის პროფესორი

E-mail: z.lomsadze@gtu.ge

**ს. იაშვილი,** რ. დვალის მანქანათა მექანიკის ინსტიტუტის მეცნიერი თანამშრომელი, აკადემიური დოქტორი

E-mail: sulxaniashvili@yahoo.com

**შესავალი**

**ანოთაცია:** განხილულია რადიალურ-საჭედი მანქანების გამოყენების სფეროები. ნაჩვენებია, რომ რადიალური ჭედვის მეთოდი გამოიყენება მანქანათმშენებლობაში როგორი ფორმის დერმსი-მეტრიული დეტალების დამუშავებისას, რომელთა დამზადება ლითონსაჭრელ ჩარხებზე არაეკონომიურია და დაკავშირებულია ლითონის მნიშვნელოვან დანაკარგთან ბურბულების სახით. ამ მეთოდს იყენებენ ასევე მეტალურგიაში, კერძოდ მილების ცივად გლინვის სამქროებში, მილნამზადების ადიდვის პროცესის მომზადებისათვის.

**საკვანძო სიტყვები:** რადიალური ჭედვა; რადიალურ-საჭედი მანქანა; დერმსიმეტრიული დუალი.

რადიალურ-საჭედ მანქანებზე ლითონების პლასტიკური დეფორმირების მეთოდის ფართო გამოყენება მნიშვნელოვანი პროგრესია ლითონების დამუშავების დარგში. რადიალური ჭედვის მეთოდი უზრუნველყოფს ლითონის ნაკეთობათა მაღალ სიზუსტეს, გამოირჩევა დიდი მწარმოებლურობით და ლითონის საგრძნობი ეკონომიკა.

**ძირითადი ნაწილი**

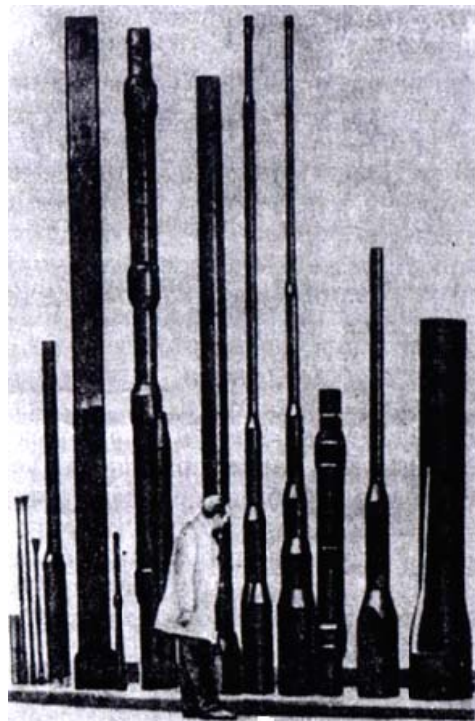
რადიალური ჭედვის მეთოდის გამოყენება განსაკუთრებით ხელსაყრელია მანქანათმშენებლობაში, კერძოდ ავტოტრაქტორმშენებლობაში, სანავთობე დანადგარების მშენებლობაში და მრავალ სხვა დარგში, როგორი ფორმის ზომა-გრძელი დერმსიმეტრიული დეტალების დამუშა-

ვებისათვის. ასეთ დეტალებს მიეკუთვნება საფეხურებიანი ლილვები და ღერძები, კონუსური და შლიცებიანი (დარქებიანი) დეტალები. შეგა ზედაპირის რთული კონფიგურაციით გამოირჩევა ზომაგრძელი ღერძების მრავალრიცხვანი ჯგუფი (ნახ.1), რომელთა შორის შეიძლება გამოვყოთ ღერძების მრავალრიცხვანი ჯგუფი (ნახ.1), რომელთა შორის შეიძლება გამოვყოთ ღერძების მრავალრიცხვანი ჯგუფი (ნახ.1), რომელთა შორის შეიძლება გამოვყოთ გარდამავალი მილისები, ნიპელები და საფეხურებიანი ქუროები; სიმტკიცეები დეტალები მუდმივი განივევთის შიგა პროფილით, რომელთა ტიპი დეტალებია შლიციანი მილისები, ექს-წახნაგა და კვადრატულნახვრეტებიანი მილისები; ღერძების მრავალრიცხვით დეტალები შიგაკუთხებილიანი ან შიგასპირალურშლიცებიანი [1-3].

აღნიშნული დეტალების დამზადება მექანიკური დამუშავებით ლითონ-საჭრელ ჩარხებზე შრომატევადი და არაეგონომიურია, ვინაიდან ჭრით დამუშავების პროცესებს ახასიათებს ლითონის გამოყენების კოეფიციენტის შედარებით დაბალი მნიშვნელობა, რაც დაკავშირებულია ლითონის დანაკარგებთან ბურბულების სახით [4].

რადიალური ჭედვის მეთოდი, რომელიც მეტად ეფექტურია ზომაგრძელი ღერძებისთვის უზრუნველყოფს ლითონის გამოყენების კოეფიციენტის მკვეთრ ზრდას, ნამზადების ჭედვის ტექნოლოგიური პროცესების სრულ მექანიზაციასა და ავტომატიზაციას, აგრეთვე შრომატევადობის შემცირებას. ამასთან, რადიალური ჭედვით მიღებულ ნაკეთობებს ახასიათებს ზომების და ზედაპირის სისუფთავის მაღალი სიზუსტე. ცხლად რადიალური ჭედვის შედეგად მიღებული დეტალების სიზუსტე მე-4, მე-5 კლასისაა, ხოლო სიმქისე – მე-6, მე-6 კლასის. ციფრ დამუშავებისას სიზუსტის მაჩვენებელი უფრო მაღალია – მე-2, მე-3 კლასის, შესაბამისად ზედაპირის სისუფთავე უახლოვდება მე-9, მე-10 კლასს. ასეთი ხარისხობის მაჩვენებლები დამახასიათებელია სახარატოვის შემცირებლებისათვის.

დამუშავების პროცესისათვის. მაშასადამე, რადიალური ჭედვის მეთოდი საშუალებას იძლევა ლითონური ნაკეთობა მიზიდოთ საბოლოო სახით.



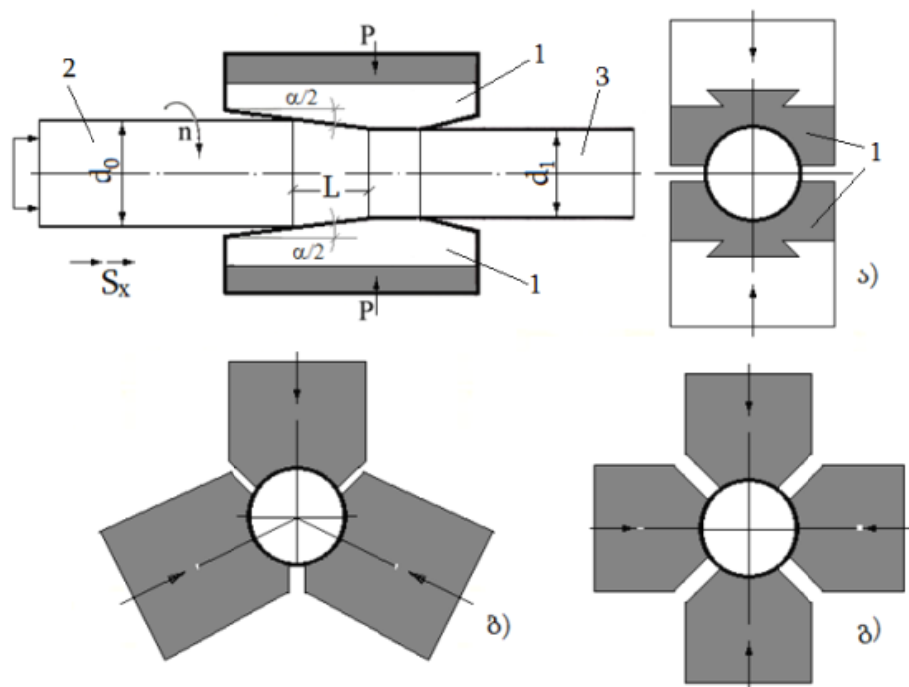
ნახ.1. რადიალური ჭედვის მეთოდი  
დამზადებული დეტალები

გარდა აღნიშნულისა, რადიალური ჭედვის მეთოდი უზრუნველყოფს ლითონის სტრუქტურისა და მექანიკური თვისებების გაუმჯობესებას. დატვირთვის პულსაციური ხასიათი, რომელიც დამახასიათებელია რადიალური ჭედვისათვის,

უზრუნველყოფს ლითონის პლასტიკურობის რესურსის სრულ გამოყენებას, მაღვიორმირებელი ძალების შემცირებას, რაც საშუალებას გვაძლევს ვაწარმოოთ დეტალები დაბალი პლასტიკურობის მქონე მნელად დეფორმირებადი ლეგირებული ფოლადებისა და შენადნობებისაგან.

რადიალური ჭედვის პროცესი მდგომარეობს ნამზადის დეფორმირებაში მისი სიგრძის შედა-

რებით მცირე უბანზე მაღვიორმირებელი ინსტრუმენტის – საცემლების პერიოდული დარტყმებით (საცემლების დარტყმების სიხშირე, მანქანის ტიპთომიდან გამომდინარე, მერყეობს ფართო ფარგლებში – 400-დან 2000-მდე). მაღვიორმირებელი ძალა მიმართულია ნამზადის რადიუსის გასწვრივ, ამასთან ლითონზე ზემოქმედება ხდება რამდენიმე მხრიდან (ნახ.2).

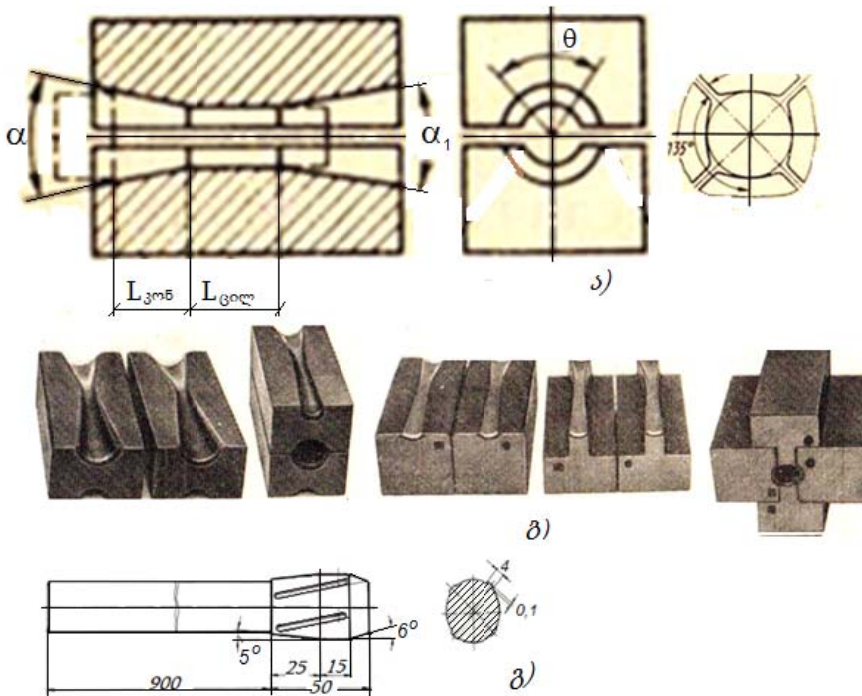


ნახ. 2. რადიალური ჭედვის პროცესის სქემა  
ა - ჭედვა ორი საცემლით; ბ - ჭედვა სამი საცემლით;  
გ - ჭედვა ოთხი საცემლით. 1. საცემლები; 2. ნამზადი; 3. ნაჭედი

რადიალური ჭედვის პროცესში გამოიყენება მარტივი ფორმის ინსტრუმენტი, რომლის დამზადება არ მოითხოვს დიდ დანახარჯს, რაც უსათუოდ კიდევ უფრო ზრდის ამ მეთოდის უპირატესობას ლითონების წევით დამუშავების სხვა მეთოდებთან შედარებით. მე-3 ნახ-ზე მოცემულია რადიალურ-საჭედი მანქანების ძირითადი ინსტრუმენტი: საცემლები და სამართული [4].

რადიალური ჭედვის პროცესი წარმოებს სხვადასხვა კონსტრუქციის რადიალურ-საჭედ მანქანებზე. არსებობს რადიალურ-საჭედი მანქანების სამი ჯგუფი [5]: 1) გორგოლაჭიანი; 2) ბერკეტული; 3) ბარბაციანი.

გორგოლაჭიანი მანქანები კონსტრუქციულად ძალიან მიახლოებულია როტაციულ-საჭედ მანქანებთან.



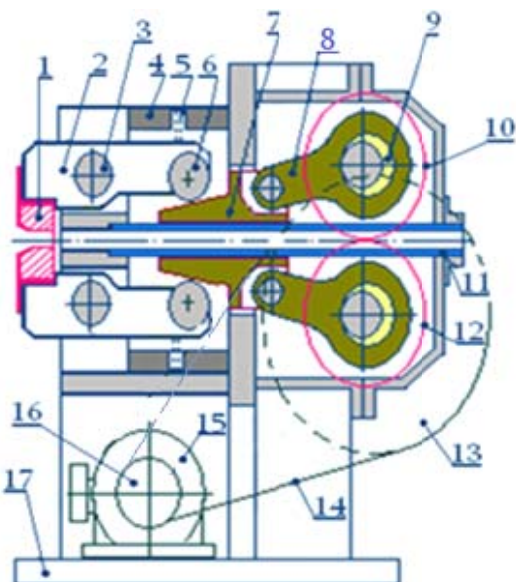
ნახ.3. რადიალური საჭედი მანქანების ინსტრუმენტი:  
ა - საცემლების სქემა; ბ - საცემლების ფოტო; გ - სამართული

ბერკეტულ მანქანებში საცემლებს მოძრაობა გადაეცემა ბერკეტების მეშვეობით. ბერკეტები კინემატიკურ კავშირშია ექსცენტრულ ლილვთან, რომელიც მოძრაობას გადასცემს ბერკეტებს, რომლებზეც საცემლებია დამაგრებული.

ბარბაციან მანქანებს რამდენიმე სამჭედლო მექანიზმი აქვს, რომლებიც განლაგებულია რადიალურად მანქანის ღერძის მიმართ, ასევე ოთხი საცემლი (1), რომლებიც მოქმედებაში მოდის მრუდმხარა-ბარბაცია მექანიზმებით. დამუშავების პროცესში ნამზადი განიცდის ძალოვან ზემოქმედებას ოთხივე მხრიდან, რადიალური მიმართულებით.

ყველაზე მარტივი და დასამზადებლად ხელსა-კრელია ბერკეტული რადიალურ-საჭედი მანქანები.

მე-4 ნახაზზე წარმოდგენილია სოლურ-ბერკეტული ტიპის რადიალურ-საჭედი მანქანის [6-8] კონსტრუქციის სქემა.



ნახ.4. სოლურ-ბერკეტული ტიპის მანქანის სქემა

მანქანა შეიცავს კორპუსს (4), რომლის ღერძებზე (3) დაყენებულია ორმხრივი ბერკეტები (2) (ხულ მანქანას აქვს ოთხი ბერკეტი – საცემლები).

ბით), რომელთა ერთ ბოლოზე დამაგრებულია საცემლები (1), მეორეზე – გორგოლაჭები (6). ბერკეტების ამავე მსარეს მოქმედებს ზამბარა (5), რომელიც უზრუნველყოფს გორგოლაჭის მუდმივ მიჭერას სოლური ცოციას (7) ზედაპირთან. ცოცია მოძრაობს ცილინდრულ მიმმართველზე (11), მოძრაობაში მოღის ბარბაცების (8), ექსცენტრული ლილვების (9) (მრუდმხარა) და შეკომენებულის (13) მეშვეობით. შეკომენებარა დვედური გადაცემით (14) უერთდება წამყვან შკივს (16), რომელიც დამაგრებულია ელექტროძრავაზე (15).

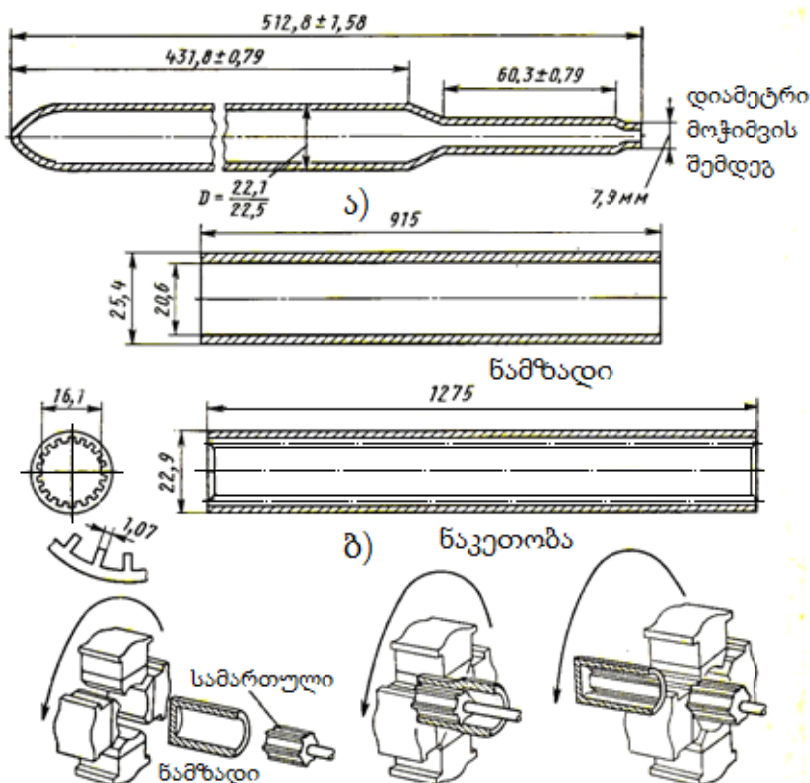
მანქანა მუშაობს შემდეგი პრინციპით: ელექტროძრავას, შკივის, დვედური გადაცემის, შეკომენებარას მეშვეობით ბრუნვაში მოღის ექსცენტრიკები, რომელიც ბარბაცების გამოყენებით უპარვევით-წინსვლით მოძრაობას ანიჭებს სო-

ლურ ცოციას. ამ უკანასკნელს მოჰყავს საცემლებიანი ბერკეტები რხევით მოძრაობაში. საცემლი მოქმედებს ნამზადზე და ახდენს ლითონის პლასტიკურ დეფორმაციას.

მანქანას ახასიათებს ფუნქციონირების მაღალი საიმედოობა, შემაღგენელი ელემენტების ხანგრძლივობა, მდოვრე მუშაობა და დაბალი ხმაური, რაც მანქანის კონსტრუქციული სქემითად განპირობებული.

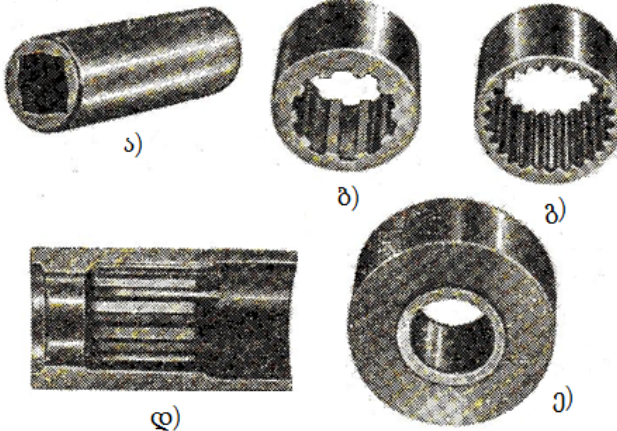
რადიალურ-საჭედი მანქანები, ტექნოლოგიური შესაძლებლობებიდან გამომდინარე, ფართოდ გამოიყენება მანქანათმშენებლობაში. აღნიშნულის საილუსტრაციოდ ქვემოთ მოგვყავს სხვადასხვა სპეციფიკური დეტალების ესკიზები, რომლებიც რადიალური ჭედვითაა მიღებული:

ა) როტაციული ჭედვით მიღებული ნაკეთობები

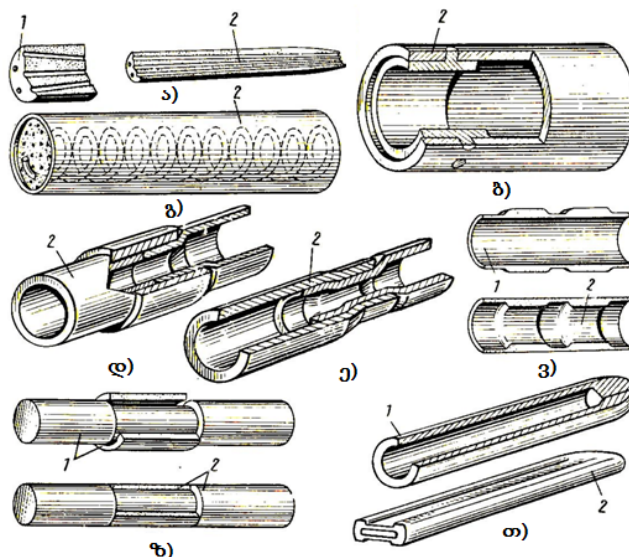


ა) თერმორეგულატორის კოლბა; ბ) - თბოგადამცემის მილი

ბ) რთული კონფიგურაციის შიგაზედაპირიანი დეტალები



ა - ოსცილატორის კორპუსი; ბ, გ - შლიციანი ქუროები; დ - კარდანის ლილვის შლიცები; ე - მიტკეცილი ნაკეთობა



ა - აირით შედებების აპარატების ბუნიკი; ბ - ბიმეტალური მილისა; გ - გამათბობელი ელემენტი; დ, ე - მილისების შეერთებები; ვ - რთული კონფიგურაციის შიგაზედაპირიანი მილისა; ზ - მილის მიტკეცა; თ - რთული ფორმის დეტალი, მილებული მარტივი ფორმის ნამზადიდან

### დასკვნა

რადიალურ-საჭედ მანქანებზე მიიღება მანქანათმშენებლობაში გამოყენებული რთული ფორმის დერძსიმეტრიული დეტალების ფართო ნომენკლატურა. რადიალური ჭედვით მიღებულ ნაკეთობებს ახასიათებს ზომების მაღალი სიზუსტე და ზედაპირის სისუფთავე.

რადიალური ჭედვის მეთოდი, რომელიც მეტად გვექმნავია ზომაგრძელი დერძსიმეტრიული დეტალების დამუშავებისთვის, უზრუნველყოფს ლითონის გამოყენების კოფიციენტის ამაღლებას და ლითონის ეკონომიას.

## ლიტერატურა

1. V. Tyurin, V. Lazorkin, I. Pospelov, H. Flakhovsky. Forging on the radial-blooming machines. M.: Mashinostr., 1990, pp.3-31. (In Rashen).
2. V. Devyatov. Low-waste technology of processing of metals pressure. M.: Mashinostr., 1986.- 171 p. (In Rashen).
3. E. Savinov. Technological and design features of radial-blooming machines and prospect of their development. KShP, No. 10,1981.S.61-64. (In Rashen).
4. Yu. Radyuchenko. Rotational forging. M.: Mashinostr., 1972.- 148 p. (In Rashen).
5. Yu. Radyuchenko. Rotational forging, processing of details on rotation and radial- blooming machines. M.: Mashgiz, 1962.- 187 p. (In Rashen).
6. S. Mebonia, S. Katamadze, M. Mikautadze. Machines for radial forging of lengthy products. Theory and practice of metallurgy, №. 1-2, Dnepropetrovsk, 2009, pp.143-145. (In Rashen).
7. S. Mebonia, T. Natriashvili, M. Mikautadze. Development of devices for radial forging of lengthy axis symmetric products with complex configuration of inner surface. Tr. "Treatment metals by pressure", №.2 (27), Kramatorsk, 2011, Ukraine, pp.121-125. (In Rashen).
8. S. Mebonia, D. Nizharadze, P. Mshvildadze. The radial-blooming machine for receiving of lengthy axis symmetric products. Works of scientific-technical conference. Israel, 1912, pp. 43-45. (In Rashen).

**UDC 621.733.548 : 521.974.82**

**SCOPUS CODE 2210**

## TECNOLOGICAL POSSIBILITIES OF RADIAL - FORGING MACHINES

- M. Baakashvili-Antelava** Department of Metallurgy, Materials Science and Metal Processing, Georgian Technical University, 69 M. Kostava str., 0175 Tbilisi, Georgia  
E-mail: mamukabaakashvili@tutanota.com
- S. Mebonia** Department of Metallurgy, Materials Science and Metal Processing, Georgian Technical University, 69 M. Kostava str., 0175 Tbilisi, Georgia  
E-mail: meboniaslava@mail.ru

### Reviewers:

- Z. Lomsadze**, Professor, Department of Metallurgy, Materials Science and Metals Processing, Faculty of Chemical Technology and Metallurgy, GTU  
E-mail: z.lomsadze@gtu.ge
- S. Iashvili**, Academic Doctor Research Associate at R. Dvali Institute of Machine Mechanics  
E-mail: sulxaniashvili@yahoo.com

**ABSTRACT.** This article discusses the scopes of application of radial-forging machines and shows that the method of radial forging is applied in mechanical engineering to the processing of axis symmetric details with complex shapes, production of which on metal-cutting machines is uneconomical and results in considerable losses of metal on shaving. It is noted that this method is applied in metallurgy as well, specifically in the shops of cold rolling of tubes to forging of tube preparations before drawing.

**KEY WORDS:** axis symmetric details; radial forging; radial-forging machine.

UDC 621.733.548 : 521.974.82

SCOPUS CODE 2210

## ТЕХНОЛОГИЧЕСКИЕ ВОЗМОЖНОСТИ РАДИАЛЬНО-ОБЖИМНЫХ МАШИН

**Баакашвили-Антелава М.В.** Департамент металлургии, материаловедения и обработки металлов, Грузинский технический университет, Грузия, 0175, Тбилиси, ул. М. Костава, 69  
E-mail: mamukabaakashvili@telava@gmail.com

**Мебония С.А.** Департамент металлургии, материаловедения и обработки металлов, Грузинский технический университет, Грузия, 0175, Тбилиси, ул. М. Костава, 69  
E-mail: meboniaslava@mail.ru

### Рецензенты:

**З. Ломсадзе**, профессор Департамента, металлургии, материаловедения и обработки металлов, факультета химической технологии и металлургии ГТУ

E-mail: z.lomsadze@gtu.ge

**С. Иашвили**, научный сотрудник, академич. доктор Института механики машин им. Р. Двали.

E-mail: sulkaniashvili@yahoo.com

**АННОТАЦИЯ.** Рассмотрены сферы применения радиально-ковочных машин. Показано, что метод радиальной ковки применяется в машиностроении для обработки осесимметричных деталей сложной формы, изготовление которых на металлорежущих станках неэкономично и связано со значительными потерями металла на стружку. Отмечено, что этот метод применяется также и в металлургии, в частности, цехах холодной прокатки труб для заковки трубных заготовок перед волочением.

**КЛЮЧЕВЫЕ СЛОВА:** радиальная ковка; радиально-ковочная машина; осесимметричные детали.

**UDC 624:693.54**

**SCOPUS CODE 2501**

## ნაცოდისპერსიული ნატრიუმის სილიკატის კომარზიციურ მჰიდაზე დამზადებული მხურგალმედები გეტონი

- თ. ესაძე** სამოქალაქო და სამრეწველო მშენებლობის ტექნოლოგიისა და საშენი მასალების დეპარტამენტი, საქართველოს ტექნიკური უნივერსიტეტი,  
საქართველო, 0175, თბილისი, მ. კოსტავას 68<sup>ა</sup>  
E-mail: e.tamar@mail.ru
- ხ. ლეჯავა** სამოქალაქო და სამრეწველო მშენებლობის ტექნოლოგიისა და საშენი მასალების დეპარტამენტი, საქართველოს ტექნიკური უნივერსიტეტი,  
საქართველო, 0175, თბილისი, მ. კოსტავას 68<sup>ა</sup>  
E-mail: kh.lejava@gtu.ge

### რეცენზენტები:

**ზ. ქარუმიძე,** სტუ-ის სამშენებლო ფაკულტეტის სამოქალაქო და სამრეწველო მშენებლობის ტექნოლოგიისა და საშენი მასალების დეპარტამენტის აკადემიური დოქტორი

E-mail: zkaramidze@yahoo.com

**ა. ჩიქოვანი,** სტუ-ის სამშენებლო ფაკულტეტის სამოქალაქო და სამრეწველო მშენებლობის ტექნოლოგიისა და საშენი მასალების დეპარტამენტის აკადემიური დოქტორი

E-mail: achikovani@gtu.ge

მხურვალმედეგ ბეტონში მცირდება ტუტეოქსიდის ( $\text{Na}_2\text{O}$ ) ადგილდნობადი შემადგენლის შემცველობა, შესაბამისად იზრდება ბეტონის საექსპლუატაციო თვისებები: თერმული მდგრადობა, გამოყენების ტემპერატურა, კოროზიული მდგრადობა და სხვა.

**საპვანძო სიტყვები:** ელექტროდნობადი კორუნდი; ნაცოდისპერსიული ნატრიუმის პოლისილიკატი; სილიკატური მოდული; ტუტეოქსიდი ( $\text{Na}_2\text{O}$ ).

### შესავალი

მაღალეფექტური ცეცხლგამძლე მასალების, მათ შორის ახალი თაობის მხურვალმედეგი ბე-

ტონების წარმოება შესაძლებელია თანამედროვე სამეცნიერო და მაღალგანვითარებული ტექნოლოგიების ბაზაზე, რაც განაპირობებს პროდუქციის მაღალ ხარისხს, მის კოლორიურ უსაფრთხოებას, ნედლეულის ეფექტურ გამოყენებას და რესურსების ეკონომიას.

ნანოცეცხლგამძლე მასალების წარმოების ერთ-ერთი მაღალგანვითარებული ტექნოლოგია ნანოტექნოლოგიაა, რომელიც ცეცხლგამძლე მასალების წარმოების განვითარების საწყის ეტაპზეა. გამოყოფენ ნანომასალების შემდეგ ტიპებს: ნანოფორმული სტრუქტურები, ნანონაწილაკები, ნანომილაკები, ნანობოჭკოვები, ნანოდისპერსიული (კოლოიდური) ხსნარები, ნანოსტრუქტურული ზედაპირები და ფენები, ნანოკრისტალები და ნანოკლასტერები.

მრავალრიცხოვანი კვლევების შედეგებმა, რომლებიც მიმართულია მხერვალმედეგი ჰქონდისა და ბეტონების მისაღებად ტუტესილიკაზურ სისტემებზე (თევადი მინა, უწყლო სილიკატ-ნატრიუმი, პოლისილიკატები), შესაძლებელი გახადა მხერვალმედეგი კომპოზიციური შემაგრელების შექმნა განსხვავებული ბუნების წვრილდისპერსიული ცეცხლგამძლე შემვსებებით, ნანოდისპერსიული (კოლოიდური) შემპვრელუნით და ნატრიუმის პოლისილიკატით.

ძირითადი განსხვავება პოლისილიკატებს, თხევად მინებსა და მაღალტუტეშემცველ სილიკაზურ სისტემებს შორის მათი პოლიმერული ფორმაა, რომელიც შეიცავს 60% და მეტს პაშმის საერთო რაოდენობიდან, რაც უზრუნველყოფს წარმოქმნილი გელების სტრუქტურების მაღალ სიმტკიცეს.

პოლისილიკატები გამოიჩინება უნიკალური შემაგავშირებელი თვისებებით, რაც მათი ფართო გამოყენების საშუალებას იძლევა სხვადასხვა მიზნობრივი დანიშნულების კომპოზიციებში. პოლისილიკატების გამოყენება მწებავ კომპოზიციებში მასალებს ანიჭებს მაღალ

წელმედეგობას და აუმჯობესებს ცეცხლგამძლე მასალების თერმულ მდგრადობას. მათი გამოყენებით, შესაძლებელი გახდა მხერვალმედეგი კომპოზიციური შემკვრელისა და მის საფუძველზე ბეტონის მიღება.

## ძირითადი ნაწილი

კვლევებში ტუტესილის სილიკატის სახით გამოიყენება უწყლო ნატრიუმის სილიკატი. ნატრიუმის პოლისილიკატი 6–6,5 სილიკატური მოდულით მიღებს უწყლო ნატრიუმის სილიკატისა და სილიციუმის დიოქსიდის ჰიდროზოლის 30%-იანი წყალსნარის ურთიერთქმედებით  $70\text{--}90^{\circ}\text{C}$  ტემპრატურაზე, არაუმეტეს 0,5სთ-ის დაყოვნებისას. ცეცხლგამძლე შემვსებისა და წვრილად დაფქველი დანამატის სახით გამოყენებული იყო ელექტროდნობადი კორუნდი შემდეგი ქიმიური შეგნილობით (%):  $\text{Al}_2\text{O}_3$  - 98,11...98,79;  $\text{SiO}_2$  - 0,13...0,15;  $\text{Fe}_2\text{O}_3$  - 0,58..1,01;  $\text{Na}_2\text{O}$  - 0,27..0,45. მახასიათებლებია: ცეცხლგამძლეობა –  $2050^{\circ}\text{C}$ , წრფივი გაფართოების კოეფიციენტი –  $8\text{--}10 \times 10^{-6}$ , სიმკვრივე –  $3,8\text{--}3,92\text{ g/cm}^3$ . გამოირჩევა ქიმიური მდგრადობით, ინერტულობით და ა.შ. მინერალური შედეგნილობის მიხედვით ელექტროკორუნდი ძირითადად წარმოდგენილია  $\text{Al}_2\text{O}_3$  სახით. ბოქსიტი ნაკლები რკინის შემცველობით კი წარმოადგენს მთის ქანს, რომელიც შეიცავს ალუმინის ჰიდროქსიდის მინერალებს და განკუთვნილია ცეცხლგამძლე ნაკეთობების წარმოებისათვის. ის ხასიათდება შემდეგი ქიმიური შედეგნილობით:  $\text{Al}_2\text{O}_3$  – მასითი წილი არანაკლებ 60-ისა;  $\text{Fe}_2\text{O}_3$  – არაუმეტეს 2,6-ისა;  $\text{TiO}_2$  – არაუმეტეს 4,5-ისა;  $\text{CaO}$  და  $\text{MgO}$  – არაუმეტეს 0,9-ისა;  $\text{Na}_2\text{O}$  და  $\text{K}_2\text{O}$  – არაუმეტეს 0,8-ისა; ტენიანობა – არაუმეტეს 20%-ისა. ნატეხების სიდიდე – 500 მმ-მდე.

კორუნდის ბეტონის ნარევს 80:20 ოპტიმალური პოლიცენტული მასითი შედგენილობით (კორუნდი – შემავსებელი; ნატრიუმის პოლისილი-

კატი – კომპოზიციური შემკვრელი) ამზადებენ შემდეგი თანამიმდევრობით. ჯერ წვრილად დაფქულ ბოქსიტს  $S_{\text{კუ}}=3000 \text{ км}^2/\text{გ}$ -მდე კუთრი ზედაპირით ურევენ ნატრიუმის წყალსნარს მაღალი სიჩქარის ლაბორატორიულ ამრეგში ბოქსიტპლინატრიუმიანი კომპოზიციური შემკვრელის სუსპენზიის მიღებამდე, შემდეგ მიღებულ სუსპენზიაში შეჭყავთ წვრილმარცვლოვანი შემცხე-

ბები და ურევენ 4–5 წუთის განმავლობაში ერთგვაროვანი ბეტონის მასის მიღებამდე. განყალიბებული ნიმუშების გამყარება მიმდინარეობს საშრობ კარადაში  $180\text{--}200^\circ\text{C}$  ტემპერატურაზე.

ნანოდისპერსიული ნატრიუმის პოლისილიკატურ შემკვრელზე დამზადებული კორუნდიანი მხერვალმედეგი ბეტონის ძირითადი თვისებების შედარებითი მაჩვენებლები მოცემულია ცხრილში.

თვისებების მაჩვენებლები	გეტონი	
	სილიკატნატრიუმიან კომპოზიციურ შემკვრელზე	ნანოდისპერსიულ ნატრიუმის პოლისილიკატის კომპოზიციურ შეკვრელზე
გამოყენების მაქსიმალური ტემპერატურა ცალმხრივი გახურებისას ( $^\circ\text{C}$ )	1800	1950
სიმტკიცის ზღვარი კუმულაციისას გამოწვის მაქსიმალურ ტემპერატურაზე (მგპა)	31-37	40-45
სიმკვრივე $200^\circ\text{C}$ გამოშრობის შემდეგ ( $\text{გ/სმ}^2$ )	2,90-2,95	2,95-3
ფორიანობა $200^\circ\text{C}$ გამოშრობის შემდეგ (%)	18-19	16-17
წრფივი ჯდენა მაქსიმალურ ტემპერატურაზე გამოწვის შემდეგ (%)	0,25	+0,20
თბოგამტარობა $1200^\circ\text{C}$ ტემპერატურაზე	1,32	1,1
დეფორმაციის დაწყების საწყისი ტემპერატურა მიტვირთვისას 0,2 მგპა ( $^\circ\text{C}$ )	1680	1840

აქედან გამომდინარე, კომპოზიციურ შემკვრელზე დამზადებულ კორუნდულ მხერვალმედეგ ბეტონს, სილიკატნატრიუმიან კომპოზიციურ შემკვრელზე დამზადებულ ანალოგიური დანიშნულების ბეტონებთან შედარებით, აქვს მნიშვნელოვნად მაღალი თერმოდგრადობის მაჩვენებლები; დეფორმაციების საწყისი ტემპერატურები 0,2 მგპ-ის მიტვირთვისას და ა.შ.

ეს იმით აიხსნება, რომ ნატრიუმის სილიკატის ნაცვლად ნანოდისპერსიული ნატრიუმის პო-

ლისილიკატის შემკვრელზე დამზადებულ მხერვალმედეგ ბეტონში მცირდება ტუტეოქსიდის ( $\text{Na}_2\text{O}$ ) ადგილდნობადი შემადგენლის შემცველება, შესაბამისად იზრდება ბეტონის ცეცხლგამძლეობა. გარდა ამისა, შემკვრელის განმსაზღვრელი თვისებები აქ ხარისხსობრივი და რაოდენობრივი ცვლილებებია, რომელიც ხდება მის შედგენილობაში მაღალი ტემპერატურების მოქმედებისას, რაც დასტურდება კომპოზიციური შემკვრელის რენტგენოსტრუქტურული ანალიზით.

## დასკვნა

ჩატარებული კვლევების საფუძველზე მიღებულია მაღალცეცხლგამძლე ნანოსტრუქტურული კორუნდის მხერვალმედეგი ბეტონი, რომელშიც შემკვრედად გამოყენებულია ნანოსტრუქტურული ნატრიუმის პოლისილიკატი.

ამ კვლევების სამეცნიერო-პრაქტიკული საფუძველია ის, რომ პოლისილიკატის სსნარები, ზოლის ნაწილაკებთან ერთად, შეიცავს მონომერებს, ოლიგომერებს და კარბონიტის პოლიმერულ სახეს სვაობებს, რომლებიც ხელს უწყობს ამ უკანასკნელის მაღალი რეაქციული თვისებების გამოვლენას სხვადასხვა კომპოზიციურ შედგენილობებში. ამიტომ, ნანოდისაქრსიული ნატრიუმის პოლისილიკატის კომპოზიციურ შემ-

კვრელზე დამზადებულ კორუნდული ბეტონის სტრუქტურაში გამამოლიანებელი ახალწარმონაქმნების ფორმირება პრინციპულად განსხვავდება ნატრიუმის სილიკატის შემკვრელი აფსკისგან და ხასიათდება მაღალი წყალმედეგობით, თერმომდგრადობით და გამოყენების მაღალი ტემპრატურით, რაც განპირობებულია ტუტექომპონენტის ( $\text{Na}_2\text{O}$ ) ადგილდნობადი შემადგენლის დაბალი შემცველობით შემკვრელში.

ზემოაღნიშნულიდან გამომდინარე, შეიძლება ვივარაჟდოთ ნანოსტრუქტურული ნატრიუმის პოლისილიკატის როგორც შემკვრელის გამოყენება სხვა მხერვალმედეგი კომპოზიციური შემკვრელების და ბეტონების მისაღებად სხვადასხვა ცეცხლგამძლე ნივთიერებების ბაზაზე.

## ლიტერატურა

1. Y. Tretyakov, M. Fozmat. Nanotechnologies: The alphabet for everyone. 2008, pp. 350-370. (In Russian).
2. A. Tarasova. Heat-resistant matrix on liquid glass and concretes on its base. M., pp. 130-135, 1982. (In Russian).
3. B. Toturbiev. Construction materials on base of the silicate-natrium composition. M.: pp. 200-208. 1988. (In Russian).
4. A. Toturbiev. Study of the adhesive capacity of the composition matrix on sodium polysilicate, Industrial and Civil Engineering. 2012, pp. 50-60. (In Russian).
5. A. Toturbiev. Corundum heat-resistant concrete with increased service property Concrete and Reinforcement Concrete M., 2006, 10-15p. (In Russian).

UDC 624:693.54

SCOPUS CODE 2501

## HEAT-RESISTANT CONCRETE PRODUCED ON NANO-DISPERSION NATRIUM SILICATE COMPOSITE COHESIVE MATERIAL

**T. Esadze** Department of Civil and Industrial Engineering Technology and Building Materials, Georgian Technical University, 68<sup>b</sup> M. Kostava str., 0175 Tbilisi, Georgia  
E-mail: e.tamar@mail.ru

**Kh. Lejava** Department of Civil and Industrial Engineering Technology and Building Materials, Georgian Technical University, 68<sup>b</sup> M. Kostava str., 0175 Tbilisi, Georgia  
E-mail: kh.lejava@gtu.ge

### Reviewers:

**Z. Karumidze**, Academic Doctor, Department of Civil and Industrial Engineering Technology and Building Materials, Faculty of Civil Engineering, GTU  
E-mail: zkaramidze@yahoo.com

**A. Chikovani**, Academic Doctor, Department of Civil and Industrial Engineering Technology and Building Materials, Faculty of Civil Engineering ,GTU  
E-mail: achikovani@gtu.ge

**ABSTRACT.** One of the highly developed technologies for production of nano-refractory materials is nanotechnology which is in the starting stages of development with respect to refractory materials.

Heat-resistant concrete produced with cohesive material – nano-dispersion sodium polysilicate, shows high operational properties in comparison with ordinary heat-resistant concrete, produced with silicate-sodium composition cohesive material. This is explained by the fact that instead of sodium silicate, in heat-resistant concrete produced with the nano-dispersion sodium polysilicate composition cohesive material, the low-melting alkaline component ( $\text{Na}_2\text{O}$ ) is reduced which in turn increases the operational properties of the heat-resistant concrete, heat stability, temperature of application, corrosion resistance, etc.

**KEY WORDS:** ( $\text{Na}_2\text{O}$ ) alkaline oxide; electro smelted corundum; nano-dispersion sodium polysilicate; silica modulus.

UDC 624:693.54  
SCOPUS CODE 2501

## ЖАРОСТОЙКИЙ БЕТОН НА НАНОДИСПЕРСНОМ СИЛИКАТ-НАТРИЕВОМ КОМПОЗИЦИОННОМ ВЯЖУЩЕМ

**Эсадзе Т.И.** Департамент технологий гражданского и промышленного строительства и строительных материалов, Грузинский технический университет, Грузия, 0175, Тбилиси, ул. М. Костава, 68<sup>6</sup>  
E-mail: e.tamar@mail.ru

**Лежава Х.Д.** Департамент технологий гражданского и промышленного строительства и строительных материалов, Грузинский технический университет, Грузия, 0175, Тбилиси, ул. М. Костава, 68<sup>6</sup>  
E-mail: kh.lejava@gtu.ge

### Рецензенты:

**З. Карумидзе**, академич. доктор Департамента технологий гражданского и промышленного строительства и строительных материалов строительного факультета ГТУ  
E-mail: zkaramidze@yahoo.com

**А. Чиковани**, академич. доктор Департамента технологий гражданского и промышленного строительства и строительных материалов строительного факультета ГТУ  
E-mail: achikovani@gtu.ge

**АННОТАЦИЯ.** Одной из высоких технологий производства наноогнеупоров является нанотехнология, которая находится в самом начале своего развития применительно к огнеупорам.

Жаростойкие бетоны, изготовленные из связующего нанодисперсного полисиликата натрия, показали высокие эксплуатационные свойства, по сравнению с обычновенными жаростойкими бетонами, которые изготовлены на силикат-натриевом композиционном вяжущем. Это объясняется тем, что вместо силиката натрия в жаростойких бетонах, которые изготовлены на нанодисперсном полисиликат-натриевом вяжущем, уменьшается щелочный компонент ( $Na_2O$ )-легкоплавленный составляющий, а это, в свою очередь, повышает эксплуатационные свойства жаростойких бетонов: термостойкость, температуру применения, коррозионную стойкость и др.

**КЛЮЧЕВЫЕ СЛОВА:** нанодисперсный полисиликат натрия; силикатный модуль; щелочный оксид ( $Na_2O$ ); электроплавленный корунд.

**UDC 691.32:620.193****SCOPUS CODE 2501****გეტონის სულფატზრი პოროზია****ა. ჩიქოვანი**

სამოქალაქო და სამრეწველო მშენებლობის ტექნოლოგიისა და საშენი მასალების დეპარტამენტი, საქართველოს ტექნიკური უნივერსიტეტი,  
საქართველო, 0175, თბილისი, მ. კოსტავას 68<sup>3</sup>

E-mail: A.Chikovani@gtu.ge

**თ. ესაძე**

სამოქალაქო და სამრეწველო მშენებლობის ტექნოლოგიისა და საშენი მასალების დეპარტამენტი, საქართველოს ტექნიკური უნივერსიტეტი,  
საქართველო, 0175, თბილისი, მ. კოსტავას 68<sup>3</sup>

E-mail: e.tamar@mail.ru

**ხ. ლეჯავა**

სამოქალაქო და სამრეწველო მშენებლობის ტექნოლოგიისა და საშენი მასალების დეპარტამენტი, საქართველოს ტექნიკური უნივერსიტეტი,  
საქართველო, 0175, თბილისი, მ. კოსტავას 68<sup>3</sup>

E-mail: kh.lejava@gtu.ge

**რეცენზენტები:**

**ზ. ქარუმიძე,** სტუ-ის სამშენებლო ფაკულტეტის სამოქალაქო და სამრეწველო მშენებლობის ტექნოლოგიისა და საშენი მასალების დეპარტამენტი, აკადემიური დოქტორი

E-mail: z.karumidze@yahoo.com

**მ. ლორთქიფანიძე,** სტუ-ის სამშენებლო ფაკულტეტის სამოქალაქო და სამრეწველო მშენებლობის ტექნოლოგიისა და საშენი მასალების დეპარტამენტის აკადემიური დოქტორი

E-mail: m.lortkipanidze@gtu.ge

**ანოთაცია:** მკვეთრი ტექნიკურ-ული ცვლილებები, ატმოსფერული ტენი, მჟავები და სხვა აგრესიული წყლები იწვევს მასალებში ბზარების გაზიარებას და მათ ნაწილობრივ ან სრულ რღვევას. მასალაზე (ბეტონზე) აგრესიული ზემოქმედება იწვევს კოროზიას, ფიზიკურ-მექანიკური თვისებების გაუარესებას.

თბილისსა და მის შემოგარენში განსაკუთრებით აქტუალურ პრობლემას წარმოადგენს სულფატური კოროზია, მიწისქვეშ არსებული გოგირდოვანი წყლების გამო, რომელსაც მკვეთრად გამოხატული აგრესიულობა აქვს ბეტონის მიმართ.

სულფატების ზემოქმედებისას პორტლანდცემენტის პიდრატაციის ზოგიერთ პროდუქტთან ფორებში წარმოიქმნება ნაერთები – კალციუმის პიდროსულფოალუმინატი, ბუნებრივი მინერალის ეტრინგიტის ან თაბაშირის ქვის  $\text{CaSO}_4 \cdot \text{H}_2\text{O}$  ანალოგი, რომელთა მოცულობა ბევრად აღემატება რგაჭიაში შესული ნივთიერებების მოცულობას, რაც იწვევს მნიშვნელოვან დაძაბულობას და ბეტონის სტრუქტურის დაშლას. ბეტონის კოროზიისაგან დაცვის ზოგადი პრინციპები დაფუძნებულია მკვრივი ბეტონის მიღებაზე მინიმალური ურნვადობით (ფილტრაციის კოეფიციენტის გათვალისწინებით) და დია ფორიანობით (წყალშთანთქმის გათვალისწინებით).

მა), რაც რეგლამენტირებულია სამშენებლო ნორმებითა და წესებით.

**საპანძო სიტყვები:** გრუნტის წყლები; კოროზია; სულფატური კოროზია.

### შესავალი

ერთ-ერთი ძირითადი მოთხოვნა შენობისა და ნაგებობისადმი არის სანმედეგობა, ე.ი. უნარი, რომ ნაგებობამ, მზიდმა და გადამდობმა კონსტრუქციებმა შეასრულოს საჭირო ფუნქცია ექსპლუატაციის პერიოდში. სანმედეგობა განისაზღვრება მასალაზე მოქმედი აგრესიულობის სარისებლის და მასალის მდგრადობის შეფარდებით აგრესიულობის ზემოქმედებაზე. მასალაზე (ბეტონზე) აგრესიული ზემოქმედება იწვევს კოროზიას, ფიზიკურ-მექანიკური თვისებების გაუარესებას. კოროზიული პროცესები ვითარდება დროში გარე ან შიგა აგრესიული ფაქტორების მოქმედებით, რის შედეგადაც ხდება აგრესიული კომპონენტების ზემოქმედება პორტლანდცემენტის (ცემენტის ქვა) ჰიდრატაციის პროცესში და იწვევს მისი სტრუქტურისა და თვისებების შეცვლას.

კოროზიას შეიძლება ჰქონდეს ფიზიკური ბუნება, როცა ძირითადი აგრესიული ფაქტორია ფიზიკური პროცესები, რომლებიც მიმდინარეობს ცემენტის ქასთან ქიმიური ზემოქმედების გარეშე, მაგალითად, ციკლური გაყინვა და გადნობა (ყინვამედეგობა), ციკლური გაცხელება და გაცივება, მარილების კრისტალიზაცია ფორებში (მარილური კოროზია) და ქიმიური, როდესაც აგრესიული აგენტები ცემენტის ქასთან ერთად ახალ ნაერთებს ქმნის. ქიმიური კოროზიის მექანიზმის ანლოგიურად მიმდინარეობს ბეტონის დაშლა ბიოლოგიური კოროზიის დროსაც, როდესაც ზოგიერთი ბაქტერიის ცხოველი

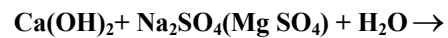
მყოფელი მოქმედების შედეგად წარმოიშობა ნივთიერებები (მჟავები), რომლებიც ბეტონის დაშლას იწვევს.

არსებობს ბეტონის გარე კოროზია, როცა აგრესიული აგენტები ხვდება ბეტონის სტრუქტურაში გარედან, შიგა კოროზია კი, როცა აგრესიული აგენტები შედის ბეტონის სტრუქტურაში მის კომპონენტებთან ერთად, ბეტონის ნარევის დამზადებისას.

### ძირითადი ნაწილი

ჩვენთვის განსაკუთრებით აქტუალური პრობლემა სულფატური კოროზია, თბილისის მიწის ქვეშეთში არსებული გოგირდოვანი წყლების გამო.

სულფატების უარყოფითი გავლენა ბეტონზე ცნობილია 1877 წლიდან. სულფატების ზემოქმედების დროს პორტლანდცემენტის ჰიდრატაციის ზოგიერთ პროცესში ფორებში წარმოიქმნება ნაერთები – კალციუმის ჰიდროსულფოლუმინატი, ბუნებრივი მინერალის ეტრინგიტის –  $3\text{CaO}\cdot\text{Al}_2\text{O}_3\cdot 3\text{CaSO}_4\cdot 3\text{H}_2\text{O}$  ან თაბაშირის ქვის  $\text{CaSO}_4\cdot \text{H}_2\text{O}$  ანალოგი, რომელთა მოცულობა ბევრად აღემატება რეაქციაში შესული ნივთიერებების მოცულობას, რაც იწვევს მნიშვნელოვან დაძაბულობას და ბეტონის სტრუქტურის დაშლას (ეტრინგიტის მოლური მოცულობა 8-ჯერ აღემატება  $\text{C}_3\text{A}$ -ს მოცულობას):



სულფატებს შორის ბეტონისათვის ყველაზე საშიშია ამონიუმის სულფატი  $(\text{NH}_4)_2\text{SO}_4$ . გარკვეულ ჰიდრობებში, კერძოდ 2–5°C ტემპერატურაზე ცემენტის ქვის სტრუქტურაში შეიძლება წარმოიქმნას კალციუმის ჰიდროსულფოლუმინატის დაშლას.

კატი ტაუმასიტი  $\text{CaSiO}_3 \cdot \text{CaCO}_3 \cdot \text{CaSO}_4 \cdot 15\text{H}_2\text{O}$ , რომელიც ეტრინგიტის წარმოქმნით ბეტონს დაშლის. დაბალ ტემპერატურაზე ( $10^\circ\text{C}$ -ზე ნაკლები) აღინიშვნება სულფატური კოროზიის უფრო ინტენსიური განვითარება, რადგან ამ შემთხვევაში,  $\text{Ca}(\text{OH})_2$ -ის მომატებული ხსნადობის გამო, იზრდება ფორების სითხის pH, რასაც მივყავართ აქტიური ეტრინგიტის ან მეორე ტიპის ეტრინგიტის ფორმირებასთან, რომელთა კრისტალების ზომებია  $1\dots 2$  მკმ სიგრძით და  $0,1\dots 0,2$  მკმ სისქით და რომლებიც, დიდი რაოდენობის წყლის ადსორბციის გამო, იწვევს მოცულობის ზრდას და ცემენტის ქვის დაშლას. გარდა ამისა, ტაუმასიტის წარმოქმნისას თავისუფლდება  $\text{Al}_2\text{O}_3$ , რაც ეტრინგიტის წარმოქმნის დასაწყისია და კალციუმის ჰიდროსილიკატიდან იხარჯება  $\text{SiO}_2$ . რასაც მივყავართ მათ გადაკრისტალებასთან. სულფოალუმინატური კოროზია ნათლად მედავნდება, როცა  $\text{SO}_4^{2-}$ -ის შემცველობა მეტია 300 მგ/ლ-ზე, თაბაშიროვანი, როცა  $\text{SO}_4^{2-}$ -ის შემცველობა მეტია

1000 მგ/ლ-ზე, მაგრამ გაცილებით ნაკლები როლი ენიჭება სულფოალუმინატურთან შედარებით  $\text{SO}_4^{2-}$ -ის 4000გ/მლ-ზე შემცველობამდე.

სულფატური (III სახეობის) კოროზიის გარე ნიშნებია მოცულობის (წრფივი ზომების) გადიდება და ბზარების გაჩენა. დაშლის სტადიას წინ უსწრებს “მოწვენებითი კეთილდღეობა”, როცა მეორეული ეტრინგიტის წარმოქმნის შედეგად ხდება ფორმიანობის შემცირება, სიმტკიცისა და დრეკადობის მოდულის მომატება. სულფატების მოქმედებისას ბეტონის მდგრადობის ამაღლების გადამწყვეტი ფაქტორია  $\text{C}_3\text{A}$  შეზღუდული შემცველობის პორტლანდცემენტის, აერძოდ სულფატმედეგი პორტლანდცემენტის ( $\text{C}_3\text{A}<5\%$ ,  $\text{C}_4\text{AF} + \text{C}_3\text{A}<22\%$ ,  $\text{C}_3\text{A}<50\%$ ) გამოყენება. სიმკვრივის (ბეტონის წყალუჟონობის) ამაღლება ასევე ხელს უწყობს ბეტონის მდგრადობის მატებას. ეს ფაქტი ასახულია ბეტონის კოროზიისაგან დაცვის ნორმებში (ცხრ.I)

ცხრილი 1

### გარემოს აგრესიულობის მაჩვენებლები

ცემენტი	სულფატების შემცველი $\text{SO}_4^{2-}$ მგ/ლ,			ბეტონზე აგრესიული მოქმედების სარისხი
	W8	W10...W14	W16...W20	
I ჯგუფი პორტლანდცემენტი ГОСТ 10178-85	425...850	850...1250	1250...2500	სუსტი
	850...1700	1250...2500	2500...5000	საშუალო
	>1700	>2500	>5000	ძლიერი
II ჯგუფი იგივე ცემენტი, მხოლოდ $\text{C}_3\text{S}$ -შემცველობით $<65\%$ , $\text{C}_3\text{A}<7\%$ , $\text{C}_3\text{A}+\text{C}_4\text{AF}<22\%$ ,	2550...5100	5100...6000	6000...7500	სუსტი
	5100...6800	6000...7500	7500...10000	საშუალო
	>6800	>7500	>10000	ძლიერი
III ჯგუფი სულფატმედეგი ცემენტი II ჯგუფის პორტლანდცემენტი მოდიფიკატორებით მკ+სპ ან მბ-01	5100...10200	10200...12000	12000...15000	სუსტი
	10200...13600	12000...15000	15000...20000	საშუალო
	>13600	>15000	>20000	ძლიერი

**შენიშვნა.** რუსული (საბჭოთა კავშირის) სტანდარტი, მოქმედია ჩვენთანაც. ასე, მაგალითად, პორტლანდცემენტზე (ГОСТ 10178) დამზადებული W8 წყალუჟონობის ბეტონისათვის გარემო სულფატების შემცველობით 1800 მგ/ლ იქნება ძლიერ აგრესიული, ხოლო W20 წყალუჟონობის ბეტონისათვის – სუსტად აგრესიული.

სულფატური კოროზიის დროს ბეტონის მუშაობის საორიენტაციო ვადას აფასებენ შემდეგი პირობების გათვალისწინებით:

- $\tau$  გარკვეული დროის განმავლობაში (6 თვე, 1 წელი)  $q$  სულფატიონების ( $SO_4^{2-}$ ) დაგროვების სიჩქარით რაღაც  $h$  ფენაში, მაგალითად,

5 მმ. შეფასება ხდება ლაბორატორიული გამოცდის შედეგად;

- მოცემული ბეტონისათვის Q სულფატების დასაშვები ზღვრული შემცველობით, რომელიც განისაზღვრება ცემენტის ალუმინის შემცველობით;
- რეალური “მოცულობით”, ე.ი ბეტონის დამცვი  $n=a/h$  ფორმულით:

$$\tau = n \frac{Q2}{q2} \tau_{\varphi}$$

**მაგალითი.** როცა  $Q=8\%$ ,  $\tau_{\varphi}=6$  თვე,  $q=1,5\%$ ,  $n=4$ , მივიღებთ  $\tau=57$  წელს; როცა  $q=2,5\%$  (ნაკლებად მკვრივი ბეტონი), მივიღებთ  $\tau=20$  წელს.

## ცხრილი 2

### აგრესიული გარემოს პირობებში ბეტონზე წაყენებული მოთხოვნები

ბეტონის ჟონგის პირობითი მაჩვენებლები	ბეტონის ჟონგის მაჩვენებლები			
	პირდაპირი		ირიბი	
	ბეტონის წყალუჟონობის მარკა	ფილტრაციის კოეფიციენტი სმ/წმ K(f)	მასითი წყალშთანთქმა, %	წყალცემენტის ფარდობა წყ/ც არაუმეტეს
ნორმალური ჟონგის ბეტონი	W4	$2 \cdot 10^{-9} \dots 7 \cdot 10^{-9}$	4,7...5,7	0,6
დაბალი ჟონგის ბეტონი	W6	$6 \cdot 10^{-10} \dots 2 \cdot 10^{-9}$	4,2...4,7	0,55
განსაკუთრებით დაბალი ჟონგის ბეტონი	W8	$1 \cdot 10^{-10} \dots 6 \cdot 10^{-10}$	4,2-მდე	0,45

**შენიშვნა.** ბეტონის მარკა წყალუჟონობაზე და ფილტრაციის კოეფიციენტი უნდა განისაზღვროს მოქმედი სტანდარტების მიხედვით.

მე-2 ცხრილში მოყვანილი წყალშთანთქმის და წყალცემენტის ფარდობის მაჩვენებლები ეკუთვნის მძიმე ბეტონს. მსუბუქი ბეტონის წყალშთანთქმა უნდა განისაზღვროს კოეფიციენტ-

ზე გადამრავლებით, რომელიც ტოლია მძიმე ბეტონისა და მსუბუქი ბეტონის სიმკვრივეთა ფარდობისა. ბეტონის წყალცემენტის ფარდობის მაჩვენებელი (ცხრ.2) უნდა გამრავლდეს 1,3-ზე.

**კლასები ექსპლუატაციის პირობების მიხედვით**

აგრესიული აგენტი	კლასი ექსპლუატაციის პირობებით		
	XA1	XA2	XA3
	გრუნტის წყლები		
SO <sub>4</sub> <sup>2-</sup> , მგ/ლ	200...600	601...3000	3001...6000
pH	5,5 < pH < 6,5	4,5 < pH < 5,5	4,0 < pH < 4,5
CO <sub>2</sub> , მგ/ლ	15...40	41...100	> 100
NH <sub>4</sub> <sup>+</sup> , მგ/ლ	15...30	31...60	61...100
Mg <sup>2+</sup> , მგ/ლ	300...1000	1001...3000	> 3000
გრუნტი			
SO <sub>4</sub> <sup>2-</sup> , მგ/კბ	2000...3000	3001...12000	12001...24000
მჟავები, მლ/კბ	> 200	არარეალუნდებულია	

**დასკვნა**

ბეტონის კოროზიისაგან დაცვის ზოგადი პრინციპები დაფუძნებულია მკვრივი ბეტონის მიღებაზე, მინიმალური ჟონგით (ფილტრაციის კოეფიციენტის გათვალისწინებით) და დია ფო-

რიანობით (წყალშთანთქმა), რაც რეგლამენტირებულია სამშენებლო ნორმებითა და წესებით (ცხრ.2). ევროპის ნორმებით გარემოს აგრესიულობა მიღებულია ექსპლუატაციის კლასების მიხედვით (ცხრ. 3).

**ლიტერატურა**

1. L. Alimov, V. Voronin. Study of concrete, M., 2010.- p. 424. (In Russian).
2. Y. Bazhenov. Concrete technology, M., 2007.- p. 500. (In Russian).
3. G. Nesvetaev. Concretes Rostov-on-Don, M., 2011.- p. 381. (In Russian).
4. V. Ratinov, F.M. Ivanov. Chemistry in construction, M., 1987. p. 220. (In Russian).
5. A. Chikovani. Concrete technology, Tbilisi, 2015.- p. 358. (In Georgian).

UDC 691.32:620.193

SCOPUS CODE 2501

## SULPHATE CORROSION OF CONCRETE

- A. Chikovani** Department of Civil and Industrial Engineering Technology and Building materials,  
Georgian Technical University, 68<sup>b</sup> M. Kostava str., 0175 Tbilisi, Georgia  
E-mail: A.Chikovani@gtu.ge
- T. Esadze** Department of Civil and Industrial Engineering Technology and Building materials,  
Georgian Technical University, 68<sup>b</sup> M. Kostava str., 0175 Tbilisi, Georgia  
E-mail: e.tamar@mail.ru
- Kh. Lejava** Department of Civil and Industrial Engineering Technology and Building materials,  
Georgian Technical University, 68<sup>b</sup> M. Kostava str., 0175 Tbilisi, Georgia  
E-mail: kh.lejava@gtu.ge

### Reviewers:

**Z. Karumidze**, Academic Doctor, Department of Civil and Industrial Engineering Technology and Building Materials,  
Faculty of Civil Engineering, GTU  
E-mail: z.karumidze@yahoo.com

**M. Lortkipanidze**, Academic Doctor, Department of Civil and Industrial Engineering Technology and Building  
Materials, Faculty of Civil Engineering, GTU  
E-mail: m.lortkipanidze@gtu.ge

**ABSTRACT.** Sharp changes of the temperature, atmospheric humidity, acids and other corrosive waters cause cracking and eventually, full or partial demolition of materials. The effect of corrosive medium on the material (concrete) causes corrosion and deterioration of its physical and mechanical properties.

For Tbilisi and its surroundings sulphate corrosion is a priority problem, as the underground sulphate water is very aggressive towards concrete. With sulphate influence on certain products of portland-cement hydration, compounds of calcium hydrosulfoaluminate occur in pores, which is the analogue of Ettringite, a natural mineral or gypsum stone  $\text{CaSO}_4 \cdot \text{H}_2\text{O}$ . Their volumes greatly exceed the volumes of matters in reaction, which causes considerable stress and concrete structure failure. General principles of concrete protection from corrosion are based on production of dense concrete, with minimum passing (by ratio of filtering) rate and with open porosity (water reducing) as specified in the construction standards.

**KEY WORDS:** corrosion; subsoil water; sulphate corrosion.

UDC 691.32:620.193

SCOPUS CODE 2501

## СУЛЬФАТНАЯ КОРРОЗИЯ БЕТОНА

- Чиковани А.Б.** Департамент технологий гражданского и промышленного строительства и строительных материалов, Грузинский технический университет, Грузия, 0175, Тбилиси, ул. М. Костава, 68<sup>6</sup>  
E-mail: A.Chikovani@gtu.ge
- Эсадзе Т.И.** Департамент технологий гражданского и промышленного строительства и строительных материалов, Грузинский технический университет, Грузия, 0175, Тбилиси, ул. М. Костава, 68<sup>6</sup>  
E-mail: e.tamar@mail.ru
- Лежава Х.Д.** Департамент технологий гражданского и промышленного строительства и строительных материалов, Грузинский технический университет, Грузия, 0175, Тбилиси, ул. М. Костава, 68<sup>6</sup>  
E-mail: kh.lejava@gtu.ge

### Рецензенты:

**З. Карумидзе**, академич. доктор Департамента технологий гражданского и промышленного строительства и строительных материалов строительного факультета ГТУ

E-mail: z.karumidze@yahoo.com

**М. Лорткипанидзе**, академич. доктор Департамента технологий гражданского и промышленного строительства и строительных материалов строительного факультета ГТУ

E-mail: m.lortkipanidze@gtu.ge

**АННОТАЦИЯ.** Резкие температурные изменения, атмосферная влажность, кислоты и др. агрессивные воды способствуют появлению трещин в материалах, а это, в свою очередь, вызывает их частичное или полное разрушение. Действие агрессивной среды на бетоны вызывает коррозию и ухудшение физико-механических свойств.

Актуальной проблемой для города Тбилиси и его окрестностей является сульфатная коррозия, из-за подземных сульфатных вод, которые имеют резко выявленную агрессивность по отношению к бетонам. При взаимодействии сульфатов с некоторыми продуктами гидратации портландцемента, в порах возникают соединения гидросульфоалюминатов кальция, которые являются аналогами природного минерала этрингита, или гипсового камня -  $\text{CaSO}_4 \cdot \text{H}_2\text{O}$ , объем которого превышает объем веществ, входящих в реакцию, это вызывает особые напряжения и разрушение структуры бетона.

Общие принципы защиты бетона от коррозии обоснованы на получение плотного бетона с минимальной проницаемостью (по коэффициенту фильтрации) и с открытой пористостью (водопоглощаемость), что регламентировано строительными правилами и нормами.

**КЛЮЧЕВЫЕ СЛОВА:** грунтовые воды; коррозия; сульфатная коррозия.

UDC 66.08

SCOPUS CODE 2501

## 40AGFT უოლადის ბზარმედებობა

- ი. აბდუშელიშვილი მეტალურგიის, მასალათმცოდნეობისა და ლითონების დამუშავების დეპარტამენტი, საქართველოს ტექნიკური უნივერსიტეტი, საქართველო, 0175, თბილისი, გ. კოსტავას 69  
E-mail: abdushelishvili.rakli@gmail.com
- ვ. კოპალეიშვილი მეტალურგიის, მასალათმცოდნეობისა და ლითონების დამუშავების დეპარტამენტი, საქართველოს ტექნიკური უნივერსიტეტი, საქართველო, 0175, თბილისი, გ. კოსტავას 69  
E-mail: v.kopaleishvili@gtu.ge

### რეცენზენტები:

ი. ქაშაკაშვილი, სტუ-ის ქიმიური ტექნოლოგიისა და მეტალურგიის ფაკულტეტის მეტალურგიის, მასალათმცოდნეობისა და ლითონების დამუშავების დეპარტამენტის პროფესორი

E-mail: i.kashakashvili@gtu.ge

ლ. კოტიაშვილი, სტუ-ის ქიმიური ტექნოლოგიისა და მეტალურგიის ფაკულტეტის მეტალურგიის, მასალათმცოდნეობისა და ლითონების დამუშავების დეპარტამენტის პროფესორი

E-mail: ika.kotiaashvili@gmail.com

საპბანძო სიტყვები: ბზარი; ბზარმედებობა;

ბზარის გავრცელება; ქ-ინტეგრალი; კონტროლი-რებული გლინგა; ნორმალიზაცია.

### შესავალი

ლითონის ვარგისობის შესაფასებლად, სხვა მექანიკურ თვისებებთან ერთად, აუცილებელია ბზარმედეგობის დაღენა, ვინაიდან ის ზოგადად ახასიათებს ნებისმიერი მასალის უნარს წინა-აღმდეგობა გაუწიოს მასში უკვე არსებული ბზარის გავრცელებას.

### ძირითადი ნაწილი

როგორც ცნობილია, მასალათა ბზარმედე-

გობის შეფასების ყველაზე უფრო საიმედო შედეგს იძლევა წინასწარჩასახული დაღლილობის ბზარის მქონე ნიმუშის გამოცდა, რადგან სწორედ ასეთი ბზარია კონსტრუქციათა უმრავლესობაში ყველაზე გავრცელებული და საშიში დეფექტი. ბზარის ზრდა იწყება, თუ დაძაბულობის ინტენსიურობის კოეფიციენტი ან მისი გაშლა (ციკლური დატვირთის დროს) აჭარბებს გარევეულ ზღურბლს და შედგება სამი – მზარდი სიჩქარით ზრდის, სტაბილური და შედარცბით ნელი გავრცელების და დაჩქარებული გავრცელების (განვითარების) სტადიისგან, რომელიც რდვევით მთავრდება. რდვევის კინეტიკა აღიწევება დიაგრამებით, რომლებიც ჩაწერილია კოორდინატებში: "ბზარის სიგრძე – ციკლთა რიცხვი ანდა ციკლური დატვირთვის დრო"; "ბზარის სიგრძე – სტატიკური დატვირთვის დრო". რდვევის კინეტიკური პარამეტრები საშუალებას იძლევა კონსტრუქციაში გაკეთდეს მასალის მუშაობის უნარის პროგნოზირება.

ბზარმედეგობის გაზრდის გზები შეიძლება იყოს: მასალის ოპტიმალური ქიმიური კომპოზიციის შერჩევა; მისი რაციონალური მიკროლეგირება (ელემენტების ერთობლივი, კომპლექსური გავლენის გათვალისწინებით); ოპტიმალური მიკროსტრუქტურების ფორმირება; არასასურველი ჩანართების რაოდენობის შემცირება, განსაკურებით ისეთის, რომელიც სეგრეგაციას განიცდის მარცვლების საზღვრებზე და ადგილდნობადია; თერმომექანიკური დამუშავების ოპტიმალური რეჟიმები, რომლის შედეგად ყალიბდება ფოლადის მიკროსტრუქტურის ყველაზე უფრო სასურველი ტიპი და პარამეტრები; ისეთი ზედაპირული ფენის შექმნა, რომლის აგებულება და დაძაბული მდგომარეობა ხელს უშლის მასში მიკრობზარების ჩასახვას შეიძლება იყოს წვრილმარცვლოვანი აგებულება, მომჭიმავი (მარტავი) ძაბვები და სხვა.

ჩვენ შემთხვევაში ბზარმედეგობაზე გამოცდისთვის შერჩეულ იქნა ბზარმედეგობის ენერგეტიკული (J<sub>c</sub>) მახასიათებლის გამოთვლის მიახლოებითი მეთოდი. ბზარმედეგობის ენერგეტიკული მახასიათებლის მიახლოებითი გამოთვლის შემდეგ შესაძლებელია (მის საფუძველზე) ბზარმედეგობის ძალოვანი (K<sub>c</sub>) მახასიათებლის განსაზღვრა. ამ მეთოდის შერჩევა განპირობებული იყო იმით, რომ K<sub>c</sub> განსაზღვრისათვის საჭირო გახდა გაცილებით უფრო დიდი ზომის ნიმუშების გამოცდა, ვიდრე მილნამზადიდან აღებული მასალის ზომები იძლეოდა ამის საშუალებას.

გამოცდისათვის შეირჩა ნიმუშები ზომებით: 7x14x130მმ, 5მმ სიღრმის ბასრი ჩანაჭრით.

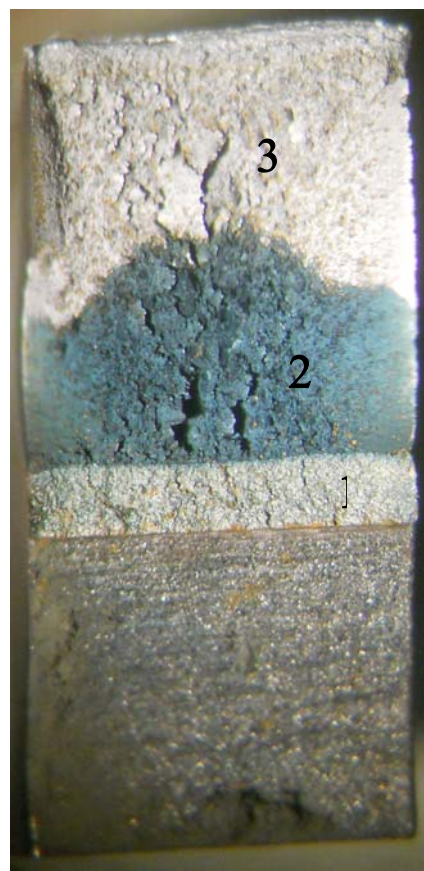
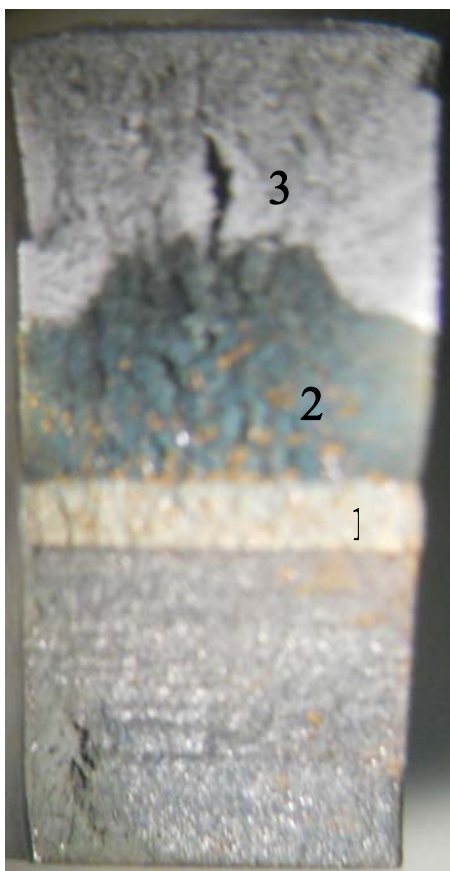
გამოსაცდელი ნიმუშების ერთი (შესასწავლი) ზედაპირი გაპრიალებულ იქნა მე-7-9 კლასის სისუფთავებრივ და მასზე წინასწარ მოინაშნა დაღლილობის ბზარის შესაძლო (სავარაუდო) სიგრძე. შემდეგ თითოეული ნიმუში მოთავსდა ე. წ. "დროზდოვსკის ვიბრატორზე" და მასში ბზარის ჩაისახა. ბზარის ჩასახვისას ნიშანცვლადი დატვირთვის სიხშირე იყო 5–10 ჰერცი. რხევის ამპლიტუდა შეირჩა იმის მიხედვით, რომ ბზარის ჩასახვას თითოეულ ნიმუშზე დასჭირდა 1,5–2 საათი. J<sub>c</sub>-ს განსაზღვრას თითოეული მდგომარეობისათვის სჭირდება 5–8 ნიმუში. ჩვენ შემთხვევაში ცხლად გლინული ფოლადის გამოცდისთვის დაგვჭირდა 5, ხოლო ცხლად გლინვის შემდეგ ნორმალიზებულისთვის – 6 ნიმუში.

ბზარის ჩასახვის შემდეგ ბზარმედეგობაზე გამოცდა წარმოებდა მეთოდურ ნაწილში აღწერილი სქემის მიხედვით. დუნვის დიაგრამა ჩაიწერა კოორდინატებში „დატვირთვა–გადაადგილება.“ ტრავერსის გადაადგილების სიჩქარე 3 მმ/წთ შეადგენდა. გაღუნვისთვის შეირჩა 1-ტონიანი რეჟიმი. თითოეულ გამოსაცდელ ნიმუშს სხვადასხვა სიგრძის ბზარის მისაღებად მოედო სხვადა-

სხვა სიღიძის დატვირთვა. თითოეულ დატვირთვას შეესაბამება თავისი დიაგრამა. გადუნელი ნიმუშები გაცხელდა  $400\text{--}450^{\circ}\text{C}$  ტემპერატურამდე, 15 წელის განმავლობაში გავრცელებული ბზარის ნაპირების გასამუქებლად და ბზარის ნაზარდის გამოსაკვეთად. შემდეგ ნიმუშები ტყდებოდა ბოლომდე დიაგრამის ჩაწერის გარეშე.

გატეხილ ნიმუშზე კარგად ჩანს (იხ. სურ.):  
1) დაღლილობის ზონა – 1; 2) ბზარის გავრცე-

ლების ზონა (შეფერილი ანუ გამუქებული უბნები) – 2; 3) ნიმუშის საბოლოო გატეხის ზონა (შეუფერავი ანუ გაუმუქებელი უბნები) – 3. მოხდა გატეხილი ნიმუშების ფოტოგრაფირება. ფოტოსურათზე გაიზომა ბზარის სიგრძე ჩანაჭერთან ერთად (ლ, მმ), აგრეთვე ბზარის ნაზარდის ფართობი და მიღებული მნიშვნელობები გაიყო ნიმუშის სიგანგზე. ამ მეთოდით გამოანგარიშებულ იქნა ბზარის ნაზარდი:  $S/t = \Delta l, \text{mm}$ .



#### ბზარმედეგობაზე გამოცდილი ნიმუშები

ა) ცხლად გლინული; ბ) ცხლი გლინების შემდეგ ნორმალიზებული;  
1 – დაღლილობის ზონა; 2 – ბზარის გავრცელების ზონა (შეფერილი ანუ გამუქებული უბნები);  
3 – ნიმუშის საბოლოო გატეხის ზონა (შეუფერავი ანუ გაუმუქებელი უბნები)

ბზარის ნაზარდს როგორი ფორმა აქვს, რის გამოც მისი ფართობი განისაზღვრა პლანიმეტრით (შესაბამისი მასშტაბის გათვალისწინებით). თითოეულ გამოცდილ ნიმუშზე გაიზომა: სისქე ( $t$ ) და სიმაღლე ( $B$ ).  $\ell/B$  ფარდობის მიხედვით გამოითვალი ა კოეფიციენტის მნიშვნელობა.

დუნების დიაგრამაზე ვიღებდით შემდეგ მონაცემებს: 1)  $f_T$  – მაქსიმალური ჩაღუნვა (მმ); 2)  $P_T$  – მაქსიმალური დატვირთვა (ნ); 3) ნიმუშის გაღუნვაზე დახარჯული მუშაობა ( $\text{ნ}\cdot\text{მმ}$ ) შემდეგი ფორმულით:  $\int_0^{f_T} P df_T = \frac{40S_T}{20} = 2S_T$ ,

სადაც სტ დატვირთვის მრუდითა და აბსცისით შემოსაზღვრული ფართობია (იზომებოდა პოლარული პლანიმეტრით) დაგრამზე; 40 და 20 – დიაგრამის მასშტაბები (მმ), ორდინატსა და აბსცისაზე შესაბამისად.

მიღებული მონაცემები დამუშავებულ იქნა კომპიუტერში "Microsoft XL" პროგრამით, შეირჩა ექსპერიმენტულ წერტილებზე გამავალი კორელაციური მრუდებისათვის საუკეთესოდ მააპროქსიმირებელი (წვერი მონაცემებისათვის – ექსპრენციალური) ფუნქციები და მათი შესაბამისი განტოლებები როგორც მიღნამზადის ცხლად გლინული (კონტროლირებულად გაგლონული), ისე ცხელი (კონტროლირებული) გლინული შემდეგ ნორმალიზებული მასალისთვის. ამ განტოლებებში  $x$  არის ბზარის ნაზარდი, ხოლო  $y$  – ჟინტეგრალი.

ცხლად გლინული მასალისათვის  $y=147,29e^{0,3345x}$  და  $R^2=0,8918$ , ცხელი გლინული შემდეგ ნორმალიზებული მასალისთვის –  $y=107,96e^{0,3688x}$  და  $R^2=0,9857$ . აქ  $R^2$  არის აპროქსიმაციის უტყუარობის სიდიდე (საზომი).

შემოსაზღვრული განტოლებებით ბზარის ნულოვანი ნაზარდებისათვის (ანუ  $x=0$  პირობისათვის) გამოვთვალეთ  $y$  ანუ ჟინტეგრალის  $J_c$  მნიშვნელობები. შემოწმების შემდეგ დადგინდა, რომ ჟინტეგრალის  $J_c$  მნიშვნელობები აქმაყოფილებს სათანადო პირობებს და ამდენად 40AΓFT ფოლადის მიღნამზადის ცხლად გლინული მასალისთვის და ცხელი გლინული შემდეგ ნორმალიზებული მასალისთვისაც ბზარმედეგობის მაჩვენებლია  $J_{c*}$ . მიღნამზადის ცხლად გლინული მასალისთვის  $J_{c*}=147$  ნ/მმ, ხოლო ცხელი გლინული შემდეგ ნორმალიზებული მასალისთვის  $J_{c*}=108$  ნ/მმ. ამ შემთხვევაშიც 40AΓFT ფოლადის ბზარმედეგობაზე გამოცდის შედეგები მიგვანიშნებს, რომ კონტროლირებული გლინული გლინული შემდეგ ლითონი გადა-

დის მაღალი სიმტკიცის მდგომარეობაში, რასაც ადასტურებს ჸის საკმაოდ მაღალი მნიშვნელობა.

## დასკვნა

კონტროლირებული გლინულისა და ნორმალიზაციის შემდეგ 40AΓFT ფოლადის ბზარმედებობა, რომელიც ჟინტეგრალის მეთოდით იქნა განსაზღვრული, მექანიკურ თვისებათა სხვა მაჩვენებლებთან ერთად, მიანიშნებს ამ მასალის მაღალ საკონსტრუქციო სიმტკიცეზე.

40AΓFT ფოლადის ბზარმედეგობის მაღალი მნიშვნელობები, ისევე როგორც ფიზიკურ-მექანიკური თვისებების სხვა მახასიათებლების მაღალი მნიშვნელობები, მიღებულია ცხელი გლინულის შემდეგ ჩატარებული სხვადასხვა თერმული დამუშავებით (ნორმალიზაცია 900°C-ზე; ნორმალიზაცია 900°C-ზე+მოშვება 600°C-ზე).

ვფიქრობთ, რომ ჸის მაღალი მნიშვნელობები განპირობებულია როგორც განადიუმის, ტიტანისა და აზოტის მიკროდანამატების შედეგად წარმოქმნილი მათი წვრილდისპერსიული კარბიდების, ნიტრიდების და კარბონიტრიდების განმამტკიცებული ზეგავლენით, ისე კონტროლირებული გლინულისას განხორციელებული პლასტიკური დეფორმაციის ეფექტით.

40AΓFT ფოლადის ბზარმედეგობის შესწავლის შედეგებიც ადასტურებს, რომ ცხლად გლინულ (კონტროლირებული გლინული გლინულის შემდეგ) მდგომარეობაში ფოლადის საკონსტრუქციო სიმტკიცის მაღალ მნიშვნელობას (სიმტკიცისა და პლასტიკურობის მაჩვენებლების მაღალ დონეზე ოპტიმალურ შერწყმას) განაპირობებს ფიზიკურ-მექანიკური თვისებების არა მხოლოდ რომელიმე მახასიათებელი, არამედ მათი მთლიანი კომპლექსი, მათ შორის ბზარმედეგობის მაღალი მაჩვენებელი.

## ლიტერატურა

1. V. Kopaleishvili, L. Kotiashvili, I. Kashakashvili, D. Kopaleishvili, T. Makharadze, G. Chavchanidze. Estimation of structural strength of low alloy steels towards crack resistance. Transport and Machine Building. 2008, №3, pp. 33-50. (In Georgian).
2. L. Kotiashvili. Estimation of structural strength of low alloy steels towards crack resistance. Thesis of PhD candidate. Tbilisi: GTU, 2008, 126 p. (In Georgian).
3. V. Kopaleishvili, I. Abdushelishvili, I. Kvirikadze, L. Kotiashvili, I. Kashakashvili. Study of 40AГФТ type steel. Business Engineering. 2013, №3, pp. 181-183. (In Georgian).

UDC 66.08

SCOPUS CODE 2501

## CRACK-RESISTANCE OF 40AГФТ STEEL

- I. Abdushelishvili Department of Metallurgy, Metals Science and Metal Processing, Georgian Technical University, 69 M. Kostava str., 0175 Tbilisi, Georgia  
E-mail: abdushelishvili.rakli@gmail.com
- V. Kopaleishvili Department of Metallurgy, Metals Science and Metal Processing, Georgian Technical University, 69 M. Kostava str., 0175 Tbilisi, Georgia  
E-mail: v.kopaleishvili@gtu.ge

### Reviewers:

I. Kashakashvili, Professor, Department of Metallurgy, Metals Science and Metal Processing, Faculty of Chemical Technology and Metallurgy, GTU

E-mail: i.kashakashvili@gtu.ge

L. Kotiashvili. Professor, Department of Metallurgy, Metals Science and Metal Processing, Faculty of Chemical Technology and Metallurgy, GTU

E-mail: ika.kotiashvili@gmail.com

**ABSTRACT.** Fracture toughness is a property of a material to resist crack propagation.

For testing crack-resistance the approximate method of determining fracture toughness, integral  $J_1$ , was applied. Limited, small dimensions of the testing material determined the choice of the method - 7 x 14 x 130 mm with sharp notch in depth of 5 mm. The fatigue crack was pre-nucleated on a Drozdowski shaker. The frequency of the variable load at the time of crack initiation was 5-10 Hz. Samples with cracks were tested by the three-point bending with the charts record to the various points of crack propagation.

**KEY WORDS:** crack; crack propagation; crack resistance; controlled rolling;  $J_1$  integral; normalization.

**UDC 66.08  
SCOPUS CODE 2501**

## **ТРЕЩИНОСТОЙКОСТЬ СТАЛИ 40АГФТ**

**Абдушелишвили И.Т.** Департамент металлургии, материаловедения и обработки металлов, Грузинский технический университет, Грузия, 0175, Тбилиси, ул. М. Костава, 69  
E-mail: abdushelishvili.rakli@gmail.com

**Копалейшвили В.П.** Департамент металлургии, материаловедения и обработки металлов, Грузинский технический университет, Грузия, 0175, Тбилиси, ул. М. Костава, 69  
E-mail: v.kopaleishvili@gtu.ge

**Рецензенты:**

**И. Кашакашвили,** профессор Департамента металлургии, материаловедения и обработки металлов факультета химической технологии и металлургии ГТУ

E-mail: i.kashakashvili@gtu.ge

**Л. Котиашвили,** профессор Департамента металлургии, материаловедения и обработки металлов факультета химической технологии и металлургии ГТУ

E-mail: ika.kotiazhvili@gmail.com

**АННОТАЦИЯ.** Трещиностойкость является особенностью материала противостоять распространению трещин.

Для испытания на трещиностойкость нами был избран приближенный метод определения трещиностойкости, интеграл J1.

Ограниченные малые размеры испытуемого материала определили выбор этого метода. Размеры испытуемых образцов 7 x 14 x 130 мм, с острым надрезом глубиной 5 мм. Усталостная трещина была заранее зарождена на вибраторе Дроздовского. Частота изменения переменной нагрузки в момент зарождения трещины 5-10 Гц.

Образцы с зарожденной трещиной испытывались на трехточечном изгибе при распространении трещины до разных размеров с записью диаграмм.

**КЛЮЧЕВЫЕ СЛОВА:** интеграл  $J_1$ ; контролируемая прокатка; нормализация; распространение трещины; трещина; трещиностойкость.

UDC 666.946.6

SCOPUS CODE 2501

## EFFECT OF GRAPHITE NANOPOWDER ON THE PROPERTIES OF CaO-MgO-SiO<sub>2</sub> SYSTEM COMPOSITE FOR HIGH TEMPERATURE BEDDING OF CEMENT AND METALLURGICAL FURNACES

<b>Z. Kovziridze</b>	Department of Chemical Technology and Biotechnology, Georgian Technical University, 69 M. Kostava str., 0175 Tbilisi, Georgia E-mail: kowsiri@gtu.ge
<b>N. Nizharadze</b>	Department of Chemical Technology and Biotechnology, Georgian Technical University, 69 M. Kostava str., 0175 Tbilisi, Georgia E-mail: nizharadzenatela@yahoo.com
<b>M. Balakhashvili</b>	Department of Chemical Technology and Biotechnology, Georgian Technical University, 69 M. Kostava str., 0175 Tbilisi, Georgia E-mail: maia-balakhashvili@mail.ru
<b>Z. Mestvirishvili</b>	Department of Chemical Technology and Biotechnology, Georgian Technical University, 69 M. Kostava str, 0175 Tbilisi, Georgia E-mail: zviad.mst@gmail.com

### Reviewers:

**T. Cheishvili**, Professor, Department of Chemical Technology and Biotechnology, Faculty of Chemical Technology and Metallurgy, GTU

E-mail: t.cheishvili@gtu.ge

**J. Aneli**, Chief Researcher, R. Dvali Institute of Machine Mechanics, Doctor of Technical Sciences

E-mail: jimaneli@yahoo.com

**ABSTRACT.** Purpose. Comparative study of three dolomite (Abano, Skuri, Mukhuru-Georgia) and two serpantinite (Tsnelisi, Sachkhere-Georgia) deposits of Georgia was carried out to determine their fitness to receive high refractory clinker. Methods. Obtained materials were studied by electronic and optic-microscope, X-ray, refractory and thermal analyses. Physical and technical characteristics of the material have been investigated. Results. The main phases of the materials are: MgO in the form of periclase and 3CaO·SiO<sub>2</sub>-alit. Belit is no longer in the product. C<sub>4</sub>AF, C<sub>3</sub>A and C<sub>2</sub>F peaks have been fixed. Effect of graphite nanopowder – 20 m<sup>2</sup>/gr, TIMREX KS 6 mark, influence of methyl cellulose used as a

binder and complex action plasticizer on physical-technical characteristics of the composite have been studied. Conclusion. Innovative technology for production of materials has been developed. Optimal composition of materials is: cement clinker, binder, graphite nanopowder, silicium and plasticizer. Optimal forming pressure – 100 MPa, graphite nanopowder content – 15 mass%, relative surface 20 m<sup>2</sup>/gr. Silicium was introduced into oxygen-containing composite as an antioxidant.

**KEY WORDS:** additive; binding; differential-thermal analysis; dolomite-serpentinite composite; electron microscopy, flow-sheet of production.

## INTRODUCTION

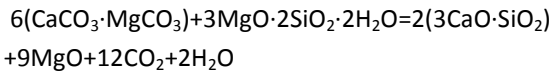
In many countries dolomite refractories are used instead of base composition magnesite refractory materials [1-4]. High refractory dolomite-serpentenite clinker and on its base a composite was obtained using the technology developed by us [5-6].

Quality of such refractory materials is conditioned by joint action of some factors. One of the significant factors is obtaining of perfect structure to be preserved during operation of refractories. Besides, significant role is played by perfect surface of grains in the process of forming and treatment. This can be achieved by application of some admixes and binders. They improve working conditions by the provision of high plasticity, mass forming capacity, semi-product strength and resistance to deformation at thermal treatment.

## MAIN PART

To receive refractory clinker we gave preference to the following direction:

Synthesis of calcium silicates by adding magnesium natural hydro silicate (serpentinite) to dolomite, which proceeds by the following reaction:



Three dolomite and two serpentinite deposits of Georgia were investigated and their comparative study was performed [7].

Thermograms of dolomites from the above referred three deposits are given on Fig.1.

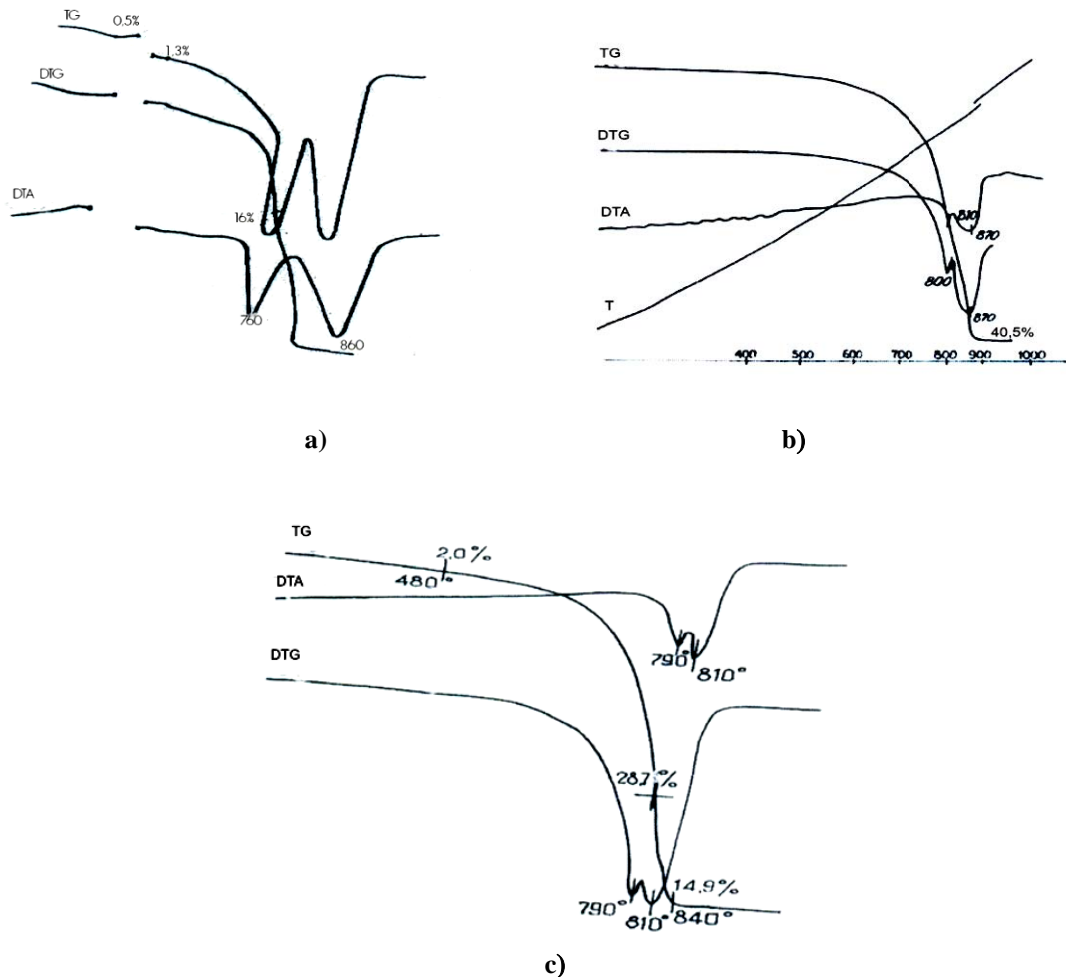


Fig. 1. Dolomite thermograms: a) Abano; b) Skuri; c) Mukhuri

All three thermograms show endo-effects characteristic to dolomite. Destruction proceeds according to the following reaction:  $\text{Ca Mg}(\text{CO}_3)_2 = \text{MgO} + \text{CaO} + 2\text{CO}_2$ .

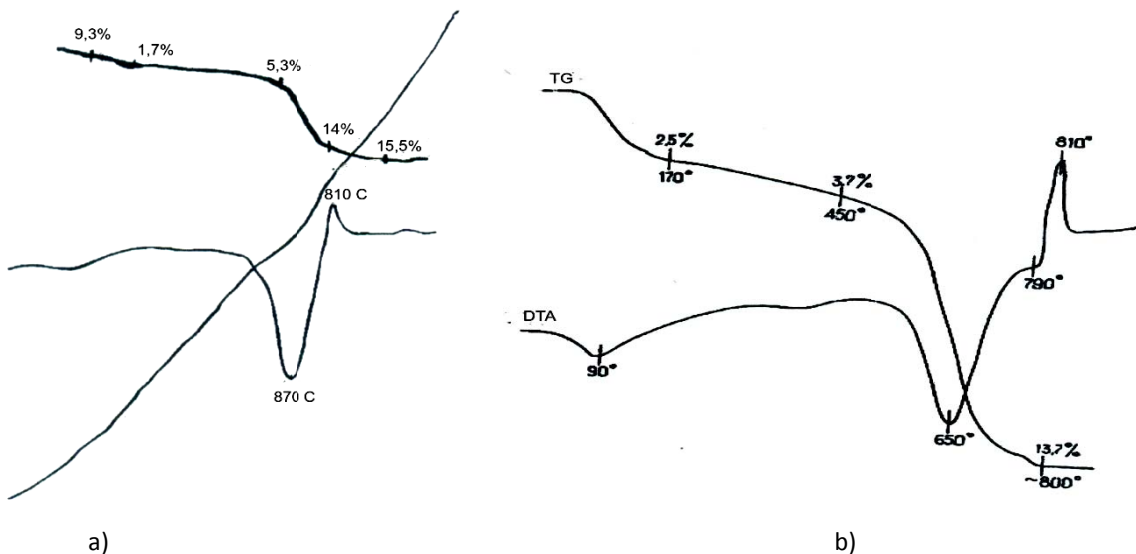


Fig. 2. Serpentinites thermograms: a) Tsnelisi; b) Sachkhere

Study of dolomites and serpentenites proves that they are fit for obtaining high refractory clinker. Studies can be performed by the application of serpentinite of both deposits and dolomite of those three deposits [8, 9, 10].

We have computed the component ratio of a mix (dolomite, serpentinite) when  $KH=0,85$  and  $KH=0,95$  which correspondingly equals to 3:1 and 4:1.

Table 1

Chemical compositions of charge and clinker

Material	Ratio	Oxides, mass/%; material							
		SiO <sub>2</sub>	Al <sub>2</sub> O <sub>3</sub>	MgO	CaO	Fe <sub>2</sub> O <sub>3</sub>	Humidity	Losses at calcination	Total
Dolomite-serpentinite mix,	3/1	10,92	0,68	23,91	23,84	1,69	0,09	38,86	100
	4/1	8,99	0,56	23,26	25,32	1,37	0,10	40,4	100
Dolomite-serpentinite clinker	3/1	17,89	1,11	39,16	39,05	2,77	-	-	100
	4/1	15,11	0,94	39,10	42,55	2,30	-	-	100

The Table offers theoretically computed chemical compositions of charge and clinker, at the values of coefficients of saturation  $KH=0,85$  and  $KH=0,95$ .

Characteristics computed for mineral composition of clinker for  $KH=0,85$  and  $KH=0,95$  are given in Table 2.

Table 2

## Computed characteristics of mineral compositions

clinker	KH	Minerals composition, mass %				
		C <sub>3</sub> S	C <sub>2</sub> S	C <sub>4</sub> AF	C <sub>2</sub> F	MgO
1	0,85	37,97	15,83	5,29	1,75	39,16
2	0,95	49,58	-	6,78	1,84	41,80

We studied clinkering and mineral formation processes during sintering of dolomite-serpentinite mix, according to temperature, by differential-thermal, X-ray diffraction, petrographic and electron-microscopic methods [11].

Composition of minerals created at sintering of dolomite-serpentinite and their amounts are offered.

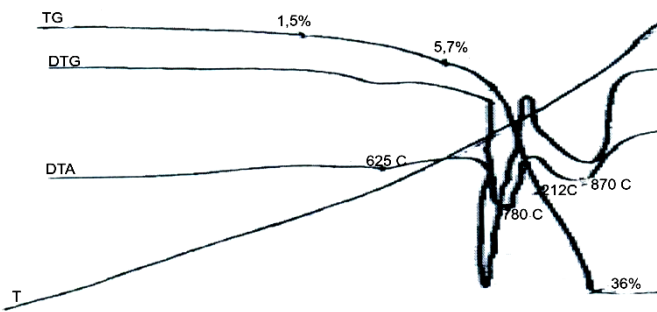


Fig. 3. Dolomite and serpentinite mix thermogram

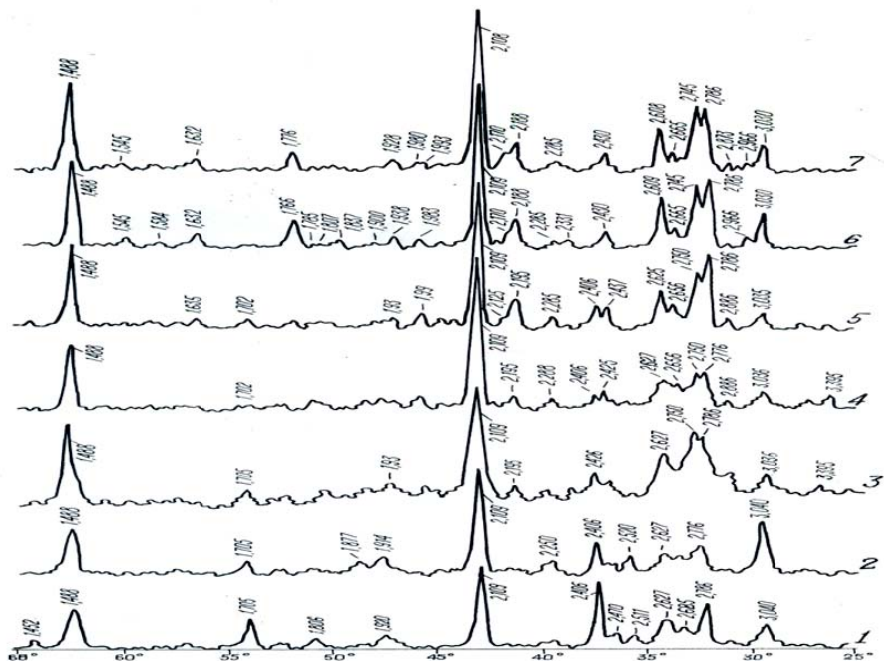


Fig. 4. X-ray of clinker 2

Differential curve of the mix fixes all endothermic effects, which are characteristic for dolomite and serpentinite (625, 780 and 870°C).

Specimens sintered at 1200 and 1300°C contain definite quantity of crystalline periclase and calcium silicates, including C<sub>2</sub>S. At the increase of temperature, at

1400 and 1450 °C it gradually decreases since C<sub>2</sub>S interacts with free CaO, the peaks of which disappear and alit is formed. Respectively, intensity of peaks characteristic to it increases [12-14].

The diagram shows alit (C<sub>3</sub>S), periclase and belit (C<sub>2</sub>S).

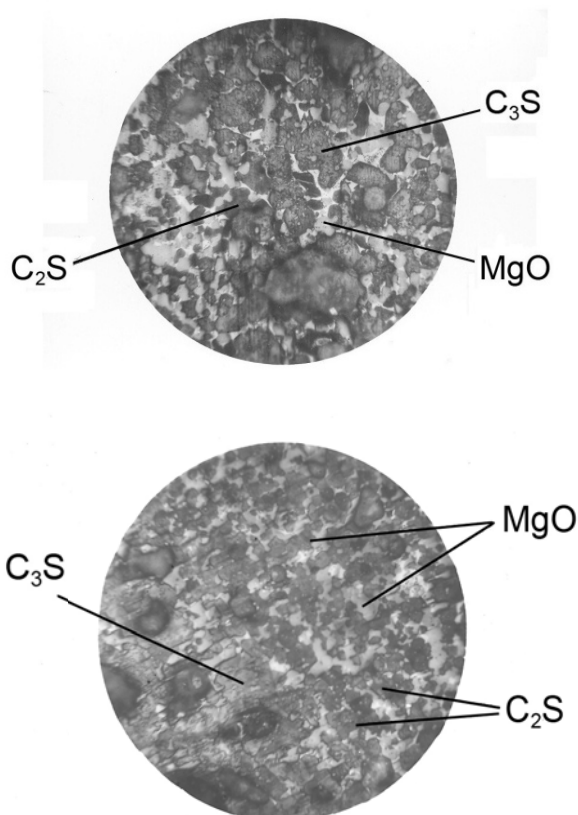


Fig. 5. Microstructure of clinker 1 sintered at 1450 °C

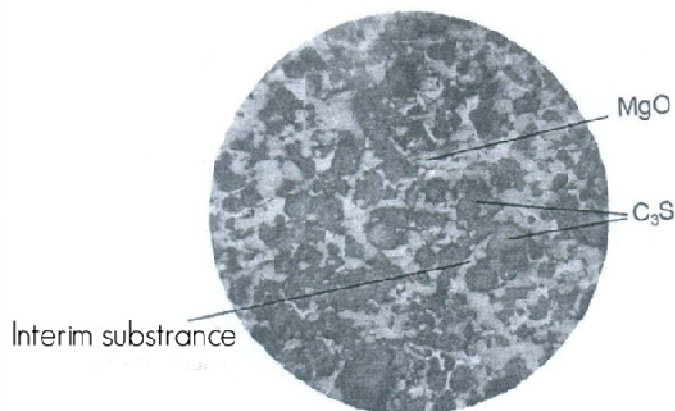
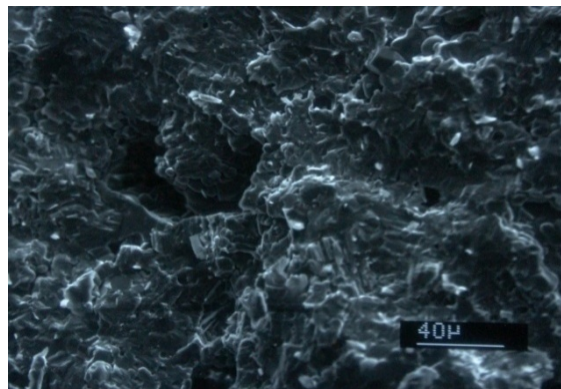


Fig. 6. Microstructure of clinker 2 sintered at 1450 °C Sintered clinker  
2 consists of MgO and C<sub>3</sub>S crystals

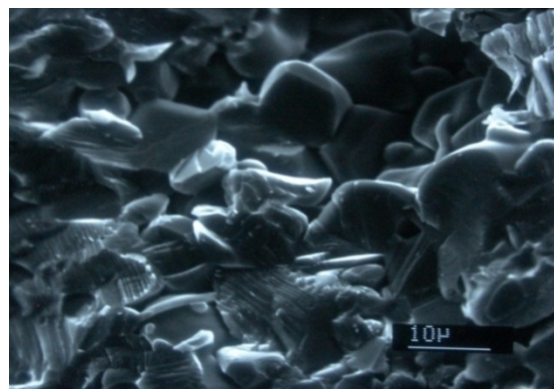
Fig. 6 shows well that clinker sintered at  $1450^{\circ}\text{C}$  with 2 impregnation coefficient  $\text{KH}=0,95$  mainly consists of  $\text{MgO}$  and  $\text{C}_3\text{S}$  crystals.

Thorough identification of crystalline phase is given on

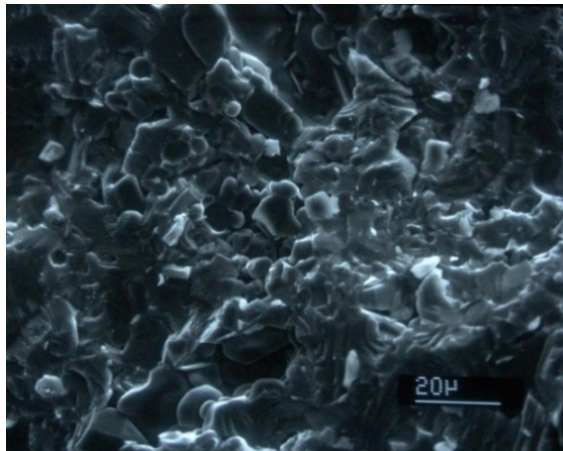
electron microscope pictures (Fig.7, 8). The main phases are observed in case of clinker 1: periclase, alit and belit. On the picture of clinker 2 there are no belit cristals.



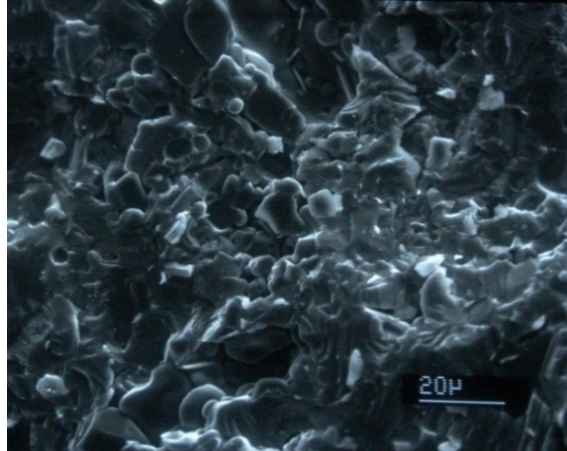
a) X1000



b) X2000



c) X3000



d) X3500

**Fig. 7. Electron microscope pictures of clinker 1 sintered at  $1450^{\circ}\text{C}$ , at various magnification:**  
a) X1000 b) X2000 c) X3000 d) X3500

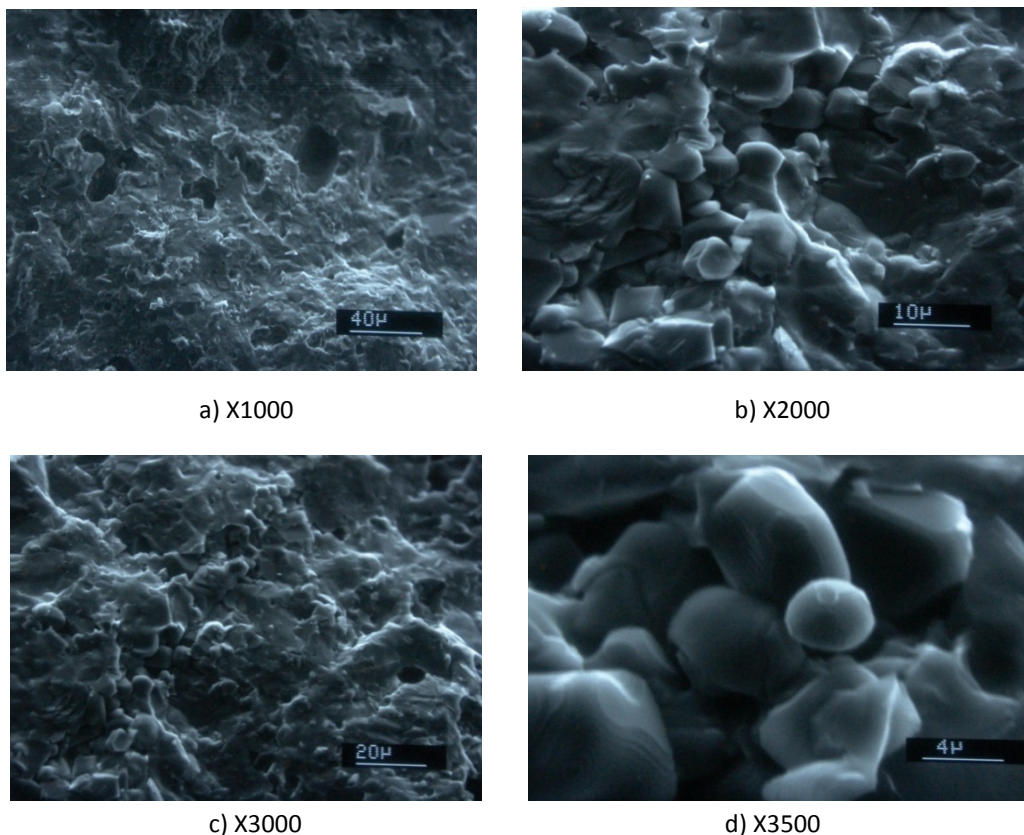


Fig. 8. Electron microscope pictures of clinker 2 sintered at 1450 °C, at various magnification:  
a) X1000 b) X2000 c) X3000 d) X3500.

At dolomite-serpentinite sintering due to chemical interaction, periclase, alit and belit are generated (clinker 1). Periclase and alit (clinker 2).

In special literature we find various binders which are used in production of refractory materials [15,16].

For our experiments we selected the binders: 25% solution of magnesium sulphate, water solution of

technical lignosulphonates, methyl cellulose and polyvinyl alcohol. The best results were obtained at the application of magnesium sulphate and methyl cellulose solutions (Table 3, 4).

Effect of compaction pressure to clinker, quantity of nanopowder and the binder on the composite properties were studied. Results are given in Table 3.

Table 3

#### Physical-mechanical properties of specimens

N	Dolomite-serpentinite ratio	Composition, %		Forming pressure MPa	Binder type and quantity,		Sintering temperature, T°C,	Water absorption, w%	open porosity, Π%	apparent density ρ g/cm³	strength limit at compaction, σ, MPa
		clinker	graphite		water	MgSO₄					
D <sub>1</sub>	4/1	90	10	80	10	-	1450	6,28	14.50	2.93	180.70
D <sub>2</sub>	4/1	90	10	100	10	-	1450	5,72	13.80	3.05	192.60
D <sub>3</sub>	4/1	85	15	80	10	-	1450	5,35	13.00	3.00	198.30
D <sub>4</sub>	4/1	85	15	100	10	-	1450	5,20	13.00	3.26	209.70
D <sub>5</sub>	4/1	90	10	80	-	10	1450	6,12	14.10	3.26	187.30
D <sub>6</sub>	4/1	90	10	100	-	10	1450	5.00	12.90	2.98	200.8
D <sub>7</sub>	4/1	85	15	80	-	10	1450	4.40	12.40	3.09	206.50
D <sub>8</sub>	4/1	85	15	100	-	10	1450	4.31	12.10	3.53	181.20

Obtaining of wear-resistant structure composite depends greatly on adequate selection of carbon-containing admix [17]. By application of carbon-containing admix (graphite nanopowder) with clinker, and by adding of a binder (20% solution of magnesium sulphate) properties of clinker are improved and high-grade high refractory composite is formed.

Optimal is compaction pressure 100 MPa, added nanopowder quantity – 15% and a binder which can be magnesium sulfate solution or water.

Properties of a composite obtained by addition of graphite nanopowder, antioxidant (silicium) and binder (methyl cellulose) to the clinker are offered in Table 4.

Table 4

#### Physical-technical properties of a specimen

specimen number	Mix composition, mass %					Physical-technical characteristics				
	clinker	graphite	silicium	methyl cellulose	plastisizer	strength limit at compaction, $\sigma$ , MPa	open porosity, Π%	apparent density, $\rho$ g/cm <sup>3</sup>	refactoriness, °C	thermal stability, (1300°C-water),
dn1	100	-	-	8	0,8	312,70	13,20	3,05	>1770	7
dn 2	88,5	10	1,5	10	-	67,00	14,20	2,45	>1770	7
dn 3	82,7	15	2,0	10	-	101,40	13,80	2,99	>1770	7
dn 4	82,5	15	3,0	10	0,8	345,00	10,10	3,25	>1770	7

Final optimal composition is: clinker-binder-graphite-silicium-plasticizer.

As is seen from X-ray of the obtained composite (Fig. 9) it contains the same minerals as dolomite-serpentinite clinker.

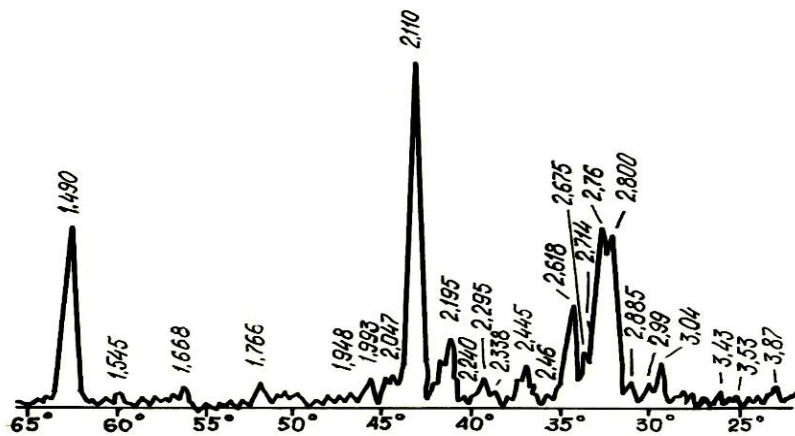
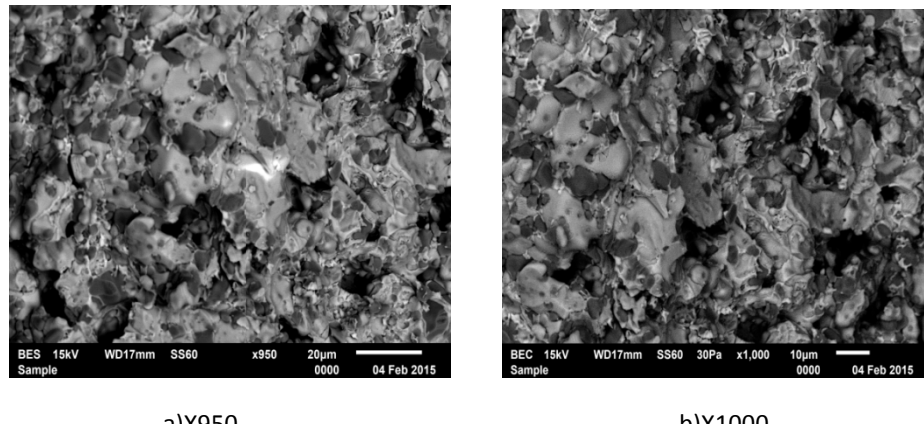


Fig. 9. Dolomite–serpentinite composite DN8 X-ray

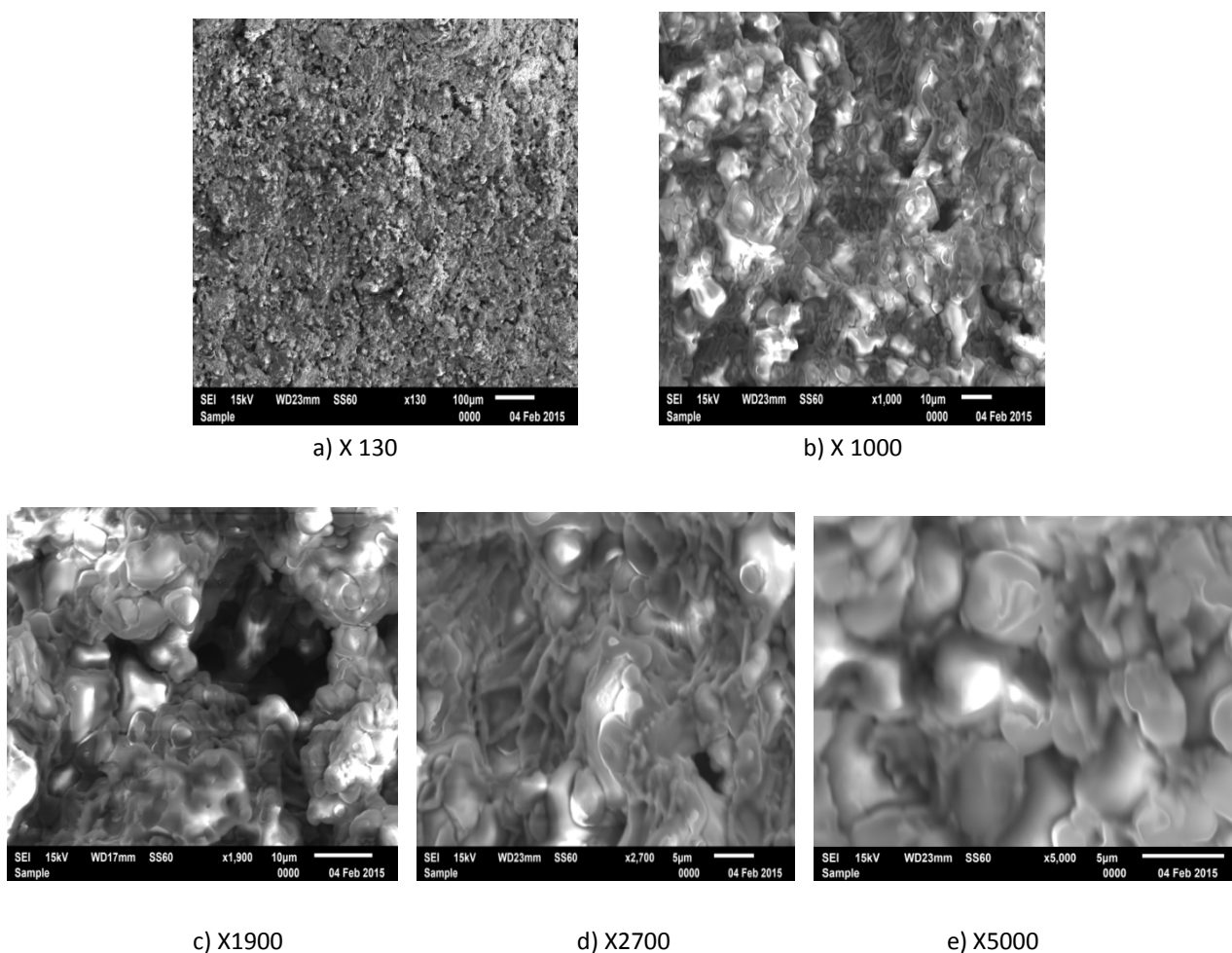
Composite X-ray shows that it contains the same minerals as dolomite-serpentinite clinker ( $MgO$ ,  $C_3S$ ).

Electron microscope Figure (10,11) of a composite DN8 specimen shows crystals of the main phases, in

particular: periclase and alit, there are small number of belit inclusions too. Intermediate substances  $C_3A$ ,  $C_2F$  and  $C_4AF$  are distributed nonuniformly in the composite.



**Fig. 10. Electron microscope pictures of dolomite-serpentinite composite at various magnification. a)X950 b)X1000**



**Fig. 11. Electron microscope pictures of dolomite-serpentinite composite at various magnification.  
a) X 130 b) X 1000 c) X1900 d) X2700 e) X5000**

Figures 10 and 11 clearly show presence of two color minerals, which supports the data of X-ray diffraction analysis.

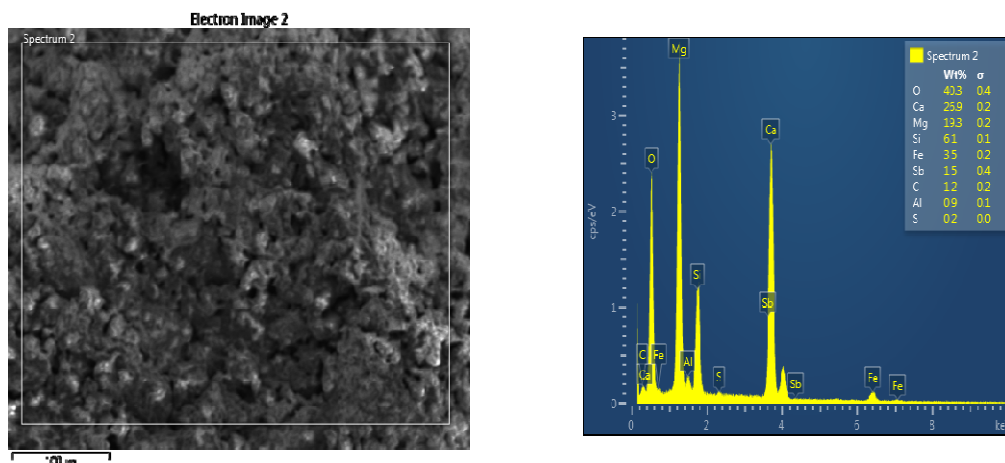
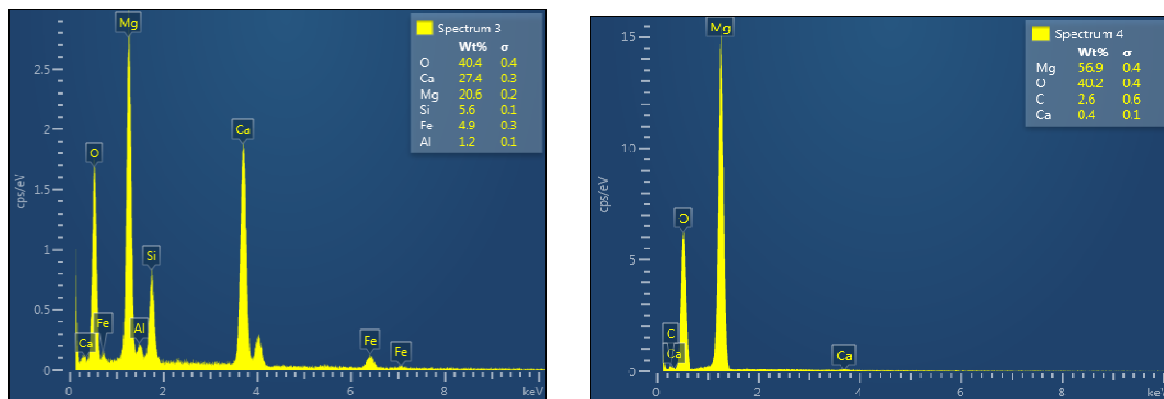
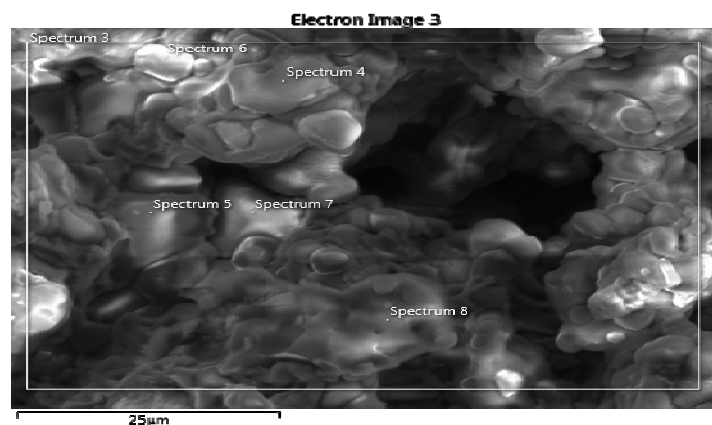


Fig. 12. Micro X-ray analysis of dolomite-serpentinite composite DN8.

Fig. 12 offers micro X-ray analysis of dolomite-serpentinite composite DN8 on the spectrum 2 section; scheme of constituent elements and their percentage. It shows that the constituent elements of the main

minerals of the composite, periclase and alit are: oxygen calcium, magnesium and silicium. Respectively, their percentage composition is as follows 40,3; 26,9; 19,3 and 6,1%.



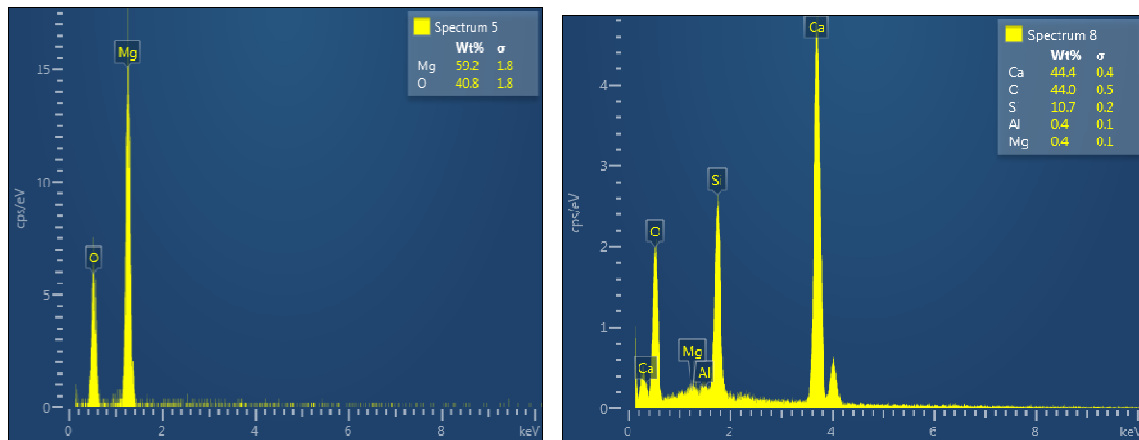


Fig. 13. Micro X-ray analysis of dolomite-serpentinite composite DN8

Schemes describing elements composition are given at relatively short sections of spectrum 4, 5 and 8. It offers graphic example about composition of constituent elements of the existing phases. Thus, e.g. spectrum 4 and 5 refer to percentage of elements Mg and O, while spectrum 8 shows percentage of elements which contain alit.

## CONCLUSION

1. Dolomite and serpentinite deposits of Georgia, their resources, chemical and mineralogical composition have been investigated.
2. Dolomite and serpentinite ratios 3:1 and 4:1 were selected for saturation coefficient KH ( $KH=0.85$  and  $KH=0.95$ ) and theoretically desirable mineralogical composition was computed.
3. Physical-technical properties of the obtained specimens were studied; it was proved that the best physical-technical indices were obtained at dolomite-serpentinite ratio 4:1. Optimal sintering temperature equals to  $1450^{\circ}\text{C}$  and standing at the final temperature - 4 hours.
4. Physical-chemical processes going on at the sintering at  $900-1450^{\circ}\text{C}$  of specimens obtained by the ratio 3:1 (clinker1) and 4:1 (clinker2) were studied by X-ray diffraction analysis.
5. At the 4:1 ratio of a mix thorough binding takes place by the formation of C3S through interaction of CaO obtained as a result of dolomite degradation with serpentinite SiO<sub>2</sub> and by sintering of a mix at  $1400-1450^{\circ}\text{C}$ .
6. Chemical and mineralogical composition of dolomite-serpentinite clinker has been studied. High quality well baked composite clinker of desired/focused phase composition was obtained, which was proved by petrographic and electronic-microscope analysis
7. Effect of a binder on composite properties was studied. Methyl cellulose was used as a binder.
8. Gunite, characterized by high physical and technical properties was obtained.
9. Effect of carbon-containing admixes was studied on physical-technical properties of the composite.
10. Graphite nanopowder, mark TIMREX KS 6 was used as carbon-containing admix, methyl cellulose solution was used as a binder and as a result carbon-containing composite was obtained that was characterized by high operation properties.
11. Studies were performed to determine effect of changes of forming pressure and added graphite nanopowder quantity on composite properties. Optimal is the forming pressure 100 MPa, quantity of graphite nanopowder admix 15%.
12. To prevent carbon oxidation the antioxidant silicium was introduced into the charge and sintering regime was selected. Simultaneously complex-action plasticizer was added to the charge and it was proved that on the base of the obtained clinker it was possible to prepare high refractory carbon-containing composite to replace costly magnesite refractory materials used in sintering zones in cement furnaces and as beddings in metallurgical furnaces.

## References

1. U.V. Bongers, Y.J. Stradmann. Dolomia, la solucion paza la zona de sintezizacion de los hoznos zotativos de cemento/ cem.- hozmigon. 2000. № 806, pp.62-71. (In English).
2. I. Novitskaya Batsevochus, J. Blasenko, I. Belov. Obtaining of heat resistant concrete on the base of periclase-alit clinker. Materials of 12 International Scientific-Practical Seminar (Minsk, November, 2001) Minsk: Strinko, 2001, pp.109-116. (In Russian).
3. Patent RB for invention № 6910, Dolomite refractory, 27.12.2001.
4. A. Tereshchenko, D. Margulis. For the issue of obtaining refractory objects on the base of dolomite. Collection of works of Ukrainian Inst. Refractory, 1970. 44. p.44. (In Russian).
5. Z. Kovziridze, N. Nizharadze, M. Balakhashvili, M. Mshvildadze. Obtaining of super high refractory clinker on the base new deposits of dolomite and serpentinite. Materials of International Scientific-Practical Conference. Kutaisi, 2013, 6-7 June, pp.285-288. (In Georgian).
6. Z. Kovziridze, N. Nizharadze, D. Gventsadze, M. Balakhashvili. Study of Skuri deposit dolomite to obtain high refractory composite. Ceramics, 1(18), Tbilisi, 2008, pp.10-12. (In Georgian).
7. T. Dolgikh, A. Karklit, etc., Dolomites of Alekseevsk origin. M., Metallurgy, Refractories.1992, №6, pp.16-19. (In Russian).
8. Z. Kovziridze, N. Nizharadze, D. Gventsadze, M. Balakhashvili. Study of dolomite from the Skuri deposit for receiving high refractory composite, 1st International Conference for Students and Young Scientists on materials Processing Science, October 10-13, 2010, Tbilisi, Georgia. pp.162-168. (In Georgian).
9. Z. Kovziridze, N. Nizharadze, M. Balakhashvili, M. Mshvildadze. Dolomites and serpentenites of Georgia for production of refractory materials, Journal of Georgian Ceramists Association “Ceramics”, 2 (30), 2013, pp. 10-14. (In Georgian).
10. A. Grebenyuk. High-refractory resistant dolomite clinker and articles made of it. Collection of works of SRI Refractories and Acid-proof Materials. M., 2000, pp. 51-60. (In Russian).
11. Z. Kovziridze, N. Nizharadze, M. Balakhashvili, E. Nikoleishvili, M. Mshvildadze. Processes of sintering and mineral formation at firing of dolomite and serpentinite mix Journal of Georgian Ceramists Association “Ceramics”, 2(28)2012, 1(29)2013 pp.77-86. (In Georgian).
12. Z. Kovziridze, N. Nizharadze, M. Balakhashvili, M. Mshvildadze. Obtaining of high refractory clinker of the base of new deposits of dolomite and serpentinite. Materials of International Scientific-Practical Conference, Kutaisi, 2013, 6-7 June, pp. 285-288. (In Georgian).
13. I. Kashcheev. etc., Internet and Engineering, 2000, pp.663. (In Russian).
14. Invention application to the National Center of Intellectual Property RB №a20020794 of 30.09.2002. (In English).
15. V. Borisov, I. Prokhorova, Yu. Rodgolts, M. Metallurgy. Refractories, 1986, №10. pp. 3-6. (In Russian).
16. Yu. Sagalevich, V. Borisova, E. Shapiro, M., Metallurgy, Refractories, 1986, №8. pp. 4-9. (In Russian).
17. I. Glushenko, O. Dolgikh. etc., On feasibility of production of periclase-carbonaceous articles by the use of petroleum hydrocarbon materials, M.: Metallurgy, 1991, №12, pp. 21-23. (In Russian).

**UDC 666.946.6**  
**SCOPUS CODE 2501**

**ბრაზიტის ნანოზეპნილის გაცლენა  $\text{CaO}-\text{MgO}-\text{SiO}_2$  სისტემის კომპოზიტზე  
ცემენტისა და მეტალურგიული ღუმლების მაღალტემატურული  
ამონაბეჭისათვის**

<b>ქ. კოვჩირიძე</b>	ქიმიური და ბიოლოგიური ტექნოლოგიების დეპარტამენტი, საქართველოს ტექნიკური უნივერსიტეტი, საქართველო, 0175, თბილისი, მ. კოსტავას 69 E-mail: kowsiri@gtu.ge
<b>ნიჯარაძე</b>	ქიმიური და ბიოლოგიური ტექნოლოგიების დეპარტამენტი, საქართველოს ტექნიკური უნივერსიტეტი, საქართველო, 0175, თბილისი, მ. კოსტავას 69 E-mail: nizharadzenatela@yahoo.com
<b>მ. ბალახაშვილი</b>	ქიმიური და ბიოლოგიური ტექნოლოგიების დეპარტამენტი, საქართველოს ტექნიკური უნივერსიტეტი, საქართველო, 0175, თბილისი, მ. კოსტავას 69 E-mail: maia-balakhshvili@mail.ru
<b>ზ. მესტვიციშვილი</b>	ქიმიური და ბიოლოგიური ტექნოლოგიების დეპარტამენტი, საქართველოს ტექნიკური უნივერსიტეტი, საქართველო, 0175, თბილისი, მ. კოსტავას 69 E-mail: zviad.mst@gmail.com

**რეცენზენტები:**

**თ. ჭეიშვილი,** სტუ-ის ქიმიური ტექნოლოგიისა და მეტალურგიის ფაკულტეტის ქიმიური და  
ბიოლოგიური ტექნოლოგიების დეპარტამენტის პროფესორი

E-mail: t.cheishvili@gtu.ge

**ჯ. ანელი,** რ. დვალის მანქანათა მექანიკის ინსტიტუტის მთავარი მეცნიერი თანამშრომელი,  
ტექნიკის მეცნიერებათა დოქტორი

E-mail: jimaneli@yahoo.com

**ანოტაცია:** ჩატარებულია საქართველოს დოლომიტების სამი საბადოს (აბანო, სკური, მუხური) და სერპენტინიტების (წერელისი, საჩხერე) შედარებითი კვლევა, ვარგისების დადგენის მიზნით, მაღალცეცხლგამძლე კლინკერის მისაღებად. კვლევა ჩატარებულია ქიმიური, თერმული და რენტგენოსტრუქტურული ანალიზის მეთოდებით. შესწავლილია დოლომიტ-სერპენტინიტური კომპოზიტი ნახშირბადშემცველი დანამატისა და შემკვრელის გამოყენებით. ნახშირბადშემცველი დანამატის სახით შევარჩიეთ TIMREX KS 6 მარკის გრაფიტის ნანოფენილი, შემკვრელად –  $\text{MgSO}_4$ -ის 20%-იანი ხენარი. შევისწავლეთ მათი გავლენა კომპოზიტის ფიზიკურ-ტექნიკურ თვისებებზე, ასევე ამ თვისებებზე დანამატის რაოდენობისა და დაყალიბების წნევის ცვლილების გავლენა. კომპოზიტის შემცველი ნახშირბადის დაუანგვის თავიდან აცილების მიზნით კაზმში ანტიდამუნგავის სახით შევიყვანეთ სილიციუმი და შევარჩიეთ გამოწვის რეჟიმი. ასევე კაზმში შევიყვანეთ კომპლექსური მოქმედების პლასტიფიკატორი. კვლევა ჩატარდა დიფერენციულ-თერმული და ელექტრონული მიკროსკოპის ანალიზის მეთოდით. ოპტიმალურად შეიძლება ჩაითვალოს დაწესების წნევა 100 მგპა, დამატებული 15% გრაფიტის ნანოფენილი, შემკვრელი შეიძლება იყოს მაგნიუმის სულფატის 20% ხენარი და წყალი, რადგან ამ უკანასკნელის გამოყენების შემთხვევაშიც მიიღება დამაკმაყოფილებელი შედეგი.

საგვარეულო სიტყვები: დანამატი; დიფერენციალურ-თერმული ანალიზი; დოლომიტ-სერპენტინიტი; კომპოზიტი; ელექტრონული მიკროსკოპია; ჟემარელი; წარმოების ტექნოლოგიური სქემა.

**UDC 666.946.6**

**SCOPUS CODE 2501**

## **ВЛИЯНИЕ НАНОПОРОШКА ГРАФИТА НА СВОЙСТВА КОМПОЗИТОВ В СИСТЕМЕ CaO-MgO-SiO<sub>2</sub> ДЛЯ ВЫСОКОТЕМПЕРАТУРНОЙ ФУТЕРОВКИ ЦЕМЕНТНЫХ И МЕТАЛЛУРГИЧЕСКИХ ПЕЧЕЙ**

**Ковзирдзе З.Д.**

Департамент химической и биологической технологий, Грузинский технический университет, Грузия, 0175, Тбилиси, ул. М. Костава 69  
E-mail: kowsiri@gtu.ge

**Нижарадзе Н.С.**

Департамент химической и биологической технологий, Грузинский технический университет, Грузия, 0175, Тбилиси, ул. М. Костава 69  
E-mail: nizharadzenatela@yahoo.com

**Балахашвили М.И.**

Департамент химической и биологической технологий, Грузинский технический университет, Грузия, 0175, Тбилиси, ул. М. Костава 69  
E-mail: maia-balakhashvili@mail.ru

**Мествиришвили З.З.**

Департамент химической и биологической технологий, Грузинский технический университет, Грузия, 0175, Тбилиси, ул. М. Костава 69  
E-mail: zviad.mst@gmail.com

### **Рецензенты:**

**Т. Чеишвили,** Профессор Департамента химической и биологической технологий факультета химической технологии и металлургии ГТУ

E-mail: t.cheishvili@gtu.ge

**Дж. Анели,** гл. научный сотрудник, к.т.н., профессор Института механики машин им. Двали

E-mail: jimaneli@yahoo.com

**АННОТАЦИЯ.** Проведено исследование трех месторождений грузинских доломитов (Абано, Скури, Мухура) и серпентинитов (Цнелиси, Сачхере) для установления их пригодности с целью получения высокоогнеупорного клинкера.

Использованы химический, термический и рентгеноструктурный методы исследования.

Исследован доломит-серпентинитовый композит с использованием связки и углеродосодержащей добавки. В качестве углеродосодержащей добавки использован графитовый нанопорошок марки TIMREX KS 6, а для связки – 20%-ный раствор MgSO<sub>4</sub>. Изучено влияние добавок и давления прессования на физико-технические свойства полученного композита.

Для устранения окисления углерода в смеси композита в качестве антиоксиданта использован силиций и выбран режим обжига. В смесь введен также пластификатор комплексного действия. Установлено, что на основе доломит-серпентинитового клинкера возможно получить высокоогнеупорный углеродосодержащий композит с высокими физико-техническими показателями. Составлена технологическая схема производства этого композита.

**КЛЮЧЕВЫЕ СЛОВА:** дифференциально-термический анализ; добавка; доломит-серпентинитовый композит; связка; технологическая схема производства; электронная микроскопия.

UDC 666. 762.93

SCOPUS CODE 2501

## APPLICATION OF ALUM-THERMAL AND NITROGEN METHODS FOR OBTAINING NANO-COMPOSITES IN THE SYSTEMS OF SiC-SiAlON AND Al<sub>2</sub>O<sub>3</sub>-SiAlON

<b>Z. Kovziridze</b>	Department of Chemical Technology and Biotechnology, Georgian Technical University, 69 M. Kostava str., 0175 Tbilisi, Georgia E-mail: kowsiri@gtu.ge
<b>N. Nizharadze</b>	Department of Chemical Technology and Biotechnology, Georgian Technical University, 69 M. Kostava str., 0175 Tbilisi, Georgia E-mail: nizharadzenatela@yahoo.com
<b>G. Tabatadze</b>	Department of Chemical Technology and Biotechnology, Georgian Technical University, 69 M. Kostava str., 0175 Tbilisi, Georgia E-mail: gulnazitabatadze@yahoo.com
<b>Z. Mestvirishvili</b>	Department of Chemical Technology and Biotechnology, Georgian Technical University, 69 M. Kostava str., 0175 Tbilisi, Georgia E-mail: zviad.mst@gmail.com
<b>N. Darakhvelidze</b>	Department of Chemical Technology and Biotechnology, Georgian Technical University, 69 M. Kostava str., 0175 Tbilisi, Georgia E-mail: darakhvelidzenino3@gmail.com

### Reviewers:

<b>G. Loladze</b> , Professor, Department of Chemical Technology and Biotechnology, Faculty of Chemical Technology and Metallurgy, GTU E-mail: g.loladze@gtu.ge
<b>J. Aneli</b> , Chief Researcher, R.Dvali Institute of Machine Mechanics, Doctor of Technical Sciences E-mail: jimaneli@yahoo.com

**ABSTRACT.** Purpose. By the reactive baking method at 1450°C on the base of geopolymers (kaolin), aluminum nano-powder, silicium, aluminum oxide, silicon carbide with little admixes of yttrium oxide, magnesium oxide and glass perlite (Aragac, Armenia), was obtained SiAlON-containing nano-composite. Methods. Composite was obtained by the reactive baking method at 1450°C through the alum-thermal and nitrogen process in the nitrogen medium. Results. The advantage of this method is that compounds, which are newly formed thanks to interaction going on at thermal treatment: Si<sub>3</sub>N<sub>4</sub>, Si, AlN are reactive, which contributes to SiAlON formation at relatively low temperature of 1300–1350°C. It is evident

that inculcation of α - Al<sub>2</sub>O<sub>3</sub> and AlN in crystal skeleton of β-Si<sub>3</sub>N<sub>4</sub> is easier since at this temperature interval crystal skeleton of Si<sub>3</sub>N<sub>4</sub> is still in the process of formation. It should also be stated that strength and wear resistance of SiAlONs increase in their presence in silicium carbamide and corundum containing composites. The paper offers processes of formation of SiC-SiAlON and Al<sub>2</sub>O<sub>3</sub>-SiAlON and β-SiAlON composites and describes their physical and technical properties. Open porosity of the obtained materials equaled to 15-16 %. Conclusion. Materials consisted of only SiAlONs. To receive compact materials the composites were grinded in planetary mill for eight hours, then cleaned from admixtures and the obtained powder was hot-pressed at 1750°C under 25

MPa. Standing time at final temperature equaled to seven min. The results of sample testing: Density,  $\text{g}/\text{cm}^3=3.24$ ; Thermal expansion coefficient,  $1/\text{grad } 10^{-6}(800)=2.7-3.0$ ; Hardness, HRA=94, HV=18 GPa; Flexural Strength, 500–550 MPa. Phase composition of the composites was studied by X-ray diffraction method, while the structure was studied by the use of optic and electron microscope. Obtained materials are used in protecting jackets of thermo couples used for melted metal temperature measuring (18–20 measuring) and for constructions used for placing objects in factory furnaces, and for cutting ceramics.

**KEY WORDS:** melted metal temperature measuring; nano-composite; sialon (SiAlON); hot pressing.

## INTRODUCTION

Our work pursued to obtain SiAlON-containing composites by reactive sintering, on the basis of silicon carbide and corundum. This method enables us to obtain desirable phase composition material and such materials possess properties of the hot-pressed objects. In the process of obtaining SiAlON by reaction sintering, sintering temperature is sharply decreased at the application of active materials, in our case we had to select materials which would enable us to use newly formed components obtained by the method of reactive sintering, since at the obtaining of solid solution of SiAlON inculcation of  $\alpha\text{-Al}_2\text{O}_3$  and AlN in  $\beta\text{-Si}_3\text{N}_4\text{-Si}$  is especially simplified when its crystalline lattice is still in the process of formation.

Therefore we gave preference to silica alumina material kaolin, aluminium powder and elemental silicon. Intense progress of science and technology demands perfection of various branches of industry, which in its turn is connected with the necessity of creation of new materials characterized by hetero modular properties. Taking into consideration the practical experience in materials science, an advantage of carbides, borides, nitrides and silicides over other type materials were proved, since hardly melted materials are distinguished by precious properties such as: high refraction, corrosion resistance to a number of aggressive media, high mechanical characteristics, specific electro and heat-physical properties and others [1]-[6].

Among the oxygen free hardly melted materials silicon carbide and silicon nitride based materials are distinguished, which by their unique physical-technical and chemical properties are widely used in modern technology: machine-building, chemical, atomic energy, petroleum refining industries etc. [7]- [14].

Intense work is in progress in recent years in the sphere of obtaining types of ceramics in which properties of oxygen-free substances and oxygen substances will be fused and SiAlON are namely such materials [15]-[18].

## MAIN PART

Geopolymer, aluminium powder, silicon, silicon carbide, aluminium oxide were used as starting materials, and manganese and yttrium oxides, pearlite and refractory clay were used as additives. Blend compositions are given in Table 1.

Blend compositions

Table 1

Composite index	Initial component composition, mass.%								
	kaolin	Al	$\text{Al}_2\text{O}_3$	SiC	Si	Pearlite, Armenia	$\text{Y}_2\text{O}_3$	MgO	Polog clay, Ukraine
SN-1	80,00	20,00							
SN-2	20,00	10,00		70,00					
SN-3	20,00	10,00	70,00						
SN-6	18,52	18,52	18,52	18,52	20,37	2,78	1,85	0,92	
SN-7	13,89	23,15		27,78	25,00	2,78	1,85	0,92	4,63
SN-8	13,89	23,15	27,78		25,00	2,78	1,85	0,92	4,63

Specimens were made of cylindrical form, size d=15 mm, by semi-dry molding method, molding pressure was 20 MPa. After drying it was sintered in a furnace, by one hour standing at the final temperature. Device for sintering for the specimens consisted of a furnace equipped with silicon carbide heaters, mark TK 30/200.

We have studied physical-chemical properties of specimens sintered at 1500°C (Table 2). As is seen from

the Table 2, C<sub>7</sub>, then C<sub>6</sub> and C<sub>8</sub> are distinguished by high physical-technical properties. Open porosity, correspondingly equals to 15,2, 15,0 and 15,4 %. Hardness limit at compaction is 258, 256 and 254 MPa, which refers to the fact that 1500°C is not enough for complete hardening. Despite this, chemical resistance to water and acid ( $H_2SO_4 \rho=1.84$ ) is still high. Refractoriness of specimens equals to 1770°C.

Table 2  
Physical-technical characteristics of specimens sintered at 1500°C

Composite index	Open porosity w, %	Hardness limit at compaction, MPa	Density, ρ, g/sm <sup>3</sup>	Chemical resistance, %	
SN-1	16.2	230	2.28	Water	Sulfuric acid, $\rho 1.84$
SN-2	15.0	245	2.8	99,41	99.16
SN-3	16.0	240	3.2	99.36	99.15
SN-6	15.0	256	2.25	99.82	99.20
SN-7	15.2	258	2.31	99.79	99.25
SN-8	15.4	254	2.78	99.80	99.30

To investigate physical-chemical processes taking place at SiAlONs obtaining the specimens were sintered in 800–1500 °C temperature interval and the investi-

gation was carried out by X-Ray diffraction analysis. X-Ray patterns are given on Figure 1.

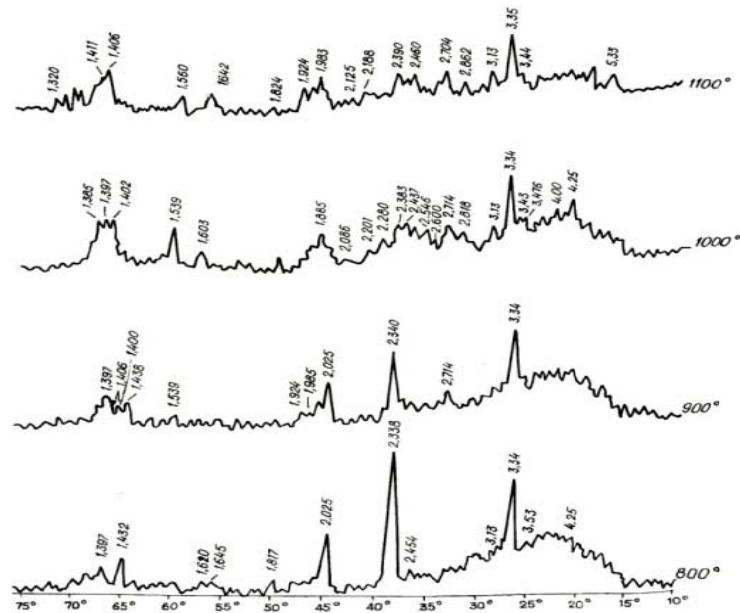
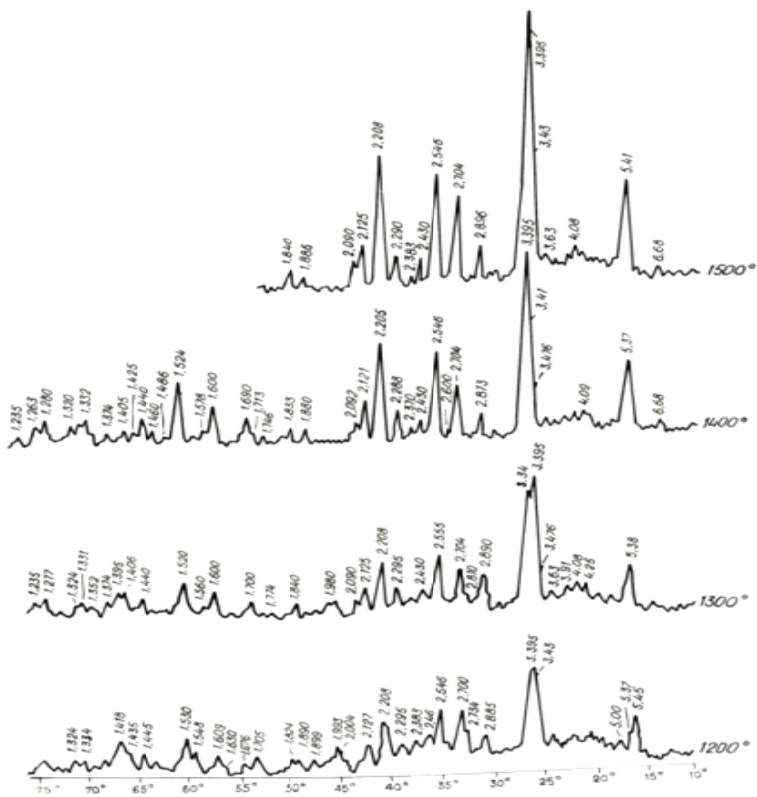


Fig.1. X-Ray patterns of SN-1 composite (800-1100 °C)

X-Ray diffraction analysis of sintered SN-1 specimens was carried out at 800–1500 °C by 100°C interval.

X-Ray pattern at 800 °C shows clearly cut diffraction maximums characteristic to aluminium, silicium and

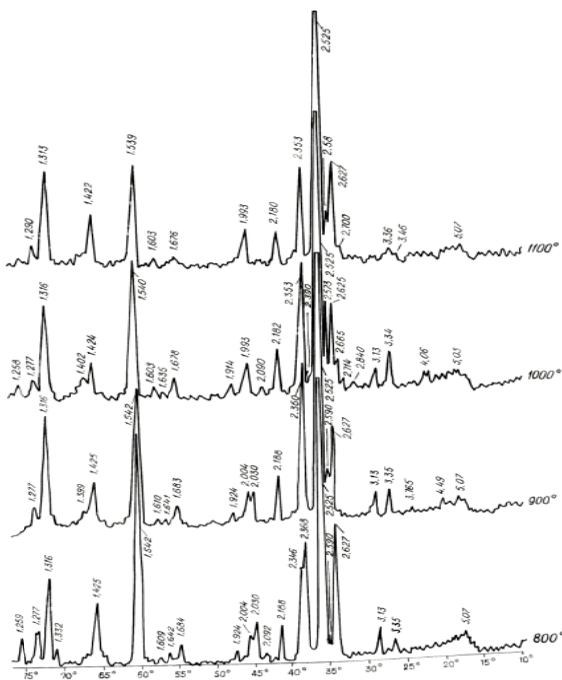
quartz. At 900–1000°C temperature interval peaks characteristic to aluminium and  $SiO_2$  are sharply decreased, new phases are formed as a result of interaction of AlN and AlON nitrogen and aluminium.



**Fig. 2. SN-1 composite X-RAY ( 1200–1500°C)**

At 1100–1200°C interval intensity of aluminium diminishes and intensity of AlIN and AlON increases.

Intensity of  $\text{SiO}_2$  sharply decreases. At  $1200^\circ\text{C}$  there are no peaks of Si and  $\text{SiO}_2$ . Peaks characteristic to mullite appear.



**Fig. 3. SN-2 composite X-RAY ( 800–1100°C)**

At  $1300\text{--}1400^{\circ}\text{C}$  (Fig. 2) the main phase is mullite. Quartz is presented in the form of AlN and AlON and peak characteristic to  $\text{Si}_3\text{N}_4$  is not observed. The same picture is seen at  $1500^{\circ}\text{C}$ , which refers to the fact that at  $1300^{\circ}\text{C}$  X-SiAlON of mullite structure was formed [19]-[20].

In the X-Ray patterns of SN-2 composition (Table 1)

in the specimens sintered up to  $800\text{--}1500^{\circ}\text{C}$  at  $100^{\circ}\text{C}$  interval, silicium carbide that was introduced into blend remains unchanged at all temperatures. As seen from the SN-1 specimens, here again as at  $800\text{--}900^{\circ}\text{C}$  (Fig.3) there are diffraction maximums characteristic to aluminium, silicium and  $\text{SiO}_2$ .

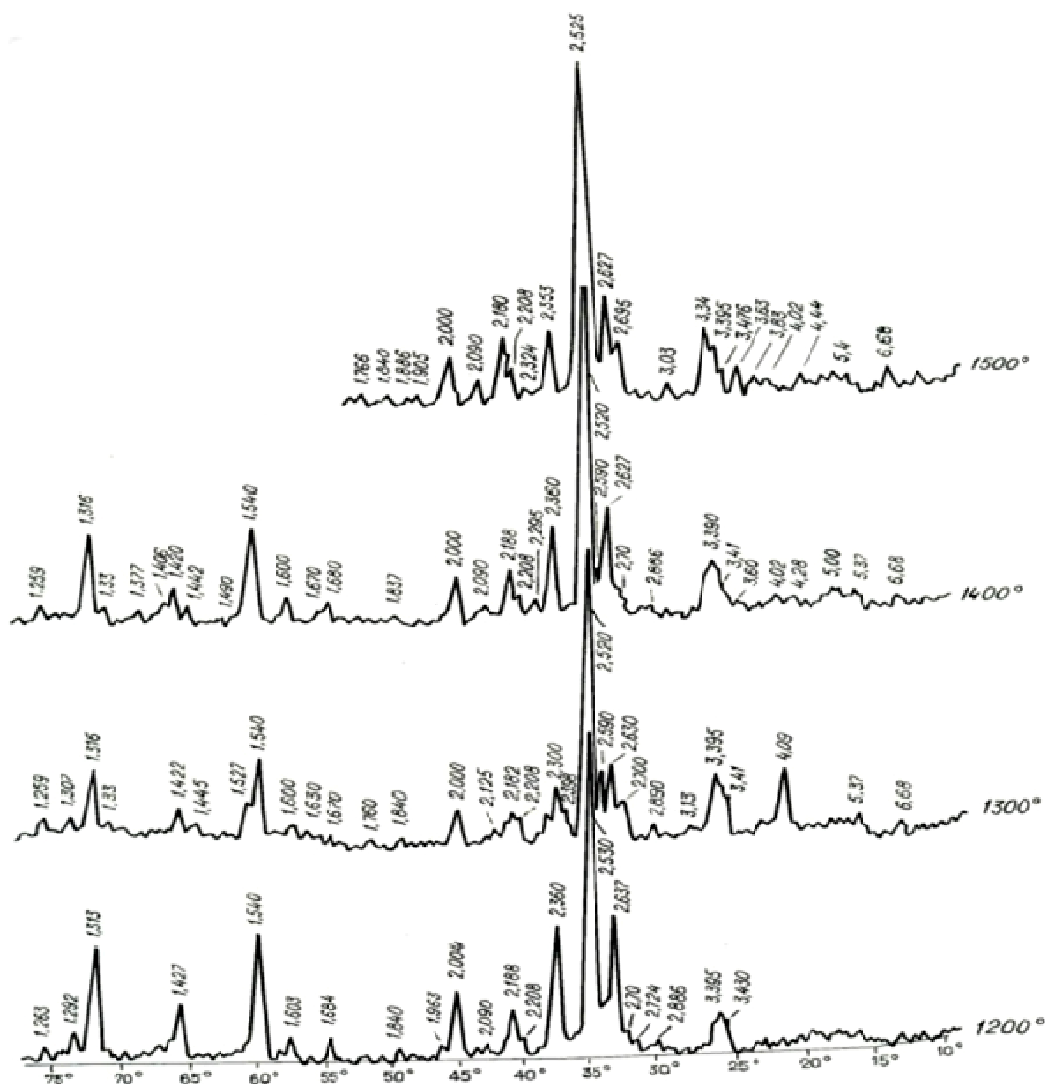
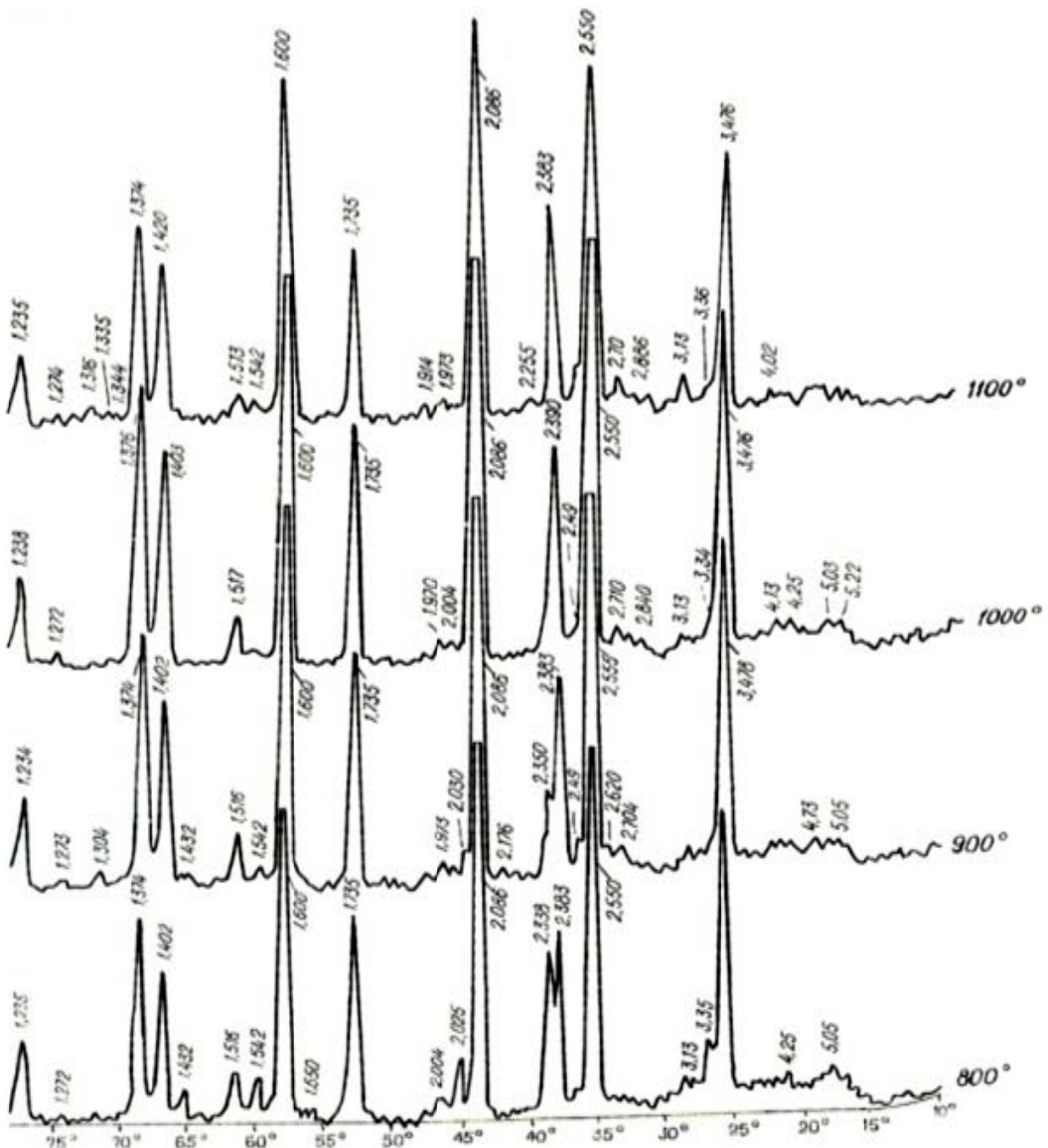


Fig. 4. SN-2 composite X-RAY ( $1200\text{--}1500^{\circ}\text{C}$ )

At  $1000\text{--}1100^{\circ}\text{C}$  new phases were formed: AlN and AlON, while at  $1100^{\circ}\text{C}$  - mullite. At all other temperatures phase formation proceeded by the scheme similar to that of SN-1, but with less intensity, depending on the composition. Thus silicium carbide composite with X-

SiAlON binder is obtained (Fig.4). Similar to SN-1 and SN-2 chemical processes in SN-3 composition specimens (Table 2) proceeds by the same scheme (Fig.5-6).  $\alpha\text{-Al}_2\text{O}_3$  remains unchanged to the end and the composite corundum with X-SiAlON binder is obtained.



**Fig. 5. SN-3 composite X-Ray (800–1100°C)**

On the grounds of the obtained results, to obtain SiC and  $\alpha$ -Al<sub>2</sub>O<sub>3</sub>-containing SiAlON composites, we introduced into charge composition, metallic silicium, silicon carbide in smaller amount and  $\alpha$ -Al<sub>2</sub>O<sub>3</sub> (Table 1: SN-6, SN7, SN-8). X-Ray patterns of three composites (SN-6,

SN-7, SN-8) sintered at 1500°C are offered on Figures 7,8, 9 . SN-6 composite mainly consists of  $\beta$ -SiAlON [21]- [25]. It showed diffraction maximums characteristic to carbide and corundum.

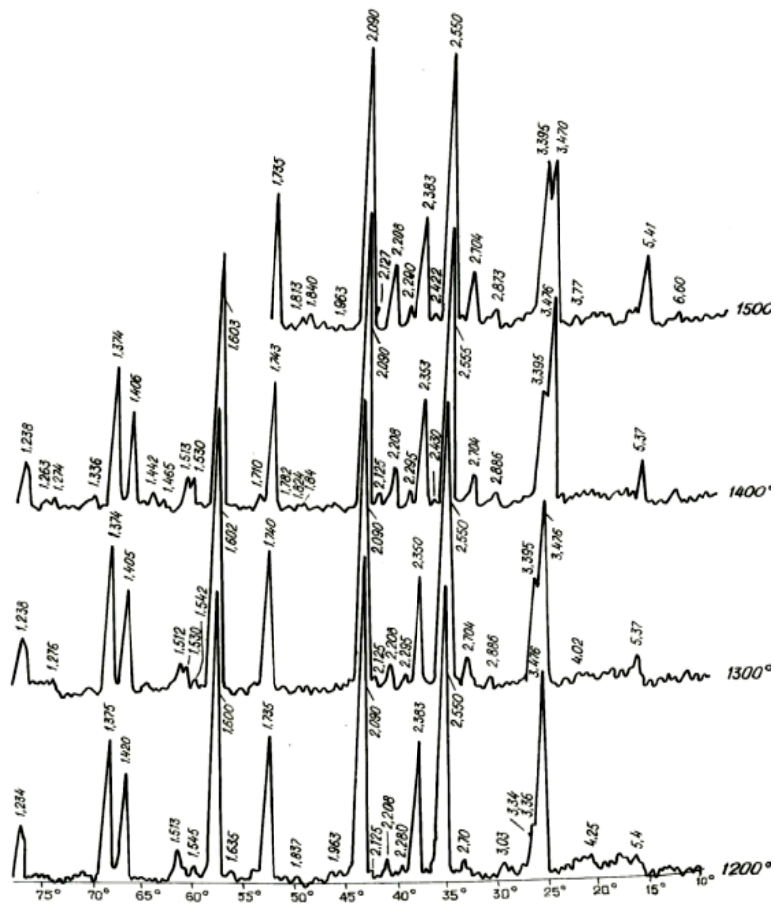


Fig.6. SN-3 composite X-Ray (1200–1500 $^{\circ}$ C)

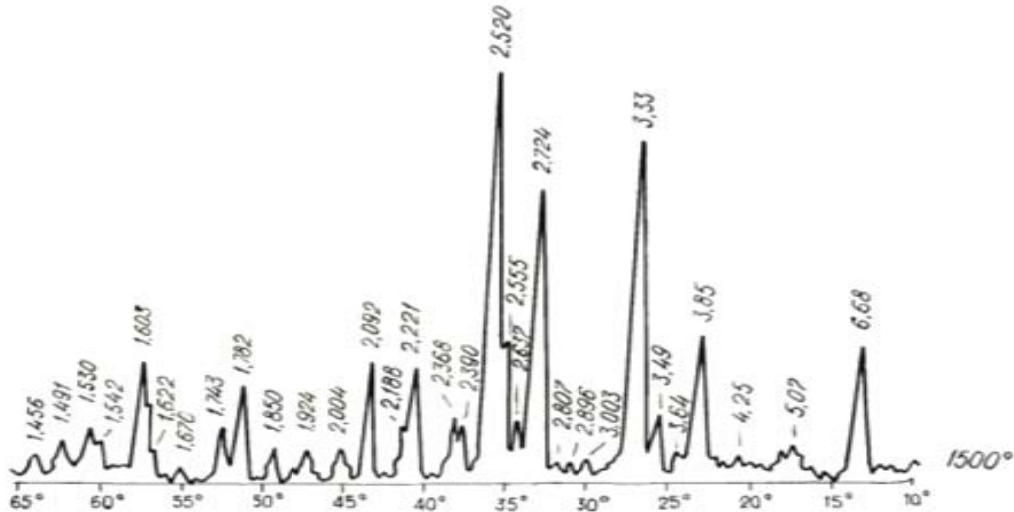


Fig. 7. SN-6 composite X-RAY (1500 $^{\circ}$ C)

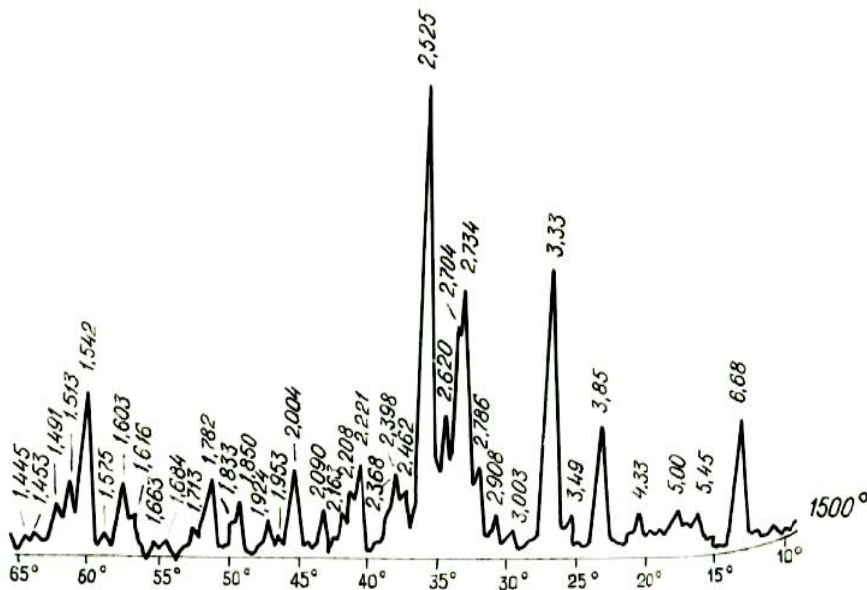


Fig.8. SN-7 composite X-Ray (1500°C)

The main phase at the SN-7 X-ray pattern is  $\beta$ -SiAlON. The composite alongside with B-SiAlON consists of silicium carbide; it contains X-SiAlON in trace quantity.

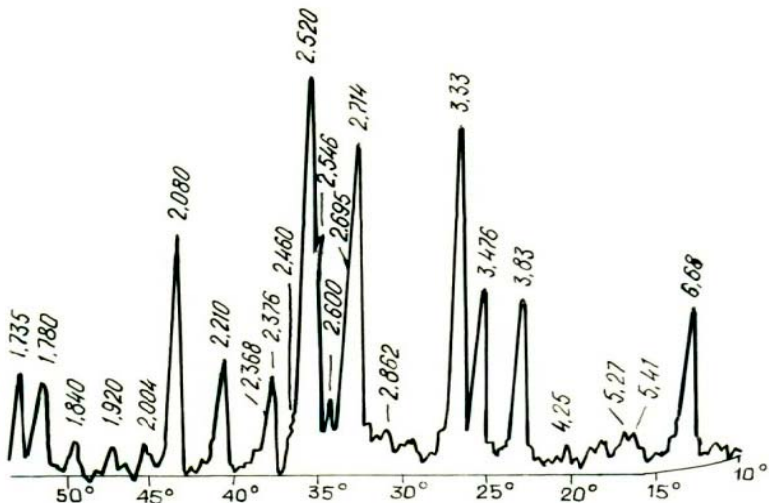


Fig.9. SN-8 composite X-Ray (1500°C)

SN-8 composite, similar to the above referred composites consists of  $\beta$ -SiAlON and the introduced  $\alpha$ - $\text{Al}_2\text{O}_3$ .

Results of microstructure analysis (Fig.10) confirm the data of X-Ray structural studies. Microstructure of SN-1 composite is presented mainly by X-SiAlON phase, in which particles of  $\text{Si}_3\text{N}_4$  are inserted as inclusions. Lattice of SN-6 composite is  $\beta$ -SiAlON with silicium carbide and

corundum grains spread in it. SN-7 composite lattice is analogous to that of SN-6, in which silicium carbide grains of the size exceeding that of new-formed silicium nitride are clearly visualized. Lattice of SN-8 composite contains of the very  $\beta$ -SiAlON with  $\alpha$ - $\text{Al}_2\text{O}_3$  crystals. This Figure shows pores which are presented in quantity in this composite.

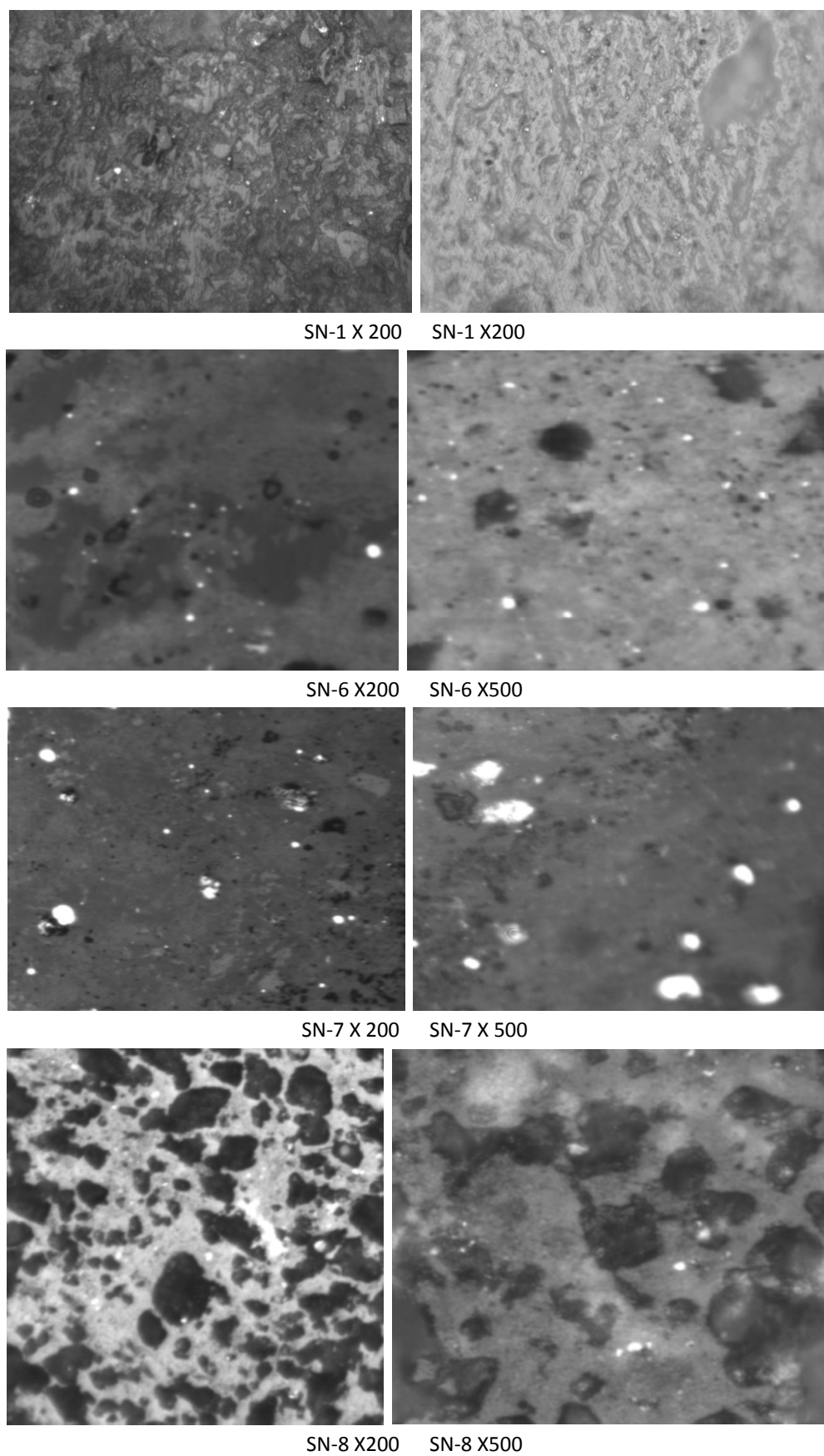


Fig. 10. Microstructures of composites

**CONCLUSION**

At sintering of kaolin and aluminium powder blend in 800–1500°C interval temperatures of formation of aluminium and silicium nitrides and on their base mullite structure X-SiAlONs was fixed and proved. While at

sintering of SiC-aluminium powder, silicium and α-Al<sub>2</sub>O<sub>3</sub>–aluminium powder – silicium blend the SiC-SiAlON and Al<sub>2</sub>O<sub>3</sub>-SiAlON composites on β-SiAlON lattice were obtained. The obtained results are confirmed by X-Ray diffraction and microscopic analysis.

**References**

- I. Gusman, E. Tumakova and A. Fedotov (1970) Correlative Studies of Some Properties of Materials Based on Composites SiC+Si<sub>3</sub>N<sub>4</sub> and SiC-Si<sub>2</sub>N<sub>2</sub>. Refractories, **3**, pp. 44-48.(In English).
- M. Kilian. (1987) Produktionsverfahren, Anwendungseigenschaften und Einsatzmoeglichkeiten von Nitridkeramik insbesondere von Siliciumnitrid. Vortragsvero ff. Haus Techn., Essen, **519**, pp. 19-21. (In English).
- Wang L, He C, Wu J. Oxidation of Sintered Silicon Nitride Materials. Ceram. Mater and Comp. Engin. Proc. Jnt.Simp. Las Vegas, 27-30 November 1988, Westerville, Ohio, 1989, pp. 604- 611. (In English).
- Ya.I. Belij, V.V Lomda., V.M. Svistun and S.G. Polezhai.( 1990) For the Issue of Obtaining Composite Materials Based on Silicium Nitride. M., International Conference, Abstracts of Reports, Part 2, p. 174. (In English).
- G.M. Zheng, J. Zhao, Z.J. Gao and Q.Y. Cao. (2012) Cutting Performance and Wear Mechanisms at SiAlON-Si<sub>3</sub>N<sub>4</sub> Graded Nano-Composite Ceramic Cutting Tools. The International Journal of advanced Manufacturing Technology, **58**, pp. 19-28. (In English).
- F.L. Riley. (2000) Silicon Nitride and Related Materials. Journal of the American Ceramic Society, **83**, pp. 10-30. (In English).
- K.L. Luthra. (1991) A Mixed Interface Reaction/Diffusion Control Method for Oxidation of Silicon Nitride. Journal of the Electrochemical Society, **138**, pp. 3001-3007. <http://dx.doi.org/10.1149/1.2085355>. (In English).
- L.U.J.T. Ogbuji. (1992) Role of Si<sub>2</sub>N<sub>2</sub>O in the Passive Oxidation of Chemically-Vapor-Deposited Si<sub>3</sub>N<sub>4</sub>. Journal of the American Ceramic Society, **75**, pp. 2995-3000. <http://dx.doi.org/10.1111/j.1151-2916.1992.tb04377.x> (In English).
- C. Kawai, A. Yamakawa. (1997) Effect of Porosity and Microstructure on the Strength of Si<sub>3</sub>N<sub>4</sub>: Designed Microstructure for High Strength, High Thermal Shock Resistance, and Facile Machining. Journal of the American Ceramic Society, **80**, pp. 2705-2708. <http://dx.doi.org/10.1111/j.1151-2916.1997.tb03179.x> (In English).
- Y. Cerenius. (1999) Melting Temperature Measurements on α-Silicon Nitride to a Pressure of 37 GPa. Journal of the American Ceramic Society, **82**, pp. 380-386. <http://dx.doi.org/10.1111/j.1551-2916.1999.tb20073.x> (In English).
- L. Chukholina. (2012) Method for Obtaining SiAlON Powder. <http://bd.patent.su/2378000>. (In Russian).
- [Http://www.ceramtec.com.ua/ceramic-materials/sialon](http://www.ceramtec.com.ua/ceramic-materials/sialon)
- I. Borovinskaya, K. Smirnov. (1998) Self-Spreading High Temperature Synthesis of SiAlON Ceramics. Science for Industry, **8**, pp. 39-45. (In Russian).
- I. Boyarina, A. Puchkov, etc., (1981) SiAlONs, a New Refractory Material. Refractory, **12**, pp. 24-28. (In Russian).
- H.P. Van Landeghem, M. Goune, A. Redjamia. (2012) Investigation of a Ferrite/Silicon Nitride Composite Concept Aimed at Automotive Applications. Steel Research International, **83**, pp. 590-593. <http://dx.doi.org/10.1002/srin.201100264> (In English).
- A. Rosenflanz and I.-W. Chen. (1999) Phase Relationships and Stability of α-SiAlON. Journal of the American Ceramic Society, **82**, pp. 1025-1036. <http://dx.doi.org/10.1111/j.1151-2916.1999.tb01869.x> (In English).
- P.L. Land, J.M. Wimmer, R.W Burns and N.S. Choudhury. (1978) Compounds and Properties of the System Si-AL- O-N. Journal of the American Ceramic Society,**61**, pp. 50-60. <http://dx.doi.org/10.1111/j.1151-2916.1978.tb09230.x>
- T. Ekstrom, M. Nygren. (1992) SiAlON Ceramics. Journal of the American Ceramic Society, **75**, pp. 259-276. <http://dx.doi.org/10.1111/j.1151-2916.1992.tb08175.x> (In English).
- M. Schmucker, H. Schneider. (1999) Transformation of X-Phase SiAlON to Mullite. Journal of the American Ceramic Society, **82**, pp. 1934-1936. <http://dx.doi.org/10.1111/j.1151-2916.1999.tb02021.x> (In English).
- C.C. Anya and A. Hendry. (1994) Hardness, Indentation Fracture Toughness and Compositional Formula of X-Phase SiAlON. Journal of Materials Science, **29**, pp. 527-533. <http://dx.doi.org/10.1007/BF01162517> (In English).
- T. Ekstrom and P.O. Olsson. (1989) Beta-SiAlON Ceramics Prepared at 1700 °C by Hot Isostatic Pressing. Journal of the

- American Ceramic Society, **72**, pp.1722-1724. <http://dx.doi.org/10.1111/j.1151-2916.1989.tb06311.x> (In English).
22. T. Ekstrom, P.O. Kall, M. Nygren, P.O. Olsson. (1989) Dense Single-Phase Beta-SiAlON Ceramics by Glass-Encapsulated Hot Isostatic Pressing. *Journal of Materials Science*, **24**, pp. 1853-1861.  
<http://dx.doi.org/10.1007/BF01105715> (In English).
23. K. Kishi, S. Umebayashi, E. Tani. (1990) Influence of Microstructure on Strength and Fracture Toughness of Beta-SiAlON. *Journal of Materials Science*, **25**, pp. 2780-2784. <http://dx.doi.org/10.1007/BF00584879>. (In English).
24. J. Piekarczyk, J. Lis, J. Bialoskorski. (1990) Elastic Properties, Hardness, and Indentation Fracture Toughness of Beta-SiAlONs. *Key Engineering Materials*, **89-91**, pp. 542-546. (In English).
25. X. Jiang, Y.K. Baek, S.M. Lee, S.J.L. Kang. (1998) Formation of an  $\alpha$ -SiAlON Layer on  $\beta$ -SiAlON and Its Effect on Mechanical Properties. *Journal of the American Ceramic Society*, **81**, pp. 1907-1912. <http://dx.doi.org/10.1111/j.1151-2916.1998.tb02565.x> (In English).

**UDC 666. 762.93**

**SCOPUS CODE 2501**

## ალუმინიუმის და აზოფირების მეთოდების გამოყენება ნანოკომპონენტების მისაღებად SiC-SiAlON და Al<sub>2</sub>O<sub>3</sub>-SiAlON სისტემებში

- ზ. კოვჩირიძე** ქიმიური და ბიოლოგიური ტექნოლოგიების დეპარტამენტი, საქართველოს ტექნიკური უნივერსიტეტი, საქართველო, 0175, თბილისი, მ. კოსტავას 69  
E-mail: kowsiri@gtu.ge
- ნ. ნიჟარაძე** ქიმიური და ბიოლოგიური ტექნოლოგიების დეპარტამენტი, საქართველოს ტექნიკური უნივერსიტეტი, საქართველო, 0175, თბილისი, მ. კოსტავას 69  
E-mail: nizharadzenatela@yahoo.com
- გ. ტაბატაძე** ქიმიური და ბიოლოგიური ტექნოლოგიების დეპარტამენტი, საქართველოს ტექნიკური უნივერსიტეტი, საქართველო, 0175, თბილისი, მ. კოსტავას 69  
E-mail: gulnazitabatadze@yahoo.com
- ზ. მესტვირიშვილი** ქიმიური და ბიოლოგიური ტექნოლოგიების დეპარტამენტი, საქართველოს ტექნიკური უნივერსიტეტი, საქართველო, 0175, თბილისი, მ. კოსტავას 69  
E-mail: zviad.mst@gmail.com
- ნ. დარახველიძე** ქიმიური და ბიოლოგიური ტექნოლოგიების დეპარტამენტი, საქართველოს ტექნიკური უნივერსიტეტი, საქართველო, 0175, თბილისი, მ. კოსტავას 69  
E-mail: darakhvelidzenino3@gmail.com

### რეცენზები:

გ. ლოლაძე, სტუ-ის ქიმიური ტექნოლოგიისა და მეტალურგიის ფაკულტეტის ქიმიური და

ბიოლოგიური ტექნოლოგიების დეპარტამენტის პროფესორი

E-mail: g.loladze@gtu.ge

ჯ. ანელი, რ. დვალის მანქანათა მექანიკის ინსტიტუტის მთავარი მეცნიერი თანამშრომელი,  
ტექნიკის მეცნიერებათა დოქტორი

E-mail: jimaneli@yahoo.com

**ანოტაცია:** 1450°C-ზე რეაქციული შეცხობის მეთოდით გეოპოლიმერის (კაოლინი), ალუმინის ნანოფენილის, სილიციუმის, ალუმინის ოქსიდის, სილიციუმის კარბიდის, იტრიუმის, მაგნიუმის ოქსიდებისა და მინისებრი პერლიტის (არაგაცი, სომხეთი) მცირე დანაშატებით მიღებულია სიალონ-

შემცველი ნანოკომპოზიტი. კომპოზიტი მიღებულია რეაქციული შეცხობის მეთოდით  $1450^{\circ}\text{C}$ -ზე, ალუმინორმული და აზოტირების პროცესით აზოტის გარემოში. ამ მეთოდის უპირატესობაა ის, რომ ფენიციტი, რომელიც ახალი დაუალიბებულია თერმული დამუშავების პროცესში ურთიერთქმედების შედეგად  $\text{Si}_3\text{N}_4$ ,  $\text{Si}$ ,  $\text{AlN}$  რეაქციულია და  $\text{SiAlON}$ -ს წარმოქმნის შედარებით დაბალ,  $1300$ – $1350^{\circ}\text{C}$  ტემპერატურაზე. ადსანიშნავია, რომ  $\alpha\text{-Al}_2\text{O}_3$  და  $\text{AlN}$  ჩანერგვა  $\beta\text{-Si}_3\text{N}_4$ -ის კრისტალურ მესერში შედარებით ადგილია აღნიშნულ ტემპერატურულ ინტერვალში, როდესაც  $\text{Si}_3\text{N}_4$ -ის მესერი ჯერ კიდევ ფორმირების პროცესშია. უნდა აღინიშნოს ისიც, რომ  $\text{SiAlON}$ -ის სიმაგრე და კოროზიული მედეგობა იმატებს სილიციუმის კაბიდის და კორუნდის შემცველობის კომპოზიტში.

ნაშრომში წარმოდგენილია  $\text{SiC}$ – $\text{SiAlON}$ -ის,  $\text{Al}_2\text{O}_3$  –  $\text{SiAlON}$ -ისა და  $\beta$  –  $\text{SiAlON}$ -ის ფორმირების პროცესები კომპოზიტში და აღწერილია მათი ფიზიკური და ტექნიკური თვისებები. მიღებული მასალების დია ფორიანობა  $15$ – $16\%$  ტოლია; სიმაგრე როკველით  $\text{HRA}=94$ ;  $\text{HV}=18$  გპა; მექანიკა დუნგაზე –  $500$ – $550$  მგპა. ფაზური შედგენილობა შესწავლილია რენტგენოსტრუქტული ანალიზით, ოპტიკური და ელექტრონულ-მიკროსკოპული ანალიზებით.

**საბგანძო სიტყვები:** გალდობილი ლითონის ტემპერატურის გაზომვა; ნანოკომპოზიტი; სიალონ ( $\text{SiAlON}$ ); ცხელი წნევა.

UDC 666.762.93  
SCOPUS CODE 2501

## ИСПОЛЬЗОВАНИЕ АЗОТИРОВАНИЯ И АЛЮМИНОТЕРМИЧЕСКОГО МЕТОДОВ ДЛЯ ПОЛУЧЕНИЯ НАНОКОМПОЗИТОВ В СИСТЕМАХ SiC-SiAlON И Al<sub>2</sub>O<sub>3</sub>-SiAlON

Ковзиридзе З.Д.	Департамент химической и биологической технологий, Грузинский технический университет, Грузия, 0175, Тбилиси, ул. М. Костава 69 E-mail: kowsiri@gtu.ge
Нижарадзе Н.С.	Департамент химической и биологической технологий, Грузинский технический университет, Грузия, 0175, Тбилиси, ул. М. Костава 69 E-mail: nizharadzenatela@yahoo.com
Табатадзе Г.С.	Департамент химической и биологической технологий, Грузинский технический университет, Грузия, 0175, Тбилиси, ул. М. Костава 69 E-mail: gulnazitabatadze@yahoo.com
Мествиришвили З.З.	Департамент химической и биологической технологий, Грузинский технический университет, Грузия, 0175, Тбилиси, ул. М. Костава 69 E-mail: zviad.mst@gmail.com
Дарахвелидзе Н.Ю.	Департамент химической и биологической технологий, Грузинский технический университет, Грузия, 0175, Тбилиси, ул. М. Костава 69 E-mail: darakhvelidzenino3@gmail.com

### Рецензенты:

Г. Лоладзе, профессор Департамента химической и биологической технологий факультета химической технологии и металлургии ГТУ

E-mail: g.loladze@gtu.ge

Дж. Анели, гл. научный сотрудник, к.т.н., профессор Института механики машин им. Двали

E-mail: jimaneli@yahoo.com

**АННОТАЦИЯ.** Получен сиалонсодержащий нанокомпозит с малыми добавками геополимера (каолин), нанопорошка алюминия, силиция, оксидов алюминия, иттрия, магния, карбида силиция и стеклоподобного перлита (Арагац, Армения) методом реакционного спекания при 1450<sup>0</sup>С в среде азота с последующим горячим прессованием.

Преимуществом этого метода является то, что при термической обработке новообразующиеся соединения Si<sub>3</sub>N<sub>4</sub>, Si и AlN являются более реакционноспособными и, взаимодействуя с другими компонентами, образуют SiAlON при более низких температурах – 1300–1350<sup>0</sup>С. Надо отметить, что внедрение Al<sub>2</sub>O<sub>3</sub> и AlN в кристаллическую решетку β-Si<sub>3</sub>N<sub>4</sub> относительно легче происходит в этом интервале температур, когда кристаллическая решетка Si<sub>3</sub>N<sub>4</sub> еще в процессе формирования. Надо отметить еще, что твердость и коррозионная устойчивость сиалонсодержащего композита повышается с содержанием карбида силиция и оксида алюминия.

В статье представлено обсуждение процессов формирования SiC-SiAlON, Al<sub>2</sub>O<sub>3</sub>-SiAlON и β-SiAlON и их физико-технических свойств. Открытая пористость полученных материалов составляет 15-16%, твердость HRA=94; HV=18 ГПа; механика при изгибе 500–550 МПа; фазовый состав изучен рентгеноструктурным, оптическим и электронномикроскопическим методами анализов.

**КЛЮЧЕВЫЕ СЛОВА:** горячее прессование; нанокомпозит; определение температуры расплавленных металлов; сиалон (SiAlON).

UDC 669.1.017:661.774.35

SCOPUS CODE 2506

შესაღებებელი ( $C \leq 0.22\%$ ;  $CE \leq 0.43\%$ ), უნივერსიტეტის B500W არმატურის

ჭარმოება  $\sigma_{\text{f}} \geq 500$  ნ/მ<sup>2</sup> დენადობის ზღვრით ცხლად გლიცელ მდგრადარეობაში,  
თერმული დამუშავების ბარეში

- ვ. კოპალეიშვილი მეტალურგიის, მასალათმცოდნეობისა და ლითონების დამუშავების დეპარტამენტი, საქართველოს ტექნიკური უნივერსიტეტი, საქართველო, 0175, თბილისი, გ. კოსტავას 69  
E-mail: v.kopaleishvili@gtu.ge
- ნ. მუმლაძე შპს „რუსთავის ფოლადი“, საქართველო, 3700, ქ. რუსთავი, გაგარინის 12  
E-mail: n.mumladze@rustavisteel.com
- ზ. ტაბატაძე შპს „რუსთავის ფოლადი“, საქართველო, 3700, ქ. რუსთავი, გაგარინის 12  
E-mail: z.tabatadze@rustavisteel.com
- მ. თაბაგარი მეტალურგიის, მასალათმცოდნეობისა და ლითონების დამუშავების დეპარტამენტი, საქართველოს ტექნიკური უნივერსიტეტი, საქართველო, 0175, თბილისი, გ. კოსტავას 69  
E-mail: archiltabagari@gmail.com
- ი. ქაშაკაშვილი მეტალურგიის, მასალათმცოდნეობისა და ლითონების დამუშავების დეპარტამენტი, საქართველოს ტექნიკური უნივერსიტეტი, საქართველო, 0175, თბილისი, გ. კოსტავას 69  
E-mail: i.kashakashvili@gtu.ge
- ო. ბარბაქაძე შპს „რუსთავის ფოლადი“, საქართველო, 3700, ქ. რუსთავი, გაგარინის 12  
E-mail: salome.b@live.ru
- რ. ბაქრაძე შპს „რუსთავის ფოლადი“, საქართველო, 3700, ქ. რუსთავი, გაგარინის 12  
E-mail: r.bakradze@rustavisteel.com

#### რეცენზები:

რ. გვეტაძე, სტუ-ის ქიმიური ტექნოლოგიისა და მეტალურგიის ფაკულტეტის მეტალურგიის, მასალათმცოდნეობისა და ლითონების დამუშავების დეპარტამენტის პროფესორი

E-mail: z.gvetadze@gtu.ge

ზ. ლომსაძე, სტუ-ის ქიმიური ტექნოლოგიისა და მეტალურგიის ფაკულტეტის მეტალურგიის, მასალათმცოდნეობისა და ლითონების დამუშავების დეპარტამენტის პროფესორი

E-mail: z.lomsadze@gtu.ge

ფუძის „გათავისუფლება“ იწვევს ბზარმედეგობის

ანოთაცია: აუსტენიტის ფრაგმენტაცია, მეორეული ფაზების დისპერსიულობის ზრდა, მალეგირებელი ელემენტების თანაბარი განაწილება,

ზრდას. ამ ფაქტორებს დაემატა ე. წ. „ახალი ფენომენის“ კომპლექსური გავლენა – შენადნობის ქიმიური შედგენილობა + „შლეიფი“ <Ti+N+V> +

დამუშავება ტექნოლოგიურ პროცესში, რაც სიმბიცეს ზრდის პლასტიკურობის შენარჩუნებით. მაგალითად, სელექტირებული 3D-ის ფოლადის გლინგა სორტსაგლინავ დგანტე + „შლეიფი“ <Ti+N+V> უზრუნველყოფს კარგად შედედებადი (C≤0,22%; CE≤0,43%) B500W არმატურის მიღებას თერმული დამუშავების გარეშე. ამ ტექნოლოგიაში წარმატებით გაიარა სამრეწველო აპრობაცია (N№25<sup>X</sup>; 18<sup>XII</sup>; 16<sup>XIV</sup>; 12<sup>XVI</sup> მმ) და მზადაა ფართო მასშტაბიანი გამოყენებისათვის.

**საკვანძო სიტყვები:** „ახალი ფენომენის“ გავლენა; შენადნობის ქიმიური შედგენილობა + „შლეიფი“ <Ti+N+V>+ დამუშავება ტექნოლოგიურ პროცესში.

### შესავალი

გასული საუკუნის 70-იან წლებში ჩვენი (ჯერ ჯგუფი, შემდეგ სექტორი და ბოლოს “მასალათა თვისებების დაბორატორია”, ახლა თვითდაფინანსებაზე მყოფი “მასალათა თვისებების სასწავლო-სამეცნიერო ცენტრი”) ერთ-ერთი ძირითადი მიმართულება იყო ცხელი პლასტიკური დეფორმაციის გამოყენება ლითონის, კერძოდ ფოლადების სტრუქტურათა მართვის პროცესების მოსაგარებლად. საბჭოთა სივრცეში შემუშავებული მაღალტემპერატურული თერმულმექანიკური დამუშავება (მთმდ) შეისწავლებოდა თითქმის კველა თერმომექანიკური დამუშავების ფაქტორის ( $t^{\circ}\text{C}$ ,  $\varepsilon \%$ ,  $V \text{ მ/წმ}$  და სხვა) გავლენით. განსაკუთრებულ ყურადღებას იმსახურებდა დფფორმაციის სიჩქარის (ხშირად, გლინგის სიჩქარის) გავლენის შესწავლა. არსებული მონაცემების “სიღარიბე” სტიმულს გვმატებდა ვერფილი-ყავით ერთ-ერთი პირველი ამ სტრატეგიულ მომართულებაში. ჩვენთვის კარგად იყო ცნობილი, რომ, მთმდის დროს, ოპტიმალურ რეჟიმებზე,

ჩვეულებრივ თერმულ დამუშავებასთან შედარებით, სიმტკიცის მაჩვენებლები ეფექტურად იზრდებოდა, პლასტიკურობის მახასიათებლების საკმარის მაღალი დონის შენარჩუნებით. 30ХГСА, 30ХГСН, 1Х17Н2, X18Н10Т ფოლადების შესწავლისას, მოყვანილ ტრადიციულ შედეგებთან ერთად, ოპტიმალურ რეჟიმებზე დაფიქსირდა საკვლევი ობიექტების კოროზიული მახასიათებლების გაუმჯობესება. თუ რით იყო ეს სიახლე განპირობებული, პასუხი გასცა ახალმა სტრუქტურულმა კვლევებმა. აღმოჩნდა, რომ ცხელი პლასტიკური დეფორმაციის გავლენით (მთმდ დროს) ფიქსირდება მაღალგირებელი ელემენტების უფრო თანაბარი განაწილება ფუძეში, ვიდრე ამას ადგილი პქნდა ჩვეულებრივი თერმული დამუშავების დროს [1-3], [5]. მოგვიანებით თერმომექანიკური ( $t^{\circ}\text{C}$ ,  $\varepsilon \%$ ,  $V \text{ მ/წმ}$  და სხვა) ფაქტორების გავლენა, მთმდ დროს, შეისწავლებოდა საავტორო უფლებებით დაცული ფოლადების (20Т – ს.მ. 1544833; 40ГСМФ – ს.მ. 1208090; 40ГМФ – ს.მ. 1362058; 30ГСТЮ – ს.მ. 1479545; 38Г1Т – ს.მ. 1381191; 40ГФ – ს.მ. 1381190) ბზარმედეგობაზე. ნაჩვენებია, რომ ერთიანი (ზოგადი) კანონზომიერება მიღებულ შედეგებში გამოკვეთილად არ შეინიშნება. მიღებული შედეგები ავტონომიურია და ასახავს აღებული მასალის მდგომარეობას მოცემულ პირობებში. რაც უფრო მეტადაა შენარჩუნებული ცხელი პლასტიკური დეფორმაციის გავლენით განპირობებული ეფექტები სტრუქტურაში (ფრაგმენტირებული აუსტენიტის მარცვალი, გამოყოფილი დისპერსიული მეორეული ფაზები, მაღავირებელი ელემენტების თანაბარი განაწილება მატრიცაში და სხვა), კონტროლირებადი გლინგის დროს, მით უფრო მაღალია ბზარმედეგობის მაჩვენებელი. ბზარმედეგობის მახასიათებელზე დადებითად მოქმედებს მყარი სსნარის (ფუძის) გათავისუფლება მაღალგირებელი ელემენტების

საგან, ასევე ჩანერგილი ფაზებისაგან. ზემომო-  
ყვანილ ფოლადებს გავლილი აქვს მსხვილმასშ-  
ტაბიანი საქარხნო აპრობაცია დანერგვის ჩათვ-  
ლით. ამ კუთხით საინტერესო იყო ბზარმედეგო-  
ბის დადგენა (ცხრილი 1).

რეჟიმების შერჩევისას საორენტაციოდ გვქონ-  
და ჩვეულებრივი თერმული დამუშავება, რომ-  
ლებსაც ვადარებდით ორი სახის დამუშავებას:

- 1) ნიმუშების წინასწარი დამუშავება „მოწვა“, რომელსაც უტარდება მთმდ;
- 2) წინასწარი დამუშავება „გაუმჯობესება“: წრთობა+მაღალი მოშვება, რომელსაც უტარდება მთმდ. მიკროსკოპიულმა ანალიზატორმა აჩვენა უმაღლესი ერთგვაროვნება, რაც კოროზიამედე-  
გობის გაუმჯობესების განმსაზღვრელია.

ცხრილი 1

**20T, 40ГСМФ, 40ГМФ, 30ХСТЮ, 38Г1Т, 40ГФ ფოლადების ძირითადი მახასიათებლები  
ბზარმედეგობის (J-ინტეგრალი)  $J_{IC}$ , ნ/მმ, ჩათვლით**

ფოლადის მარკა	დამუშავება	დენადობის ზღვარი, $\sigma_{\text{დ}}$ , ნ/მმ <sup>2</sup>	ფარდობითი წაგრძელება, $\delta_5$ , %	მუშაობა და- ხარჯული ბზარის ჩასახვასა და გაგ- რცელებაზე $a_{\text{ჩ}}+a_{\text{გ}}$ , ნ/მმ <sup>2</sup>	J-ინტეგრალი, ბზარმედეგობა, $J_{IC}$ , ნ/მმ
20T	ცხლად გლინული მილი (ცხ. გლ.)	297	39	$a_{\text{1}}, \text{ნ/მმ}^2 60+110$	95
40ГСМФ	ცხ. გლ. მილი+ ნორმალიზაცია+ მაღალი მოშვება (650°C)	750	23	$a_{\text{1}},80+150$	140
40ГМФ	ცხ. გლ. მილი + ნორ. + მაღალი მოშვება (600°C)	730	23	$a_{\text{1}},60+90$	114
30ХСТЮ	ცხლად გლინული არმატურა	413	29	$a_{0.25},60+16$	78
38Г1Т	სატუმბ-საკომ- პრესორო მილი	590	20	$a_{\text{1}},70+20$	42
40ГФ	ცხ. გლ. მილი + + ნორ.+მოშვება	600	26	70+60	100

ცხრილის მონაცემები ძალზე საინტერესოა  
მრავალი კუთხით, ამიტომ მიზანშეწონილია ასე-  
თი მიღებმით შევისწავლოთ სხვა, ახალი კომ-  
პოზიციები. მიღებული შედეგები უფრო დაგ-  
ვაახლოებს ჭეშმარიტებასთან.

გამარტივებული მოდელით ლითონის რდვევა

(ნერგვა) არის მასში გარკვეული ზომის ბზარის  
ჩასახვისა და გავრცელების პროცესი. ლითონის  
(მასალის) უნარს წინააღმდეგობა გაუწიოს ბზა-  
რის ჩასახვისა და ჩასახული (ან არსებული)  
ბზარის გადაადგილებას, გავრცელებას ბზარ-  
მედეგობა ანუ რდვევის (ნერგვის) სიბლანტე

ეწოდება. ამ მახასიათებლის დადგენა მოცემული მასალისათვის შესაძლებელია ეკვივალენტური ძალოვანი (K<sub>c</sub>) ან ენერგეტიკული (G<sub>c</sub>) პარამეტრების დადგენით. პირველი მოითხოვს ბრტყელი დეფორმაციის პირობების შესრულებას მასალის მაღალ ( $\sigma_{\text{დ}} > 1000 \text{ N/mm}^2$ ) სიმტკიცესთან ერთად. აღნიშნული პრობლემურია შედარებით დაბალი სიმტკიცისა და თხელკედლიანი მასალების შემთხვევაში. რაც შეეხება ენერგეტიკულ პარამეტრს (G<sub>c</sub>), განსაკუთრებით J-ინტეგრალის მიახლოებით მეტოდს (J<sub>c</sub>), ის ფართოდ გამოიყენება არამაღალი სიმტკიცის მქონე ლითონური პროდუქციის ბზარმედეგობის დასადგენად. J-ინტეგრალის ინგარიანტულობის თვისებამ, ძაბვისა და დეფორმაციების სინგულარულობასთან ერთად, შესაძლებელი გახადა ის ყოფილიყო საზომი ლითონების (მასალების) რღვევის (ნგრევის) შესაფასებლად, კრიტერიუმად. მისი (J-ინტეგრალის) ინტეგრირების კონტურის მიმართ ინგარიანტულობა საშუალებას იძლევა ექსპერიმენტები ჩავატაროთ არამკაცრად დადგენილი გეომეტრიული ზომების მქონე ნიმუშებზე. მისი გამოყენება საშუალებას იძლევა შესწავლილ იქნეს შედარებით დაბალი სიმტკიცის და მაღალი პლასტიკურობის მქონე ლითონური მასალები და, რაც მთავარია, ნიმუშებზე მიღებული შედეგები გადატანილ იქნეს ლითოთონურ პროდუქციაზე (ნაკეთობაზე).

ახალ ფენომენამდე ყველა შედეგი (ყველა გაუმჯობესება) შესწავლილი იყო დეტალურად და ახლა ჯერი ამ პრობლემის შესწავლაზეა. არსებულ მონაცემებზე დაყრდნობით, საქმე გვაქვს კლასიკური ენით და ჩვენი რედაქციით „დისპერსიულ განმტკიცებასთან“. სიმტკიცის ზრდა პლასტიკურობის მაღალ დონეზე შენარჩუნებით გვარნახობს, რომ კოპერეტიული ან ჩვეულებრივი მეორეული ფაზები ძალზე დისპერსიულია, ნანოკრისტალების თანაზომადია. „საბოლოო დიაგნოზს“ დასვამს თანამედროვე

დანადგარის მონაცემები (PEM-ი გარჩევის უნარით  $\leq 50-20 \text{ Å}$ ). სანამ ეს ეკონომიკური პრობლემა გადაწყდება, საჭიროა არსებული გეგმით გავაგრძელოთ მუშაობა. დეტალურად ამოვხსნათ B500W ტიპის არმატურის წარმოების ძალზე მნიშვნელოვანი საკითხები, რაც საშუალებას მოგვცემს, ინკუბაციის პერიოდის გარეშე, დავიწყოთ უნიფიცირებული B500W არმატურის მასიური გამოშვება.

### მირითადი ნაწილი

საკვლევ მასალად გამოყენებული გვერდა სელექტირებული ( $C=0,17\%-0,22\%$ ;  $Si=0,25\%-0,40\%$ ;  $Mn=0,80\%-0,90\%$ ;  $S\leq 0,02\%$ ;  $P\leq 0,02\%$ ) ფოლადი 3მ. იმის გამო, რომ ფოლადი 3მ განუანგულია არასრულად, მხოლოდ  $<Mn+Si>-0$ , ამიტომ აუცილებელია B500W პროექტის დასამთავრებლად გამოვიყენოთ განუანგვის ორიგინალური მიდგომა. როგორც ცნობილია, ტიტანი კარგი განმუანგველია, თითქმის უტოლდება ალუმინის, მაგრამ ჰიცირია. არასრულად განუანგულ ლითონში მიკროლეგირების (განსაკუთრებით მოდიფიცირების) ჩატარება დაკავშირებულია ხარჯებთან და, რაც მთავარია, პრობლემური გახდება შედეგების სტაბილურად მიღების შესაძლებლობა. მეთოდი ეხება ფოლადის წარმოებას დაპლატს-პროცესით. პირველი ეტაპი ტარდება ელექტრო-რკალურ (15-ტონიან) ლუმელში, სადაც მიიღება სელექტირებული ფლ3, ხოლო დაყვანა-რაფინირება ხორციელდება ციცხვ-ღუმელში. ფოლადის გამოშვებისთანავე ციცხვში მიეწოდება 5გბ ალუმინი (უფრო ეფექტურია Al-ის ქვედზე მოთავსება). ის მაშინვე იხსნება და აქტიურად მონაწილეობს ფოლადის განუანგვის პროცესში, რკინა აღდგება, ხოლო Al<sub>2</sub>O<sub>3</sub> გადადის წიდაში. ასევე, ამ დროს წარმოიქმნება AlN. ეს პროცესი გრძელდება თხევადი ლითონის ციცხვის შეამდე ამოსვლამდე. ამ დროს ოპერატორულად ემატება

განმეონგველები და სხვა საჭირო დანამატები. აღნიშნულის პარალელურად სრულდება ტექნოლოგიის ტრადიციული ამოცანები („შავი წილის“ მოცილება და „თეთრის“ დაფენება.  $\text{CaO} \geq 95\%$  დაყენება; ინტენსიურად მუშაობს იძულებითი არევა და ა. შ.), ბოლოს ციცხვი იკავებს ღუმლის ადგილს. აიღება სინჯი საერთო ანალიზზე. თუ კველა საჭირო კომპონენტი ნორმაშია, მაშინ ღუმელში მიეწოდება 5კგ ტიტანი. მომდევნო სინჯით დასტურდება რამდენად სწორად არის ჩატარებული პროცესები. თუ ტიტანის შემცველობა  $\text{Ti} \geq 0,02\%-\text{ზე}$ , მაშინ შედეგი დამაკმაყოფილებელია. ნადნობს ვამზადებთ უწყვეტი ჩამოსხმის დანადგარზე გადასაცემად. მანამდე ვამოწებთ ფოლადის საერთო ანალიზს. საჭიროების შემთხვევაში, ვახდენთ კორექტორებას. სასურველია გვქონდეს ფოლადის ასეთი ანალიზი – ქიმიური შედგენილობა „შლეიფთან ერთად“  $\text{C}=0,22\%$ ;  $\text{Si}=0,30\%$ ;  $\text{Mn}=0,80\%$ ;  $\text{S} \leq 0,01\%$ ;  $\text{P} \leq 0,02\%$ ;  $\text{Ti} \leq 0,02\%$ ;  $\text{N} = 0,015\%$ ;  $\text{V} = 0,14\%$ . უწყვეტად ჩამოსხმის პროცესი სრულდება არსებული ტექნოლოგიური ინსტრუქციით. შემოწმებას გადის ასევე ჩამოსხმული ნამზადი, საჭიროების შემთხვევაში აიღება ტემპლეტი, რომელიც იგზავნება ცენტრალურ ლაბორატორიაში მაკროანალიზის ჩასატარებლად. თუ მანგანუმი და „შლეიფი“ ახლოსაა ხაზგასმულთან, მაშინ შეძლება რამდენიმე ცალი გაისინჯოს – გაიგლიოს თერმული დამუშავების გარეშე და ა. შ.

მე-2-5 ცხრილებში მოცემულია საქართვი ფოლადების შედგენილობები და მექანიკური გამოცდების შედეგები. ტრადიციულის გარდა (ნ<sub>1</sub>, ნ<sub>2</sub>, ნ<sub>3</sub>), ორიგინალური მეთოდის გამოყენებით, დანადგარის ამობეჭდილი მონაცემებით გამოვთვლით ნგრევის (რდევების) ჭეშმარიტ მაბვას –  $S_k (\text{ნ}/\text{მ}^2)$ , ნგრევის ტოტალურ ენერგიას –  $E_T (\text{ნ})$  და ნგრევის კუთრ ტოტალურ ენერგიას –  $a_0^T (\text{ჯ}/\text{ს}^2)$ , ფარდობით წაგრძელებას – მდგენელებით

$\delta = \delta_1 + \delta_2 \%$ , კელის ფარდობით შევიწროებას – მდგენელებით  $\Psi = \Psi_1 + \Psi_2 \%$ . მდგენელები  $\delta_1$  და  $\Psi_1$  ახასიათებს აღნიშნული ლითონის პლასტიკური დეფორმაციის უნარს, ხოლო  $\delta_2$  და  $\Psi_2$  – როვენისადმი (ნგრევისადმი) წინადობის უნარს. როდესაც პროექტი  $B500W$  შესრულებული იქნება სრულად, მაშინ შეირჩევა ნომრები (ალბათ 25, 18, 16, 12 მმ), რომლებსაც ჩატარდება სრული კვლევა ლითონის (არმატურის) საკონსტრუქციო სიმტკიცის დასადგენად.  $\sigma_B$ ,  $\sigma_d$ ,  $\delta_1$  მოყვანილ მონაცემებს დაემატება:

- 1)  $S_K$ ,  $\delta(\delta_1 + \delta_2)$ ,  $\Psi(\Psi_1 + \Psi_2)$  დარტყმითი სიბლანტე მდგენელებით  $a_{0,25} = a_b + a_d (\text{ჯ}/\text{ს}^2)$ ,  $T_{50}$ ,  $I_{IC}$ ,  $\sigma_{-1}$ ,  $E_T$ ,  $a_0^T (\text{ჯ}/\text{ს}^2)$ ; კუთრი მუშაობა ბზარის ჩასახვაზე –  $a_b$  და კუთრი მუშაობა ბზარის გავრცელებაზე –  $a_d$ ; 2) გამყიფების ტემპერატურული ზღურბლი –  $T_{50}$  (გამოცდის ტემპერატურა, როცა რღვევის რელიეფში დაფიქსირებულია 50% მყიფე „კრისტალური“ მდგენელი და 50% ბლანტი – ბოჭკოვანი მდგენელი);
- 3) ბზარმედეგობა – ქინტეგრალი –  $I_{IC}$  ( $\text{ნ}/\text{მ}^2$ );
- 4) საჭიროების შემთხვევაში ლითონის დაღლილობაზე გამოცდის შედეგები –  $\sigma_{-1} (\text{ნ}/\text{მ}^2)$ . ასევე, საჭირო იქნება ფართო მასშტაბის სტრუქტურული კვლევების ჩატარება (სპეციალური გეგმით შედგენილი მეტალოგრაფიული, ფრაქტოგრაფიული და სხვა ტიპის სტრუქტურული კვლევების ჩატარება). ეს ლითონის შემოწმების პირველი ეტაპია. უნდა შემოწმდეს ყველა ნომერი, ყველა დიამეტრი. როდესაც №№32, 28, 25 მმ და №№22, 20, 18 მმ იგლინება X და XII გალებიდან, №28 და №20მმ შედარებით ნორმალურ პირობებში მუშაობს. მაღალ ნომრებს (№32 მმ და №22 მმ) ლითონის „ნაკლებობისკენ“ აქს გადახრა, ხოლო №№25 და 18 მმ უხდება სასურველი ფორმის შევსება „მოჭარბებული“ ლითონის

შემთხვევაში. ეს მცირე ექსკურსიც საკმარისია მაციის პროცესებს, რათა შევძლოთ მისი სტანდარტული მისამართის, რომ საჭირო მიზნების მისაღწევად ბილური მართვა.

აუცილებელია გვლობდეთ ლითონის დეფორ-

(ცხრილი 2)

### 18AFT ფოლადი, №7874, 71143, 71551 საქართველოს დნობის

#### ქიმიური შედგენილობები

დნობის მარტ N <sup>o</sup> CE, %	C, %	Si, %	Mn, %	P, %	S, %	N, %	Ti, %	V, %
7874 18AFT 0.37	0.20	0.34	0.80	0.014	0.023	0.013	0.019	0.19
71143 18AFT 0.37	0.22	0.30	0.71	0.017	0.01	0.006	0.026	0.15
71551 18AFT	0.22	0.29	0.67	0.009	0.019	0.013	0.014	0.13

(ცხრილი 3)

### 18AFT ფოლადი, დნობის №7874; №№25, 18, 16 მმ მექანიკური თვისებები

#### ცხლად გლინულ მდგომარეობაში

დნობის მარტ N <sup>o</sup> დიამეტრი N, მმ	S <sub>k</sub> , 6/მმ <sup>2</sup>	σ <sub>B</sub> , 6/მმ <sup>2</sup>	σ <sub>g</sub> , 6/მმ <sup>2</sup>	δ=δ <sub>1</sub> +δ <sub>2</sub> , %	ψ=ψ <sub>1</sub> +ψ <sub>2</sub> , %	E <sub>T</sub> , 6გ.	a <sub>0</sub> <sup>T</sup> , კ/მმ <sup>2</sup>
7874 18AFT 25	746 684	660 657	526 511	27=19+8 30=20+10	22=16+6 23=17+6	16331 17768	3326 3626
7874 18AFT 18	585 726	684 689	561 559	31=21+10 35=23+12	24=17+7 26=19+7	7435 8207	2916 3218
7874 18AFT 16	746 689	699 699	575 571	29=19+10 32=21+11	22=16+6 24=18+6	4871 5265	2423 2619

ცხრილი 4

**18AФТ ფოლადი, ღნობის №7874; №№25, 18, 16 მმ მექანიკური თვისებები  
თერმული დამუშავების შემდეგ**

ღნობის მარკა № დიამეტრი №, მმ	$S_k$ , გ/მ²	$\sigma_B$ , გ/მ²	$\sigma_{\text{ლ}}$ , გ/მ²	$\delta=\delta_1+\delta_2$ , %	$\psi=\psi_1+\psi_2$ , %	$E_T$ , გ.ძ.	$a_0^T$ , კ/მ²
7874 18AФТ 25	889 862	864 864	795 786	18=12+6 22=12+10	16=11+5 19=11+8	16264 18050	3312 3676
7874 18AФТ 18	823 836	843 852	782 779	18=10+8 17=10+7	15=9+6 15=9+6	5771 5824	2265 2284
7874 18AФТ 16	853 717	873 865	811 796	18=9+9 19=11+8	15=8+7 16=10+6	4269 4525	2123 2251

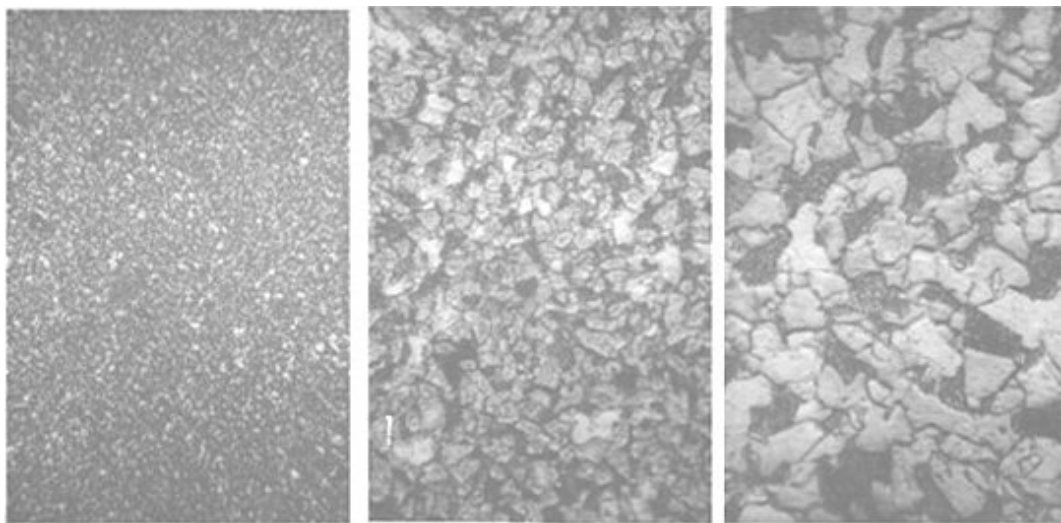
ცხრილი 5

**№12 მმ არმატურის გლინგა ყველა გალის (16) გამოყენებით;  
საქართველო ღნობები №71143 და №71551, ფოლადი 18AФТ**

ღნობის მარკა № დიამეტრი №, მმ მდგომარეობა	$S_k$ , გ/მ²	$\sigma_B$ , გ/მ²	$\sigma_{\text{ლ}}$ , გ/მ²	$\delta=\delta_1+\delta_2$ , %	$\psi=\psi_1+\psi_2$ , %	$E_T$ , გ.ძ.	$a_0^T$ , კ/მ²
71143 18AФТ 12, ცხ. გლ	689	625	514	27=21+6	21=17+4	2449	2167
71143 18AФТ 12, ცხ. გლ	719	615	505	27.5=20+7.5	21=19+2	2366	2094
71143 18AФТ 12, ოლ	729	762	713	16=11+5	14=10+4	1989	1760
71551 18AФТ 12 მმ, ცხ. გლ	759	634	523	34=24+10	26=20+6	3056	2704
71551 18AФТ 12, ცხ. გლ	738	629	518	33=23+10	25=19+6	2871	2541
71551 18AФТ 12, ცხ. გლ	700	622	514	31=23+8	24=19+5	2706	2395

მიღებული შედეგების განსჯა შეიძლება დავიწყოთ გამოდნობილი ფოლადების ქიმიური შედგენილობის განხილვით. ფოლადი 18AFT კარგად არის შერჩეული (რა თქმა უნდა, სელექტირების შემდეგ), განსაკუთრებით პირველი დნობა №7874: C=0,20%+Mn=0,80% და შლეიფი <Ti=0,019%; N=0,013%; V=0,19%>. ამ ფოლადს ცხლად გლინულ (თდ-ს გარეშე) მდგომარეობაში აქვს  $\sigma_{\text{L}}=511-5756/\text{მმ}^2$ ,  $\sigma_{\text{B}}=657-6996/\text{მმ}^2$ ,  $\delta=27-35\%$ ,  $\delta_{\text{o}}(\delta_1)=19-23\%$ ,  $\psi=22-26\%$ ,  $E_T^{N25}=17049\text{მ}$ ;

$a_0^T=3476\text{კ}/\text{სმ}^2$  და მასთან შესამებული მეტალოგრაფიული კვლევის შედეგები<sup>1</sup>. ძალზე საინტერესო №№25, 18, 16მმ სტრუქტურები და თვისებები მომდის შემდეგ. წინასწარი მონაცემებით, მაღალი სიმტკიცე  $\sigma_{\text{L}}=779-8116/\text{მმ}^2$ ,  $\sigma_{\text{B}}=843-873 \text{ ნ}/\text{მმ}^2$ , საკმარისად მაღალი პლასტიკურობის მაჩვენებლებთან ერთად ( $\delta=18-22\%$ ;  $\psi=15-19\%$ ), ამ კომპოზიციას აქვევს (თერმულად დამუშავების შემდეგ) კარგ, მაღალი სიმტკიცის საკონსტრუქციო მასალად.

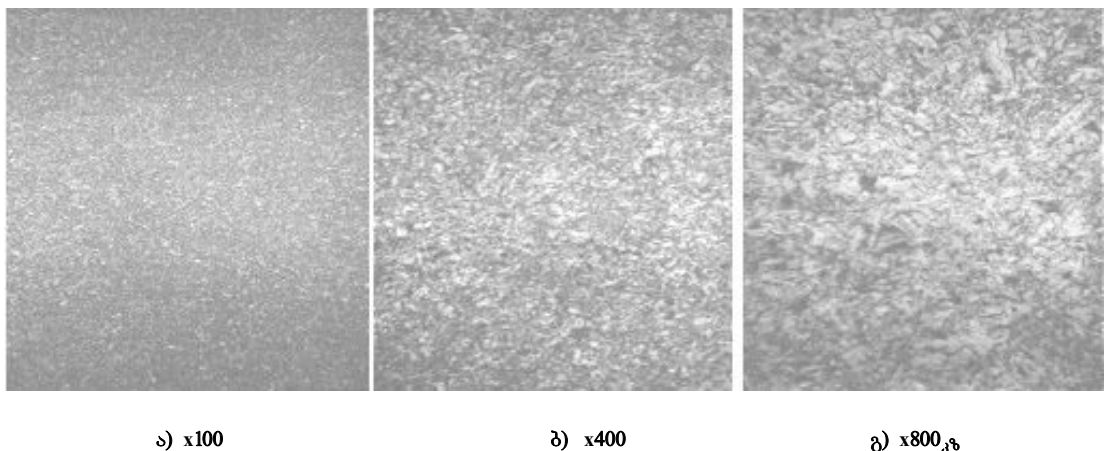


ნახ. 1 ა, ბ, გ - ფოლადი 18AFT (№№7874), არმატურა №25 მმ, ცხლად გლინული (ნაპირი)

$\mu=20$ ,  $\sigma_{\text{L}}=5266/\text{მმ}^2$ ,  $\sigma_{\text{B}}=6606/\text{მმ}^2$ ;  $\delta=27\%$ ,  $E_T=16331\text{მ}$ . მონაცემები აქმაყოფილებს B500W-ს ყველა მოთხოვნას. “შლეიფის”  $<\text{Ti}+\text{N}+\text{V}>$  გარეშე  $\sigma_{\text{L}}=250 \text{ ნ}/\text{მმ}^2$ , ე.ი. ამ შემთხვევაში “შლეიფით” განპირობებული “ახალი ფენომენი” აორკეცებს

დენადობის ზღვარს. მოცემულია ფერიტ-კერლიტური სტრუქტურა, გადიდებაზე  $800_{\text{კ}} \text{ სტრუქტურის}$  მდგენელები მოწესრიგებულ შთაბეჭდილებას ტოვებს.

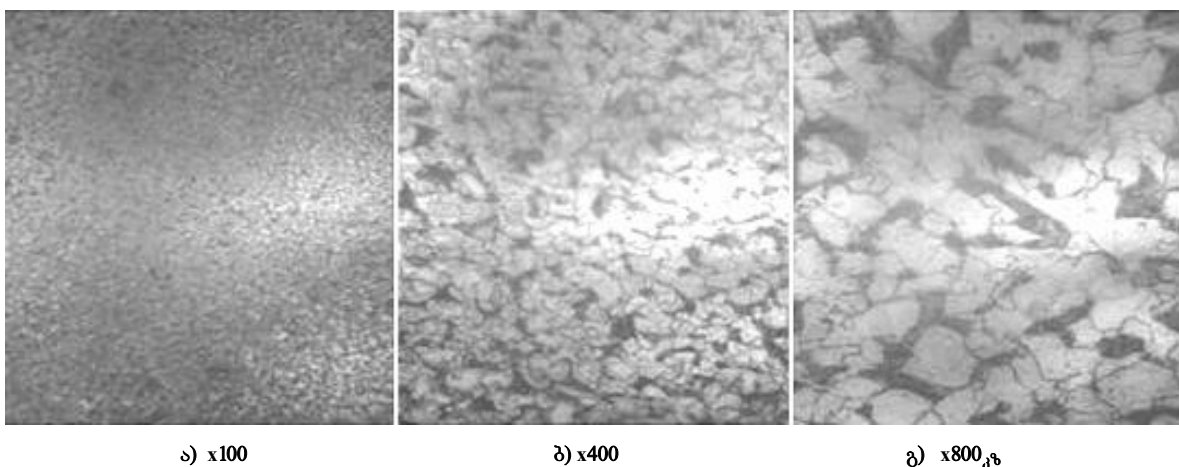
<sup>1</sup>შენიშვნა: მეტალოგრაფიული ანალიზის შედეგები მოცემულია 1-ელ – მე-7 ნახაზებზე. ყველა მდგომარეობა წარმოდგენილია გადიდებით: ა)  $x100$ , ბ)  $x400$  გ)  $x800$  კზ და მცირე კომენტარებით, რაც გასაგებად ხსნის მოტანილ სტრუქტურებს.



ნახ. 2 ა, ბ, გ - ფოლადი 18АФТ (N<sub>გ</sub>.7874), არმატურა №25 მმ,  
თერმულად დამუშავებული (ნაპირი)

$\mu=20$ ,  $\sigma_{\text{ლ}}=7956/\text{მმ}^2$ ;  $\sigma_B=8646/\text{მმ}^2$ ;  $\delta_7=18\%$ ,  
 $E_T=16264\text{ნმ}$ . მიღებული თვისებების შედარება  
ცხლად გლინულთან ასეთ სურათს იძლევა:  $\Delta\sigma_{\text{ლ}}=2696/\text{მმ}^2$ ;  
 $\Delta\sigma_B=2046/\text{მმ}^2$ ;  $\Delta\delta_7=-9\%$ , კ.ი. 9%,  
ალასტიკურობა განაპირობებს სიმტკიცის მაჩვე-

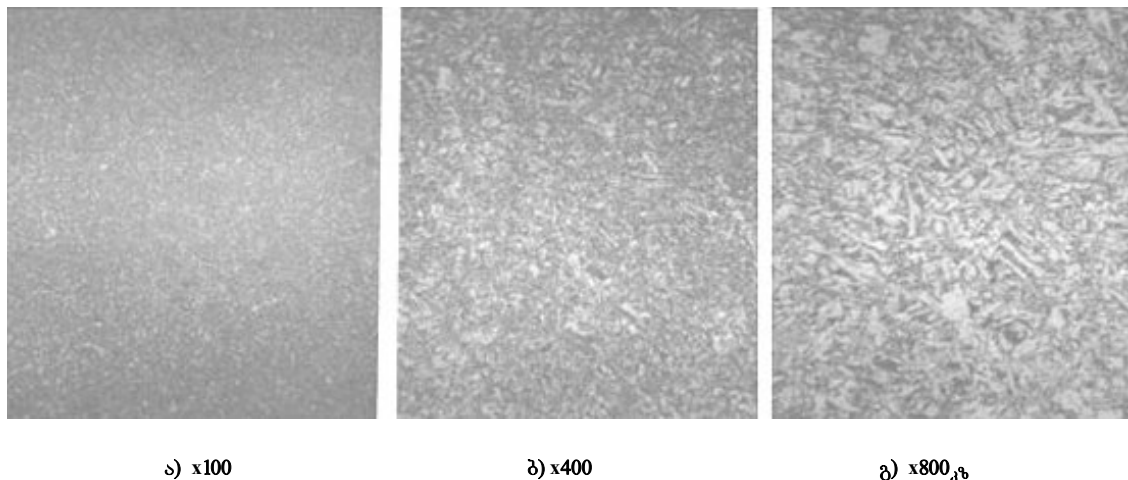
ნებლების ასეთ მნიშვნელოვან ზრდას. სტრუქ-  
ტურა „ძალტე“ დისპერსიულია, გარკვეულად  
ორიენტირებული. რომ ყოფილიყო  $C \geq 0.24\%$ , უკვე  
გვექნებოდა ლარტყისებრი მარტენიტი, შესა-  
ბამისი უარყოფითი მოვლენებით.



ნახ. 3 ა, ბ, გ - ფოლადი 18АФТ (N<sub>გ</sub>.7874), არმატურა №18 მმ, ცხლად გლინული  
(ნაპირი)

$\mu=39$ ,  $\sigma_{\text{ლ}}=5616/\text{მმ}^2$ ;  $\sigma_B=6846/\text{მმ}^2$ ;  $\delta_7=31\%$ ,  
 $E_T=7435\text{ნმ}$ . მიღებული მონაცემები წარმატებუ-  
ლად აკმაყოფილებს B500W-ს მოთხოვნებს.  
დეფორმაციის გავლენა (დადებითი) სახეზეა

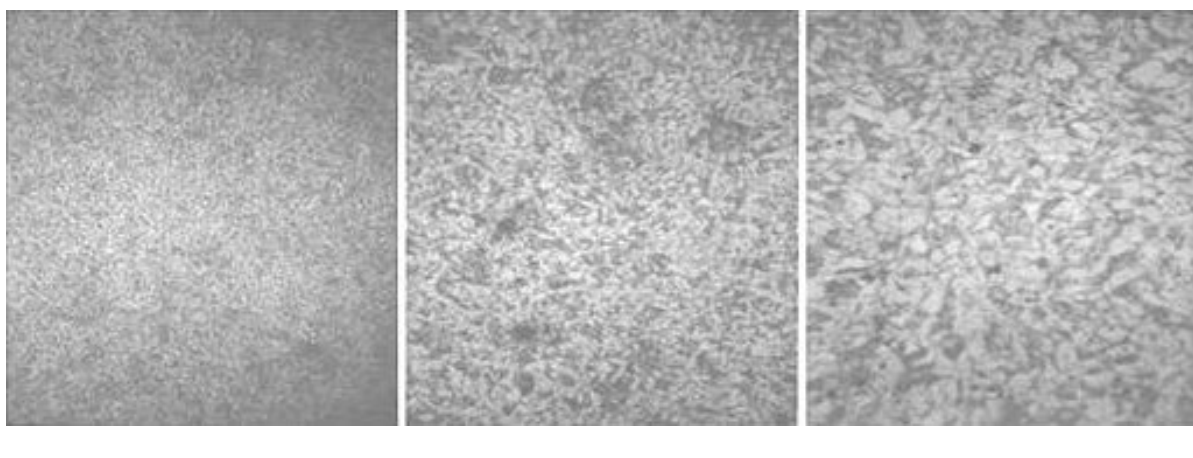
ნაზარდით ( $\Delta\sigma_{\text{ლ}}=35 6/\text{მმ}^2$ ;  $\Delta\sigma_B=24 6/\text{მმ}^2$ ;  $\Delta\delta_7=4\%$ ),  
განსხვავებულია სტრუქტურა მიღებული №18 მმ  
არმატურის გარე მრევბში №25 მმ-თან შე-  
დარებით.



ნახ. 4 ა, ბ, გ - ფოლადი 18АФТ (N<sub>ლ</sub>7874), არმატურა №18 ზმ, თდ-ის შემდეგ  
(ნაპირი)

$\mu=39$ ,  $\sigma_{\text{ლ}}=7826/\text{მმ}^2$ ;  $\sigma_{\text{B}}=8436/\text{მმ}^2$ ;  $\delta_7=18\%$ ,  $E_{\text{T}}=57716\text{გ}$ .  
სიმტკიცის მაჩვენებლები იზრდება 1-ელ ნახ-თან  
შედარებით  $\Delta\sigma_{\text{ლ}}=2216/\text{მმ}^2$ ;  $\Delta\sigma_{\text{B}}=1596/\text{მმ}^2$ ;  $\Delta\delta_7=13\%$ .  
სხვადასხვა ზომის თრენტირებულ კრისტალებში  
განლაგებულია ასევე სხვადასხვა დისპერსიუ-

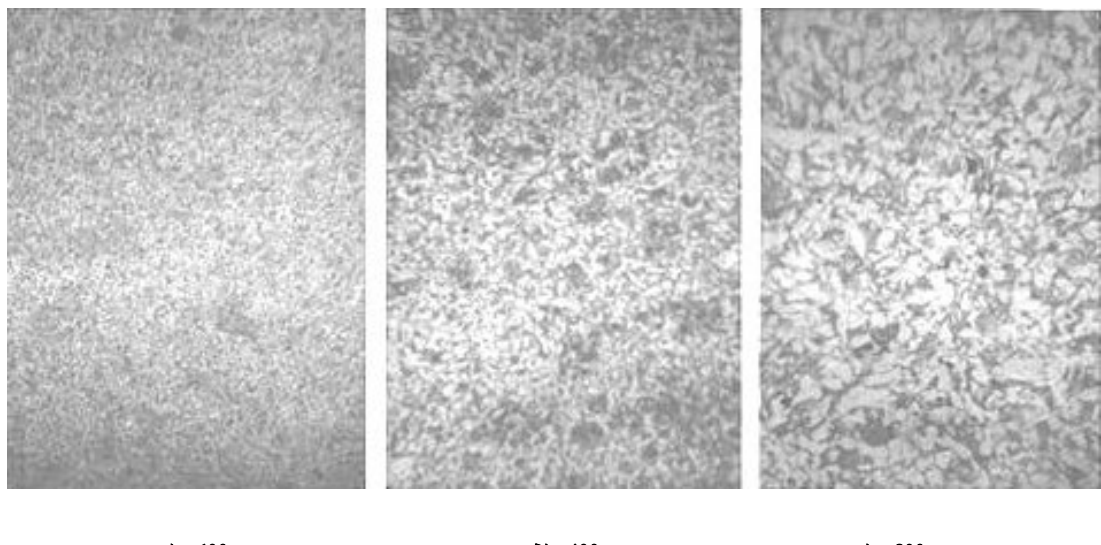
ლობის წახნაგვანი, ზოგჯერ სფეროს მსგავსი  
კრისტალები. რა თქმა უნდა, „ამინდის“ შემქმნელი  
ფაზები მოქცეულია თბილიკური მიკროსკოპის  
გარჩევისანარიანობის ზღვარს მიღმა.



ნახ. 5 ა, ბ, გ - ფოლადი 18АФТ (N<sub>ლ</sub>7874), არმატურა №16 ზმ, ცხლად გლინული  
(ნაპირი)

$\mu=50$ ,  $\sigma_{\text{ლ}}=5756/\text{მმ}^2$ ;  $\sigma_{\text{B}}=6996/\text{მმ}^2$ ;  $\delta_7=29\%$ ;  
 $E_{\text{T}}=48716\text{გ}$ . მე-5 ნახ-ის შედარება 1-ელ ნახ-თან  
ასეთ სურათს იძლევა: გაზრდილი დეფორმაცია  
( $\Delta\mu=30$ ) განაპირობებს უფრო მოწესრიგებულ

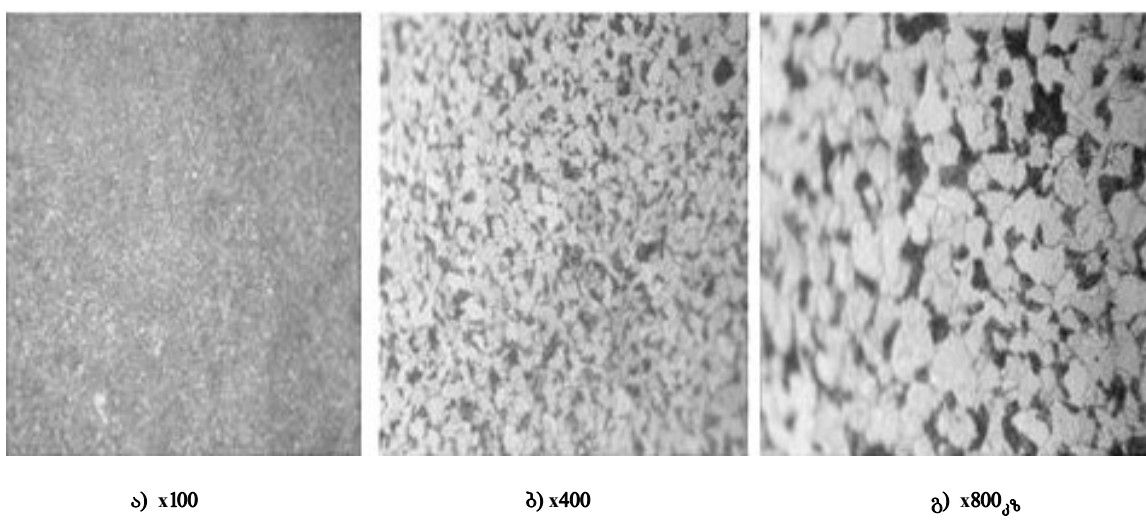
ფერიტ-კერლიტურ სტრუქტურას და მნიშვნელოვან ნელოვან სხვაობას სიმტკიცის მაჩვენებლებს შორის  $\Delta\sigma_{\text{ლ}}=49 \text{ ნ}/\text{მმ}^2$ ;  $\Delta\sigma_{\text{B}}=39 \text{ ნ}/\text{მმ}^2$ .



ნახ. 6 ა, ბ, გ - ფოლადი 18АФТ (№ 6.7874), არმატურა № 16 მმ, თერმულად დამუშავებული (ნაპირი)

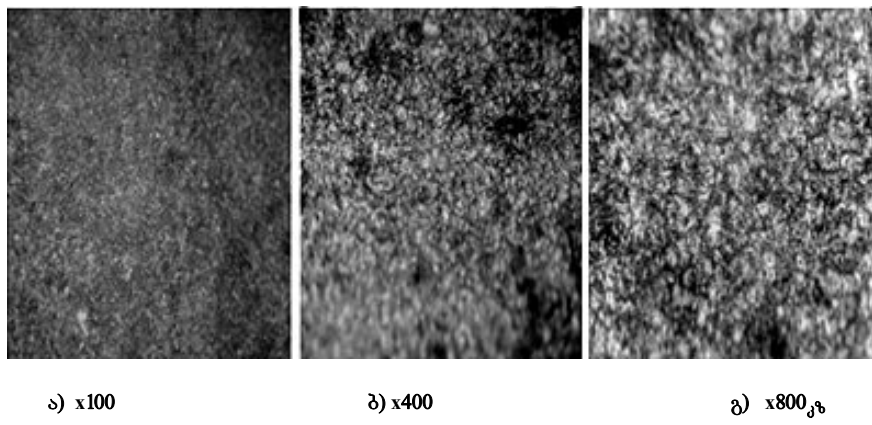
$\mu=50$ ,  $\sigma_{\text{L}}=8116/\text{მმ}^2$ ,  $\sigma_{\text{B}}=8736/\text{მმ}^2$ ;  $\delta_7=18\%$ ,  $E_T=4270\text{ნმ}$ . თავიდან ცხელი პლასტიკური დეფორმაციის გავლენით მიმდინარეობს განგრძიცების პროცესი, რომელიც მაქსიმუმს აღწევს, რასაც მოხდევს დინამიკური პოლიგონზაცია და დინამიკური რეკრისტალიზაცია, ჩნდება

დაღმავალი უბანი. დეფორმაციის გაგრძელებით მყარდება „წონასწორობა განმტკიცება-დარბილების“ პროცესებს შორის. დეფორმაციის დამთავრება XVI უჯრედზე ქმნის ზ/ა პირობებს. სახეზეა დაღმავალი უბანის სტრუქტურები.



სურ. 7. ა, ბ, გ - ფოლ. 18АФТ ნად. 71143, არმატურა № 1288 ცხელად გლინგის შემდეგ

სტრუქტურა ფერიტ-პერლიტურია, შეიმჩნევა სტრუქტურული ორიენტაცია – გარკვეული, წვრილმარცვლოვანი სტრუქტურა  $\delta=5196/\text{მმ}^2$   $\delta=27=20+7\%$ ,  $E_T=2440\text{ნმ}$ .



სურ. 8 ა, ბ, გ - ფოლადი 18АФТ ნაღნობი 71143. მთმდ-ს შემდეგ ნ<sub>დ</sub>=7136/88<sup>2</sup> δ=16=11+5%,  
 $E=198968$ . სტრუქტურა დისპერსიულია და ერთგარევანი აღ<sub>გ</sub>=2005/88

B500W-სთან ერთად შესრულებული მომდის შედეგები ძალზე მნიშვნელოვანია სამშენებლო საქმეში, ამიტომ ეს ოქმატიკა კ.წ. B500W-ს პარალელურად შესრულებული საქარხო აპრობა-ციების შედეგები საჭიროა დამოუკიდებლად განვიხილოთ (უფრო დეტალურად).

გარდა აღნიშნულისა, მნიშვნელოვანია ორი საკითხი: 1) ფოლადის შედეგებადობა და 2) ფოლადის, არმატურის კოროზიამედეგობა ბეტონში<sup>1</sup>. ადრინდელ კვლევებში ვალდებული ვიყავით პრაქტიკულად გვენახა (ჩვენი თვალით) ექსპერიმენტული ფოლადის შედეგებადობის საკითხები. ISO-ს ახალმა მოთხოვნებმა ეს (არსებული) პრობლემური მოთხოვნები გააძარტივა. იმისათვის, რომ ვაწარმოოთ უნიფიცირებული B500W-ს ტიპის არმატურა, აუცილებელია დაცული იყოს ორი პირობა: გამოყენებული კომპოზიცია უნდა პასუხობდეს ISO-ს მოთხოვნებს –  $C \leq 0,22\%$  და  $CE \leq 0,43\%$ . ახალი მიღებით ძალზე გამარტივდა შედეგების პრობლემური საკითხები. თუ დაცული იწევდა ეს მოთხოვნები, მაშინ

საველე პირობებში შესრულებული შედეგები  
იქნება „ჯანსაღი“, ყოველგვარი თდ-ს გარეშე.  
ISO-ს მეორე მოთხოვნამ ( $CE \leq 0,43\%$ ) საკმარისად  
გაართულა  $\sigma_{\text{ლ}} \geq 500$  ნ/მ² მიღების საკითხი,  
მაგრამ ეს გზა უფრო გააზრებულია მეცნიერულად, კიდევ A500C-ის მიღება მთმდო.

განსახილველი დაგვრჩა დნობები (ცხრ. 2):  
 2) №71143 (C=0.22%; Mn=0.71%; <Ti=0.026%;  
 N=0.006%; V=0.15%>) და 3) №71551 (C=0.22%;  
 Mn=0.67%; <Ti=0.014%; N=0.013%; V=0.13%>), რო-  
 მელთა გამოყენება დაკავშირებულია №12 მმ არ-  
 მატურის წარმოებასთან. №71143:  $\sigma_{\text{ლ}} = 505 - 5146/\delta\theta^2$ ;  
 $\sigma_{\text{B}} = 689 - 7296/\delta\theta^2$ ,  $\delta = 27 - 27.5\%$ ;  $\delta_{\text{ო}}(\delta_1) = 20 - 21\%$ ;  $\psi = 21\%$ ;  
 $E_{\text{T}} = 2407.56\delta$ ;  $a_0^T = 2130 \times 10^{-6} \delta\theta^2$ . №71551:  $\sigma_{\text{ლ}} = 514 -$   
 $5236/\delta\theta^2$ ;  $\sigma_{\text{B}} = 622 - 6296/\delta\theta^2$ ,  $\delta = 31 - 34\%$ ;  $\psi = 24 - 25\%$ ;  
 $E_{\text{T}} = 2706 - 3056 \delta$ .

$a_0^T = 2395 - 2704 \frac{1}{\lambda} / \text{მმ}^2$ . № 1288 არმატურაზე მიღებაში შედეგები კარგია, მაგრამ ნადნობის ქვევა, გამოიყიდვის კოეფიციენტის შემცირებისას, ექსპერიმენტულად უნდა დადგინდეს.

**დასკვნა**

1. საქართვო ექსპერიმენტებზე დაყრდნობით, სტაბილური შედეგების მისაღებად აუცილებელია, ტექნოლოგიურ პროცესთან ერთად, გვქონდეს სელექტირებული ფლ 3მჭ:  $C=0.20\text{--}0.22\%$ ,  $Si=0.25\text{--}0.40\%$ ;  $Mn=0.80\text{--}0.90\%$ ;  $S\leq0.02\%$ ;  $P\leq0.02\%$  და “შლეიფი”  $<Ti=0.015\text{--}0.02\%$ ;  $N=0.010\text{--}0.015$ ;  $V=0.10\text{--}0.15\%$ ; 2.  $25^X$  მმ;  $18^{XII}$  მმ;  $16^{XIV}$  მმ;  $12^{XVI}$  მმ პროფილებზე მიღებულია დადგითი შედეგები, ე.ო. ცხლად გლინვის შემდეგ, ოერმული დამუშავების გარეშე, მიღებულია B500W არმატურა უნივერსალებული  $\sigma_{\text{b}}\geq500\text{N/mm}^2$  დენადობის ზღვრით და კარგი შედეგებადობით ( $C\leq0.22\%$ ;  $CE\leq0.43\%$ ).

**ლიტერატურა**

1. L. Tavadze, F. Tavadze, Z. Kherodinashvili, V. Kopaleishvili, etc., Effect of high temperature plastic deformation followed by quenching on the corrosion and mechanical properties of austenitic steels. // MiTOM – 1967. №6. p.10 - 11. (In Russian).
2. F. Tavadze, S. Manjgaladze, V. Kopaleishvili, etc., Influence of strain rate and the initial state on the mechanical properties and corrosion resistance of steel 30ХГЧА at HTTP// Issues of metallurgy and metal corrosion. - Tbilisi: Metsniereba, 1972, p.20-33. (In Russian).
3. V. Kopaleishvili, S. Kurashvili, R. Liparteliani, etc., HTTP of steels 30ХГСА and 1Х17Н2 // Posts of Academy of Sciences of Georgian SSR.- 1974. T. №2.-p.393-396. (In Russian).
4. V. Kopaleishvili, L. Kotiashvili, I. Kashakashvili, D. Kopaleishvili, T. Makharadze, G. Chavchanidze. Evaluation of structural strength of low alloy steels based on fracture toughness (the second message) // Transport and Mechanical Engineering, Tbilisi, №1 (9), S.33-50, 2008 (in Georgian).
5. V. Kopaleishvili. Management of structure formation process in the production of hot-rolled seamless steel pipes for improving their quality. The thesis for the degree of Doctor of Technical Sciences. Tbilisi, 1989. Volume I, 350p., Volume II (graphic part) 189 p. (In Russian).
6. V. Parton, E. Morozov. Elastic-plastic fracture mechanics, M.: Science, 1985.- 503 p. (In Russian).

UDC 669.1.017:661.774.35

SCOPUS CODE 2506

## PRODUCTION OF WELDABLE ( $C \leq 0,22\%$ ; $C_{eq} \leq 0,43\%$ ) UNIFIED REBAR B500W WITH YIELD STRENGTH $\sigma_y \geq 500 \text{ N/mm}^2$ , HOT ROLLED, WITHOUT HEAT TREATMENT

V. Kopaleishvili	Department of Metallurgy, Materials Science and Metal Processing, Georgian Technical University, 69 M. Kostava str., 0175 Tbilisi, Georgia E-mail: v.kopaleishvili@gtu.ge
N. Mumladze	Rustavi Steel LLC, 12 Gagarini str., 3700 Rustavi, Georgia E-mail: n.mumladze@rustavisteel.com
Z. Tabatadze	Rustavi Steel LLC, 12 Gagarini str., 3700 Rustavi, Georgia E-mail: z.tabatadze@rustavisteel.com
M. Tabagari	Department of Metallurgy, Materials Science and Metal Processing, Georgian Technical University, 69 M. Kostava str., 0175 Tbilisi, Georgia E-mail: archiltabagari@gmail.com
I. Kashakashvili	Department of Metallurgy, Materials Science and Metal Processing, Georgian Technical University, 69 M. Kostava str., 0175 Tbilisi, Georgia E-mail: i.kashakashvili@gtu.ge
O. Barbakadze	Rustavi Steel LLC, 12 Gagarini str., 3700 Rustavi, Georgia E-mail: salome.b@live.ru
R. Bakradze	Rustavi Steel LLC, 12 Gagarini str., 3700 Rustavi, Georgia E-mail: r.bakradze@rustavisteel.com

### Reviewers:

R. Gvetadze, Professor, Department of Metallurgy, Materials Science and Metal Processing, Faculty of Chemical Technology and Metallurgy, GTU  
E-mail: r.gvetadze@gtu.ge

Z. Lomsadze, Professor, Department of Metallurgy, Materials Science and Metal Processing, Faculty of Chemical Technology and Metallurgy, GTU  
E-mail: z.lomsadze@gtu.ge

**ABSTRACT.** Austenite fragmentation, increase of secondary phase dispersion, uniform distribution of alloying elements in matrix "release", bases of the alloying elements and the introduced phases in a matrix increase crack resistance. Effect of so-called "new phenomenon" is added to this factor - chemical composition of alloy + "loop"  $\langle(Ti+N+V)\rangle$  + treatment during technological process provide so-called "new phenomenon" influence, which increases strength with plasticity preserved. For example, rolling of selected steel 3sp on bar-rolling mill + "loop"  $\langle(Ti+N+V)\rangle$  provide weldable rebar B500W ( $C \leq 0,22\%$ ;  $C_{eq} \leq 0,43\%$ ) without heat treatment. Industrial approbation of this technology was successfully realized (NN25<sup>X</sup>; 18<sup>XII</sup>; 16<sup>XIV</sup>; 12<sup>XVI</sup> mm) and is ready for widespread embedding.

**KEY WORDS:** "new phenomenon" influence; chemical composition of alloy + "loop"  $\langle(Ti+N+V)\rangle$  + treatment during technological process; strength improvement plasticity preserved.

UDC 669.1.017:661.774.35

SCOPUS CODE 2506

## ПРОИЗВОДСТВО СВАРИВАЕМОЙ (С≤0,22%; СЕ≤0,43%) УНИФИЦИРОВАННОЙ АРМАТУРЫ B500W С ПРЕДЕЛОМ ТЕКУЧЕСТИ $\delta\geq500\text{Н}/\text{мм}^2$ В ГОРЯЧЕКАТАННОМ СОСТОЯНИИ, БЕЗ ТЕРМИЧЕСКОЙ ОБРАБОТКИ

- Копалеишвили В.П.** Департамент металлургии, материаловедения и обработки металлов, Грузинский технический университет, Грузия, 0175, Тбилиси, ул. М. Костава, 69  
E-mail: v.kopaleishvili@gtu.ge
- Мумладзе Н.А.** ООО „Рустави стил“, Грузия, 3700, Рустави, ул. Гагарина, 12  
E-mail: n.mumladze@rustavisteel.com
- Табатадзе З.О.** ООО „Рустави стил“, Грузия, 3700, Рустави, ул. Гагарина, 12  
E-mail: z.tabatadze@rustavisteel.com
- Табагари М.В.** Департамент металлургии, материаловедения и обработки металлов, Грузинский технический университет, Грузия, 0175, Тбилиси, ул. М. Костава, 69  
E-mail: archiltabagari@gmail.com
- Кашакашвили И.Г.** Департамент металлургии, материаловедения и обработки металлов, Грузинский технический университет, Грузия, 0175, Тбилиси, ул. М. Костава, 69  
E-mail: i.kashakashvili@gtu.ge
- Барбакадзе О.Г.** ООО „Рустави стил“, Грузия, 3700, Рустави, ул. Гагарина, 12  
E-mail: salome.b@live.ru
- Бакрадзе Р.М.** ООО „Рустави стил“, Грузия, 3700, Рустави, ул. Гагарина, 12  
E-mail: r.bakradze@rustavisteel.com

### Рецензенты:

**Р. Гветадзе**, профессор Департамента металлургии, материаловедения и обработки металлов факультета химической технологии и металлургии ГТУ

E-mail: r.gvetadze@gtu.ge

**З. Ломсадзе**, профессор Департамента металлургии, материаловедения и обработки металлов факультета химической технологии и металлургии ГТУ

E-mail: z.lomsadze@gtu.ge

**АННОТАЦИЯ.** Фрагментация аустенита, увеличение дисперсности вторичных фаз, равномерное распределение легирующих элементов в матрице, „освобождение“ основы от них повышают трещиностойкость. К этим факторам добавилось влияние т. н. „Нового феномена“ - химический состав сплава + „шлейф“ <Ti+N+V> + обработка в технологическом процессе, что повышает прочность с сохранением пластичности. Например, прокатка селектированной стали Зсп на сортопрокатном стане + „шлейф“ <Ti+N+V> обеспечивают получение без термической обработки хорошо свариваемой ( С≤0,22%; СЕ≤0,43% ) арматуры B500W.

Эта технология успешно прошла промышленную апробацию (NN25<sup>X</sup>; 18<sup>XII</sup>; 16<sup>XIV</sup>; 12<sup>XVI</sup> мм) и готова для широкого внедрения.

**КЛЮЧЕВЫЕ СЛОВА:** влияние „Нового феномена“; повышение прочности; сохранение пластичности; химический состав сплава + „шлейф“ <Ti+N+V> + обработка в технологическом процессе.

# ავტორთა საძიებელი

## Author's index

### Указатель авторов

- აბდუშელიშვილი ი. 126  
აბესაძე რ. 42  
ბააკაშვილ-ანთელავა გ. 105  
ბარათაშვილი გ. 68  
ბარბაქაძე თ. 68, 159  
ბაქრაძე რ. 68, 159  
ბაღათურია გ. 11, 17  
ბოკუჩავა გ. 54  
გილაური გ. 11  
ებანოძე ლ. 54  
ეხაძე თ. 113, 119  
თაბაგარი გ. 159  
ილურიძე გ. 17  
ინაძე რ. 79, 88  
ჯახნიაშვილი ი. 49  
კოპალეიშვილი კ. 68, 126, 159  
ლექავა ხ. 113, 119  
ლოლაძე თ. 68  
მაისურაძე ბ. 42  
მებონია ხ. 105  
მესხი გ. 79, 88  
მოწონელიძე კ. 23  
მუმლაძე გ. 159  
ოქროსცვარიძე ზ. 49  
სიმონგულაშვილი ზ. 42  
გაბატაძე ზ. 159  
ფარმუკაშვილი ზ. 68  
ფირალიშვილი ს. 79, 88  
ქაჯაიძე ლ. 11, 17  
ქაშაკაშვილი ი. 68, 159  
ქუთათელაძე რ. 23  
ქურდაძე გ. 42  
შილაკაძე გ. 30  
ჩიქოვანი ა. 119  
ჩხიკვაძე ლ. 49  
წილოსანი თ. 49  
ჯინჭარაძე დ. 54  
Balakhashvili M. 132  
Darakhvelidze N. 146  
Janikashvili M. 98  
Kovziridze Z. 132, 146  
Mchedlishvili Z. 98  
Mestvirishvili Z. 132, 146  
Nizharadze N. 132, 146  
Tabatadze G. 146  
Tavkhelidze D. 98  
Беридзе Д.Л. 61  
Буркадзе Т.О. 61

## ავტორთა საყურადღებოდ!

საქართველოს ტექნიკური უნივერსიტეტის სამეცნიერო შრომების კრებული არის ყოველკვარტა-ლური რეფერირებადი პერიოდული გამოცემა, რომელიც რეგისტრირებულია რამდენიმე საერთაშორისო მონაცემთა ბაზაში.

- სტატია (მიიღება ქართულ, ინგლისურ, რუსულ ენებზე) ქვეყნდება ორიგინალის ენაზე.
- სტატიის ავტორთა რაოდენობა არ უნდა აღემატებოდეს სამს.
- ავტორს შეუძლია საგამომცემლო სახლში პუბლიკაციისათვის მოგვაწოდოს ან ელექტრონული ფოსტით sagamomcemlosakhli@yahoo.com მისამართზე გამოგვიგზავნოს ერთი ან რამდენიმე სტატიის და თანმხლები დოკუმენტაციის დასკანერებული ფაილები, მაგრამ კრებულის ერთ ნომერში გამოქვეყნდება მხოლოდ ორი.
- ელ. ფოსტით სტატიის გამოგზავნის შემთხვევაში გთხოვთ გაითვალისწინოთ შემდეგი მოთხოვნები:
  - მიუთითეთ Subject ველში (თემა) კრებულის დასახელება და ავტორის (ავტორების) გვარი.
  - გამოიყენეთ Attach (ფაილის მიმაგრება).
  - დიდი მოცულობის ფაილის შემთხვევაში გამოიყენეთ არქივატორი (ZIP, RAR).
- სტატია შედგენილი უნდა იყოს წიგნიერად, მართლმეტყველებისა და ტერმინოლოგიის დაცვით. ავტორი (ავტორები) და რეცენზენტები პასუხს აგებენ სტატიის შინაარსსა და ხარისხზე.
- ვინაიდან საქართველოს ტექნიკური უნივერსიტეტის შრომების კრებული არის არაკომერციული გამოცემა, ჩვენი მეცნიერი თანამშრომლებისა და დოქტორანტებისთვის სტატიის გამოქვეყნება უფასოა.
- საქართველოს ტექნიკური უნივერსიტეტის აკადემიური საბჭოს № 200 დადგენილებით (22.01.2010წ.), ფიზიკურმა პირმა, რომელიც არ არის საქართველოს ტექნიკური უნივერსიტეტის თანამშრომელი, შრომების კრებულში სტატიის გამოქვეყნებისთვის წინასწარ უნდა შეიტანოს ან გადმორიცხოს საჭირო თანხა (1 გვერდი 10 ლარი) და სტატიის თანმხლებ დოკუმენტაციას (ორი რეცენზია და ორგანიზაციის სამეცნიერო საბჭოს მიმართვა სტატიის სტუ-ის შრომების კრებულში გამოქვეყნების შესახებ) დაურთოს გადახდის ქვითარი. გრაფაში „გადახდის დანიშნულება“ უნდა ჩაიწეროს „სტატიის გამოქვეყნების ღირებულება“.

სტუ-ის საბანკო რეკვიზიტებია: სსიპ საქართველოს ტექნიკური უნივერსიტეტი; საიდენტიფიკაციო კოდი 211349192; მიმღების ბანკი: სახელმწიფო ხაზინა; მიმღების დასახელება: ხაზინის ერთიანი ანგარიში; ბანკის კოდი: TRESGE22; მიმღების ანგარიში: სახაზინო კოდი 708977259 .

გთავაზობთ სამეცნიერო სტატიის გაფორმების წესს:

- სტატია წარმოდგენილი უნდა იყოს ნაბეჭდი სახით A4 ფორმატის ფურცელზე, არანაკლებ 5 გვერდისა (არეები – 2 სმ, ინტერვალი – 1,5).

- სტატია შესრულებული უნდა იყოს doc ან docx ფაილის სახით (MS Word) და ჩაწერილი – ნებისმიერ მაგნიტურ მატარებელზე;
- ქართული ტექსტისთვის გამოიყენეთ შრიფტი Acadnusx, ზომა 12;
- ინგლისური და რუსული ტექსტებისათვის – შრიფტი Times New Roman, ზომა 12;

სტატიას უნდა ერთვოდეს შემდეგი ინფორმაცია:

- უაკ (უნივერსალური ათობითი კლასიფიკაცია) კოდი.

ცნობები ავტორის (ავტორების) შესახებ ქართულ, ინგლისურ და რუსულ ენებზე:

- ყველა ავტორის სახელი და გვარი სრულად, E-mail-ი, სამეცნიერო წოდება და საკონტაქტო ტელეფონი;
- დეპარტამენტის დასახელება. ორგანიზაციის სრული სახელწოდება – ყოველი ავტორის მუშაობის ადგილი, ქვეყანა, ქალაქი.
- რეცენზენტთა გვარები და სახელები სრულად, ელექტრონული ფოსტის მისამართი, სამეცნიერო წოდება, დეპარტამენტის ან სამუშაო ადგილის დასახელება.

- სტატიას უნდა ახლდეს:

- ანოტაცია ქართულ, ინგლისურ და რუსულ ენებზე (100–150 სიტყვა), უცხოული მკითხველისათვის ანოტაცია არის სტატიის შინაარსისა და მასში გადმოცემული კვლევის შედეგების შესახებ ინფორმაციის ერთადერთი წყარო. სწორედ იგი განსაზღვრავს ინტერესს მეცნიერის ნაშრომის მიმართ და, მაშასადამე, სურვილს, დაიწყოს დისკუსია ავტორთან, გამოითხოვოს სტატიის სრული ტექსტი და ა.შ.

ანოტაცია უნდა იყოს:

- ინფორმაციული (არ უნდა შეიცავდეს ზოგად სიტყვებსა და ფრაზებს);
- ორიგინალური (თარგმანი ინგლისურ და რუსულ ენებზე უნდა იყოს ზარისხიანი, თარგმნისას უნდა გამოვიყენოთ სპეციალური ტერმინოლოგია);
- შინაარსიანი (უნდა ასახავდეს სტატიის ძირითად შინაარსსა და კვლევის შედეგებს);
- სტრუქტურირებული (მიჰყვებოდეს სტატიაში შედეგების აღწერის ლოგიკას).

უნდა შეიცავდეს:

- სტატიის საგანს, თემას, მიზანს (რომელსაც უთითებთ იმ შემთხვევაში, თუ ეს არ არის ცხადი სტატიის სათაურიდან);
- კვლევის ჩატარების მეთოდს ან მეთოდოლოგიას (სამუშაოს ჩატარების მეთოდის ან მეთოდოლოგიის აღწერა მიზანშეწონილია იმ შემთხვევაში, თუ იგი გამოირჩევა სიახლით, საინტერესოა მოცემული ნაშრომის თვალსაზრისით);
- კვლევის შედეგებს;
- შედეგების გამოყენების არეალს;
- დასკვნას;
- საკვანძო სიტყვებს, დალაგებულს ანბანის მიხედვით (ქართულ, ინგლისურ და რუსულ ენებზე);

- სტატიაში ქვესათაურებით გამოკვეთილ შესავალს, ძირითად ნაწილს და დასკვნას;
- ნახაზების ან ფოტოების კომპიუტერულ ვარიანტს, შესრულებულს ნებისმიერი გრაფიკული ფორმატით, გარჩევადობა – არანაკლებ 150 ქმ-სა.

საერთაშორისო სამეცნიერო ჟურნალების მონაცემთა ბაზების რეკომენდაციით, გამოყენებული ლიტერატურის რაოდენობა სასურველია იყოს არანაკლებ ათისა.

### **წარმოგიდგენთ გამოსაქვეყნებელ სტატიაში გამოყენებული ლიტერატურის გაფორმების წესს:**

ყველა ავტორის გვარი და ინიციალები მოცემული უნდა იყოს ლათინური ანბანის ასოებით, ე.ი. ტრანსლიტერაციით, სტატიის სახელწოდება – თარგმნილი ინგლისურად, წყაროს (ჟურნალის, შრომების კრებულის, კონფერენციის მასალების) სახელწოდება – ტრანსლიტერაციით; გამოსასვლელი მონაცემები – ინგლისურ ენაზე (სტატიის ენა მიეთითება ფრჩხილებში).

#### **ლიტერატურა (ნიმუში)**

1. Jacques Sapir. Energy security as a common advantages.  
[http://www.globalaffairs.ru/rumbler/n\\_7780](http://www.globalaffairs.ru/rumbler/n_7780) (In Russian).
2. "Official website of the International Energy Agency:  
<http://www.iea.org/topics/energysecurity/>" (In English).
3. International Energy Agency "Key World Energy Statistics" 2014 (In English).
4. Energy strategy of France McDoleg\_butenko20 May, 2009 (In Russian)
5. G.G. Svanidze, V.P. Gagua, E.V. Sukhishvili "Renewable energy resources of Georgia", Leningrad, Hydrometizdat, 1987, pp. 75-76 (In Russian).
6. Revaz Arveladze, Tengiz Kereselidze "The Georgian Full Independence of Electricity Power Is Supported By Hydropower". Sakartvelos Teqnikuri Universitetis Archil Eliashvilis Saxelobis Martvis sistemebis Institutis Proceedings. N18 2014. Tbilisi (In Georgian).

გთავაზობთ სტატიის წარმოდგენისთვის საჭირო დოკუმენტაციის ჩამონათვალს საქართველოს ტექნიკური უნივერსიტეტის თანამშრომლებისა და დოქტორანტებისთვის:

- ორი რეცენზია (იბ. ნიმუში)

[http://publishhouse.gtu.ge/site\\_files/recensiis\\_nimushi.docx](http://publishhouse.gtu.ge/site_files/recensiis_nimushi.docx)

- ფაკულტეტის საგამომცემლო საქმის დარგობრივი კომისიის ოქმის ამონაწერი

(იბ. ნიმუში) [http://publishhouse.gtu.ge/site\\_files/aqtis\\_forma.docx](http://publishhouse.gtu.ge/site_files/aqtis_forma.docx)

- დოკუმენტები დამოწმებული უნდა იყოს ფაკულტეტის ბეჭდით.

## **Guide for authors!**

Collection of Academic Works of Georgian Technical University is a quarterly refereed periodical included in several international journal lists.

- An article (accepted in Georgian, English or Russian) shall be published in the original language.
- An article shall have no more three authors.
- Authors shall submit original copies of one or more articles for publication to the publishing house or scan versions at sagamomcemlosakhli@yahoo.com along with supporting documentation, but only two articles from the same author(s) shall be published in one edition.
- To submit scan versions via email please follow the instructions:
  - in the Subject line indicate the collection of works and the name(s) of author(s).
  - attach the file(s) properly.
  - use ZIP or RAR file compressors in case of large files to attach.
- The writing shall be literal, well-structured and apply proper terminology to convey the author's constructive arguments relevant to the subject. The authors and reviewers are responsible for the content and quality of an article.
- The collection of works of GTU is a non-commercial publication and running the articles of our researchers and for PhD students is free of charge.
- According to the No.200 decision of the GTU Academic Board (22.01.2010), authors who are not the employees at the University, should make the preliminary payment by cash or transfer to have their work published (GEL 10 per page). Copy of the payment receipt should be enclosed with the supporting documentation (two reviews and a reference by the organization's academic board on publishing the article in GTU collection of works). "Cost of article publication" shall appear as subject in the "purpose of payment" field.

GTU bank details: LEPL Georgian Technical University; organization's identification number 211349192; beneficiary bank: State Treasury; beneficiary: joint treasury account; bank code: TRESGE22; Account number: treasury code 708977259.

### **How to form an academic article:**

- The text should be presented in print-out form (A4), no less than 5 pages (edges 2 cm, paragraph spacing 1,5;
- Only MS Word versions of texts are accepted (doc or docx) presented electronically on any storage device;
- For Georgian texts use Acadnusx, font size 12 pt;
- For English and Russian texts use Times New Roman, font size 12 pt;

The accompanying information for the article should include:

- Universal Decimal Classification (UDC)

Information about the author(s) in Georgina, English and Russian:

- Full name, academic title, email and phone number of each author;
- Department, full name of organization – place of employment of each author, area/town, country;
- Full name, email address, academic title, department or place of employment of each reviewer.

- The article shall include:
  - An abstract in Georgian, English and Russian (100–150 words long), ***for foreign readers an abstract is the only source of information about the content of an article and results of research conveyed by it. An abstract therefore defines the reader's interest towards the article and possibility of further outreach to the author for the full text, etc.***

**An abstract shall be:**

- Informative (free of generalized terms and statements);
- Original (with quality translations in English and Russian with the proper application of terminology);
- Specific (conveying the core content of an article);
- Properly structured (consistent with the research results given in the article).

**An abstract shall contain:**

- The subject, topic and objective of an article (indicated in case if these are not clear from the title);
- Method or methodology of research performed (expected to be described when and if this method or methodology are new and interesting with reference to the article);
- Research results;
- Area of application of research results;
- Conclusion;
- Key words sorted by alphabet (Georgian, English and Russian);
- Digital version of drawings or images in any graphic format, resolution 150 dpi;

International Academic Journal Database recommends that the references include no less than ten sources.

**How to form the reference section in the article:**

Name and surname of each author shall be given in Latin letter initials, title of the articles – translated in English, name of the source (journal, collection of works, conference materials) – with transliteration (original language of the article will be indicated in brackets).

**References (sample)**

1. Jacques Sapir. Energy security as a common advantages.  
[http://www.globalaffairs.ru/rumbler/n\\_7780](http://www.globalaffairs.ru/rumbler/n_7780) (In Russian).
2. “Official website of the International Energy Agency:  
<http://www.iea.org/topics/energysecurity/>” (In English).
3. International Energy Agency “Key World Energy Statistics” 2014 (In English).
4. Energy strategy of France McDoleg\_butenko20 May, 2009 (In Russian)
5. G.G. Svanidze, V.P. Gagua, E.V. Sukhishvili “Renewable energy resources of Georgia”, Leningrad, Hydrometizdat, 1987, pp. 75-76 (In Russian).
6. Revaz Arveladze, Tengiz Kereselidze “The Georgian Full Independence of Electricity Power Is Supported By Hydropower”. Sakartvelos Teqnikuri Universitetis Archil Eliashvilis Saxelobis Martvis sistemebis Institutis Proceedings. N18 2014. Tbilisi (In Georgian).

Requirements for submission of articles by the employees and for PhD students of Georgian Technical University:

- Two reviews (see the sample at)  
[http://publishhouse.gtu.ge/site\\_files/recenziis\\_nimushi.docx](http://publishhouse.gtu.ge/site_files/recenziis_nimushi.docx)
- Minutes of the sectoral committee of the faculty publishing (see the sample at)  
[http://publishhouse.gtu.ge/site\\_files/aqtis\\_forma.docx](http://publishhouse.gtu.ge/site_files/aqtis_forma.docx)
- Documents shall be verified with the faculty stamp.

## **К сведению авторов!**

Сборник научных трудов Грузинского технического университета является ежеквартальным реферируемым периодическим изданием, которое зарегистрировано в нескольких международных базах данных.

- Статьи (принимаются на грузинском, английском, русском языках) публикуются на языке оригинала.
- Количество авторов статьи не должно превышать 3.
- Автор может предоставлять для публикации в Издательском доме или по электронной почте (на следующий адрес [sagamotcemlosakhli@yahoo.com](mailto:sagamotcemlosakhli@yahoo.com)), или в сканированных файлах с сопутствующей документацией одну или несколько статей, но в одном номере могут быть опубликованы только две работы.
- В случае статей, присылаемых по эл. почте, просьба предусмотреть следующие требования:
  - указать в эл. Subject-е название сборника (тема) и фамилию автора (авторов);
  - использовать Attach (приложить файл);
  - в случае большого объема файла применить архиватор (ZIP, RAR).
- Статья должна быть составлена грамотно, с соблюдением терминологии. Автор (авторы) и рецензенты несут ответственность за содержание и качество статьи.
- Поскольку сборник трудов Грузинского технического университета является некоммерческим изданием, для сотрудников статьи публикуются бесплатно.
- Согласно постановлению академического совета №200 (22.01.2010 г.), физическое лицо, не являющееся сотрудником университета, для публикации статьи в сборнике трудов должно заранее внести или перечислить необходимую сумму (1 страница стоит 10 лари) за статью и соответствующую документацию (две рецензии и направление научного совета организации о публикации статьи в сборнике трудов ГТУ), приложив справку об оплате. В графе «Назначение оплаты» следует записать «стоимость публикации статьи».

Банковские реквизиты ГТУ: Юридическое лицо публичного права (ЮЛПП); Грузинский технический университет; идентификационный код 211349192; банк приема; государственная казна; название получателя: единый счет казны; код банка: TRESGE22; счет получателя: код казны 708977259.

### **Предлагаем порядок оформления научной статьи:**

- статья должна быть представлена в напечатанном виде на странице формата А4, содержать не меньше 5 страниц ( поля – 2 см, интервал – 1,5);
- статья должна быть выполнена в виде файла doc или docx (MS Word) и записана на любом магнитном проводнике;
- для грузинского текста применять шрифт Acadnusx, размер 12;
- шрифт для английского и русского текстов Times New Roman, размер 12;

Статья должна сопровождаться следующей информацией:

- код УДК (Универсальная десятичная классификация).

Сведения об авторе (авторах) на грузинском, английском и русском языках:

- полностью имя и фамилия автора (авторов), E-mail, научная степень и контактный телефон;
- название департамента, полное название организации – место работы каждого автора – страна, город;
- полностью фамилии и имена рецензентов, адрес электронной почты, научное звание, название департамента или места работы.

- К статье должны прилагаться:

- аннотация на грузинском, английском и русском языках (100-150 слов). **Для иностранных читателей аннотация является единственным источником информации о результатах исследований, приведенных в содержании статьи. Именно это определяет интерес ученого к работе и, соответственно, желание начать дискуссию с автором, познакомиться с полным текстом статьи и т.д.**

**Аннотация должна быть:**

- информационной (не должна содержать общих слов и фраз);
- оригинальной (перевод на английском и русском языках должен быть качественный, при переводе следует использовать специальную терминологию);
- содержательной (должна отражать основное содержание статьи и результаты исследования);
- структурированной (следовать в статье логике описания результатов).

Статья должна содержать:

- предмет статьи, тему, цель (которые указывают в том случае, если это не ясно из заглавия статьи);
- метод или методологию проведенного исследования (описание метода или методологии проведенной работы целесообразно в том случае, если они выделяются новизной, интересны с точки зрения данной работы);
- результаты исследования;
- ареал использования результатов;
- выводы;
- ключевые слова, расположенные по алфавиту (на грузинском, английском и русском языках);
- в статье должны быть выделены подзаголовки: введение, основная часть и заключение (выводы);
- компьютерные варианты чертежей или фотографий должны быть выполнены в любом графическом формате, разрешением – не менее 150 dpi.

По рекомендации базы данных международных научных журналов, число использованной литературы желательно должно быть не меньше 10.

**Представляем порядок оформления в публикуемой статье использованной литературы:**

Фамилия и инициалы всех авторов должны быть выполнены буквами латинского алфавита, т.е. транслитерацией; название статьи с переводом на английский язык; название источников (журнала, сборника трудов, материалов конференции) – транслитерацией (язык статьи указан в скобках).

## **Литература (Образец)**

1. Jacques Sapir. Energy security as a common advantages.  
[http://www.globalaffairs.ru/rumbler/n\\_7780](http://www.globalaffairs.ru/rumbler/n_7780) (In Russian).
2. "Official website of the International Energy Agency:  
<http://www.iea.org/topics/energysecurity/>" (In English).
3. International Energy Agency "Key World Energy Statistics" 2014 (In English).
4. Energy strategy of France McDoleg\_butenko20 May, 2009 (In Russian)
5. G.G. Svanidze, V.P. Gagua, E.V. Sukhishvili "Renewable energy resources of Georgia", Leningrad, Hydrometizdat, 1987, pp. 75-76 (In Russian).
6. Revaz Arveladze, Tengiz Kereselidze "The Georgian Full Independence of Electricity Power Is Supported By Hydropower". Sakartvelos Teqnikuri Universitetis Archil Eliashvilis Saxelobis Martvis sistemebis Institutis Proceedings. N18 2014. Tbilisi (In Georgian).

Для представления статьи должен быть приложен перечень необходимых документов для сотрудников и докторантов Грузинского технического университета:

- две рецензии (см. образец)  
[http://publishhouse.gtu.ge/site\\_files/recensiis\\_nimushi.docx](http://publishhouse.gtu.ge/site_files/recensiis_nimushi.docx)
- выписка из протокола отраслевой комиссии по издательскому делу факультета (см. образец)  
[http://publishhouse.gtu.ge/site\\_files/aqtis\\_forma.docx](http://publishhouse.gtu.ge/site_files/aqtis_forma.docx)
- документы должны быть удостоверены печатью факультета.

რედაქტორები: ლ. მამალაძე, ქ. მაჭარაშვილი, მ. პრეობრაჟენსკაია  
კომპიუტერული უზრუნველყოფა ე. ქარჩავასი

გადაეცა წარმოებას 11.01.2015. ხელმოწერილია დასაბეჭდად 31.03.2016. ქადალდის ზომა  
60X84 1/8. პირობითი ნაბეჭდი თაბახი 11. ტირაჟი 100 ეგზ.

საგამომცემლო სახლი „ტექნიკური უნივერსიტეტი“, თბილისი, კოსტავას 77

